



MALZEME BİLGİSİ

CILT II

Prof. Dipl. Ing. H. J. Bargel Prof. Dr. Ing. G. Schulze
Technische Fachhochschule Berlin

Çevirenler
Prof. Dr. Şefik Güleç Prof. Dr. Ahmet Aran
İ.T.Ü. Makina Fakültesi

**İ.T.Ü. Makina Fakültesi Ofset Atölyesi
İSTANBUL - 1995**

T.C.
İSTANBUL TEKNİK ÜNİVERSİTESİ
REKTÖRLÜĞÜ
Sayı: 1551

© II. Baskı: 1995

Her Hakkı Mahfuzdur. Eserin Sahibi İ.T.Ü. Rektörlüğüdür.
Bu eser veya bir kısmı İ.T.Ü. Rektörlüğünün izni alınmaksızın
çoğaltılamaz ve kopya edilemez.

Bu kitabın çevirisinde birlikte çalıştığım değerli hocam ve
ağabeyim Prof. Dr. Şefik Güleç' i 1991 yılında kaybettik. Kendisinin
îtinâli çalışmalarına bir örnek olan bu kitabı yeni baskısı Şefik hocanın
anısına ithaf olunur.

Almet ARAN

İ.T.Ü. Kütüphanesi Kataloğu

Bargel, H. J.

Malzeme Bilgisi Cilt II/ H. J. Bargel, G. Schulze,
çev. Şefik Güleç, Almet Aran.-2.bs. - İstanbul: İ.T.Ü., 1995.
c.: şekl., tabl. - (İstanbul Teknik Üniversitesi
Rektörlüğü, sayı: 1551)

Kaynakçaları ve dizini var.

ISBN 975 - 561 - 041 - 3 (Tk. No)

ISBN 975 - 561 - 042 - 1 (2. cilt)

I. MALZEMELER. 2. MALZEME BİLİMİ.

I. Eser adı. II. Schulze, G. ort. yaz.

III. Güleç, Şefik, çev. IV. Aran, Almet, çev.

V. Seri

TA403.B37 1995

İ Ç İ N D E K İ L E R

4. ÇELİKLER ve DÖKME DEMİRLER	1
4.1. Demir-Karbon Diyagramı (DKD)	1
4.1.1. Ön Bilgiler	1
4.1.2. Demir-Karbon Diyagramındaki Faz Dönüşümleri	2
4.2. Demir-Karbon Alaşımlarının Sınıflandırılması	7
4.3. Çelik Üretimi	8
4.3.1. Yüksek Fırın Ürünleri	8
4.3.2. Oksitleme ve Eritme Yöntemleri	9
4.3.2.1. Genel Bilgiler	9
4.3.2.2. THOMAS Yöntemi	10
4.3.2.3. Oksijen Ufleme Yöntemi	10
4.3.2.4. SIEMENS-MARTIN Yöntemi	10
4.3.2.5. Elektrikli Yöntemler	11
4.3.3. Oksit Giderme, Döküm ve Katılışma	12
4.3.3.1. İngot Dökümü ve Sürekli Döküm	13
4.3.3.2. Çeliğin Katılışması	14
4.3.4. Haddelenme	17
4.4. Demir Eşlik Elementlerinin Etkisi	17
4.4.1. Mangan	17
4.4.2. Silisyum	18
4.4.3. Fosfor	18
4.4.4. Kükürt	19
4.4.5. Azot	19
4.4.6. Hidrojen	21
4.4.7. Oksijen	23
4.4.8. Metal Olmayan Kalıntılar	23
4.5. Çeliklerin Isıl İşlemleri	25
4.5.1. Genel Amaçlar ve Sınıflandırma	25
4.5.2. Sıcaklık-Zaman Diyagramı	26
4.5.3. Tav İşlemleri	28
4.5.3.1. 1.Tür Tav İşlemleri	28
4.5.3.2. 2.Tür Tav İşlemleri	30
4.5.4. Sertleştirme	32
4.5.4.1. Hızlı Soğumanın Etkisi	32
4.5.4.2. Perlit Kademesinde Dönüşüm	34
4.5.4.3. Beynit Kademesinde Dönüşüm	35
4.5.4.4. Martenzit Kademesinde Dönüşüm	36
4.5.5. Zaman-Sıcaklık-Döpüşüm (ZSD) Diyagramları	38
4.5.5.1. Sürekli Soğuma İçin ZSD-Diyagramları	39
4.5.5.2. Sabit Sıcaklık ZSD-Diyagramları	41
4.5.6. Sertleştirme Yöntemleri	42
4.5.6.1. Temel Bilgiler, Kavramlar	42
4.5.6.2. Suverme Ortamları	44
4.5.6.3. Basit Suverme	45
4.5.6.4. Kesikli Suverme	45

4.5.6.5. Duraklı Suverme	45
4.5.6.6. Suverme Gerilmeleri	46
4.5.6.7. Sertleşme Davranış Deneyleri	47
4.5.7. Toklaşturma Yöntemleri	48
4.5.7.1. Islah Etme	48
4.5.7.2. Beynitleme	51
4.5.7.3. Patentleme-Perlittleme	52
4.5.8. Yüzey Sertleştirme Yöntemleri	52
4.5.8.1. Sınırlı Isıtmanın Uygulandığı Yöntemler	53
4.5.8.1.1. Alevle Sertleştirme	53
4.5.8.1.2. İndüksiyonla Sertleştirme	53
4.5.8.1.3. Daldırmayla Sertleştirme	54
4.5.8.2. Kimyasal Bileşimin Değiştirildiği Yöntemler	54
4.5.8.2.1. Sementasyon	54
4.5.8.2.2. Nitrürleme	56
4.6. Çelikte Alaşım Elementleri	58
4.6.1. Alaşım Elementlerinin Sınıflandırılması	59
4.6.2. Mekanik Özelliklerin Etkilenmesi	60
4.6.3. DKD Faz Alanlarının Etkilenmesi	61
4.6.4. ZSD-Diyagramlarının Etkilenmesi	62
4.6.5. Sertleşme Davranışının Etkilenmesi	63
4.7. Demir Esaslı Malzemelerin Standart Gösterilişleri	64
4.7.1. Çekme Dayanımını Temel Alan İşaretler	66
4.7.2. Kimyasal Bileşimi Temel Alan İşaretler	66
4.7.2.1. Alaşimsız Çelikler	66
4.7.2.2. Alaşımılı Çelikler	66
4.7.3. Döküm Malzemeler	67
4.7.4. İnce Saçlar	68
4.7.5. Yüksek Dayanımlı Özel Yapı Çeliklerinin Gösterilişi ...	68
4.7.6. Malzemelerin Numaralarla Gösterilişi	69
4.7.7. Demir Esaslı Malzemelerin EURONORM 27-74'e Göre Gösterilişi	71
4.8. Çelik Türleri	73
4.8.1. Çeliklerin Genel Sınıflandırılması	73
4.8.2. Yapı Çelikleri	73
4.8.2.1. Genel Yapı Çelikleri	74
4.8.2.2. İnce Saçlar	77
4.8.2.3. Yüksek Dayanımlı Yapı Çelikleri	79
4.8.2.3.1. Dayanım Artırma Yöntemleri	79
4.8.2.3.2. Yüksek Dayanımlı Islah Edilmemiş İnce Taneli Yapı Çelikleri	82
4.8.2.3.3. Yüksek Dayanımlı Islah Edilmiş İnce Taneli Çelikler.....	84
4.8.3. Islah Çelikleri	86
4.8.4. Yüksek Sıcaklık Çelikleri	89
4.8.5. Soğukta Tok Çelikler	91
4.8.6. Paslanmaz ve Aside Dayanıklı Çelikler	93
4.8.6.1. Ferritik Krom Çelikleri	95
4.8.6.2. Ostenitik Krom-Nikel Çelikleri	96
4.8.7. Takım Çelikleri.....	99
4.8.7.1. Genel Bilgiler	99

4.8.7.2. Alaşimsız Takım Çelikleri	100
4.8.7.3. Alaşaklı Soğuk İş Çelikleri	101
4.8.7.4. Sıcak İş Çelikleri.....	102
4.8.7.5. Yüksek Hız Çelikleri	102
4.9. Demir Esaslı Döküm Malzemeleri	104
4.9.1. Temel Kavramlar ve Sınıflandırma	104
4.9.2. Dökme Çelik	105
4.9.3. Dökme Demir	109
4.9.3.1. Dökme Demir Diyagramları	109
4.9.3.2. Sert Döküm	110
4.9.3.3. Lamel Grafitli Dökme Demir	110
4.9.3.4. Küresel Grafitli Dökme Demir	115
4.9.4. Temper Dökme Demir	116
4.9.4.1. Beyaz Temper Döküm	117
4.9.4.2. Siyah Temper Döküm.....	119
5. DEMİR DIŞI METALLER	121
5.1. Demirdışı Metal ve Alaşımlarının Standart Gösterilişleri	121
5.1.1. Malzeme İşaretleri	121
5.1.2. Malzemelerin Numaralarla Gösterilişi	123
5.2. Bakır ve Bakır Alaşımları	123
5.2.1. Bakırın Elde Edilmesi	124
5.2.2. Saf Bakır	125
5.2.3. Katkılı Bakır	128
5.2.4. Pirinç ve Nikel Gümüşü	129
5.2.5. Bronızlar	132
5.2.6. Seçkin Elektriksel Özellikler Gösteren Bakır-Nikel Alaşımları	134
5.2.7. Korozyona Dayanıklı Bakır-Nikel Alaşımları	135
5.3. Nikel ve Nikel Alaşımları	136
5.3.1. Saf Nikel	136
5.3.2. Katkılı Nikel	138
5.3.3. Nikel-Bakır Alaşımları	139
5.3.4. Nikel Esaslı Yüksek Sıcaklık Alaşımları	139
5.3.5. Nikel Alaşımının Korozyon Davranışı	143
5.3.6. Nikel İçeren Manyetik Malzemeler	144
5.4. Alüminyum ve Alüminyum Alaşımları	147
5.4.1. Saf Alüminyum	147
5.4.2. Alüminyum Alaşım Sistemleri	149
5.4.3. Çökelleme Sertleşmesi	151
5.4.4. Dövme Alüminyum Alaşımları	152
5.4.5. Dövme Alüminyum Alaşımları	153
5.4.6. Alüminyum Alaşımları İçin İmal Usullerinin Uygulanma Sınırları	154
5.5. Magnezyum ve Magnezyum Alaşımları	155
5.5.1. Saf Magnezyum	156
5.5.2. Magnezyum Alaşımları	156

5.6. Titan ve Titan Alaşımaları	158
5.6.1. Saf Titan	158
5.6.2. Titan Alaşımaları	160
5.7. Zirkonyum ve Nükleer Reaktör Malzemeleri	161
5.8. Kalay ve Kalay Alaşımaları	162
5.8.1. Saf Kalay	163
5.8.2. Kalay Alaşımaları	164
5.9. Çinko ve Çinko Alaşımaları	165
5.9.1. Saf Çinko	165
5.9.2. Çinko Kaplama	166
5.9.3. Çinko Basınçlı Döküm Alaşımaları	167
5.10. Kurşun ve Kurşun Alaşımaları	168
5.10.1. Saf Kurşun	168
5.10.2. Kurşun Alaşımaları	169
Alfabetic Dizin	171

Diger Ciltlerin Başlıca Bölümleri

Cilt I : Metal Malzemelere Genel Bakış

- . Temel Bilgiler
- . Uretim Yöntemlerinin Etkisi
- . Malzeme Deneyleri

Cilt III : Metal Olmayan Malzemeler

- . Seramikler
- . Plastikler

Hasar Analizi

<u>KISALTMALAR</u>		<u>SIK KULLANILAN SEMBOLLER</u>
A_c, A_r	Fe-C alaşımlarının ısitma ve soğutmadaki dönüşüm noktaları	A_5, A_{10} kopolmadaki uzama yüzdesi A_v vurma işi
$ArK\zeta$	arayer katı çözeltisi	c derişiklik
$AsK\zeta$	asalyer katı çözeltisi	d tane çapı
DKD	Demir-Karbon Diyagramı	D yayınma katsayısı
e	elektron	D_o yayınma sabiti
hmk	hacim merkezli kübik	E elastiklik modülü
$ISEB$	ısıdan etkilenen bölge	G kayma modülü
$K\zeta$	katı çözelti	K_{IC} kırılma tokluğu
$KÖY$	kısa ömürlü yorulma	R gaz sabiti
L	alaşım	R_{eH} akma sınırı
Li	liqidüs (çizgisi)	R_m çekme dayanımı
M, Me	metal	$R_{p0,2}$ 0,2-sınırı
M_f	martenzit bitiş sıcaklığı	T sıcaklık
M_s	martenzit başlama sıcaklığı	T_{yk} yeniden kristalleşme sıcaklığı
S	sıvı (eriyik)	Z kopolmada kesit daralma yüzdesi
sdh	sıkı düzenli hezagonal	ϵ birim uzama
so	solidüs (çizgisi)	σ normal gerilme
$TAREM$	tarayıcı elektron mikroskopu	τ kayma gerilmesi
TEM	transmisyon elektron mikroskopu	φ şekil değiştirme oranı
ymk	yüzey merkezli kübik	
ZSD	zaman-sıcaklık-dönüşüm	

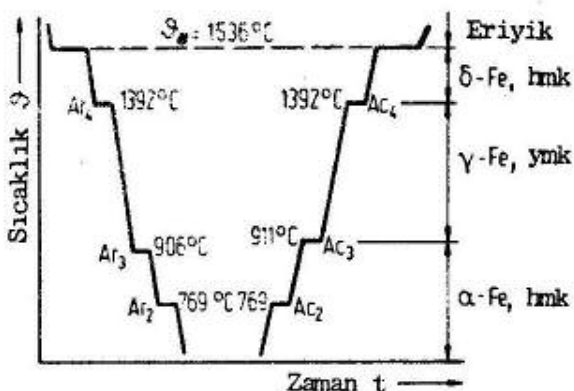
4. ÇELİKLER ve DÖKME DEMİRLER

4.1. Demir-Karbon Diyagramı (DKD)

4.1.1. Ön Bilgiler

Saf Demir

Saf demir çok yumuşak ve sünektir (Sertlik ≈ 60 VSD, $A \approx 850$, $Z \approx 80$). Üretiminin pahalılığı yanında mekanik dayanımının da düşüklüğünden dolayı konstrüksiyon malzemesi olarak kullanılmaz. Buna karşın manyetik geçirgenliğinin büyük, koersif alan şiddetinin küçük olması elektroteknik uygulamalarda önem taşır.



Şekil 4.1-Saf demirin soğuma ve ısınma eğrileri (θ_e :erime sıcaklığı)

CURIE noktası olarak anılan A₂ ise kristal yapı dönüşümleri ile ilgili değildir. Demir bu sıcaklığın altında ferromanyetik özelliğe sahiptir. A₁ durak noktası saf demirde görülmez (bk. 4.1.2, ötektoid reaksiyon).

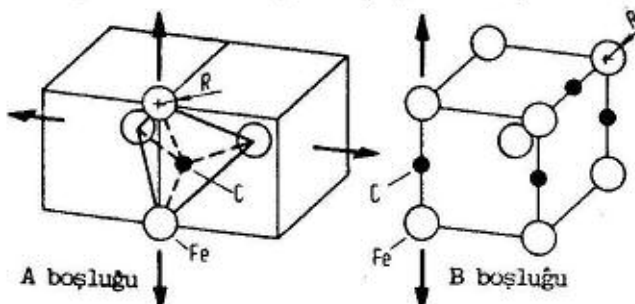
- Yüksek ısıtma ve soğutma hızları sonucu denge durumundan uzaklaşındıkça,
- Alıştırmalı yapilarak katkı miktarı artırıldıkça dönüşüm sıcaklıklarını büyük ölçüde ötelenebilir.

Demir-Karbon Katı Çözeltileri

Karbon, demirin en önemli合金 elementidir (bk. 4.2.). Karbon derişikliğindeki küçük bir değişim bile çeliğin özelliklerini belirgin şekilde etkiler.

Karbon α , γ ve δ - demiri kafeslerindeki arayerlere yerlesir ve dolayısıyla demir içindeki çözünürlüğü sınırlıdır. α -demiri ile katı çözeltisine ferrit (α -KC), γ - demiri ile katı çözeltisine de ostenit (γ -KC) denir.

Demirin kafes geometrisi karbon çözünürlüğünü belirler. α -demiri birim hücrende iki tür "boşluk" bulunur (Şekil 4.2). A boşluklarına yarıçapı en çok $0,291 R$, B boşluklarına da yarıçapı en çok $0,154 R$ olan yabancı atomlar yerleştirebilir. Ancak çözünen atomun yarıçapı bu değerlerden biraz büyükse A boşluğunda dört, B boşluğunda ise sadece iki komşu atomun denge konumundan ötelenmesi gereklidir. Bu nedenle yabancı atomlar, daha küçük olmasına rağmen B kafes boşluklarını tercih ederler.



Şekil 4.2-hmk α -demirinde karbon atomlarının yerleşebileceği arayerlerin konumu

γ mk kafeste ise küp kenarlarının ortasına yarıçapı $0,41R$ 'ye kadar olan yabancı atomlar yerleştirebilir (Şekil 4.3). Dolayısıyla atom düzeni daha sıkı olduğu halde γ -demirinde α -demirinden daha fazla karbon çözünebilir. Buna karşın atom düzeni seyrek olan α -demirinde gerek özyayınma gerek yabancı asalyer veya arayer atomlarının yayılması için D katsayısı γ -demirine göre en az 100 kat daha büyütür (bk.1.4.1, Çizelge 1.4).

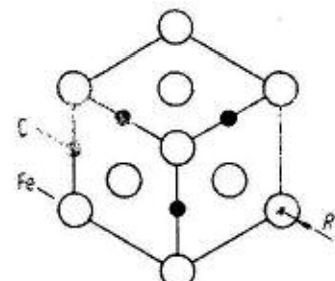
4.1.2. Demir-Karbon Diyagramındaki Faz Dönüşümleri

Teknikte kullanılan demir alaşımaları karbon yanında, özellikleri ve iç yapayı önemli ölçüde değiştirebilen başka elementler de içerir. Buna rağmen temel olaylar demir-karbon diyagramı (DKD) yardımıyla açıklanabilir. Belirli bir demir esaslı malzeme için

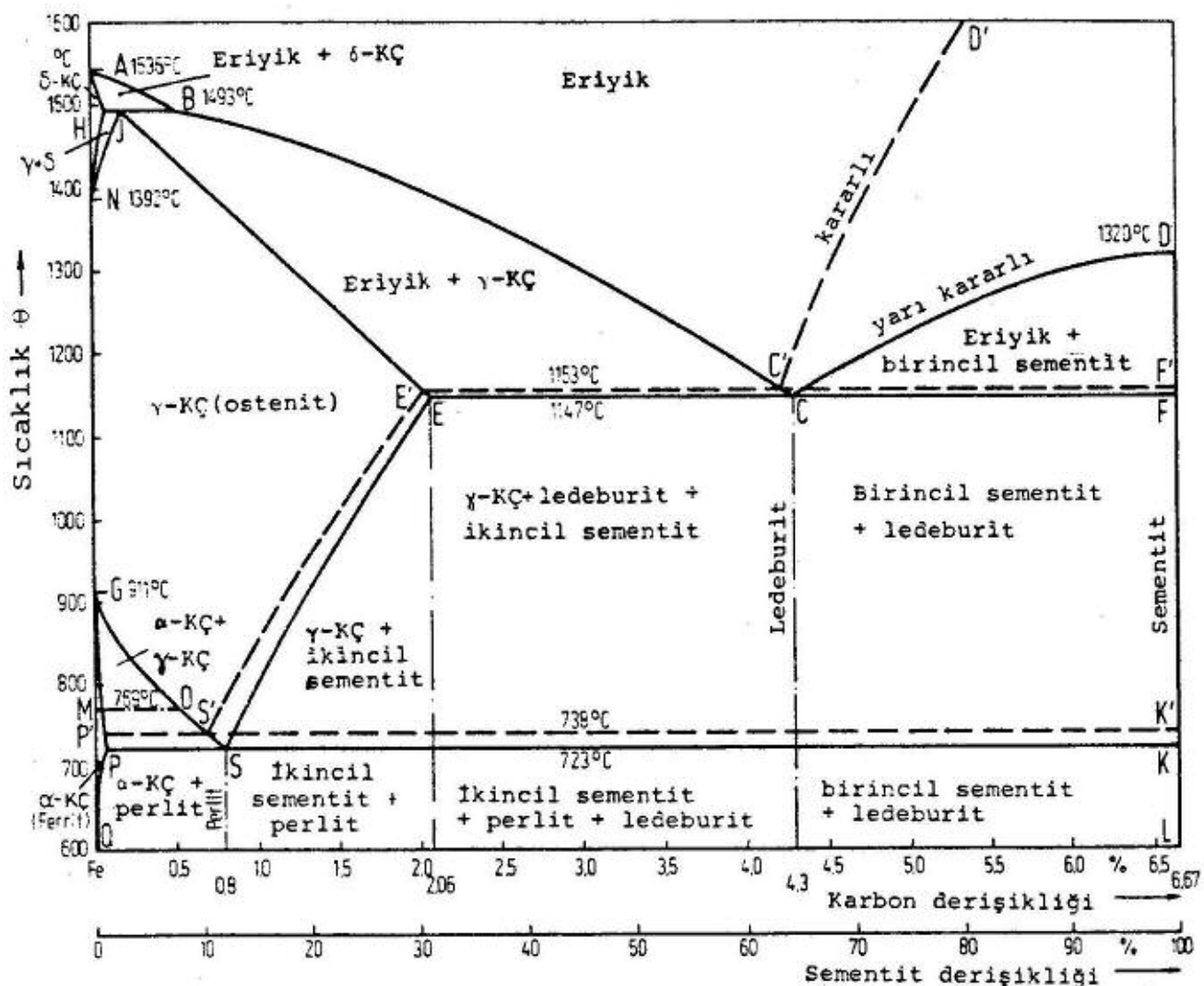
- soğuma veya ısınma hızı yükseldikçe,
- karbon dışındaki diğer alaşım elementlerinin miktarı arttıkça bu diyagramın geçerliliği azalır.

Demir ve karbon, sementit olarak adlandırılan Fe_3C ərafazını oluştururlar. Yüksek sıcaklıklarda uzun süre tutma veya özellikle sıvı durumdan yavaş soğutma sonucu, bu faz karbon (grafit) ile demire ayırmaya eğilimi gösterir. Diğer bir deyişle sementit karbona göre daha yüksek enerjili durumdadır, yani daha az kararlıdır. Bu nedenle Şekil 4.4 de görüldüğü gibi DKD kararlı $Fe-C$ (grafit) ve yarı kararlı $Fe-Fe_3C$ olmak üzere iki ayrı sistemi kapsar (ayrıca bk. cilt 1, s. 183 ve 184).

Uygulamada çoğunlukla yarı kararlı $Fe-Fe_3C$ diyagramından yararlanılır. Yarı kararlı kavramı sadece belirli bir termodynamik durumu ifade eder (bk. Şekil 1.14); düşük sıcaklıkta zamanla değişme anlamına gelmez. Sementit ve karbon miktarları birbirine bağlı olduğundan ve çelikler genellikle karbon oranı



Şekil 4.3-ymk γ -demirinde karbon atomlarının yerleşebileceği arayerlerin konumu



Şekil 4.4- Kararlı ($Fe-C$) ve yarı kararlı ($Fe-Fe_3C$) durumlar için Demir-Karbon Diyagramı (DKD)

ile tanımlanıklarından $Fe-Fe_3C$ diyagramında da derişiklik karbon cinsinden verilir.

Teknik demir-karbon alaşımlarının karbon oranı en çok %5 olabilir (döküm malzemeleri). Bu nedenle DKD'nin sadece demirce zengin ve %6,67 C (%100 Fe_3C) derişikliğine kadar olan bölümünü kullanılır. Anılan bölüm

- bir ötektik
- bir ötektoid
- ve pratikte pek önemli olmayan
- bir peritektik reaksiyondan oluşur.

Demir-Karbon diyagramında artan karbon miktariyla

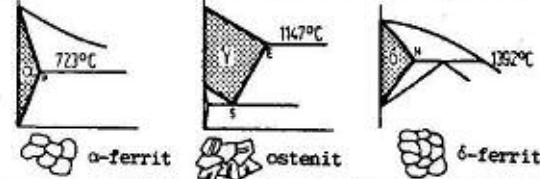
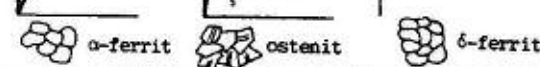
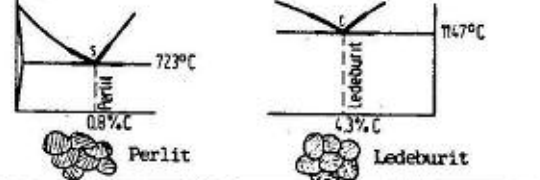
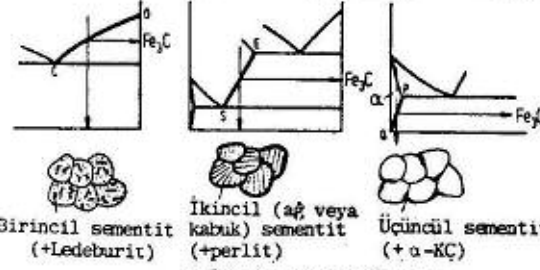
- $Fe-C$ alaşımlarının erime sıcaklığı azalır (Likitüs çizgisi ABC),

- benzer şekilde $\gamma \rightarrow \alpha$ dönüşümünün meydana geldiği A_3 sıcaklığı da düşer (GOS çizgisi),
- öte yandan A_4 sıcaklığı yükselir (NJ çizgisi).

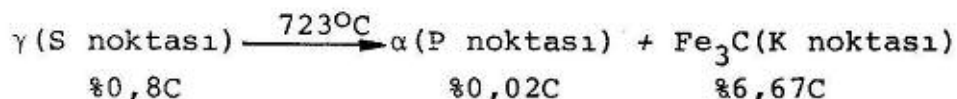
Buna göre karbon γ alanını genişleten ostenit yapıcı (Bk. 4.6.1) elementlerden biridir.

Diyagrama ilişkin bazı açıklamalar ve iç yapılar Çizelge 4.1'de özetlenmiştir.

Çizelge 4.1- DKD için bazı açıklamalar ve iç yapılar (şematik)

Adı	Açıklama		DKD'da konum ve iç yapının sematik gösterimi
α -KC γ -KC δ -KC	En büyük C-miktari	Metallografik adlandırma	
	% 0,02, P noktası % 2,06, E noktası % 0,1, H noktası	α -ferrit ostenit δ -ferrit	
Ötektoid, S noktası. Ötekistik, C noktası.	İçeriği	Metallografik adlandırma	
	% 88 ferrit + % 12 sementit + % 51,4 ostenit + % 48,6 sementit	Perlit Ledebürüt	
Birincil sementit İkincil sementit Üçüncü sementit	oluşumu	Eriyikten birincil kristalleşme (CD-çizgisi) Ostenitten ayrışma (ES-çizgisi) Ferritteten ayrışma (PQ-çizgisi)	
			

Perlit denilen ötektoid yapı %0,8 C içeren γ -katı çözeltisinin 723°C 'da ferrit ve sementite ayrışması ile ortaya çıkar:



Sözkonusu ötektoid reaksiyon sabit sıcaklıkta olur ve durak noktası A_1 adını alır. Bu nokta $C \geq %0,02$ olan alaşımalar da görülür.

Perlitin karakteristik yapısında ferrit ve sementit genellikle lamel biçiminde yan yana bulunur (Şekil 4.5). Perlit iki

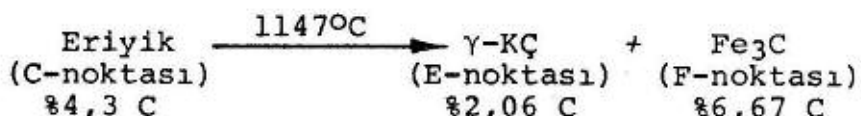


Şekil 4.5-Mikrofotograf,ferritik-perlitik iç yapı. Malzeme:C45, normalleştirilmiş.

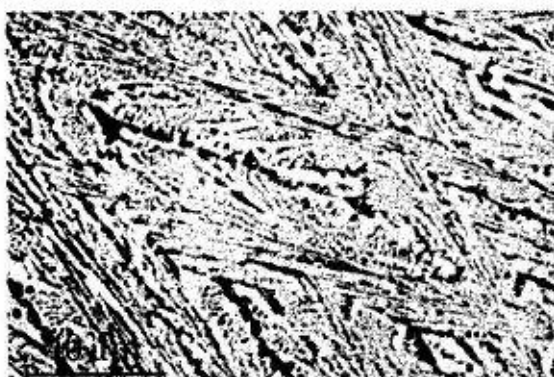
ayrı fazdan meydana geldiğinden perlit taneleri yerine perlit kolonileri deyiminin kullanılması daha uygun olur.

Perlit reaksiyonu sırasında karbon ve demirin katı halde yayınma yoluyla taşınması gereklidir. Bu olay doğal olarak aşırı soğumadan kuvvetle etkilenir; yani yüksek soğuma hızı (kısa yayılma süresi) kütle taşınmasını büyük oranda engeller. Böylece ortaya çıkan özellik değişimleri teknik açıdan çok önemlidir (bk. 4.5).

Lebedürüt diye anılan ötektik yapı %4,3 C içeren eriyiğin 1147°C'da γ -KC ve Fe₃C fazlarına ayrışması ile ortaya çıkar:



Lebedürütin iki bileşeni çok ince dağılmıştır (Şekil 4.6). Lebedürüt içindeki ostenit fazından ayrısan ikincil sementit



Şekil 4.6- Lebedürüt(beyaz dökme demir)

çoğunlukla önceki sementit kütlesine eklendiğinden daha sonra ayrı bir iç yapı bileşeni olarak belirlenemez. Böylece karbon derişikliği %0,8'e (S noktası) kadar düşen γ -KC 723°C'da perlite dönüşür*.

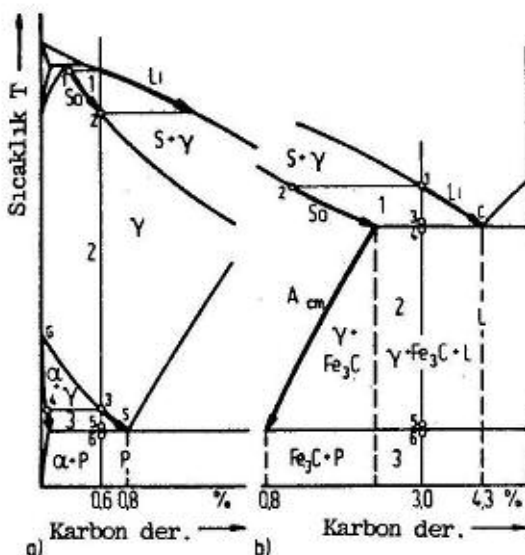
Katılışma ve dönüşüm olayları ile ilgili iç yapılar iki ayrı demir-karbon alaşımı için aşağıda açıklanmıştır (Şekil 4.7).

Örnek 1: %0,6 C içeren Fe(çelik)

1. sıcaklık aralığı

1490°C'da likidüs çizgisi (Li) geçilirken γ -KC (nokta 1 bileşimli) ayrılmaya başlar soğuma ilerledikçe miktarı artan ostenitin karbon derişikliği Solidüs çizgisine (So), kalan eriyiğin derişikliği ise Likidüs çizgisine göre değişir 1410°C'da katılışma bitmiştir (2 noktası). Malzeme tümüyle γ -KC'den oluşur (Şekil 4.8).

*) Bu nedenle ötektoid sıcaklık altındaki lebedürüt için "dönüştürülmüş lebedürüt" deyimi kullanılmaktadır.



Şekil 4.7- $Fe-Fe_3C$ diyagramından bölgeler ve soğuma sırasında olaylar

a)örnek 1:%0,6C içeren合金 (çelik)
b)örnek 2:%3C içeren合金 (beyaz dökme demir)

2. sıcaklık aralığı

Tek fazlı γ -KC alanında karbon derişikliği sabit kalır.

3. sıcaklık aralığı

3 noktasında ($760^{\circ}C$) GS çözünürlük sınırı geçilir. Ymk γ -KC'den daha az karbon içeren (4 noktası) hmk α -KC ayrışır. Bu olay yüzey geriliminin en yüksek olduğu bölgelerde, yani tane sınırlarında başlar. Bu şekilde soğuma devam ederken γ -KC'nin karbon derişikliği %0,8'e kadar yükselir (S noktası $723^{\circ}C$). 5 noktasında alaşım

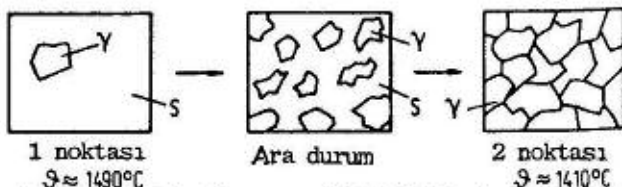
$$\frac{0,8-0,6}{0,8-0,02} \cdot 100 = \%25,6 \text{ ferrit}$$

$$(\%0,02 \text{ C'lu})$$

$$\%100 - \%25,6 = \%74,4 \text{ ostenit}$$

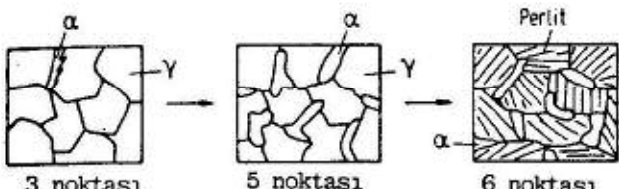
$$(\%0,8 \text{ C'lu})$$

bileşenlerinden oluşur. Ötek-



Şekil 4.8-Örnek 1'de 1.sıcaklık aralığında eriyiğin katılaşması sırasındaki olaylar (şematik)

toid sıcaklığının ($723^{\circ}C$) hemen altında (6 noktası) γ -KC tanelerinin yerini perlit kolonileri almıştır (Şekil 4.9). Daha



Şekil 4.9- Örnek 1'de 3.sıcaklık aralığına ve γ -KC'nin $723^{\circ}C$ sıcaklığında ötektoid reaksiyonuna ait faz dönüşümleri (şematik)

düşük sıcaklıklarda ferritten çok az üçüncü sementit ayrışması çoğunlukla önemsiz olup yapıda ayırtedilebilir bir değişiklik yaratmaz.

Örnek 2: %3 C içeren Fe (beyaz dökme demir, yarı kararlı sistem*)

1. sıcaklık aralığı

Liquidusun altına inilirken ($1300^{\circ}C$) birincil γ -KC krista-

*) Aynı karbon oranı için soğuma hızı ve Si miktarına bağlı olarak grafitleşme yani $Fe-C$ (grafit) sistemine geçiş görülebilir. Bu durumda ise beyaz değil kır(gri) dökme demir söz konusudur (Bk.4.9.1).

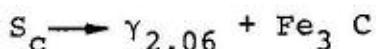
talleri(nokta 2 bileşimli) ayrışmaya başlar.Sonraki olaylar Örnek 1'in 1.sıcaklık aralığına benzer şekilde cereyan eder. 3 noktasında alaşım:

$$\frac{4,3 - 3}{4,3 - 2,06} \cdot 100 = \% 58 \text{ Ostenit } (\% 2,06 \text{ C'lu})$$

$\% 100 - \% 58 = \% 42 \text{ Eriyik } (\% 4,3 \text{ C'lu})$
bileşenlerinden oluşur.

2. sıcaklık aralığı

S_C bileşimindeki kalan sıvı (eriyik) ötektik reaksiyonla ledeburite dönüşür (4 noktası)



Soğuma devam ederken gerek birincil gerek ledeburitteki ostenitten Acm -çizgisi boyunca ikincil sementit ayrışır. Bu faz γ -KC tanelerinin çevresinde kabuk veya soğuma hızının biraz artırılmasıyla daha çok birincil taneler içinde iğne biçiminde ortaya çıkar (Şekil 4.10).



Şekil 4.10-Örnek 2'de 2.sıcaklık aralığına ve γ -KC'nin 723°C 'da ötektoid reaksiyonuna ait faz dönüşümleri (şematik)
L: Ledeburit

3.sıcaklık aralığı

1.örnekte olduğu gibi ostenitin perlite dönüşmesi 6 noktasında tamamlandıktır(Şekil 4.10).

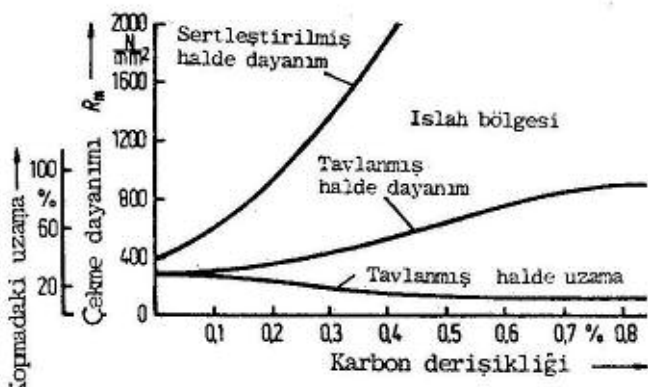
yukarıdaki açıklamaların da anlaşılacağı üzere, özel alaşımlandırıma veya ısıl işlem uygun olmadığı sürece, demir-karbon alaşımlarının büyük çoğunluğunun oda s

caklığındaki iç yapısı ferrit ve sementitten oluşur. Dolayısıyla bu alaşımların davranışları öncelikle ferrit ve sementitin özellikleri ve iç yapısındaki dağılımları ile belirlenir.

Ferritin çok yumuşak (60 VSD) ve sünek ($A5=\%50, Z=\%80$) olmasına karşın, sementit çok sert (800 VSD) ve gevrektil. Böylece artan sementit miktarı ile çekme dayanımı yükselirken, şekil değiştirme kapasitesi azalır. Teknikte çok yaygın olarak kullanılan alaşimsız çelikler için bu ilişki Şekil 4.11'de gösterilmiştir.

4.2. Demir-Karbon Alaşımlarının Sınıflandırılması

Ek bir işlem gerektirmeden dövülebilen demir-karbon alaşımlarına çelik denir ($C<\%2$). Çelikler genellikle sünek malzemelerdir. Tümüne sıcak, düşük karbonlularına soğuk olarak da şekil verilebilir. Sertleştirme, ıslah etme gibi ısıl işlemler yardımıyla ve sünekliğin azalması karşılığında dayanımları büyük oranda artırılabilir. $\%2$ den fazla karbon içeren



Şekil 4.11-Alaşimsız çeliklerde karbon miktarının, çekme dayanımı ve kopmadaki uzamaya etkisi (Werkstoffhandbuch Stahl und Eisen'den alınmıştır).

Çizelge 4.2-Fe-C alaşımlarının sınıflandırılması (şematik).



alaşımlar (dökme demirler) ise çoğunlukla gevreklerdir. Bu malzemelerden istenilen biçimde parça üretilmesi sadece döküm ve talaşlı imalat yoluyla mümkünür. Bazı alaşımı veya küresel grafitli türleri dışında, dökme demirler çekme dayanımı bakımından çeliklerin en çok alt düzeyine ulaşırlar. Dayanım yükseltici ıslah işlemler çeliklere göre daha sınırlı olarak uygulanabilir (Çizelge 4.2).

4.3. Çelik Üretimi

4.3.1. Yüksek Fırın Ürünleri

Yüksek fırında elde edilen pik demir (pik, ham demir) çelik üretiminin başlangıcı malzemesidir. Ayrıca dökümhanelerde yeniden eritilip, gerekli katkilarla bileşimi ayarlandıktan sonra "dökme demir" niteliği kazanır*. Doğrudan konstrüksiyon malzemesi olarak kullanılmaz. Yüksek fırından her 2-6 saatte bir alınan sıvı pik, döner bant üzerindeki kokillere dökülür (külcə pik) veya bir karıştırıcıya doldurulur. Sıvı pik karıştırıcıları çelikten yapılmış ve refrakter tuğla ile örülmüş kaplar olup, aşağıdaki işlevleri yerine getirirler:

- çelikhanenin sürekli beslenmesi,
- yüksek fırından değişik zamanlarda alınan piklerin bileşimlerinin dengelenmesi,

*) Pratikte "pik" deyiimi "dökme demir" anlamında da kullanılmaktadır.

- mangan katılarak pik demirin kükürdünün giderilmesi.

Kullanma amacına göre değişik pik türleri üretilir (Çizelge 4.3). Pik demirin bileşiminde bulunan C, Si, Mn, P, S çoğunlukla cevherden ve yüksek fırın kokundan (C, S) kaynaklanır*.

*Çizelge 4.3-Bazı piklerin ve Fe-Mn
alaşımlarının ağırlık yüzdesi olarak
kimyasal bileşimleri (Kalan:Fe)*

Malzeme	C	Si	Mn	P	S
Dökümhane piki,kır	3,5-4,2	1,5-3	1	0,3-2	0,06
Dökümhane piki,beyaz	3,5-4	0,2-1	1-5	0,3	0,04
Çelikhane piki (MARTİN- piki, LD-piki)	3,5-4,5	1	2-6	0,1-0,3	0,04
Ferromangan	6-8	0,5-2,5	40-60	0,3	0,02
Spiegel	4-5	≤ 1	6-30	0,1	$\leq 0,04$

4.3.2.Oksitleme ve Eritme Yöntemleri

4.3.2.1.Genel Bilgiler

Çok sert ve gevrek olan pik demirin çeliğe dönüşürülmesi için öncelikle karbon miktarı uygun bir düzeye indirilmelidir**. Bu amaçla yapılan oksitleme (oksitleyerek arıtma) işlemi sırasında sıvı pikteki karbonun yanısıra fosfor, silisyum, mangan da yanarak ısı açığa çıkar. Gerekli oksijen metal bandosuna

- katı maddeler (cevherler, Fe_2O_3, Fe_3O_4) aracılığı ile verilir,
- gaz (hava, saf oksijen) olarak üflenir.

Oksitleme işleminin gerçekleştirildiği armut biçimindeki konverter (değiştirgeç) veya yayvan tekne şeklindeki ocak haznesi, içi refrakter duvarlı çelik kaplardır. Eriyik konverterlerde yanma ısısı ile yeterli sıcaklıkta tutulurken, ocaklarda ayrıca dıştan ısı verilir.

Oksitleme işleminde demirin olabildiğince az etkilenmesi istendiğinden, oksijene kimyasal ilgisi demirinkinden daha fazla olan elementler yakılır. Dolayısıyla kalay, molibden, kobalt, nikel ve bakır prensip olarak bu işlemle giderilemezler.

Yanan elementlerden karbon CO veya CO_2 gazları halinde uzaklaşırken, diğerlerinin oksitleri de büyük çoğunlukla metal eriyiğin yüzeyinde cüruf olarak toplanır. Cüruf, oksitlerin tür ve miktarına göre asit veya bazik karakterdedir.

Kükürt ve P_2O_5 durumuna gelmiş olan fosfor, bazik tuğlalı (astarlı) konverter ve ocaklarda bazik katkılarla cürufa geçilebilir. Örneğin yanmış kireç (CaO) yardımıyla CaS ve $Ca_3(PO_4)_2$ oluşturulması gibi.

*) Yüksek fırına demir cevheriyle birlikte redükleysici ve ısı verici olarak kok, gangi ve kok külünü cüruf halinde uzaklaştırıcı olarak da kireç taşı yüklenir.

**) Diğer gevrekleştirici P ve S elementlerinin ise mümkün olduğu kadar giderilmesi gereklidir.

4.3.2.2. THOMAS Yöntemi (T)

Oksitleme bazik astarlı konverterlerde yapıldığı için *fosforca zengin* pik demirden çelik üretilmesi mümkün olur. Gerekli hava konverterin çok sayıda kanal içeren tabanından sıvı pik içine üflenir. Bu yöntemde sadece silisyum ve mangan değil karbon da fosfordan önce yandığından, istenen karbon miktarı ancak oksitlemeden sonra *ferromangan* veya *spiegel* katılarak sağlanabilir. Söz konusu ferroalaşımların mangan oranının yüksek oluşu çelikteki kükürt miktarının azalmasına da yarar.

THOMAS çeliğinde fosfor ve azot miktarları yüksektir. Bu durum, demirin fazla yanmaması için oksitlemenin karbonun bitişyle durdurulmasından (bu sırada P: 0,08 dolayındadır) ve işlemde hava (yaklaşık %80 azot) kullanılmasından ileri gelir. Çeliğin bileşimindeki fosfor (%0,08) ve azot (>%0,01) gevrekleşmeye neden olduklarından B.Almanya'da THOMAS çeliği (T-Celiği) artık üretilmemektedir.

T-çeliğinden yapılmış konstrüksiyonlara uygulanacak değişiklik ve tamir işlemlerinde (özellikle kaynak yapıldığı zaman) çok dikkatli davranışılmalıdır. Mekanik özellikleri ile bağlantılı olarak bu çeliklerin kaynak kabiliyetleri de kötüdür. Dolayısıyla kaynak ilâve malzemeleri özenle seçilmeli ve saç kalınlığının 10 mm'den fazla olması halinde çıkabilecek sorunlara karşı önlem alınmalıdır.

4.3.2.3. Oksijen Üfleme Yöntemi (Y)

Avusturya'nın Linz ve Donawitz kentlerindeki çelik fabrikaları tarafından geliştirilip, ilk kez 1949 yılında endüstriyel ölçekte uygulanmıştır. Bu nedenle LD-çeliği veya yöntemi diye de anılır. Elde edilecek çelikteki azot miktarının çok az olmasını sağlayan saf oksijen, su ile soğutulan bir borudan konverterdeki pik banyosunun üzerine üflenir. Oksijenin metale ilk rastladığı bölgede oluşan çok yüksek sıcaklık etkisiyle astarın tahrip olmaması için, üfleme THOMAS konverteerdeki gibi tabandan yapılmaz.

Hava yerine oksijen kullanımından ileri gelen sıcaklık artışı THOMAS yöntemindeki yanma sırasını da değiştirir (fosfor karbondan önce yanar). Dolayısıyla fosfor miktarı çok azalır; ayrıca banyoya %25'e kadar (soğuk) hurda katılabilir. Önemli bir diğer ekonomik üstünlük de pik türünün seçimindeki serbestliktir.

LD-yöntemi ile yüksek kaliteli, düşük katıskılı (N: %0,002-0,006; P: %0,016; S: %0,02) çelikler ekonomik olarak üretilebilidğinden, oksijen konverteri giderek artan ölçüde SIEMENS-MARTIN ocağının yerini almaktadır.

4.3.2.4. SIEMENS-MARTIN Yöntemi (M)

Oksitleme ve gerekebilecek eritme SIEMENS-MARTIN (SM) ocağıının tekne şeklindeki yayvan haznesinde gerçekleştirilir. Kullanılan rejeneratif yakma sistemi yüksek ocak sıcaklıklarına

(1700° - 1800° C) ulaşılmasını sağlar. Anılan sistemde baca gazları ısısından yararlanarak ön ısıtılmış hava ve yanıcı gaz, ayrı kanallardan üflenerek ocak şarjı* üzerinde alev oluştururlar.

Yaklaşık %10 hava fazlalığı ile çalışma sonucu metal bankosunun oksitlenmesi, alevin doğrudan etkimesi ile değil, FeO taşıyıcısı işlevi gören cüruf örtüsü üzerinden dolaylı biçimde meydana gelir. Oksitleme süresi diğer yöntemlere göre daha uzundur (3-5 saat). En önemli olay karbonun CO gazına dönüşmesidir. Yükselen gaz kabarcıkları (kaynama) banyonun iyi karışmasını ve tüm eriyik içinde oksitleme reaksiyonunun homojen olmasını sağlar.

Hammadde olarak katı veya sıvı pik demir ile hurda kullanılır. Pik demirin karbonu hurdada bulunan demir oksitleri (pas, tufal) indirger. Dıştan ısı verildiği için, katılan hurda miktarı istenildiği kadar fazla (>%50) olabilir. Üretilen çeliğin kalitesi eritilen hurdanın türüne göre büyük ölçüde değişir. Coğunlukla kaynağı belirsiz olan endüstri hurdası kullanılırsa bakır, krom, nikel, kalay(teneke) ve arsenik gibi elementlerin müsaade edilen sınırların üzerinde katışması söz konusudur. Bu nedenle yüksek kaliteli ve özel çelikler için "mavi" hurda (haddehane artıkları) veya yüksek kaliteli başka hurdalardan yararlanılması zorunlu olur.

Çeliğin kalitesini kontrol edebilmek için yöntemin aşağıda açıklanan özelliklerini göz önünde tutulmalıdır.

Üstten ısıtılan ve sıcak olan cürufun reaksiyon kabiliyeti çok yüksektir. Bu nedenle bazik karakterli ocaklıarda çok düşük fosfor (%0,02), kükürt (%0,03) ve azot oranları elde edilebilir; hurdadaki alaşım elementleri sıvı metalde kolayca çözünebilir. Uzun oksitleme süresi bileşimin çok hassas olarak ayarlanmasına imkân verir. Dış kaynaklı ısıtma dolayısıyla eriyiğin "donma" tehlikesi bulunmadığından, alaşım elementleri oksitlemeden sonra da katılabilir.

4.3.2.5. Elektrikli Yöntemler (E)

Bunlarda gereken ısı elektrik enerjisi (ark, indüksiyon) ile sağlanır ve sıcaklık 2000° C'a kadar çıkabilir. Yüksek alaşımı çeliklerin üretimi için

- ocaktaki oksijen aktivitesi mümkün olduğu kadar düşük tutulabilmeli (aksi halde alaşım elementleri yanar),
- yüksek ocak sıcaklığına erişilebilir (alaşım elementleri banyoya daha kolay girer).

Bu koşullar ancak elektrikli eritme yöntemleriyle yerine getirilebilir. Söz konusu yöntemlerde yakıtta dolayı katıskıların (kükürt) artması sorunu yoktur; gerekebilecek oksitleme işlemi demir cevheri veya oksijenle yapılır.

*) Ocağa yüklenen ham maddeler

En çok kullanılan HEROULT tipi elektrik ark ocağında, 3 fazlı akım uygulanan grafit veya karbon elektrotlar ile ocak şarjı arasındaki arkin ısısından yararlanılır. Banyo sıcaklığı akım şiddetiyle kontrol edilir. Uygun katkılar ve gerçekleşti-rilen cüruf reaksiyonları yardımıyla, kaliteli pik ile seçilmiş hurdadan istenilen özelliklerde ve katıksı miktarı çok dü-sük çelikler (asal çelikler) üretilir. Bazık astarlı ocaklıarda arıtma ile fosfor ve kükürt %0,01 dolaylarına kadar azaltıla-bılır.

Yüksek dayanımlı ve yüksek alaşımı çeliklerde, özellikle yeterli tokluk bakımından, çözünmüş gazlar da çok az olmalıdır. Bu amaçla hidrojen ve azotun giderilmesi oksijene göre daha zordur.

Eriyen elektrotlu ark yönteminde, sürekli biçimde metal banyosuna doğru hareket ettirilen bir çelik elektrot (bant, çubuk veya yuvarlak kütük) oluşturduğu elektrik arkıyla koruyucu gaz veya vakum altında eritilir. Gaz ve sıvı halindeki reaksiyon ürünleri adı geçen ortamlarda sıvı çeliği daha kolay ter-kederler; kükürt ve fosfor ise sadece kimyasal olarak gideri-lebilir.

Gazi büyük ölçüde alınmış ve katıksıları azaltılmış çelik-lerin havaya açık olarak eritilenlere göre

- dinamik zorlamalara karşı dayanımları,
- çentik vurma toklukları,
- yüksek sıcaklıktaki dayanımları çok daha iyidir.

İndüksiyon ocağı bir trafonun birincil sargısı niteliğindeki bakır boru* ile çevrelenmiş bir potadır. Trafonun çekir-deği ve kısa devre edilmiş ikincil sargısı yerine geçen ocak şarjı, elektriksel girdap akımlarının ve histerezis kayıplarının etkisiyle 1900°C sıcaklığa kadar ısınır. Metal banyosunda PINCH-Olayından ileri gelen karıştırma hareketi alaşım ele-mentlerinin çözünmesini kolaylaştırır. Eritme havada, koruyucu gaz altında veya vakumda yapılabilir. Bunlardan sonucusu çe-likteki gazları azaltma bakımından diğer tüm yöntemlerden üs-tündür (Çizelge 4.4).

İndüksiyon ocağı cüruf örtüsünün karışması v.b. güçlükler-den dolayı arıtma değil, daha çok bileşimi bilinen hurdadan alaşımı çelik yapımına yarar. Düşük karbonlu çeliklerin eritmesinde, ark ocaklarında olduğu gibi elektrottan karbon alma tehlikesi yoktur.

4.3.3. Oksit Giderme, Döküm ve Katılışma

Sıvı çelik, üretimi sırasında temasta olduğu oksijen ve azot gazlarını yüksek sıcaklık etkisiyle büyük oranda çözübilir. Katılışmadan sonra kalan oksijen miktarının %0,03'ten fazla olması çeliği yaşlanmaya karşı duyarlı, %0,07'nin üzerinde, olmasası ise kızıl sıcaklıkta kırılgan yapar.

*) Bu sargı uygun frekanslı bir kaynak tarafından beslenir ve içinden ge-çen su ile soğutulur.

Çizelge 4.4-Elektrikle eritilmiş çeliklerde yönteme bağlı olarak tipik gaz miktarları

Eritme yöntemi	Gaz miktarı (ppm) ¹		
	O ₂	N ₂	H ₂
Ark ocağı	45	80	10
Vakum altında ark yardımıyla eritme	4	50	1
Vakum induksiyon ocağı	4	3	<1

¹(milyonda bir)

Buna göre özellikle C<80,1 olan çeliklerde oksitleme işleminden sonra oksijen giderilmesi zorunludur.

Sıvı çelikten oksijenin uzaklaştırılması, yani artık demir oksidin indirgenmesi, oksit giderme* olarak adlandırılır. Bu amaçla, oksijene karşı kimyasal ilgileri (afiniteleri) demirden daha fazla olan aşağıdaki elementlerden yararlanabilir:

Mn - V - C - Si - Ti - B - Zr-Al
(afinite soldan sağa artıyor)

İndirgeme gücü zayıf olan ve karbonun demir oksit ile CO oluşturmasını önleyemeyen mangan, öncelikle



reaksiyonunu gerçekleştirmek, yani istenmeyen demir sülfürü zararsız mangan sülfüre dönüştürmek için konverterde veya döküm potasında çeliğe (daha önce karıştırıcıda pik demire) ferromangan halinde katılır. Silisyum ve alüminyum etkin oksit gidericiler olup, alüminyum oksijenin yanında tehlikeli olan azotu da nitrür(AlN) olarak bağlar. Alüminyumunkine benzer etki gösteren Ti ve B ise, ayrıca karbona olan ilgileri dolayısıyla karbonitrür meydana getirirler: Ti(CN), B(CN).

4.3.3.1. İngot Dökümü ve Sürekli Döküm

Sıvı metalin ingot kalıplarına (dökme demir kokillere) doldurulup katılaşmaya bırakılmasına ingot dökümü, su ile soğutulan bakır kokile bir uçtan akıtılrken öteki uçtan katılaş-

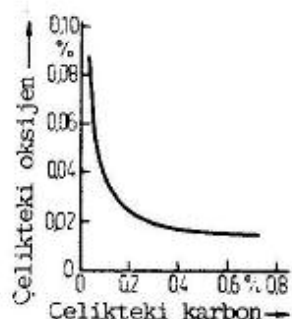
Metal banyosunda FeO halinde bulunan oksijen ile karbon arasında



reaksiyonu oluşur. Sonuçta elde edilen çeliğin karbon derişikliği azaldıkça, çeliğe kalan çözünmüş oksijen oranı artar. Bu ilişkisi yaklaşıklar olarak

$$\text{C} \cdot \text{O} = \text{sabit}$$

bağıntısı ile verilebilir (Şekil 4.12).



Şekil 4.12-Bazik SM-ocağında üretilen çelikte oksijen miktarının karbon oranıyla değişimi

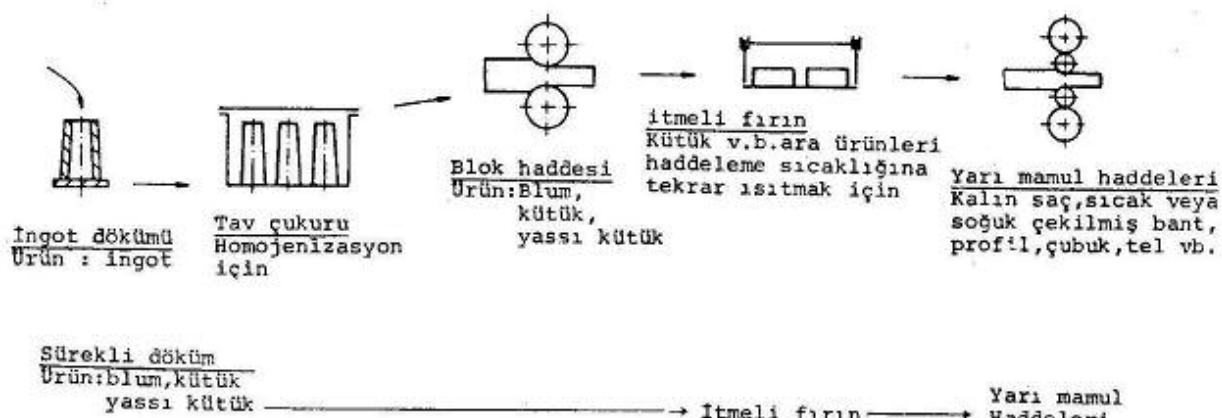
*) "Oksijen giderme" de denmektedir.

mış durumda dışarı çekilmesine sürekli döküm denir.

Başlangıçta demirdışı metallere uygulanan sürekli döküm yöntemi son yıllarda çelik üretiminde de teknik ve ekonomik açıdan büyük önem kazanmıştır. Yöntemin üstünlükleri şöyle sıralanabilir:

- Soğuma hızı yüksek olduğundan homojen ve ince taneli çelik elde edilir.
- Kokil amaçlanan yarı mamule en uygun şekilde tasarlanabilir.
- Üretim hattında tav çukurlarına ve blok haddesine gerek kalmaz (Çizelge 4.5).

Çizelge 4.5- Çelik yarı mamullerin elde edilmesi (Sematik)



- Verim ingot dökümüne göre daha yüksektir; çünkü her ingotta kafa lunkerinin kesilmesinden ileri gelen kayıp sürekli dökümün sonunda sadece bir kez ortaya çıkar.

Öte yandan CO kabarcıklarının yarattığı olumsuz etki nedeniyle yalnız durgun çelikler (bk. 4.3.3.2) sürekli dökümle üretilirler.

Vakumda gaz alma (Bk. 2.1.5) yüksek kaliteli çeliklerin elde edilmesinde giderek yaygınlaşmaktadır. Böyle bir işlem görerek döküldükleri için gaz ve kalıntı miktarları çok düşük olan (temiz) çelikler, başta tokluk ve dinamik zorlamalara karşı dayanım olmak üzere, üstün mekanik özelliklere sahiptirler.

4.3.3.2. Çeliğin Katılışması

Çelikler oksit gidermenin etkinlik derecesiyle ilişkili olarak, kokilde katılışma sırasındaki davranışlarına göre kaynar, durgun ve özel durgun diye sınıflandırılırlar.

Kaynar Çelik (İşareti: U)

Çeliğe sadece mangan verilir; kükürt ve oksijen MnS ve MnO olarak bağlanır. Katılışmanın kokil duvarında başlamasıyla, önce karbonca fakir katı gözelti kristallerinin ayrışmasından

ötürü, kalan eriyik karbon ve düşük sıcaklıkta eriyen diğer elementler bakımından zenginleşir. Böylece eriyikte karbon ile az da olsa hâlâ bulunan FeO arasındaki denge bozulur. Meydana gelen ve N₂, H₂ gibi diğer çözünmüş gazları da sürükleyen CO kabarcıklarının neden olduğu "kaynama" sıvı/katı bilesim farklılığının giderilmesini engeller (bk. 2.2.2).

Sonuçta özellikle fosfor, kükürt gibi yavaş yayılan elementler ile karbon ve manganın homojen olmayan bir dağılımı ortaya çıkar (makrosegregasyon). Çelik ingotun ortasında fosfor ve kükürt miktarları ortalama derişikliğin 3 ile 4 katı olabilir. İngot kenarında meydana gelen gözeneksiz, karbon ve katışıkları çok az olan demir tabakası kaynar çelikler için karakteristiktir.

Durgun çelik (İşareti: R)

Silisyum katılması (ve kükürt giderme için ayrıca mangan), oksijenin çelikte FeO yerine SiO₂ olarak bulunmasını sağlar:



Silisyumun oksijene afinitesi karbonunkinden fazla olduğundan karbon ile indirgenme yani CO oluşumu söz konusu değildir.

Böylece CO gazının çıkışından ileri gelen banyo hareketi görülmez. Çelik "durgun" olarak katılacaktır ve makrosegregasyon kaynar çeliktekine göre yok denecek kadar azdır. Ancak gözeneksiz katıllaşma, büyük ve çoğulukla içeri doğru uzayan bir lunker yaratır. Katılma sırasında ingot kafasının ısıtilması, çeliğin bu bölgede daha uzun süre sıvı durumda kalarak söz konusu boşluğu doldurmasına yardım eder. Kafa lunkeri blok haddesinde kesilir. Dolayısıyla durgunlaştırılmış çelikte üretim verimi durgunlaşmamıştan %15-20 daha düşük olur. Lunkeri tümüyle uzaklaştırılamamış bir ingotun haddelenmesi, kesinlikle istenmeyen katmer oluşumuna yol açar.

SiO₂'in bir bölümü yükselterek cürufa geçer; ancak önemli miktarı eriyikte asılı kalır. Katışıklar ve oksit giderme işleminin ürünleri (SiO₂) ingot içinde oldukça homojen bir dağılım gösterirler. Kaynar çelik ingotlarındaki gibi bir demir tabakası bulunmadığından, durgun çeliklerden haddelenen yarı mamullerin yüzey kalitesi iyi değildir. Bu nedenle derin çekme saçları çoğulukla kaynar veya -şekil değiştirme kabiliyetine büyük önem veriliyorsa - düşük karbonlu özel durgun çeliklerden üretilir.

Aşağıdaki hallerde çelik durgun olarak dökülmek zorundadır:

- Dökme Çelikler: Dökülen parçalara daha sonra haddeleme veya dövmeye gibi şekil verme işlemleri uygulanmayacağından gözeneksiz yapı istenir.

- Sert Çelikler: %0,25'den fazla C içeren çeliklerde oksijen miktarı düşük olduğundan, katılma sırasında çıkan CO gazı ingotu terkedemeyecek kadar azdır. Rasgele dağılan gözenekler

Çizelge 4.6-Kaynar, durgun ve özel durgun çeliklerin karşılaştırılması

Karşılaştırma konusu	Oksit giderme türü(katılılaşma davranışı)		
	U	R	RR
Kimyasal bileşim	Si: Eser Mn: 0,2...0,4% C _{max} : 0,25%	Si: 0,1...0,4% Mn: 0,2...0,6%	Si: 0,1...0,4% Mn: 0,2...0,6% Al _{metalsel} : >0,02%
Önemli reaksiyonlar	FeO + C → CO + Fe FeS + Mn → MnS + Fe FeO + Mn → MnO + Fe	FeS + Mn → MnS + Fe 2FeO + Si → SiO ₂ + 2Fe	FeS + Mn → MnS + Fe 2FeO + Si → SiO ₂ + 2Fe 3FeO + 2Al → Al ₂ O ₃ + 3Fe FeN + Al → AlN + Fe
Makro-segregasyon	kuvvetli	çok az	çok az
Lunker oluşumu	yok	belirgin	belirgin
Yüzey kalitesi	iyi	iyi değil	iyi değil
Şekil deq. Özellikleri	kenar tabaka: iyi çekirdek: kötü ve heterojen	yapıda kalan oksit giderme ürünlerine bağlı, homojen	yapıda kalan oksit giderme ürünlerine bağlı, homojen
Yaşlanma duyarlılığı	fazla	az	en az
Kaynak kabiliyeti	kenar tabaka: iyi çekirdek: çok kötü	daha iyi	en iyi
A _v centik vurma değerinin sıcaklıkla değişimi			

kenar tabakada da yüzeye çok yakın şekilde yer alır. Kalite açısından sakınca yaratan bu durumu önlemek için eriyik durgunlaştırılır*.

- Alaşımlı Çelikler: Alaşım elementlerinin homojen dağılmasını sağlamak üzere daima durgun olarak dökülmelidirler.

Özel Durgun Çelik (İşareti: RR)

Sıvı çeliğe mangan ve silisyuma ek olarak alüminyum katılıp kalan oksijen Al₂O₃'e, azot ise AlN'e dönüştürülür. Böylece oksijenin yanında, şekil değiştirme yaşlanması neden olan azotun gevrekleştirici etkisi de giderilmiş olur (bk. 4.4.5). Ayrıca AlN parçacıklarının katılışında çekirdek rolünü oynaması iç yapının ince taneli olmasını sağlar. Sonuçta dayanım

*) Oksit giderme, meydana gelen lunkeri küçültmek amacıyla, tam değil sadece kenar gözeneklerini önleyecek ölçüde de yapılabilir (yarı durgun çelikler).

ve tokluk büyüklükleri olumlu yönde değişir. Akma sınırı ve çentik vurma tokluğu artar, geçiş sıcaklığı düşer.

Çizelge 4.6'da kaynar, durgun ve özel durgun çeliklerin çeşitli açılardan karşılaştırılması özetlenmiştir.

4.3.4. Haddeleme

Çizelge 4.5'de ingot veya sürekli dökümden başlayarak saç, boru, profil, tel v.b. yarı mamullerin elde edilmesine kadar izlenen akım şeması verilmiştir. Normal ingot ağırlıkları 25-30 ton olup, çok büyük dövme parçalar için yapılan dökümlerde 400 tona kadar çıkılabilir. İngotların, haddeleme öncesi tav çukurlarında bekletilmesi öncelikle mikrosegregasyonun giderilmesi amacını taşır (bk. 4.5.3.1. homojenizasyon). İngot kafa ve tabanı kesilerek blok haddesinde blum, kütük veya yassi kütük şeklini alır. Sıcak haddelemenin daha sonraki kademeleme geçilmeden, bu ara ürünlerin biritmeli fırında uygun sıcaklığa tekrar ısıtılması gereklidir. Sürekli dökümde ise doğrudan kütük veya yassi kütük üretilmesi, işlemleri azaltarak ekonomik açıdan büyük yarar sağlar.

4.4. Demir Eslik Elementlerinin Etkisi

Üretimde kullanılan ham ve yardımcı maddeler ile uygulanan işlemlerden kaynaklanan ve çeliklerin bileşiminde her zaman bulunabilen, Si, Mn, P, S, N, H, O demir eslik elementleri adı altında toplanır. Bunlardan "Si ve Mn" oksit veya sülfür giderme açısından yararlıdır. Geri kalanlar ise malzemeyi gevreklesştiriklerinden istenmezler; dolayısıyla cevher ve hurda tipine göre bileşime tesadüfen giren diğer elementlerle birlikte katıksı olarak nitelenirler. Çeliklerde ayrıca sülfür, oksit, silikat türünden metal olmayan kalıntılar da bulunur. Bunlar çoğunlukla oksit giderme işleminin cürüfa geçmemiş reaksiyon ürünlerini veya ocak duvarları v.b. yerlerden koparak sürüklendiş parçacıklardır.

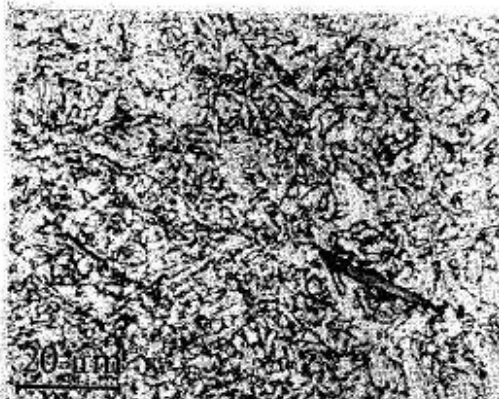
Çeliklerin kalitesini, özel olarak katılmış yani "istenen" alaşım elementleri kadar, "istenmeyen" katıksı ve kalıntılar da olumsuz yönde olmak üzere etkiler. Katıksıların belirli miktarları aşmaları veya heterojen biçimde dağılmaları aynı kimyasal bileşime sahip çeliklerin özelliklerinin çok farklı olmasına yol açabilir.

4.4.1. Mangan

α -demirinde oda sıcaklığında yaklaşık %10 mangan çözünebilir; yani manganla alaşımlandırılmış çeliklerde genellikle ayrı bir Fe-Mn fazı oluşmaz. Dolayısıyla mangan miktarı metalografik yöntemlerle saptanamaz.

Alaşimsız çelikler %1,6'ya kadar mangan içerebilir, bunun üzerinde ise "alaşımlandırılmış" sayılır. Çeliğin bileşimindeki mangan, FeS bileşiği olarak bulunan ve kırmızı sıcaklıkta kırılmaya yol açan kükürdü zararsız MnS'e dönüştürür. Böylece çeliğin sıcak şekillendirilebilme özelliği korunmuş olur. MnS haddeleme sırasında hadde doğrultusunda uzar (Şekil 4.13)

ve sadece bu doğrultuya dik yönde tokluk özelliklerini belirgin olarak azaltır.



Şekil 4.13-Ince taneli yapı çeliği kaynak bağlantısının tane irileşmesi bölgesinde mangan sülfür (gri uzun kalıntı)

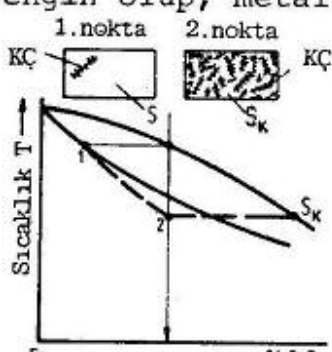
4.4.2. Silisyum

α -demirinde oda sıcaklığında %14 silisyum çözünebildiği için ayrı bir Fe-Si fazı görülmez. Ancak silisyumla gerçekleştirilen oksit giderme reaksiyonunun ürünleri yapıda kalabilir. Bunlar yuvarlak şekilli, çoğunlukla sert ve gevrek silikatlar ($\text{örneğin } \text{FeO} \cdot \text{SiO}_2$) olup, haddeleme sırasında şekil değiştirerek çizgisel biçimde dizilirler. Alaşimsız çeliğerde %0,5'e kadar silisyum bulunabilir.

4.4.3. Fosfor

Fosfor demirle asalyer katı çözeltisi oluşturur. Diğerى kelay olmak üzere, tokluğu en çok azaltan iki elementten biridir. Çelikte %0,6 fosfor bulunması halinde geçiş sıcaklığı 300°C 'a kadar yükselir. Fosfor miktarının izin verilebilecek üst sınırı Thomas çeliklerinde %0,080; genel yapı çelikleri (DIN 17100) sınıf 2 ve 3 de %0,065-%0,050; kaliteli ve asal çeliklerde %0,045-%0,035 dir. Sadece bazı özel durumlarda daha yüksek fosfor oranlarına gidilebilir. örneğin sıcak preslenen somun çeliğine yaklaşık %0,3 fosfor katılarak 1000°C 'ın üzerindeki şekil değiştirme kabiliyeti artırılır. Aynı şekilde otomat çelikleri talaş kaldırılarak işlenen parçaların yüzey kalitesini iyileştirmek için %0,2'ye kadar fosfor içerirler.

Kuvvetli makrosegregasyon gösteren fosforun, demir içindeki yayılma hızı çok düşük olduğundan mikrosegregasyonu da olağanüstü belirgindir. Her çelik katılışma sırasında bir sıcaklık aralığından geçer. Ayıran dendritik kristaller fosfor bakımından fakirdirler. Son katılışan eriyik Sk ise fosforca zengin olup, metal olmayan kalıntıların da büyük kısmını barındırır (Şekil 4.14). Söz konusu fosfor mikrosegregasyonu yüksek sıcaklıklarda yapılan uzun süreli bir tavlamayla çok zor olarak giderilebilir. Bu nedenle çeliğin bileşimindeki fosfor miktarının zararlı olabilecek değerlere ulaşmamasına çalışmak teknik bakımından daha basit ve ekonomiktir.



Şekil 4.14-Pratikteki soğuma hızlarında mikrosegregasyon oluşumu (şematik)

Sıcak şekil verme ile dendritik döküm iç yapısı bozulur; ancak segregasyon ortadan kalkmaz. Haddeleme doğrultusunda oluşan birincil bantlı yapı, metalografik yöntemler yardımıyla, birbirini izleyen fosforca zengin açık ve fosforca fakir

koyu renkli bantlar halinde görülür (Şekil 2.21). Bu oluşum, ötektoidaltı çeliklerde (ikincil) bantlı yapı denen, mikroskopik ölçükteki ferrit-perlit dizilenmesinin ana nedenidir (Şekil 2.18 ve 4.78). Ayrıca diğer elementlerin dağılımı da bunda rol oynar (bk. 4.4.4).

4.4.4. Kükürt

Demir içinde kükürt çözünürlüğü yok denecek kadar az olduğundan, iç yapısında karakteristik demir sülfür (FeS) fazı ortaya çıkar. Demir ve demir sülfür yozlaşmış bir ötektik oluştururlar. Bu ötektik yapının demir bileşeni birincil ayısan γ -KÇ üzerine kristalleşir. FeS ise tane sınırı maddesini meydana getirerek aşağıdaki olumsuz sonuçları yaratır:

- 800°C ve 1000°C arasındaki şekil verme sırasında kızıl sıcaklık kırılganlığı (demir sülfürün şekil değiştirme kabiliyetinin düşük olması tane sınırı kırılmasına yol açar),
- 1200°C'ın üzerinde akkor sıcaklık kırılganlığı (FeS 1200°C'da eridiği için taneler birbirinden ayrılır).

1000°C ve 1200°C arasındaki sıcaklıklarda çelikler çoğunlukla kolay şekillendirilebilir. Bu davranışın demir sülfürün γ -KÇ içinde (geçici olarak) çözünmesinden, yani tane sınırlarındaki sürekliliğinin yok olmasından ileri geldiği sanılmaktadır.

Yukarıda açıklanan olumsuz etkileri nedeniyle çeliklerde kükürt miktari fosfora olduğu gibi sınırlanır. Ancak miktari çok düşük olsa da hali iç yapısındaki kükürdü tehlikesiz bir biçimde dönüştürülmesi zorunludur. Bu amaçla katılan mangan kükürt ile ancak 1600°C'da eriyen MnS bileşiğini oluşturur. MnS eriyikten birincil olarak ayırtıldığından tane sınırlarında bulunmaz. Birçok kalıntıdan farklı olarak şekil değiştirebilir ve sıcak şekil verme sırasında haddeleme doğrultusunda uzar. Otomat çelikleri ise %0,3'e kadar kükürt ve yeterli ölçüde mangan içerirler. Mangan sülfürün düşük dayanımından ötürü kısa kırilıcı talaş elde edilmesi işlemeyi kolaylaştırır.

Segregasyonlar veya kükürtçe zengin bölgelerin varlığı BAUMANN (sülfür)-baskısı ile gösterilebilir. Makro ve mikro-segregasyonlar açısından kükürt fosfora benzer şekilde davranıştır. Ayrıca ötektidöncesi* ferrit taneleri mangan sülfürler üzerinde oluşmayı yeğler. Böylece fosfor ve kükürt, ortaya çıkabilecek bantlı yapıda ferrit dizileri içinde yer alırlar.

4.4.5. Azot

Azot çelik için genellikle çok zararlı katıskılardan biridir. Onbinde birler oranında bulunması bile, akma sınırı ve çekme dayanımını biraz yükseltirken, şekil değiştirme kabiliyeti ve özellikle çentik vurma topluğunu kuvvetle düşürür.

*) Yüksek sıcaklıktan soğuma sırasında $\alpha + \gamma$ bölgesinde ayısan, perlit-dışı ferrit fazı.

Bu nedenle azot miktarının, önemsiz yerlerde kullanılan Thomas çelikleri dışında, %0,01 sınırını aşmaması zorunludur.

Azot α -demirinde 590°C 'da en çok $\pm 10^{-1}$, oda sıcaklığında ise $\pm 10^{-5}$ dolayında çözünür. Hızlı soğutma sonucu yapıda zorunlu çözünmüş halde kalıp, sıcaklığı bağlı olarak belirli bir sürenin geçmesiyle de iğne biçimli ve çok ince dağılmış demir nitrür (Fe_4N) çökeltilerini oluşturur. Hızlı soğutma yaşlanması diye adlandırılan ve benzer koşullarda ferritteki karbon atomlarının kümelenmesiyle de ortaya çıkan bu olay çeliğin tokluğunu azaltır. Düşük karbonlu çeliklerde öncelikle azotun yol açtığı bir diğer ve çok daha tehlikeli gevrekleşme, şekil değişimi yaşlanmasıdır. Olağanüstü bir tokluk düşüşüne neden olan sözkonusu yaşlanması, soğuma hızına bağlı olmaksızın sadece soğuk şekil değiştirmiş çeliklerde görülür. Şekil değişimi sırasında dislokasyon yoğunluğu yaklaşık 10^6 mm/mm^3 'den $10^9..10^{10} \text{ mm/mm}^3$ 'e çıkar. Çelikte çözünmüş olan azot atomları özellikle dislokasyonların sık olduğu yerlere yayınarak, bunların hareket edebilmelerini büyük ölçüde engellerler; yani malzeme gevrekleşir. Ancak soğuk şekil değiştirmiş çelik oda sıcaklığında bekletilirse tokluk düşüsü çok uzun süre (haftalar, aylar, yıllar) sonra ortaya çıkar (doğal yaşlanma). Oysa daha yüksek sıcaklıklarda ($200^{\circ}\text{C}-300^{\circ}\text{C}$) azot atomlarının yayınıp dislokasyonları kilitlemesi tavlama ile eşzamanlı olarak gerçekleşir (yapay yaşlanma). Dolayısıyla hemen işlem sırasında süneklik azalabileceğinden, çeliklere 200°C ile 300°C arasında şekil verilmemelidir. Bu sıcaklıklarda çeliğin aldığı renk nedeniyle, sözü edilen olumsuz davranış mavi gevreklik diye anılır.

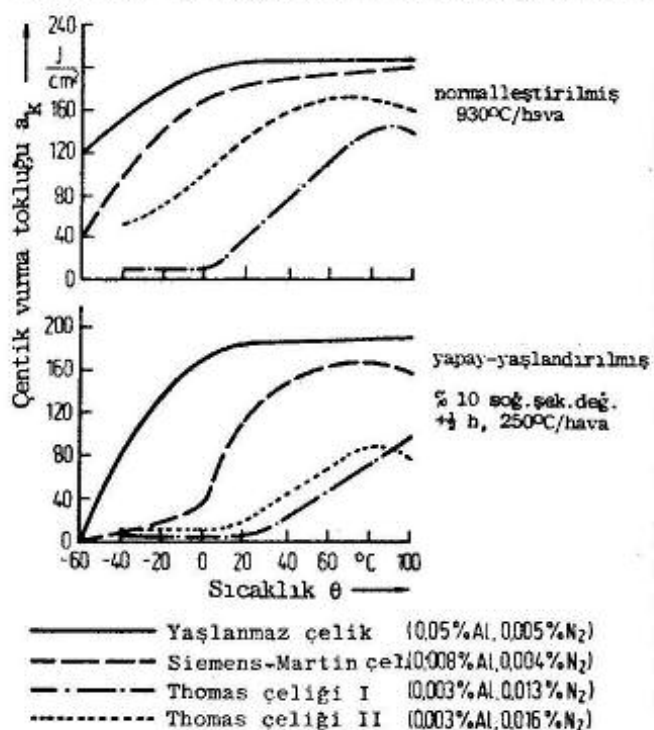
Tavlama sıcaklığının yeniden kristalleşmeyi sağlayacak kadar yüksek olması halinde ise, dislokasyon yoğunluğu soğuk şekil değiştirmeden önceki değerine iner ve azot atomlarının dağılımı düzgünleşir. Böylece şekil değişimi yaşlanması* görülmmez. Ancak bu kez de tav sonrası koşullarına bağlı olarak hızlı soğutma yaşlanması meydana gelebilir.

Celiğin yaşlanması ortadan kaldıracak en kesin yöntem olarak, azotun tamamen giderilmesi teknik ve ekonomik nedenlerle gerçekleştirilemez. Bunun yerine azota afiniteleri demirden daha yüksek olan, örneğin alüminyum, titanyum, niyobyum gibi elementlerin sıvı çeliğe katılması, azotu zor çözünen nitrürler olarak bağlar. Bu şekilde azot katı çözeltiden dışarı alınarak yaşlanmaz (yaşlanmaya dayanıklı) çelik elde edilir (örneğin özel durgun çelikler).

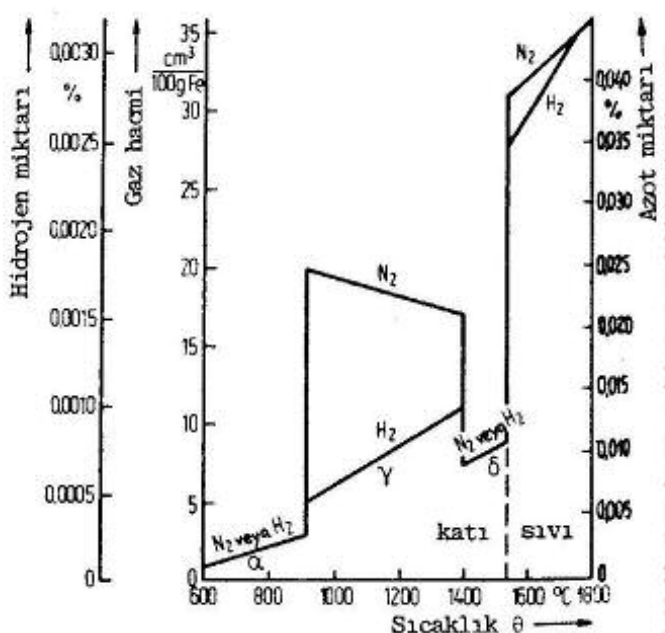
Yaşlanma eğilimi, yaşlanmamış ve yapay yaşandırılmış (± 10 soğuk şekil verilmiş, $1/2$ saat 250°C sıcaklıkta tutulmuş) deney parçalarında çekme veya daha çok çentik vurma tokluğu büyülüklerinin karşılaştırılması ile saptanır. Geçiş sıcaklığı, yaşlanmaz çeliklerde sadece soğuk şekil değişimi etkisiyle 30°C ila 40°C , Thomas çeliklerinde ise yaşlanmanın da eklenmesiyle 80°C

*) Dislokasyon yoğunluğunun yeterli bir düzeye yükselmesini (Δl) den çok ($\Delta l/l$) belirlediğinden, kullanılan deyim "birim şekil değişimi (genleme) yaşlanması" anlamındadır.

ile 100°C veya daha fazla yükselir (Şekil 4.15).



Şekil 4.15-Yumuşak ve alaşimsız yapı çeliklerinde şekil değişimi yaşlanması ($C \approx 0,13$). Yaşlanmış çeliklerin centik vurma tokluğununa normalleştirmenin etkisi (KÜNTSCHER'e göre).



Şekil 4.16-Hidrojen ve azotun demir içindeki çözünürlüğüne sıcaklığın etkisi (PHILBROOK ve BEVER'e göre)

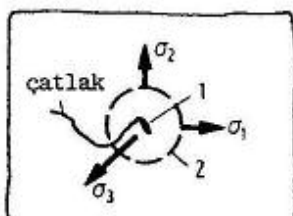
Durgunlaştırılması alüminyumla yapılmamış bir çeliğe soğuk şekil verilirse, kayma bölgelerinde FRY dağlama ayardı ile görünür hale getirilebilen demir nitrürler ayrılır. Koyu dağlanmış bölgeler LÜDERS çizgi ve bantları olarak adlandırılır. Belirgin akmaya özgü bu bantların örneğin derin çekme sırasında yeniden oluşması, saçın yüzey düzgünliğini bozarak parlatma, galvanizleme, lakkama gibi işlemleri güçlestirir. Bu nedenle söz konusu saçlar oksit giderme alüminyumla yapılır veya temper haddelemesinden sonra belirli bir süre aşılmadan derin çekme gerçekleştirilebilir (bk. 4.8.2.2).

4.4.6. Hidrojen

Hidrojen atom çapı en küçük olan elementtir. Arayer katı gözeltisi oluşturmak üzere, demirdeki çözünürlüğü (sabit basınçta) Şekil 4.16'da gösterilmiştir. Hidrojen genel olarak her metal malzemeye sadece atomsal olarak girebilir. Oda sıcaklığında demir içindeki yayılma hızı, karbonun solidüs sıcaklığının hemen altındaki yayılma hızından daha büyüktür. İç yapida gözlenemez, varlığı etkileri ile anlaşılabılır. Azot gibi hidrojen de dayanım değerlerini önemli oranda yükseltmeden çeliği gevrekleştirir.* Ancak hidrojen gevrekliği standart çekme veya centik vurma deneyleriyle saptanamaz. Bu amaca en uygun yöntemin centikli parçalarda çok yavaş zorlama ile yapılan çekme deneyi olması, hidrojene özgü gevrekleştirme mekanizması ile açıklanabilir:

*) Hidrojen etkisiyle gevrekleşme anlamında

Demir içinde yayılan hidrojen atomlarının kafes kusurları veya diğer süreksızlıklar (dislokasyonlar, tane sınırları, kalıntılar) moleküllere dönüşmesi önemli bir basınç artışı doğurur. Moleküler hidrojen yayınamaz. Oluştuğu yerde (cüruf, gözenek) yüksek basınç altında kalarak, küçük bir bölgede (Şekil 4.17-2 bölgesinde) üç eksenli gerilme durumu yaratır. Dolayısıyla çelik gevrekleşir ve ayrılma dayanımı aşılınca çatlaklar meydana gelir.



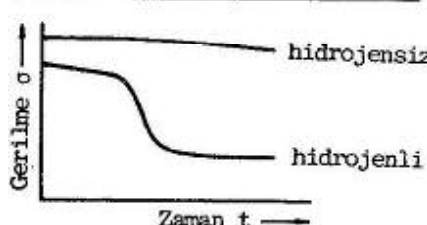
Şekil 4.17-Çelikte hidrojenin etkisi 1:cüruf, gözenek, çatlak v.b.

2: gevreklesen bölge (üç eksenli gerilme durumu)

rak neden olduğu çatlama, yüzeyde kabartı oluşumu ile kendini belli eder.

Pul çatlaklar: Özellikle 300°C ile 200°C arasında hızlı soğutulmuş büyük dövme parçalarda, kısa ve süreksız iç çatlaklar meydana gelir. Pul biçimindeki bu malzeme ayrılmalarına, kırık yüzeyinde parlak lekeler halinde göründüklerinden balık gözü de denir. En başta krom-nikel ve krom-mangan çeliklerinin duyarlı olduğu söz konusu çatlama olayında, malzemenin içerdiği hidrojen ile birlikte dönüşüm gerilmeleri de önemli rol oynar. Bu gerilmeler ne kadar büyük olursa (düşük dönüşüm sıcaklığı) çatlak oluşumu için gereken hidrojen miktarı o kadar az olur.

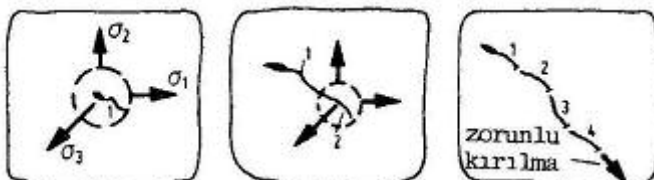
Yukarıda sözü edilen basınç teorisi, hidrojen gevreklesmesiyle ilgili bütün deneysel gözlemleri ve öncelikle yüksek dayanımlı çeliklerin kaynak bağlantılarında rastlanan gecikmeli çatlak oluşumunu yorumlamaya yeterli değildir. Şekil 4.18,



Şekil 4.18-Gecikmeli çatlak oluşumunda hidrojenin etkisi (şematik)

de hidrojen yüklenmiş ve yüklenmemiş çentikli çekme parçalarında çatlama yol açan sabit gerilmenin geçen süreye bağlılığı şematik olarak gösterilmiştir. Süre uzadıkça taşınabilen gerilmenin bir sınır değere kadar azalması dinamik yorumlara benzediğinden, hidrojen yüklü malzemenin bu davranışını statik yorulma diye de adlandırılır. Gecikmeli çatlak oluşumu için günümüzdeki en geçerli açıklama, "gerilme gündeşti hidrojen yayılması"

teorisidir. Buna göre, hidrojen parçadaki gerilmeye ve derişikliğine bağlı olarak kritik bir yayılma hızına erişirse, kafes kusurlarında yığılıp mikro çatlak başlatır. Bu sırada basınç düşer. Ancak hidrojenin gene zamanla ve bu kez çatlak ucuna yayılması ile olay tekrarlanır. Böylece çatlak, kalan kesit zorunlu kırılıncaya kadar, adım adım ilerler (Şekil 4.19).



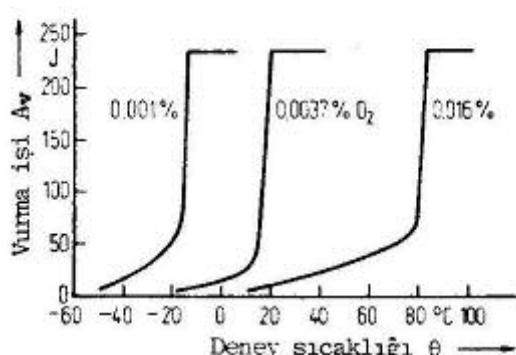
Şekil 4.19- Gecikmeli çatlak oluşumunun şematik gösterilişi (delayed fracture)

Yukarıda sözü geçen olaylar çoğunlukla oda sıcaklığında görülür. Daha alçak veya yüksek sıcaklıklarda yayınma ya çok yavaş, ya da bir araya gelen atomları yeniden dağıtabilecek biçimde çok hızlı olur. Çatlak oluşumu için gereken kritik miktar ulaşılabilir. Aynı durumla karşılaşılan yüksek zorlama hızlarında da, hidrojenin kafes kusurlarında toplanıp herhangibir etki yaratmasına fırsat kalmadan kırılma meydana gelir.

Sıvı çeliğin gazını alma, parçaları 300°C - 200°C arasında yavaş soğutma veya hidrojenin dışarı yayınmasını sağlamak üzere, bu sıcaklıklarda yeterli süre bekletme gibi yöntemlerle hidrojen gevrekleşmesi önlenebilir. Ancak dekapaj kabartısı v.b. hasarlar sonradan giderilemeyeceği için, böyle hallerde baştan önlem alınması gereklidir (örneğin asit banyosuna inhibitör katılması).

4.4.7. Oksijen

Oksijen demirde hemen hemen hiç çözünmez; ancak azot ve hidrojene benzer şekilde çok az miktarda bulunması dahi belirgin bir gevrekleşmeye neden olur. Şekil 4.20'de oksijenin demirin çentik vurma davranışını nasıl etkilediği görülmektedir.



Şekil 4.20 Saf demirin çentik vurma davranışına (ISO-V deney parçaları) oksijenin etkisi (BIGGS'e göre)

lar, haddeleme sırasında kırılıp çizgisel biçimde dizilerek, daha sonraki şekillendirme işlemlerini güçlendirebilirler.

4.4.8. Metal Olmayan Kalıntılar

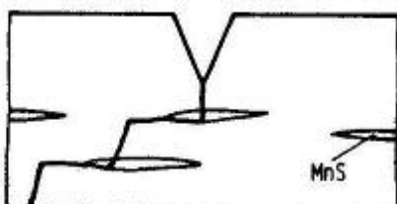
Çeliğin bünyesinde bulunan kalıntıların miktarı, tür ve dağılımı şekil değiştirme ve kırılma davranışıyla dayanım özelliklerini büyük ölçüde etkiler.

Kalıntılar oksit, sülür veya silikat türünden olabilirler. Ancak bunlar MnO, MnS, SiO₂ gibi basit kimyasal maddeler halinde kalmayıp, genellikle karmaşık bileşik veya ötektikler oluşturduklarından, bileşimlerinin belirlenmesi oldukça güç ve zaman alıcıdır. Dolayısıyla çoğu kez kalıntıların miktar ve dağılımlarının bulunması ile yetinilir. Hazırlanmış abaklar yardımıyla kalıntı miktarı oldukça kolay ve yeterli doğrulukta saptanabilir.

Kalıntıların kaba bir ayırmalı gevrek olanları yuvarlak ve köşeli, sünek olanları ise uzun biçimdedir. Zorlamalar sırasında çevrelerinde gerilme ve şekil değişimi yığılmaları (tepeleri) oluşur.

Sıcak şekil vermede yassılaşan MnS dışında diğer bütün kalıntılar değişik ölçüde de olsa sert ve kırılgandır. Yüksek çekme dayanıklı malzemelerde daha kuvvetli olmak üzere tokluğunu azaltır, şekil değişimi ile dayanım özelliklerinde belirgin bir anizotropi (yöne bağımlılık) yaratırlar.

Dış zorlamalar ana malzeme/kalıntı faz sınırında adezyonun azlığı dolayısıyla ayrılmalara neden olursa, bir çatlak gibi etkiyen kalıntı işletme sırasında çoğu zaman hasara yol açar. Ancak çelikte geniş yüzeyli ve dizilenmiş kalıntıların (çoğunlukla MnS) bulunması, darbeli zorlama altında çatlak ilerlemesine karşı direnci önemli oranda artırabilir. Şekil 4.21 de şematik olarak açıklandığı gibi, deney parçasında çentik di-



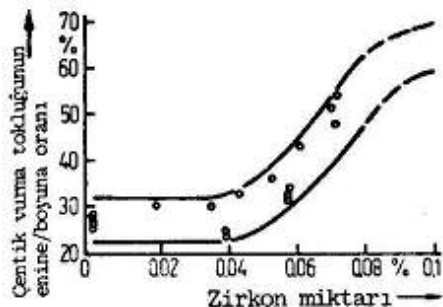
binden başlayan çatlak, kalıntılar nedeniyle yön değiştirmek zorundadır. Çatlağın uygun yerlerde yeniden oluşabilmesi ise, doğrudan ilerlemesine göre daha fazla vurma enerjisi harcanmasını gerektirir. Böylece haddeleme

da kötüleştirir. Sonuç olarak çentik vurma tokluğu boyuna ve enine doğrultularda önemli farklılık gösterir*

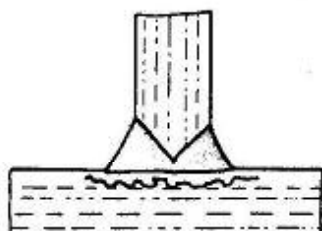
Basınçlı boru hatları ve basınçlı kaplar gibi bazı uygulamalarda, yukarıda açıklandığı üzere uzamış MnS kalıntılarından ileri gelen tokluk anizotropisi ve enine değerlerdeki aşırı düşüş istenmez. Bu durumda çeliğe zirkon, seryum veya titan gibi elementler katılılarak oluşturulan sülürler (ZrS, CeS, TiS) haddeleme sırasında şekil değiştirmediklerinden, sözü edilen yöne bağımlılık büyük ölçüde ortadan kalkar** (Şekil 4.22).

* Aksi belirtildiği sürece, çentik vurma deney parçaları yarı mamulden haddeleme doğrultusunda çıkarılır, çentik ise haddeleme yüzeyine dik olarak açılır.

**) Sağ üretiminde haddeleme doğrultusunun her pasoda 90° değiştirilmesine de bu amaçla başvurulabilir.



Şekil 4.22-Çentik vurma topluluğundaki yone bağımlılığının zirkon miktarı ile değişimi



Şekil 4.23-Bir kaynak bağlantısında tabakalı kırılma oluşumu ve ilerlemesi

Yüksek dayanımlı çeliklerin özellikle kalın parçalardaki açı kaynağında tabakalı kırılma (yırtılma) görülebilir. Söz konusu hasar, kaynak iç gerilmelerinin etkisiyle ve diğeri altına rastlayan bölgede kalıntı dizileri boyunca meydana gelir (Şekil 4.23). Malzemenin bu tür çatlamaaya az veya çok her zaman eğiliği bulunduğuundan, tabakalı kırılma öncelikle konstrüktif önlemlerle engellenir.

4.5. Çeliklerin Isıl İşlemleri

4.5.1. Genel Amaçlar ve Sınıflandırma

Demir esaslı malzemeler sıcaklığı bağlı olarak, çok farklı özellikte değişik kristal yapılara sahiptirler (*alotropluk*). Ayrıca ostenit sıcaklığından hızlı soğutulmaları halinde aşırı soğuma görülür; yani ostenitin dönüşümü düşük sıcaklıklarda, karbon ve diğer alaşım elementleri için güçleşen yayınma ko-

sulları altında gerçekleşir. Ortaya çıkan iç yapı, dönüşüm sıcaklığı ve bu sıcaklığındaki yayınma hızı ile yakından ilişkilidir. Böylece alotropluk ve kuvvetli aşırı soğuma eğilimi, özellikle de değiştirebilecek isıl yöntemlerin demirdışı metal malzemeleri göre daha çeşitli ve etkin olmasını sağlar.

İç yapı ve özellikler bakımından belirli bir durumu elde etmek üzere, malzemenin solidüs sıcaklığının altında uygun sıra ve süre ile ısıtılp soğutulmasına isıl işlem denir. İşlem sırasında ortamın etkisiyle, örneğin karbonlama ve nitrürlemede olduğu gibi, çeliğin kimyasal bileşimi de değişebilir*.

Çeliklerin isıl işlemleri başlica şu amaçlarla uygulanır:

- Talaşlı işlenebilme özelliği iyileştirilir (yumuşatma, tane irileştirme),
- Dayanım artırılıp azaltılabilir (sertleştirme, normalleştirme, yumuşatma),
- Soğuk şekil vermenin etkisi yok edilebilir (yeniden kristalleştirme, normalleştirme),
- Mikro segregasyon ortadan kaldırılabilir (homojenleştirme),
- Tane büyülüğu değiştirilebilir (normalleştirme, yeniden kristalleştirme, tane irileştirme),

*) Ortamın oksitleyici olması ise karbon kaybı ve tufala yol açar. Karbon-suzlaşan yüzey tabakası malzemenin özellikle yorulma dayanımını düşürür. Bu durum parçanın kullanılma yeri bakımından bir sakınca yaratıcaksa, söz konusu tabakanın işlenerek giderilmesi, ya da ısıtma işleminin koruyucu gaz, kömür tozu, erimiş tuz veya kurşun banyosu gibi ortamlarda yapılması gereklidir.

- İç gerilmeler azaltılabilir(gerilme giderme),
- Belirli iç yapılar elde edilebilir(normalleştirme,yumuşatma,sertleştirme).

Söz konusu ısil işlemler genel olarak iki ana grupta toplanabilir:

- Tavlama
- Sertleştirme

Tavlama ile iç yapının kararlı denge durumuna yaklaşması sağlanır(soğutma yavaş yapılır).Sertleştirmede ise ostenit, çeliğin bileşimine bağlı bir minimum hızın altına inilmeyecek şekilde soğutularak yarı kararlı bir iç yapı(martenzit)oluşur*.

Tav işlemleri de kendi aralarında tekrar iki gruba ayrılır:

1.Tür Tav İşlemleri

İç yapı değişikliklerine neden olsalar bile,öncelikle belirli özelliklerin elde edilmesine yönelikler(homojenleştirme,tane irileştirme,gerilme giderme,yeniden kristalleştirme işlemleri).

2.Tür Tav İşlemleri

Bunlarda temel amaç *belirli iç yapı* durumlarına ulaşmaktadır(yumuşatma,normalleştirme işlemleri).

4.5.2.Sıcaklık-Zaman Diyagramı

Her ısil işlem en az

- Belirli bir sıcaklığa ısıtma,
 - Bu sıcaklıkta tutma,
 - Soğutma
- aşamalarını içerir(Şekil 4.24).

İstenilen sıcaklığa ısıtmada iki yöntem vardır:

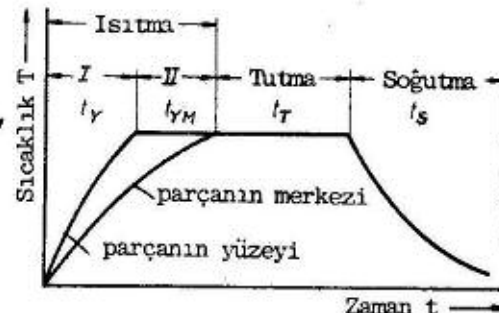
-*İsi* parçaya bir dış kaynaktan taşınır(temas veya radyasyon yoluyla)

-*İsi* parçada oluşturulur

(doğrudan elektrik akımı geçirme veya induksiyon yoluya).

Isının dıştan verilmesi halinde parçanın merkezi yüzeyinden daha geç isinir. Bu iki sıcaklığın farkı ve eşitlenme süresi(Şekil 4.24, t_{yM}) aşağıdaki koşullarda artar:

-*Isıtma hızı*($T_{istenen}/t_y$) yüksek,



Şekil 4.24-Isıl işlemlerde Sıcaklık-Zaman diyagramı (şematik)

I: Yüzeyi istenen sıcaklığı

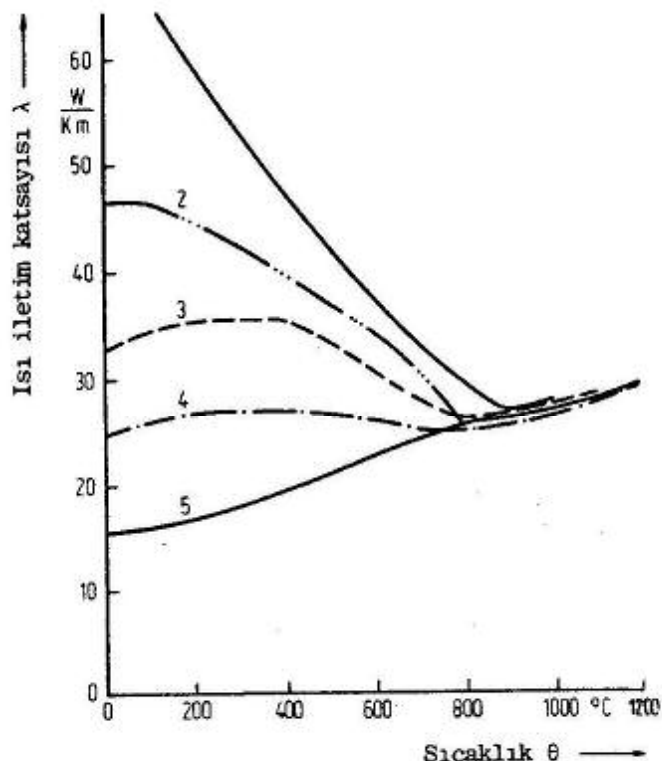
getirme

II: Yüzey ve merkez sıcaklıklarını eşitleme

* Bu her iki uygulamayı da içeren işleme, yani dengesiz bir yapı elde ettikten sonra istenilen ölçüde denge durumuna yaklaşmaya "islah etme" denir(bk.4.5.7).

- Malzemenin ısı iletim katsayısı düşük (Şekil 4.25'den görüldüğü gibi $\lambda, 900^{\circ}\text{C}$ 'a kadar çeliğin bileşimine bağlıdır. Alışım elementlerinin miktarı çoğaldıkça ısı iletimi güçlesir),

- Parça kalınlığı fazla.



Şekil 4.25-Sıcaklık ve bileşime bağlı olarak çeliklerde ısı iletim katsayıları değişimi (RUHFUS'a göre)

Örnek: Et kalınlığı veya çap s = 200 mm ise tutma süresi

$$t_T = \left(20 + \frac{s[\text{mm}]}{2} \right) \text{dak} = 120 \text{ dak} = 2\text{h olmalıdır.}$$

Ekonominik açıdan parçanın olabileceği kadar hızlı ısıtılması istenir. Ancak bu durumda iç ve dış kısımlar arasındaki sıcaklık farkı büyük olacağından çarpılma ve çatlama tehlikesi doğar. Isıl işlemlerin çoğunda ısıtma ve soğutma sırasında faz dönüşümleri meydana gelir. Bunların yarattığı ek gerilmeler de çatlamayı kolaylaştırır. Dolayısıyla özellikle kalın ve karmaşık biçimli parçalar müsaade edilenden daha hızlı ısıtılmamalıdır. Az alışımı çelikten yapılmış 600 mm çapındaki bir türbin mili yaklaşık $50^{\circ}\text{C}/\text{h}$ hızla ısıtılır. Bu örnektenden de görüldüğü üzere, üretim kademelerinden biri olan isıl işlem parça maliyetini önemli ölçüde artırabilir. Basit şekilli parçalarda doğrudan ısı üretimiyle yüksek ısıtma hızlarına ulaşmak mümkündür.

Tutma süresi t_T , öncelikle ostenitleme sıcaklığının üzerindeki isıl işlemlerde yeterince uzun olmalıdır. Bu süre kabaca aşağıdaki bağıntıyla hesaplanabilir:

$$t_T [\text{dak}] = 20 + \frac{s[\text{mm}]}{2}$$

Dıştan ısıtmadaki gibi soğutma sırasındaki hız da fiziksel bakımından belli bir değeri aşamaz; parça kalınlığı ve ısı iletim katsayısı ile sınırlıdır. Öte yandan yüksek soğuma hızının, iç ve dış kısımlar arasında doğacak sıcaklık farklarından ötürü, çarpılma veya çatlamaya yol açabilecegi unutulmamalıdır. Söz konusu *ısil gerilmelere*, özellikle martenzit oluşumu dalyısıyla dönüşüm gerilmeleri de ekleniyorsa, soğuma hızının dönüşüm sıcaklıklarında mümkün olduğu kadar düşük tutulması gereklidir.

4.5.3. Tav İşlemleri (kararlı dengeye yakın durumlar)

4.5.3.1. 1. Tür Tav İşlemleri

Yayınma Tavı (Homojenleştirme)

Birincil kristalleşmeden gelen kimyasal bileşim farklarını (mikro segregasyon) gidermek için yapılır. Böylece ikincil kristalleşmede (örneğin sıcak şekil vermede) ortaya çıkabilecek bantlı içyapı ve bunun özelliklere etkisi de önlenmiş olur.

Yayınma yoluyla derişikliğin dengelenmesi ancak mikro ölçekte olmak üzere çok yüksek sıcaklık (1100°C - 1300°C) ve çok uzun sürede (yaklaşık 50 h) gerçekleşir. Bu nedenle pahalı ve makro segregasyonu gideremeyen bir işlemidir. Artan sıcaklık yüksek enerjili tane sınırlarını ve dolayısıyla tane sayısını azalttıından, homojenleştirme genellikle aşırı tane irileşmesine yol açar.

Hadde ürünlerinin başlangıç malzemesi olan ingotlar tav çukurlarında bir tür yayınma tavı görür. Çeliğin kalitesi açısından böyle bir işlem zorunluysa, bunun ingot aşamasında yapılması uygun olur. Çünkü yöntemin olumsuz yan etkileri (tufal oluşumu, tane irileşmesi) daha sonra haddeleme ile ortadan kaldırılır.

Malzeme de gevrekleştirici katıskılardan çözünebilir olanları, homojenleştirme sırasında tane sınırlarından tane içlerine doğru yayılır. Çözünmeyen bileşikler (karbürler, oksitler, nitrürler) ise küresel bir biçim alırlar. Böylece bazı çeliklerin mekanik özellikleri iyileşebilir. Örneğin çoğunlukla (alışılmış) çelik döküm parçalarına normalleştirmeden önce yayınma tavı uygulanması centik darbe tokluğununu yükseltir.

Tane Irileştirme Tavı

Düşük karbonlu çeliklerde talaşlı işlemeyi kolaylaştırmak amacıyla, gevrek ve kaba taneli bir içyapının elde edilmesi talaşın sürekliliğini engeller. Bu durumda malzeme "sivanmaz" ve özellikle kısa kırılıcı talaş verdiğiinden otomat tezgâhlarında işlenebilir.

Tav sıcaklığı çeliğin üretim yöntemi ile oksit giderme ürünlerinin miktar ve türlerine bağlı olarak 950°C ile 1100°C arasında seçilir. Alt dönüşüm noktası A_{f} 'e kadar yavaş olması gereken soğutma daha sonra hızlı yapılabilir. Yüksek sıcaklıkta ötürü pahalı sayılan tane irileştirme tavı, topluk değerlerini de düşürdüğünden seyrek uygulanır.

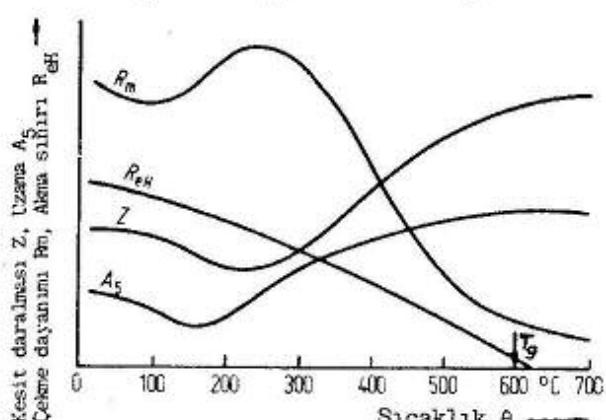
Gerilme Giderme Tavı

Uniform olmayan ısıtma/soğutma (döküm,kaynak,sertleştirme), uniform olmayan şekil değişimi (eğme,soğuk şekil verme), talaşlı işleme (frezeleme,planyalama, tornalama v.b.) ve dönüşüm olayları sırasında parça içinde gerilmeler doğar.Bunlar beklenmeyen biçim değişimlerine (çarpılma) ve/veya malzeme ayrılmalarına (çatlama) yol açabilir. Gerilme giderme tavı öncelikle kaynak konstrüksyonları ile iç ve dış kısımlar arasındaki küçük sıcaklık farklarının önemli gerilmelere neden olduğu kalın parçalara uygulanır.Çatlama tehlikesi varsa gerilmeyi yaratın olaydan hemen sonra tavlama yapılmalıdır.İşlem genel olarak makro gerilmelerin azaltılmasını amaçlar. Bu arada dönüşüm (sertleşme) mikro gerilmeleri de ortadan kalkabilir.

Dayanım özelliklerinde önemli değişikliklere yol açmamak için, tav sıcaklığı alt dönüşüm sıcaklığı A_1^C 'den, ıslah edilmiş çeliklerde ise menevişleme sıcaklığından düşük tutulmalıdır.Malzemenin kimyasal bileşimine göre alaşimsız ve az alaşımılı çeliklerde çoğunlukla 580°C ilâ 650°C arasında seçilir.

Yöntemin etkinliği artan sıcaklıkla akma sınırının düşmesine bağlıdır(Sekil 4.26). Tav sıcaklığında (T_g) akma veya

sürünme sınırı çok küçük olduğundan, iç gerilmeler kolayca plastik şekil değişimine yol açıp,söz konusu sınırların düzeyine inerler*.Eşdeğillerim göstermeyen makro gerilmelerin ortadan kalkması da yeni çarpılmalara neden olabileceğinden, parça son boyutlarına işlenmeden gerilme giderme tavına tâbi tutulur.



Sekil 4.26-Çeliklerde çekme özelliklerinin sıcaklıkla değişimi

işlemenin başarılı sonuç vermesi için soğutmanın yavaş yapılması zorunludur.Aksi halde sıcaklık farklarından ötürü parçada iç gerilmeler yeniden

oluşabilir.Aynı nedenlerle ısıtmanın da yavaş yapılması gereklidir.Özellikle yüksek iç gerilmelerin bulunduğu parçalarda ve gevrek malzemelerde bu noktaya çok dikkat edilmelidir.

Yeniden Kristalleştirme Tavı

Soğuk şekil verme sonucu pekleşen malzemenin özelliklerini (yüksek dayanım,düşük sümeklik ve tokluk)başlangıç durumuna getirmeyi amaçlar.Birçok uygulamada örneğin derin çekmede arıtav olarak da yapılır.Böylece daha sonraki şekil verme kademeleri için gerekli sümeklik malzemeye tekrar kazandırılır.İşlem şekil değiştirme oranı ile diğer etkenlere bağlı olarak (bk.1.4.2), 500°C 'ın üzerindeki sıcaklıklarda ve çoğunlukla 600°C - 700°C dolayında gerçekleştirilir.

*)İç gerilmelerin karşılığı olan şekil değişimlerinde elastik pay azalığı için

Söz konusu ısil işlem sonunda içyapı yeniden kristalleşir. Oluşan eşeksenli taneler daha önce şekil değişimi yönünde uzamış olanların yerini alır. Bu sırada dislokasyon yoğunluğunun azalmasıyla da malzeme başlangıç sünekliğine kavuşur.

Mekanik özellikler açısından genellikle tane irileşmesi istenmediğinden, kritik oranlarda ($C \leq 0,2$ olan çeliklerde %5-15) soğuk şekil değiştirmiş parçalara yeniden kristallesştirme yerine normalleştirme tavı uygulanır. Bunun dışında aşağıdaki nedenlerle böyle bir yola gidilmez.

- Yeniden kristalleştirme tavı normalleştirmeye göre, özellikle az karbonlu çeliklerde oldukça alçak sıcaklıklarda yapılır ve dolayısıyla ekonomiktir. En başta ince saçlar için sorun yaratan tuhal oluşumu çok daha azdır.
- Düşük sıcaklık dolayısıyla parçalar biçimlerini daha iyi korurlar. Normalleştirmede ise özellikle ince etli büyük parçaların yüksek sıcaklık etkisiyle kendiliğinden şekil değiştirmelerine karşı önlem alınması, örneğin destek kullanma gerekebilir.

Özet olarak, yeniden kristalleştirmede şekil değişimi oranı, tav süresi ve tav sıcaklığı birbirine uygun seçilmelidir; aksi halde tane irileşmesi tehlikesi vardır. Ince taneli bir içyapı elde edilebilmesi için işlem, kritik şekil değişimi oranının oldukça üzerinde soğuk şekillendirilmiş parçalara uygulanmalıdır.

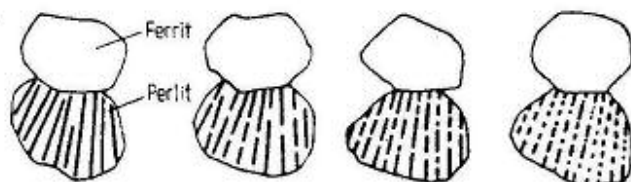
Yüksek alaşımı ferritik ve ostenitik çelikler gibi dönüşüm göstermeyen malzemelerde, taneleri ısil işlemle kügültmek için tek yöntem, yeterli soğuk şekil değiştirmeyi izleyen yeniden kristalleştirme tavıdır.

4.5.3.2. 2.Tür Tav İşlemleri

Yumuşatma Tavı (Kürelestirme)

$C \geq 0,4$ olan çeliklerde talaşlı işlenmeye uygun en yumuşak içyapının elde edilmesini sağlar. Daha düşük karbonlu çeliklerde ise aşırı yumuşama nedeniyle, özellikle delme sırasında "sivanma" eğilimi görüldüğünden, talaşlı imalatı kolaylaştırarak için yumusatma yerine tane irileştirme tavına başvurulur.

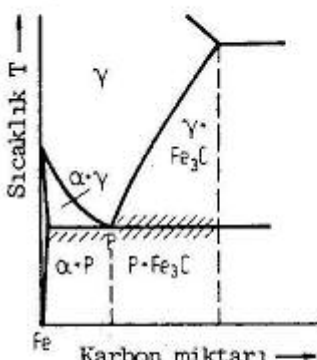
A_{Cl} 'in hemen altında (bazen üzerinde) veya her iki yönde salınınım şeklinde değişen sıcaklıklarda yapılan tavlama ve daha sonra yavaş soğutma ile lamelli perlit, taneli bir biçim alır (denge durumu). Yani yüksek yüzey enerjili sementit lamelleri, anılan sıcaklıklarda uzun süre (~100h) bekletme sonucu ferrit içinde çözünüp bölünerek (Şekil 4.27), düşük yüzey enerjili kürecikler halinde oluşurlar. Genelde ferritik



Şekil 4.27- Yumuşatma tavında sementit lamellerinin bölünmesi (sematik)

ana kütleye dağılmış karbür parçacıkları diye tanımlanabilecek bu içyapının benzerlerine ıslah işlemleriyle de ulaşılır.

A_{C1} sıcaklığının, ostenit dönüşümünü minimum düzeyde tutmak üzere, dar bir zaman aralığı için aşılması, sementit lamellerinin küreleşmesini kolaylaştırarak tav süresini kısaltır. Ayrıca sıcaklığa A_{C1} etrafında salınım yaptırılması da olayı belirgin ölçüde hızlandırır. Ötektoidüstü çeliklerin zor çözünen sementit ağı ancak bu yöntemlerle parçalanabilir. Ötektoídaltı çeliklerde ise, ferrit tane sınırlarında karbür çökeliğiyle tokluğun azalmasını önlemek üzere, A_{C1} sıcaklığının hemen altında kalınmalıdır (Şekil 4.28).



Şekil 4.28-Yumuşatma tavi sıcaklıklarının DKD üzerinde gösterilisi

Çeliğe uygulanacak sertleştirme işlemine küreleştirilmiş bir içyapıyla başlamak, özellikle ötektoidüstü çeliklerde başarılı sonuç alınmasını kolaylaştırır. Ancak pratikte kısa süreli yani daha ekonomik olması nedeniyle çoğu kez normalleştirme tavi ile yetinilir.

Normalleştirme Tavi

Küçük ve eşeksiz tanelerden oluşan ferritik-perlitik uniform bir içyapıya ulaşılmasını amaçlar. Dönüşüm gösteren çeliklerde herhangibir içyapıyı her zaman bu duruma getirebildiği için "normalleştirme" diye anılan işlem, örneğin

- Soğuk şekil verme (uzamış taneler)
- Döküm (WIDMANNSTAETTEN içyapısı, bk. 4.5.4.2),
- Sıcak haddeleme (bantlı içyapı),
- Kaynak (değişik tane büyülüğünde hadde ve döküm içyapıları yan yana),
- Yayınma tavi (irileşmiş taneler)

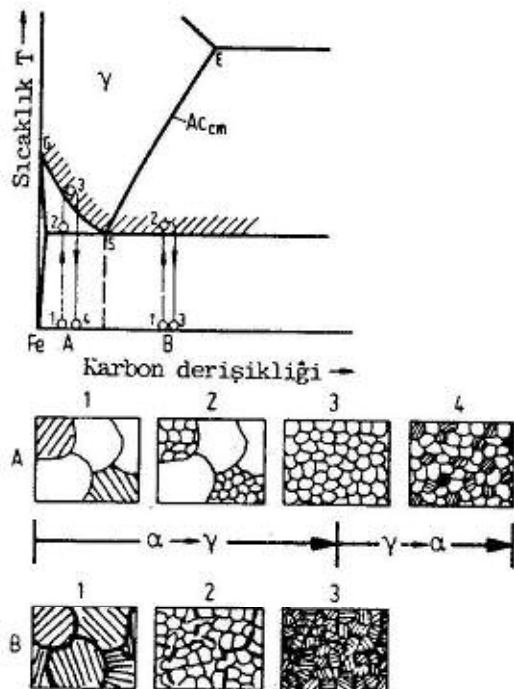
gibi üretim aşamalarından sonra uygulanır. Elde edilen "normal içyapı" mekanik özelliklerde tokluğu artırıcı yönde iyileşme sağlar*.

Normallestirmede ötektoidaltı çelikler A_{C3} sıcaklıklarının 30°C ilâ 50°C üzerinde tavlanır. Isıtma hızı parça şeklinin izin verdiği kadar yüksek olmalıdır. Böylece tam çözünemeyen sementit lamelleri ince taneli γ - katı çözeltisi oluşumu için çekirdek görevini üstlenirler (Şekil 4.29 A, 2 ve 3). Parçanın büyülüğüne ve bileşimine göre soğutma durgun havada veya basıncılı hava ile gerçekleştirilecek, ince taneli ferritik-perlitik içyapı elde edilir (Şekil 4.29 A, 4). Görüldüğü gibi ıslık işlem birbirini izleyen α - γ - α dönüşümlerinden meydana gelir ve tanelerde tümüyle yeniden oluşum söz konusudur.

İşlemenin başarılı olabilmesi için

- Aşırı ısıtma (tav sıcaklığının A_{C3} 'ün çok üzerine çıkması),

*) "Normalizasyon" işlemi, "normalize" çelik deyimleri de kullanılmaktadır.



Şekil 4.29-Normalleştirmede tava sıcaklıklarının DKD üzerinde gösterilişi ve oluşan iç yapılar (şematik)

mesi, daha sonra sertleştirme tehlikesini azaltır.

Pahalı, tufal oluşturan ve ince etli büyük parçaların fırın içinde desteklenmesini gerektiren normalleştirme tayı, bu nedenlerle sadece konstrüksiyonun güvenliği açısından zorunlu ise yapılır. Ancak çelik döküm parçalarda gevrek iç yapıyı (WIDMANNSTAETTEN) yok etmek için bu işleme hemen her zaman başvurulur. Isıl işlem sonucu oluşan ince taneli iç yapı özelikle vurma tokluğu bakımından üstünür. Büyük dövme parçalar ve hadde ürünleri de yavaş soğumaları nedeniyle iri taneli olduklarından normalleştirilirler. Ayrıca buhar kazanları, basıncı kaplar vb. için belirli et kalınlıklarının üzerinde (örneğin $s > 30$ mm), normalleştirme tayı uygulanmasını Teknik Gözetim Örgütü zorunlu kılmaktadır.

4.5.4. Sertleştirme (kararlı olmayan durumlar)

4.5.4.1. Hızlı Soğumanın Etkisi

Çeliklerde iç yapı ve dönüşüm sıcaklarının $Fe-Fe_3C$ diyagramına tam uyması ancak yavaş soğuma halinde mümkün değildir. Uygulamada ise coğunlukla yüksek soğuma hızı ve kuvvetli aşırı soğuma nedeniyle $\gamma \rightarrow \alpha$ dönüşümü daha alçak sıcaklıklarda gerçekleşir. Dolayısıyla elde edilen iç yapı büyük ölçüde dönüşüm sıcaklığına yani karbonun (ve diğer alaşım elementlerinin) yayılma koşullarına bağlı olur. Söz konusu sıcaklık düşüşçe karbon atomlarının hareketliliği azalır; öncelikle karbürlerin (Fe_3C) biçim, büyülüklük ve dağılımları değişir. Alaşım

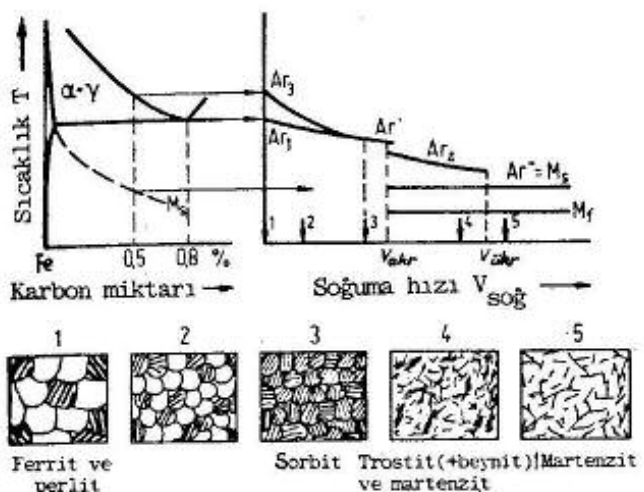
-Aşırı tutma (belirlenen uygun sürenin aşılması) önlenmeli dir.

Her iki durumda da tane irileşmesi tehlikesi vardır. İri taneli ostenitten oluşan ferritik-perlitik iç yapı da iri taneli olur.

Öteki troidüştü çelikler ise, tane irileşmesine ve kalın parçalarda yavaş soğumadan ötürü sürekli sementit ağı oluşumuna yol açmamak için A_{cm} yerine A_{c1}’in yaklaşık 50°C üzerindeki sıcaklıklarda tavlanırlar. Böylece perlit, ince taneli ostenite dönüşür ve tane sınırlarındaki kırılgan sementit ağı parçalanır (Şekil 4.29 B, 2). Soğuma sonrasında ince taneli perlitik bir iç yapı elde edilir.

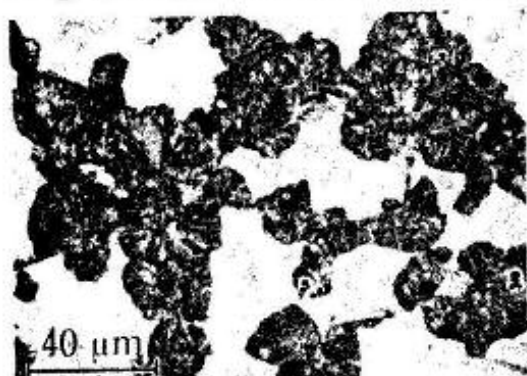
Öteki troidüştü takımı çeliklerinden üretilmiş karmaşık biçimli parçaların normalleştirilmesi sırasında çarpılma ve çatlama tehlikesini azaltır.

elementleri de karbonun yayılması yanında ferrit oluşumu için gerekli olan demirin özyayınmasını, ayrıca dönüşüm süresi ve doyayısıyla dönüşüm iç yapısını etkilerler.



Sekil 4.30-Alaşimsız bir çelikte(%0,5C) soğuma hızının dönüşüm sıcaklıklarına ve iç yapıpala etkisi

sürekliği kaybolur ve yeni iç yapılar ortaya çıkar. Ostenitin bir bölümünden, soğuma hızına göre belirli bir A_{r3} sıcaklığının altında trostit ve beynit (bk. 4.5.4.3) oluşur. Geriye kalan ostenit de soğuma hızı ile değişmeyen $A''=M$ sıcaklığında martenzit'e dönüşmeye başlar. Böylece malzemeye bileşimine bağlı bir alt kritik soğuma hızının (v_{akr}) aşılması halinde görülen martenzit oluşumu M_f sıcaklığında tamamlanır. Üst kritik soğuma hızının ($v_{ük}$) üzerinde ise A'' dönüşümü gerçekleşmediğinden yalnız martenzit meydana gelir.



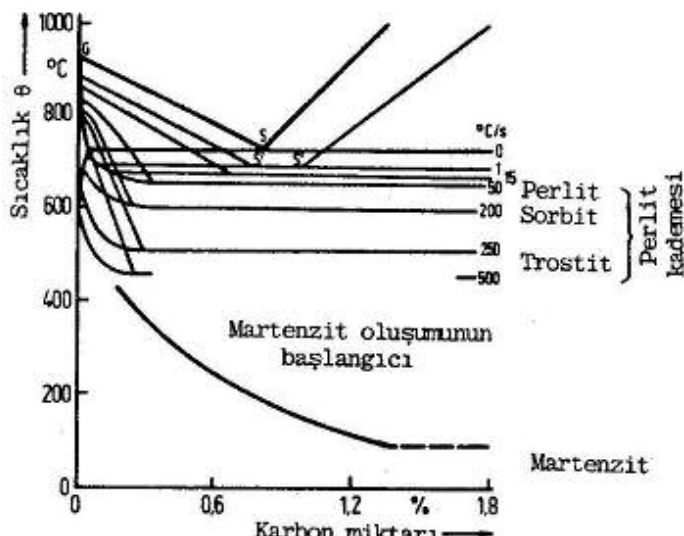
Sekil 4.31-42 CrMo 4 çeliğinde trostitik-martenzitik iç yapı: Trostit rozetleri (koyu bölgeler) ve martenzit (açık zemin)

şini denge diyagramı ile birlikte vermektedir. Çok düşük soğuma hızlarında dahi (10°C/s) perlit noktası S açılır (S' ve S''); yani %100 perlit elde edilen bölge genişler. Aynı şekilde hızlı soğumada ötektoid öncesi sementit ayrışması ($15^{\circ}\text{C/s}'$ den sonra)

Sekil 4.30 da yaklaşık %0,5 C içeren alaşimsız bir çelikte dönüşüm sıcaklıklarları ve iç yapıpaların soğuma hızına bağlı olarak değişimi görülmektedir. Artan soğuma hızı ile birlikte A_{r3} , A_{r1} 'den çok daha hızlı düşer. Böylece A_{r3} ve A_{r1} eğrilerinin birleşmesiyle (A''), aşırı soğumus ostenit (ötektoid çeliğe benzer şekilde) doğrudan çok ince lamelli perlite (sorbit) dönüsür (Sekil 4.30, iç yapı 3). Soğuma hızı daha da artırılırsa bazı kritik değerler için eğrinin

Trostit en ince lamelli perlittir. Geçmişte yetersiz kalan mikroskoplarla lamelleri seçilemediği için sorbit ve trostit adlarıyla perlitten ayırt edilen iç yapılar, günümüzde genellikle "ince perlit" diye tanımlanmaktadır. Trostit çeşitli oranlarda olmak üzere martenzit, beynit gibi diğer iç yapı bileşenleriyle birlikte ve çoğu kez rozet biçiminde oluşur (Sekil 4.31).

Hızlı soğumada bütün Fe-C alaşımlarının dönüşüm sıcaklıklarında benzer değişim olur. Sekil 4.32 sözü edilen aşırı soğuma davranışını denge diyagramı ile birlikte vermektedir. Çok düşük soğuma hızlarında dahi (10°C/s) perlit noktası S açılır (S' ve S''); yani %100 perlit elde edilen bölge genişler. Aynı şekilde hızlı soğumada ötektoid öncesi sementit ayrışması ($15^{\circ}\text{C/s}'$ den sonra)



Sekil 4.32-Saf Fe-C alaşımlarında dönüşüm noktalarının soğuma hızına bağlı olarak ötelebilmesi (WEVER ve ROSE'ye göre)

4.5.4.2. Perlit Kademesinde Dönüşüm

Ostenitin bu tür dönüşümü ile ferrit ve sementit lamellerinden oluşan bir iç yapı elde edilir. Her iki faz için de gerek çekirdeklenme gerek tane büyümeli, karbon ve demirin (ve diğer alaşım elementlerinin) yayılması ile gerçekleşir. Soğuma hızının artması yayılma süresini sınırlar; yani atomların gidebilecekleri yol kısalır. Lamel genişliği azalarak ince veya çok ince lamelli perlitik bir iç yapı (sorbit, trostit) ortaya çıkar. Lamellerarası uzaklık ne kadar küçükse, iç yapıda karbonun (daha doğrusu Fe_3C 'nin) dağılımı o kadar homojen olur. Bu nedenle sertlik ve dayanım değerleri de artar:

İç yapı	Sertlik
Perlit	180 HV
Sorbit	250 HV
Trostit	400 HV

atom düzlemleri boyunca levha şeklinde oluşur.

- *iri taneli çelikler (çekirdek görevi yapan tane sınırlarının toplamı azdır)*
- *yüksek ostenitleme sıcaklıklarından hızlı soğuma (iri taneli ostenitin oluşumu kolaylaşır)*

Söz konusu WIDMANNSTAETTEN iç yapısı

- dökme çelikler ve
- kaynak bağlantılarının bazı bölgeleri (Şekil 4.33) için karakteristikdir.

tümüyle, ötektoid öncesi ferrit ayrışması ise karbon oranı %0,25'den fazla olan alaşımarda ortadan kalkar. Bu değerler açıklandan biçimde sadece saf (iki elementli) Fe-C alaşımları için geçerlidir.

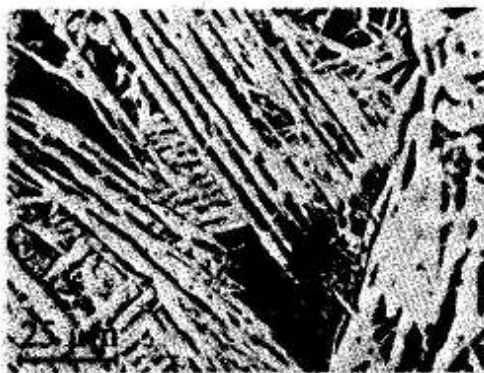
Aşırı soğumus ostenit üç temel sıcaklık kademesinde dönüşümme uğrar:

- perlit kademesi
- beynit kademesi
- martenzit kademesi

Bunların her birinde yayılma koşullarının çok farklı olması değişik iç yapıpala yol açar.

Ötektoid öncesi fazların (Ferrit ve sementit) ayrışması normal olarak tane sınırlarında, yani yüzey enerjisinin yüksek olduğu "kusurlu" bölgelerde başlar.

Ancak aşağıdaki özel durumlarda ötektoid öncesi ferrit ostenit tanesi içinde de belirli



Sekil 4.33-WIDMANNSTAETTEN iç-yapısı, bir kaynak bağlantısının iri tane bölgesi

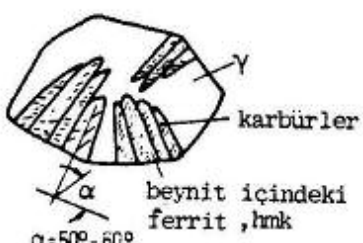
mir yayınamaz; karbon yayınması ise oldukça güçleşir. Bu koşullar altında oluşan ve ayrıntıları çoğulukla elektron mikroskopuya seçilebilen beynit başlıca iki gruba ayrılır:

- iğneli beynit
- taneli beynit.

Genelde ferrit içine gömülü karbür parçacıkları diye tanımlanabilecek bu iç yapılardan birincisi sürekli soğuma veya sabit sıcaklıkta dönüşüm ile (bk. 4.5.5.2), ikincisi ise sadece sürekli soğuma sonucu elde edilebilir.

Martenzite benzer bir mekanizmaya oluşan ferrit levhaları metalografik kesitte iğne biçiminde görünür. Karbür büyülüğu ostenitin dönüşüm sıcaklığına göre kabada çok inceye kadar değişir. Böylece iğneli beynitin ince(alt) ve kaba (üst) türleri ortaya çıkar.

Ince beynit, söz konusu kademenin alt kısmında, yani M_s -sıcaklığının hemen üstünde oluşur. Ostenit tane sınırlarından içeriye doğru olmak üzere, karbonca aşırı doymuş ferrit levhaları büyümeye başlar. Düşük sıcaklıktaki ostenitte hemen hemen tümüyle durmuş olan karbon yayınması, hmk α -kafesine dönüşümden sonra tekrar başlayabilir (bk. 4.1.1). Zorunlu çözümü durumdaki karbon atomlarının α -kafesinden ayrılmasıyla meydana gelen çok ince karbürler, iğnelerin ekseni ile karakteristik bir açı (50° ila 60°) yaparlar (Sekil 4.34). Optik mikroskopun verdiği görüntüde (Sekil 4.35) seçilemeyen bu ayrıntılar ancak elektron mikroskopisi yardımıyla görülebilir. Karbürlerin ince dağılımı üstün dayanım ve topluk özelliklerine erişimini sağlar.



Sekil 4.34-Ince beynit oluşumu (çok basitleştirilmiş)

nellikle iğne doğrultusunda büyür ve kesikli olarak dizilir

Böyle bir iç yapıda yumuşak ferrit levhaları ile sert perlit kolonileri iyice birbiri içine girdiğinden, malzeme varolandan daha çok perlit içeriyormuş gibi davranışır; yani aynı kimyasal bileşime ve içinde perlit adacıkları bulunan ferritik iç yapıya sahip bir çelikten daha sert ve gevrek olur.

4.5.4.3. Beynit Kademesinde Dönüşüm

Perlit ve martenzit kademeleri arasındaki sıcaklık alanında de-

mir yayınamaz; karbon yayınması ise oldukça güçleşir. Bu koşullar altında oluşan ve ayrıntıları çoğulukla elektron mikroskopuya seçilebilen beynit başlıca iki gruba ayrılır:

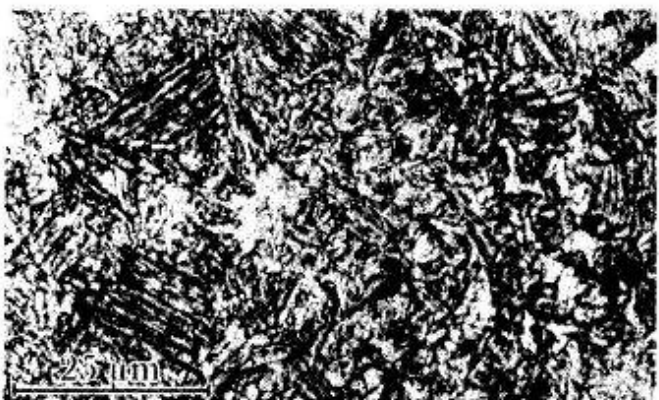
- iğneli beynit
- taneli beynit.

Genelde ferrit içine gömülü karbür parçacıkları diye tanımlanabilecek bu iç yapılardan birincisi sürekli soğuma veya sabit sıcaklıkta dönüşüm ile (bk. 4.5.5.2), ikincisi ise sadece sürekli soğuma sonucu elde edilebilir.

Martenzite benzer bir mekanizmaya oluşan ferrit levhaları metalografik kesitte iğne biçiminde görünür. Karbür büyülüğu ostenitin dönüşüm sıcaklığına göre kabada çok inceye kadar değişir. Böylece iğneli beynitin ince(alt) ve kaba (üst) türleri ortaya çıkar.

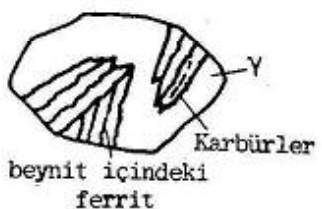
Ince beynit, söz konusu kademenin alt kısmında, yani M_s -sıcaklığının hemen üstünde oluşur. Ostenit tane sınırlarından içeriye doğru olmak üzere, karbonca aşırı doymuş ferrit levhaları büyümeye başlar. Düşük sıcaklıktaki ostenitte hemen hemen tümüyle durmuş olan karbon yayınması, hmk α -kafesine dönüşümden sonra tekrar başlayabilir (bk. 4.1.1). Zorunlu çözümü durumdaki karbon atomlarının α -kafesinden ayrılmasıyla meydana gelen çok ince karbürler, iğnelerin ekseni ile karakteristik bir açı (50° ila 60°) yaparlar (Sekil 4.34). Optik mikroskopun verdiği görüntüde (Sekil 4.35) seçilemeyen bu ayrıntılar ancak elektron mikroskopisi yardımıyla görülebilir. Karbürlerin ince dağılımı üstün dayanım ve topluk özelliklerine erişimini sağlar.

Kaba beynit dönüşüm kademesinin üst kısmında oluşur. Yayılma bir ölçüde kolaylaştığı için, ayrısan karbür parçacıkları genellikle iğne doğrultusunda büyür ve kesikli olarak dizilir



*Sekil 4.35- İnce bainit,
400°C sabit sıcaklıkta elde
edilmiş (37 MnSi 5)
Sertlik: 375 HV1,
Çentik vurma işi (20°C):
 $A_v(ISO-V) = 35 J$*

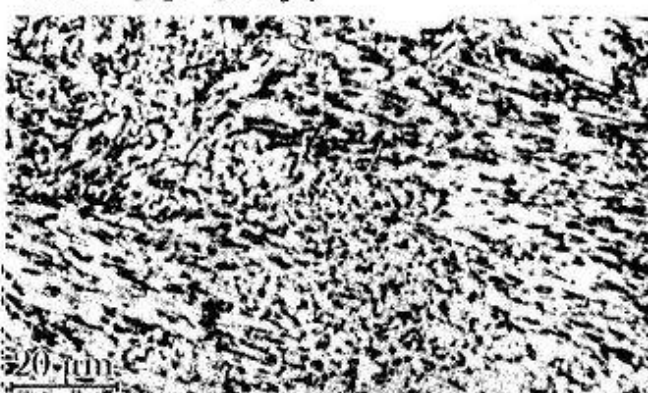
(Şekil 4.36). Metal mikroskobundaki görünümü Şekil 4.37 de verilen böyle bir iç yapı kolaylıkla perlitle karıştırılabilir. Karbürlerin irileşmesi nedeniyle mekanik özellikleri ince bainitinki kadar iyi değildir.



*Sekil 4.36-Kaba bainit oluşumu
(çok basitleştirilmiş)*



Sekil 4.37-Bir kaynak dikişinin iri taneli bölgesinde kaba bainit(niyobyumlu ince taneli yapı çeliği)



Taneli bainit koşullara bağlı olarak sadece sürekli soğuma sonucu ortaya çıkabilir. Ferrit ve karbür bileşenlerinin düzeni belirli bir kuralla uymaz (Şekil 4.38).

Bainitik iç yapı alaşımlı özellikler için karakteristikdir. Alaşimsız çeliklerde ise önemli oranda elde edilebilmesi sabit sıcaklık dönüşümünü gerektirir; sürekli soğuma sonucu ancak az miktarda olusabilir ve tanınması güçtür.

4.5.4.4. Martenzit Kademeinde Dönüşüm

Kritik soğuma hızı aşılırsa, ostenit M_s -sıcaklığının ($=A_r$, Şekil 4.30) altında martenzite dönüşür. Şekil 4.30'dan görüldüğü üzere,

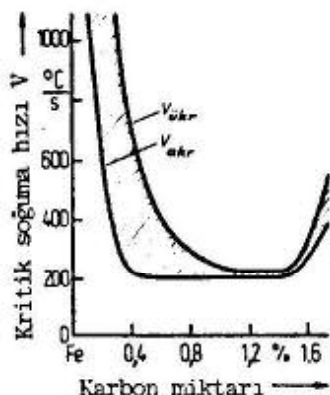
- soğuma hızının ($v_{soğ}$), alt kritik soğuma hızına (v_{akr}) erişmesiyle martenzit oluşumu başlar,

Sekil 4.38-10CrMo910 çeliğinin kaynak bağlantısında kaynak metalinin taneli bainit yapısı (üst paso)

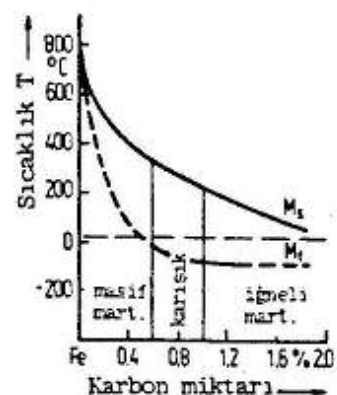
- soğuma hızı ($v_{soğ}$) üst kritik soğuma hızından ($v_{ükr}$) daha büyükse içyapıda sadece martenzit vardır (ancak M_f sıcaklığına inilmezse bir miktar artık ostenit de bulunur).

Yayınmasız ve çok hızlı olan martenzit oluşumunda (Bk.1.3. 4.1), ostenitte çözünmüş olan karbon miktarının artmasıyla,

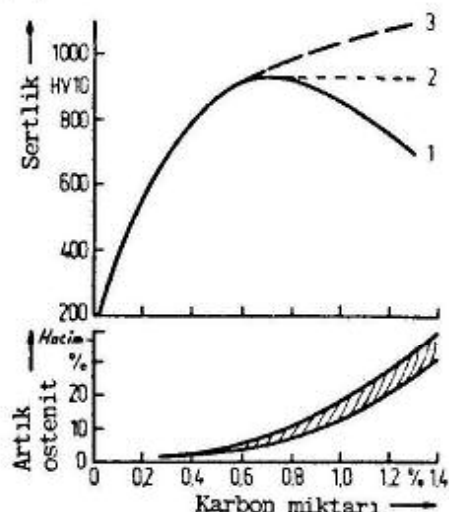
- kritik soğuma hızı azalır (Şekil 4.39),
- dönüşüm başlangıç ve sonu (M_s, M_f) daha düşük sıcaklıklara ötelenir (Şekil 4.40),
- böylece artık ostenit oranı yükselebilir (Şekil 4.41).



Şekil 4.39-Saf Fe-C alaşımlarında kritik soğuma hızının karbon miktarı ile değişimi (HOUDREMONT'a göre)



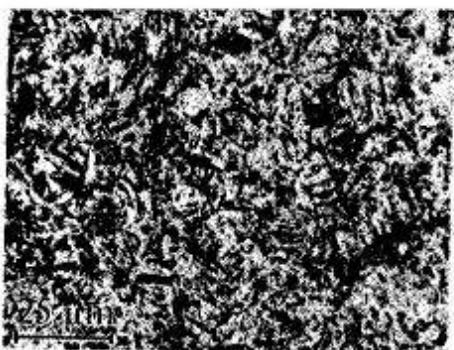
Şekil 4.40-Saf Fe-C alaşımlarında martenzit sıcaklığının ve türlerinin karbon miktarı ile değişimi (ECKSTEIN'e göre)



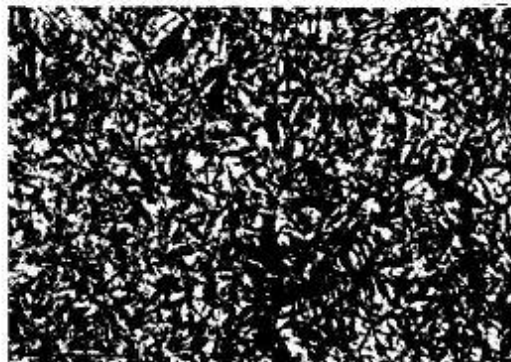
Şekil 4.39'a göre küçük C oranlarında V kritik soğuma hızına ulaşmak, pratik açıdan olanaksız denebilecek kadar güçtür. Bu nedenle martenzitik dönüşüm sonucu sertleşebilir alaşimsız çeliklerde karbon en az %0,2-0,25 olmalıdır.

Artık osteniti de dikkate alarak, karbon miktarının dönüşüm sertleşmesine etkisi Şekil 4.41'de verilmiştir. %0,5 ila 0,6 C'dan sonra $M_f < 0^\circ\text{C}$ sıcaklıklarının altına inilmediği sürece artık ostenit giderek fazlalaşır. Karbon oranıyla artması(3) gereken sertlik, yumuşak ostenitten ötürü gösterdiği düşmeyi sürdürür(1) veya yaklaşık olarak sabit kalır(2).

Karbon ve合金元素的martenzitin mikroyapısını da belirler (Şekil 4.40). C < % 0,5 ve合金元素的缺少导致马氏体（Şekil 4.42），C%1'in üzerinde ise iğneli martenzit olusur (Şekil 4.43).



Şekil 4.42- Masif veya lata martenzit (37MnSi5)



Şekil 4.43- İğneli veya levha martenzit

Özetlenecek olursa, soğuma hızına göre çeşitli iç yapılarının ortaya çıkışları, anılan dönüşüm kademelerinde yayınmanın farklı olmasından kaynaklanmaktadır:

- *Perlit kademesi*

Karbon ve demir kolaylıkla yayılır, iri karbürler olusur.

- *Beynit kademesi*

Sadece karbon yayınabilir ince ve çok ince karbürler olusur.

- *Martenzit kademesi*

Karbon ve demirin yayınmaları mümkün değildir, karbür olusmaz. Karbon martenzit kafesinin arayırlarında zorunlu çözünmüş olarak kalır.

4.5.5. Zaman-Sıcaklık-Dönüşüm (ZSD) Diyagramları

Ostenit dönüşümü sırasında görülen ve öncelikle dönüşüm ürününün (perlit-sorbit-trostit-beynit-martenzit) özellikleri ni belirleyen çok yönlü olayların irdelenmesinde, denge durumda geçerli olan demir-karbon diyagramından yararlanılamaz. Şekil 4.30 ve 4.32 ise ostenit dönüşümünün artan soğuma hızından etkilendiğini göstermekte, ancak zamanla ilişkisini açıkça içermemektedirler. Oysa

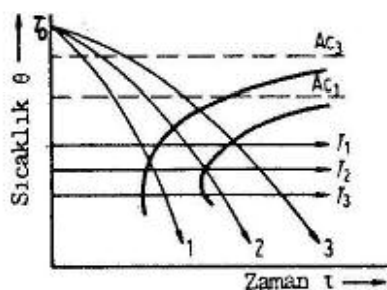
- Üretim ve/veya daha sonraki ısıl işlem aşamasında demir-karbon diyagramındaki koşullara uygun olarak (çok yavaş) soğutulmayan teknik Fe-C合金元素的在不同温度下的行为的分析。
- ısıl işlem yoluyla tekrarlanabilir özellik değişimleri elde etmek için bu ilişkinin bilinmesi gereklidir.

Diğer bir deyişle varılan sonuçlarda, karbon ve合金元素的缺少导致马氏体的形成速度与温度的关系（dönüşüm hızı）belirleyici rol oynar. Dolayısıyla ZSD-diyagram-

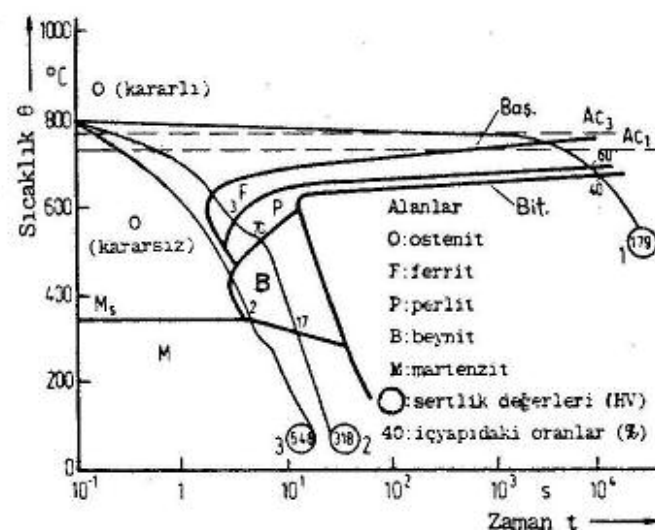
larında, dönüşüm olayları sıcaklık ve zamana bağlı olarak gösterilir. Olaylar bazen çok uzun sürebileceğinden zaman ek-seni logaritmik böülümlüdür.

Uygulama gözönünde bulundurularak ostenit dönüşümü sürekli soğuma ve sabit sıcaklık durumlarında birbirinden ayrı olarak incelenir. Böylece bulunan ZSD-diyagram çifti, ele alınan belirli bileşimdeki çelik için geçerlidir. Bu diyagramları elde etmek üzere deney parçaları aynı ostenitleme sıcaklığına (Şekil 4.44, T_0) ısıtılarak,

- öngörülen eğrilere ($1, 2, 3$ vb.) uygun biçimde sürekli soğutulur,
- ya da istenen sıcaklığa (T_1, T_2, T_3 vb.) hızla soğutulup, bu sabit sıcaklıkta "izotermik" dönüşüm tamamlanıncaya kadar tutulur.



Şekil 4.44-ZSD diyagramında T_1, T_2, T_3 : sabit sıcaklık. 1, 2, 3: sürekli soğuma dönüşümlerinin sematik gösterilişi (gerçekte her iki dönüşüm farklı diyagramlar verrir)



Şekil 4.45-%0,45 C'lu alaşimsız bir çeliğin sürekli soğuma ZSD-diyagramı (Atlas zur Waermebehandlung der Staehele'den alınmıştır)

Ortaya çıkan iç yapılar çoğunlukla metalografik, dönüşüm sıcaklıkları ise dilatometrik olarak saptanır. Örneğin perlit veya beynit oluşumuna ait başlama ve bitiş noktaları birleştirildiğinde, ostenitin farklı koşullardaki dönüşüm davranışını diyagram haline getirilmiş olur.

4.5.5.1. Sürekli Soğuma İçin ZSD-Diyagramları

Şekil 4.45 de yaklaşık % 0,45 karbonlu alaşimsız bir çeliğin sürekli soğuma ZSD-diyagramı ile üç ayrı siddettedeki soğuma eğrisi görülmektedir.

Ostenitleme sıcaklığından başlayarak sadece çizilen soğuma eğrileri doğrultusunda okunabilen bu diyagramlar, çeliği ostenit bölgesinden soğutarak yapılan bütün isıl işlemlerin tasarlanmasımda çok yararlıdır. Bunlardan dönüşüm davranışı dışında aşağıdaki önemli bilgiler de alınabilir:

- Değişik dönüşüm alanlarında oluşan içyapı bileşenlerinin miktarı (soğuma eğrisi ile alan alt sınırının kesim noktasında yüzde olarak),
- Elde edilen içyapının sertliği (soğuma eğrisinin sonunda HV veya HRC olarak).

Örnekler (Şekil 4.45):

1. Soğuma Eğrisi (yavaş soğumayı temsil eder)

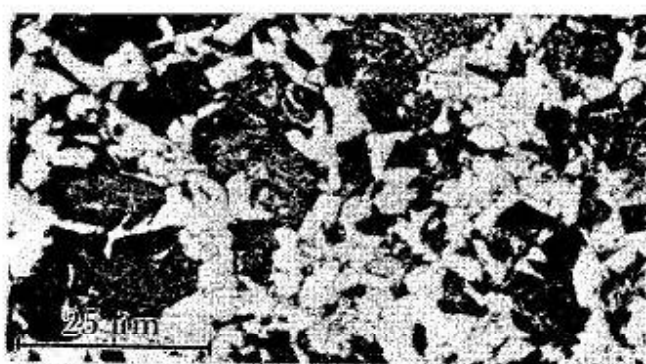
Dönüşüm 4×10^3 saniyelik bir süre sonunda ve 740°C da ferrit oluşumu ile başlar. Ostenitin $\%60$ 'ı 10^4 s sonra sıcaklık 690°C 'a indiğinde ferrite, $\%40$ 'ı da $1,25 \times 10^4$ s sonra sıcaklık 680°C 'a indiğinde perlite dönüşmüştür. Elde edilen içyapının (Şekil 4.46) sertliği 179 HV'dır.



Şekil 4.46-Ferritik-perlitik içyapı

2. Soğuma Eğrisi (yağda soğumayı temsil eder)

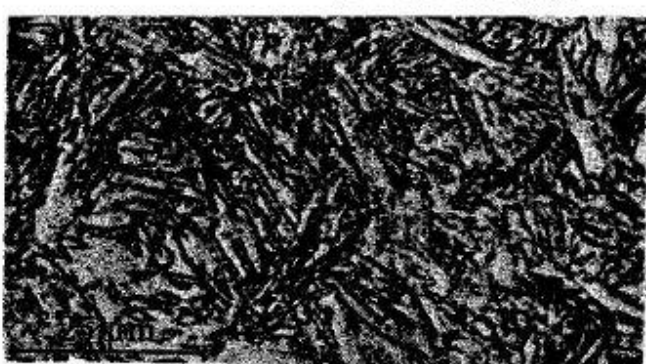
Ostenit $1,5$ s ve 635°C 'da önce ferrite ($\%3$), daha sonra büyük oranda perlite ($\%70$) dönüşür. Kalan ostenitten $525^\circ\text{C}-315^\circ\text{C}$ arasında beynit ($\%17$) ve M_s sıcaklığının altında da martenzit ($\%10$) oluşur. Bu bileşenleri içeren içyapının (Şekil 4.47) sertliği 318 HV'ye yükselmiştir.



Şekil 4.47-Beynit ve martenzit içeren ferritik-perlitik içyapı

3. Soğuma Eğrisi (suda soğumayı temsil eder)

Ostenite yaklaşık üst kritik soğuma hızında suverilmiş olup, içyapıda $\%98$ martenzit ve sadece $\%2$ beynit bulunmaktadır (Şekil 4.48). Sertlik 548 HV'ye yükselmiştir.

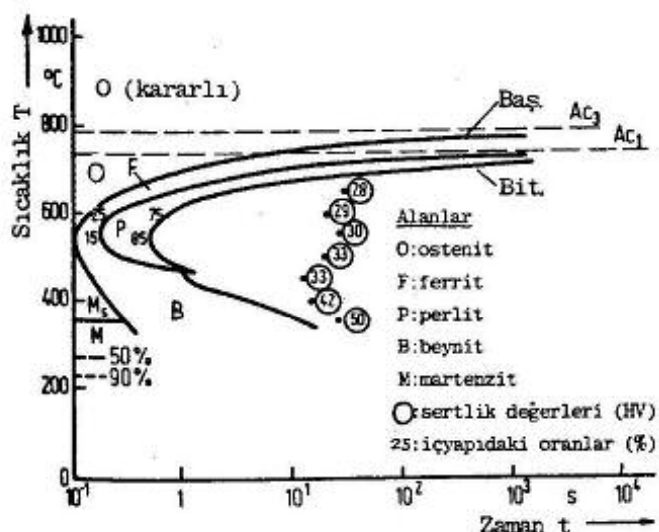


Şekil 4.48-Eser miktarda beynit içeren martenzitik içyapı

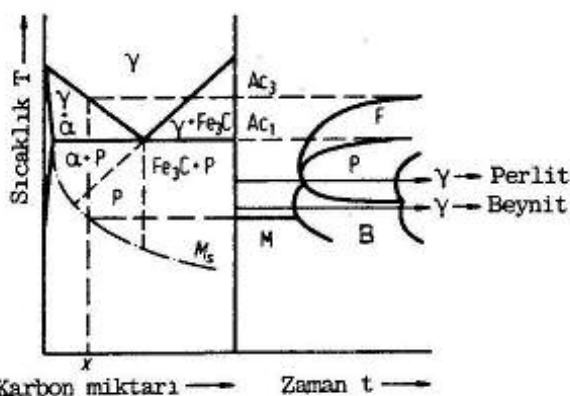
M_s - noktasının vakır ve yük arasındaki soğuma hızlarında düşmesi, daha önceki ferrit, perlit ve beynit oluşumu nedeniyle, kalın ostenitin karbonca zenginleşmesinden ileri gelir. Kolayca görüleceği gibi, dönüşüm başlangıç eğrisinin daha uzun sürelerde ötelenmesi kritik soğuma hızını küçültür.

4.5.5.2. Sabit Sıcaklık(ızotermik) ZSD-Diyagramları

Ostenit bölgесine ısıtılan parça seçilen bir sıcaklığı hızla soğutularak, burada dönüşüm tamamlanıncaya kadar tutulur. Sürekli soğuma diyagramında olduğu gibi belirli bir bekleme süresinden sonra ostenit dönüşümü başlar (Şekil 4.49). Dönüşüm başlangıç eğrisi (Baş) çoğunlukla karakteristik C-biçimindedir. Aşırı soğumanın küçük olması halinde dönüşüm eğilimi azdır(uzun bekleme süresi). Büyük aşırı soğumada ise bu eğilim kuvvetle artar. Ancak dönüşüm sıcaklığı düştükçe özellikle karbon atomlarının hareketliliği engellendiğinden bekleme süresi tekrar uzar. Bu iki ters etkinin yarattığı "burun" oluşumu, sürekli soğumadakinden daha belirgindir. Sağdaki eğri (Bit.) dönüşümün bitişini gösterir.



Şekil 4.49- Şekil 4.45'te verilen çeliğin sabit sıcaklık ZSD-diyagramı



Şekil 4.50- DKD ile ızotermik ZSD-diyagramının karşılaştırılması (ROSE'ye göre)

İzotermik diyagram sadece dönüşümün türüne bağlı olarak zaman ekseni paralel doğrular boyunca (izotermeler yönünde) okunabilir. Yani sürekli soğumanın tersine sabit sıcaklıkta dönüşüm, sıcaklığı göre tümüyle perlit veya beynit alanında olabilir. Şekil 4.50'deki şematik ZSD-diyagramında perlit ve beynit oluşumu için izotermeler çizilmişdir. Görüldüğü gibi çeliğin türü ne olursa olsun, % 100 beynit ancak sabit sıcaklık dönüşümleri ile elde edilebilir.

Şekil 4.50 de ayrıca DKD ile ZSD-diyagramı karşılaştırılmıştır. ZSD-diyagramındaki dönüşüm olayları DKD'ye yalnız A_{C1} , A_{C3} durak noktaları arasında benzerinde, artan aşırı soğuma ile DKD'de bulunmayan iç-yapılar(sorbit, trostit gibi ince perlit türleri ve beynit) ortaya çıkmaktadır.

İki ayrı tür ZSD-diyagramı arasında karakteristik bir bağlantı vardır. Sabit sıcaklık dönüşümünde aşırı soğuma etkisi -yani dönüşümün itici kuvveti- sürekli soğumadakinden daha büyütür. Dolayısıyla dönüşüm eğrileri sürekli soğumada, sabit sıcaklık diyagramına göre daha uzun süre ve düşük sıcaklıklara ötelenmiş durumdadır.

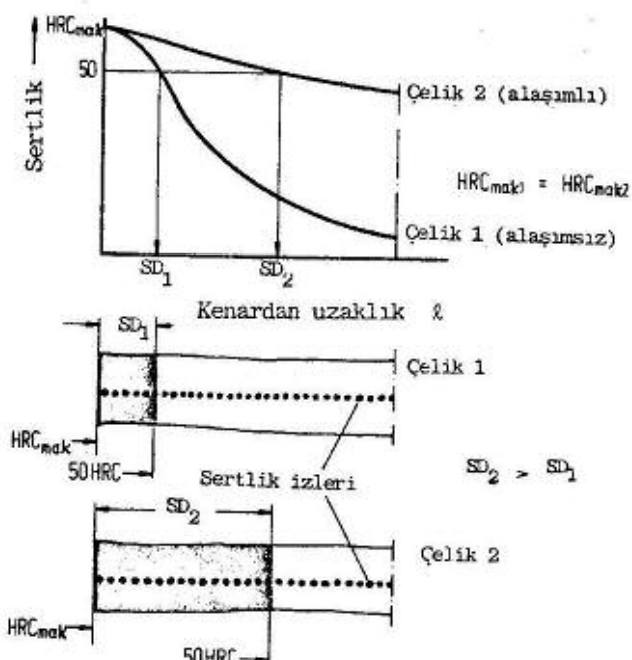
Alaşım elementleri katılmasıyla malzemenin dönüşüm davranışını yani bu diyagramların biçimini büyük ölçüde değişir (bk. 4.6.4).

4.5.6. Sertleştirme Yöntemleri

4.5.6.1. Temel Bilgiler, Kavramlar

DIN 17014'e göre sertleştirme çeliklerin A₃ veya A₁ üzerindeki bir sıcaklıktan, yüzeyde veya aynı zamanda kesitte önemli sertlik artışı sağlayacak bir hızla soğutulmasıdır (*suverme*). Böylece genellikle martenzite dönüşen iç yapida ferrit ve perlit oluşumu engellenir*.

Bir çeliğin sertleşme davranışı iki ayrı kavramı, yani hem erişilebilen en büyük sertliği hem de elde edilebilen sertleşme derinliğini kapsar. Martenzitik yapının ulaşabileceği en büyük sertlik öncelikle çeliğin karbon derişikliğine bağlıdır; diğer alaşım elementlerinin tür ve miktarı bu değeri pek etkilemez. Sertleşme kabiliyeti de denilen sertleşme derinliği (SD) ise, sertliğin öngörülen bir değeri astığı kenar tabakasının kalınlığı olup, karbondan çok, alaşım elementleri miktarı ile belirlenir (Şekil 4.51).

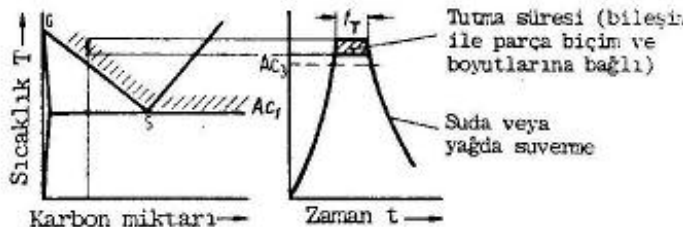


Alaşimsız çeliklerde kritik soğuma hızının yükselmesinden ötürü sertleşme derinliği azdır. Elde edilebilen martenzitik bölgenin kalınlığı yaklaşık 5 mm'yi geçemez. Dolayısıyla

Şekil 4.51- En büyük sertlik (HRC_{mak}) ile sertleşme derinliğinin (SD) sematik gösterimi (Her iki çeliğin karbon miktarları ve soğuma koşulları aynıdır. Yüzeyde > V_{ükr} olan ancak parçanın içine doğru giderek azalan soğuma hızı, çeliklerin ZSD-diyagramları farklı olduğundan, değişik ölçüde sertlik düşüşüne yol açar).

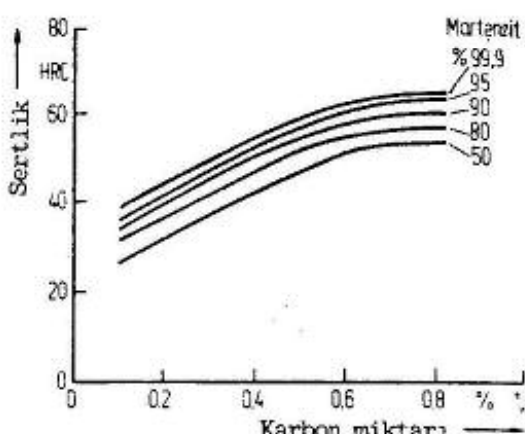
* Suverme genel olarak hızlı soğutma veya çelikler için sertleştirme (dönüşüm sertlestirmesi) anlamına da gelir.

bu malzemeler sığ sertleşme çelikleri olarak da adlandırılır.



Şekil 4.52- Çeliklerin sertleştirilme (suverilme) sıcaklıkları

tıkça, martenzitin yerini artan ölçüde diğer dönüşüm ürünlerini alır. Şekil 4.53 böylece erişilebilen sertliğin karbon ve martenzit oranına göre değişimini göstermektedir. Bu sonuçların



Çizelge 4.53-Suverilmiş alaşimsız veya alaşımımlı çeliklerde sertliğin C ve Martenzit oranıyla ilişkisi (BURNS, MOORE, ARCHER). %99,9 martenzit eğrisi Şekil 4.41'deki 3 numaralı eğrinin bir bölümü olup, sertlik farklı yöntemle ölçülmüştür.

Bazı takım çeliklerinde sertleşme davranışını iyileştirmek amacıyla kararlı karbürleri çözebilecek kadar yüksek ostenitleme sıcaklıklarına çıkışması ve uzun tutma süreleri sayınca yaratmaz. Çünkü alaşımımlı çeliklerde tane büyümeye tehlikesi, bunu engelleyen karbürler çözünmedikçe söz konusu değildir.

Aşırı ısınmaya karşı duyarsız yani tane büyümeye eğilimi çok az olan ince taneli çelikler de geniş bir sıcaklık aralığında ostenitlenebilirler. Bununla birlikte küçük ostenit tanesinde perlit oluşumu kolaylaşlığından, bu çeliklerde aynı martenzit oranı iri tanelilere göre ancak daha hızlı soğutmayla elde edilebilir.

Ötekidoaltı çeliklere A_{C3} 'ün $30^{\circ}\text{C}-50^{\circ}\text{C}$ üzerindeki ostenitleme sıcaklıklarından suverilir (Şekil 4.52).

$V_{soğ} > V_{ük}$ olmak üzere M_f sıcaklığının altına inildiğinde içyapı ≈ 100 martenzite dönüşür. Soğuma hızı üst kritik değerden azalarak uzaklaş-

ma hızı üst kritik değerden azalarak uzaklaş-

tıkça, martenzitin yerini artan ölçüde diğer dönüşüm ürünlerini alır. Şekil 4.53 böylece erişilebilen sertliğin karbon ve martenzit oranına göre değişimini göstermektedir. Bu sonuçların elde edilebilmesi için, çelikte bulunabilecek bazı kararlı karbür parçacıklarının tümüyle çözünmesi gereklidir. Aksi halde bunlar çekirdek görevi üstlenerek, suvermede perlit oluşumuna yol açtıkları gibi, martenzitin karbon miktarını da azaltırlar. Doğayıyla işlemin başarıya ulaşmasında yeterli ostenitleme sıcaklığı ve süresinin sağlanması önemli rol oynar.

Ostenitleme sıcaklığı gerekinden yüksek seçilirse, tane irileşmesi meydana geleceğinden, soğuma sırasında yayılma güçlesir. Ostenitin perlite dönüşüm eğiliminin azalmasından ötürü çeliğin sertleşme kabiliyeti artar. Ancak martenzitin kaba taneli ve aşırı gevrek olmasına yol açtığı için bu yöntem pek uygulanmaz.

Tam ostenitleme gerçekleşmezse, yani sertleştirme sıcaklığı A_{C3} 'den düşükse, çözünmeyen ferrit sertleşmiş içyapıda yumuşak bölgelerin kalmasına neden olur; sertlik düşer ve eşdeğilim göstermez. Yorulma dayanımı da önemli ölçüde azalır.

Ötektoidüstü bir çeliğin tam ostenitlenmesi için A_{cm} sıcaklığının üzerine çıkılması (bk.Şekil 4.7), ostenitte çözünen karbon miktarını artırarak M_f sıcaklığını düşürür. Parçayı 0°C 'ın altına soğutma gibi önlemler alınmazsa, suverme sonucu içyapıda büyük miktarda artık ostenit ile karşılaşılır. Ayrıca yüksek tav sıcaklığı kaba taneli çok gevrek martenzit oluşumuna yol açar. Dolayısıyla ötektoidüstü çeliklere A_{C1} 'in hemen üzerinden suverilerek (Şekil 4.52), ince martenzit ve sertliği aynı düzeyde olan bir miktar sementit elde edilir. Böylece artık ostenit azaltıldığı gibi, gereksiz enerji tüketimine de yer verilmemiş olur.

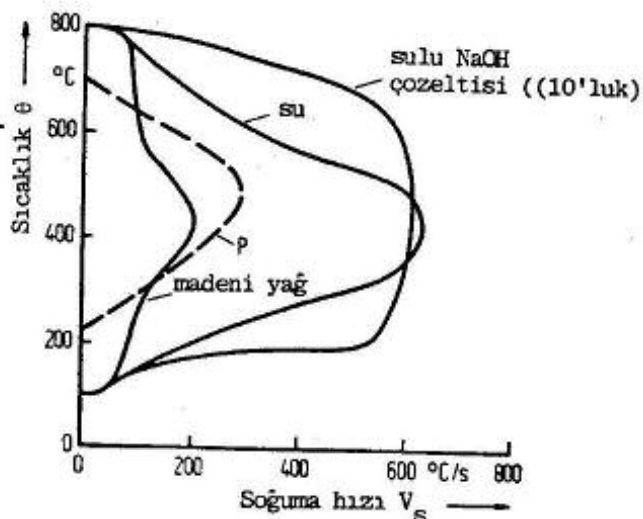
Karbürlerin küresel dağıldığı bir içyapı (örneğin yumuşama tayı sonrası) sertleştirme için en uygun başlangıç yapısıdır.

4.5.6.2. Suverme Ortamları

RUHFUS'a göre suverme işleminin etkisini aşağıdaki koşullar belirler:

- Çeliğin sertleşme davranışları (karbon ve alaşım miktarı),
- Suverme ortamının soğutma kapasitesi (Şekil 4.54),
- Soğutma ortamının sıcaklığı ve hareketi,
- Parçanın ısı iletim kabiliyeti (alaşım elementi miktarı ile azalır, bk.Şekil 4.25),
- Parçanın boyut ve biçimini,
- Parçanın suverme ortamında kalma süresi,
- Yüzey durumu (örneğin tufallı).

Şekil 4.54 su ve yalda soğuma hızının parça sıcaklığı ile değişimini göstermektedir. Aynı şekil üzerinde alaşimsız bir çelikte perlit oluşumunun engellenmesi için gerekli olan en düşük soğuma hızı eğrisi de verilmiştir. Ideal bir suverme ortamı malzemeden perlit kademelerinde mümkün olduğu kadar çok, martenzit kademelerinde ise çatlama tehlikesini azaltmak için mümkün olduğu kadar az ısı çekmelidir. Yüksek sıcaklıktaki parçanın su vb. bir sıvuya daldırılarak soğutulması, yüzeyinde oluşan buhar filminin yalıtım etkisiyle başlangıçta oldukça yavaştır. Sıcaklık düştükçe



Şekil 4.54-Değişik suverme ortamlarının etkisi. P:alaşimsız bir karbon çeliğinde perlit oluşumunu önlemek için gereken en düşük soğuma hızı (ROSE ve STÜDEMANN'a göre)

($<600^{\circ}\text{C}$) ve ortam hareketinin de yardımıyla bu filmin yırtılması sonucu buhar kabarcıklar halinde yükselmeye başlar. Parçayla doğrudan temas eden suyun kuvvetle buharlaşmaya devam etmesi, soğuma hızını 400°C ilâ 500°C arasında en büyük değerine ulaştırır. Yüzey sıcaklığı buharlaşma noktasına indikten sonra ısı hemen hemen sadece konveksiyonla uzaklaştırıldığından suverme etkisi yeniden azalır.

Suya NaOH , NaCl gibi uçucu olmayan maddelerin %5-10 oranında katılması, buharlaşma noktasını yükseltir, ayrıca film oluşumunu engeller. Böylece en etkin soğutma bölgesi saf suya göre daha üst sıcaklıklara kaymış bir suverme ortamının kullanılmasıyla, parçanın sertleşme derinliği artarken çatlama tehlikesi de azalmış olur.

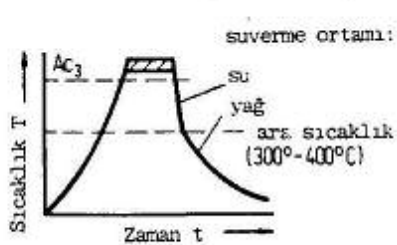
Suverme yağlarının suya göre yaklaşık üç kat daha az olan soğutma etkisi, ancak alaşımı çeliklerin sertleştirilmesi için yeterli olup, suverme gerilmelerinin (bk. 4.5.6.6) alçak düzeyde kalmasını sağlar. Öte yandan su ile yikanabilen yağların seçilmesi, iş parçalarını temizleme masrafını önemli ölçüde azaltır.

4.5.6.3. Basit Suverme

Su veya ya  g bi tek bir ortamda sürekli so utma y ntemidir. Sertleşme derinliği az olan ala ımsız çeliklerde, yüksek hızla(suda) so utma sonucu karmaşık biçimli parçaların iç ve dış kısımları arasında do abilecek büyük sıcaklık farkı nedeniyle, çarpılma ve çatlama tehlikesi ortaya  kar. Dolayısıyla bu t r konstrüksiyon elemanları, suverme işlemi g receklerse, kritik so uma hızları düşük olan (ya da so utulabilen) ala ımslı çeliklerden yapılmalıdır. Ayrıca suverme gerilmelerini azaltıcı aşağıdaki yöntemlere de başvurulabilir.

4.5.6.4. Kesikli Suverme

Ostenitlenmiş parça önce 300°C ilâ 400°C sıcaklığı kadar hızlı (genellikle suda), daha sonra da iç ve dış kısımlar arasında sıcaklığın dengelenmesi beklenmeden ortam değiştirilerek yavaş (ya da) so utulur (Şekil 4.55).



Şekil 4.55-Kesikli suvermede sıcaklık-zaman diyagramı

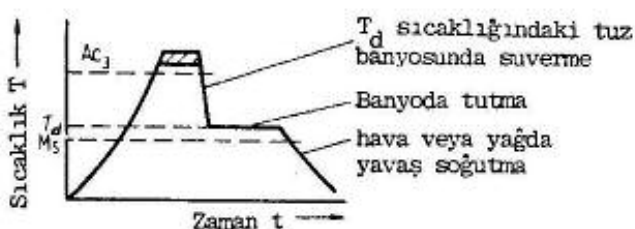
B ylece ideal suverme koşullar na bir ölçüde yaklaş\xfclmakla birlikte, ara sıcaklığın seçimi ve "yakalanmas\xf1" deneyim gerektirdi inden, yöntem seyrek olarak uygulanır.

4.5.6.5. Duraklı Suverme (Martemperleme)*

Ostenitlenen çeli e, sıcaklığı Ms' -nin hemen üzerindeki (gerekti inde

* Ingilizce "Martempering" den, martenzit olu umu ba lang c nd a temperleme (sabit sıcaklık dengelemesi) anlamına gelmek üzere "martemperleme" diye de anılan bu yöntem, sertleştirme sonrası uygulanan temperleme işlemi (Bk. 4.5.7) ile karıştırılmamalıdır.

altında da seçilebilir) bir T_d değerinde sabit tutulan ve çoğunlukla tuz eriyiği olan bir banyoda suverilir (Şekil 4.56). iç ve dış sıcaklık dengesi sağlanincaya kadar burada bekletilen parça, beynit dönüşümü başlamadan dışarı alınarak yağı veya havada yavaş olarak soğutulur.

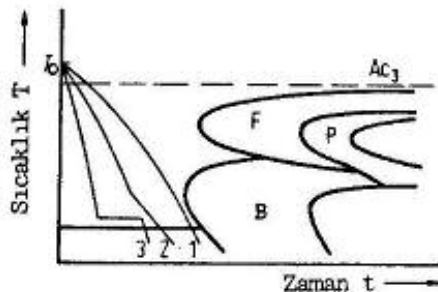


Şekil 4.56-Duraklı suvermede sıcaklık-zaman diyagramı

Böylece sabit sıcaklıkta bekletme sırasında ostenitin kolayca şekil değiştirmesiyle ıslı gerilmeler giderildiği gibi, parçanın her yanında eşzamanlı martenzit oluşumu sağlanarak, dönüşüm gerilmeleri de büyük ölçüde azaltılmış olur. Ancak sıcak banyoda oldukça yavaş soğumadan ötürü perlitin engellenmesi güçleştiğinden öncelikle alaşımlı çelikler için öngörülen yöntem, parçanın ince kesitli olması durumunda bazı alaşimsız çeliklere de uygulanır.

Mar temperleme yapılacak çeliklerin M_s -sıcaklığı çok yüksek olmamalıdır. Aksi halde, elverişli yayılma koşulları dolayısıyla beynit dönüşümü kolaylaşacağından, tutma süresi yeterince uzun alınamaz. Bu nedenle ıslah veya takım çeliklerinden, 180°C - 240°C arasında banyo sıcaklığını gerektiren, en az %0,6 karbonlular tercih edilir.

Mar temperleme yapılacak çeliklerin M_s -sıcaklığı çok yüksek olmamalıdır. Aksi halde, elverişli yayılma koşulları dolayısıyla beynit dönüşümü kolaylaşacağından, tutma süresi yeterince uzun alınamaz. Bu nedenle ıslah veya takım çeliklerinden, 180°C - 240°C arasında banyo sıcaklığını gerektiren, en az %0,6 karbonlular tercih edilir.



Şekil 4.57-Sertleştirme yöntemlerinin sürekli soğuma ZSD-diyagramında şematik gösterimi
1:Basit, 2:Kesikli, 3:Duraklı suverme

Şekil 4.57 sertleştirme yöntemlerine ait tipik soğuma eğrilerini ZSD-diyagramı üzerinde göstermektedir.

4.5.6.6. Suverme Gerilmeleri

Suverilen parçanın iç-dış, ince-kalın gibi çeşitli bölgelerindeki değişik soğuma koşulları nedeniyle oluşan, aşağıda belirtilen iki tür gerilmenin toplamı olarak çarpılma ve/veya çatlama tehlikesine yol açabilen gerilmelerdir.

İslı gerilmeler: Hızlı soğuma sonucu parçadaki sıcaklık dağılımına bağlı farklı büzülmeler dolayısıyla meydana gelirler (Bk. 2.6.2).

Dönüşüm gerilmeleri: Ostenitin, kafesi karbonca aşırı doyarak gerilmiş tetragonal martenzite dönüşmesinden ötürü, sertlik ile birlikte hacim artışı da ortaya çıkar. Çeliğin karbon miktarına bağlı olarak etkinleşen bu olayın, soğuma koşullarına göre parçanın her yanında aynı oran ve zamanda gerçekleşmesi dönüşüm gerilmelerini yaratır.

Suverme gerilmeleri öncelikle düşük soğuma hızları uygulanarak, ayrıca ıslı denegeleme yardımıyla da azaltılabilir. Dolayısıyla çeliğin kritik soğuma hızı sadece gerektiği kadar asılmalıdır. Tüm kesit sertleştirilmesinin zorunlu olmadığı durumlarda, öngörülen sertlik değerinin elde edilmesi için yeterli soğuma hızı çeliğin ZSD-diyagramından (surekli soğuma) kolayca belirlenir.

Sertleştirmeden sonra artık ostenitin bir bölümünü zamanla martenzite dönüşeceğinden yüksek karbonlu çeliklerde dönüşüm gerilmeleri daha da artabilir. Bu nedenle suverilmiş parçalar hiç bekletilmeden temperlenmelidir. Temperleme sıcaklığının, sertliği düşürmemek amacıyla 100°C - 200°C arasında seçilmesi bile, aşırı kafes gerilmelerini ve dolayısıyla çatlama tehlikesini azaltıcı etki yapar (Bk. 4.5.7.1).

4.5.6.7. Sertleşme Davranışı Deneyleri

Çeliklerin sertleşme davranışını DIN 50191'de verilen JOMINY (alından suverme) deneyi* ile basit ve güvenilir bir şekilde saptanabilir. Söz konusu deneyde, ostenitlenmiş standart bir deney parçasına Şekil 4.58 a'da gösterilen koşullarda suverilir. Silindirik parçanın eksenine paralel olarak taşlanmış bir yüzeyde yapılacak sertlik ölçümleri,

- en büyük sertlik değeri ve
- sertleşme derinliğini ortaya koyar.

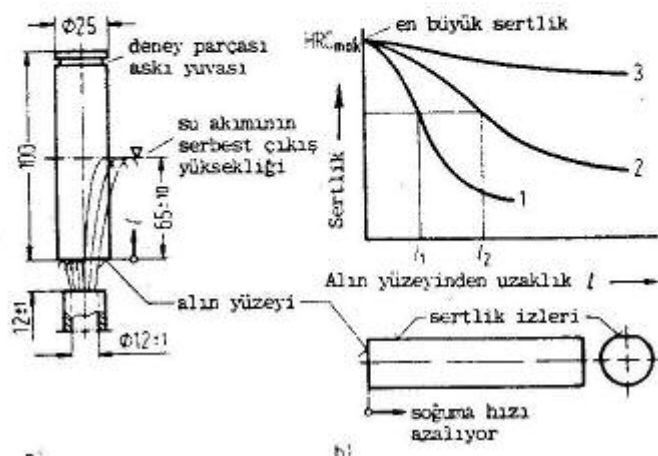
Sertleşme derinliği genellikle %50 martenzit içeren, diğer deyişle böyle bir içyapının sertliğine sahip olan noktanın alın yüzeyinden uzaklığı olarak kabul edilir. %50 martenzit durumundaki sertlik, çeliğin karbon miktarına göre Şekil 4.53 yardımcıyla bulunabilir.

Şekil 4.58 b'de karbon derişikliği ve dolayısıyla en büyük sertlik değeri eşit olan üç farklı çeliğin JOMINY eğrileri görülmektedir:

- alaşimsız çelikte sertlik hızla azalır, sertleşme derinliği l_1 dir (1.eğri);
- az alaşımılı çelikte sertleşme derinliği l_2 değerine yükselmiştir (2.eğri);

*) Bu konudaki Türk Standartı:

TS 1381 - Çeliğin Ucuna Suvererek Sertleştirme Deneyi (Jominy Deneyi)



Şekil 4.58- a) Jominy deney parçası ve düzeni
b) Üç farklı çelik için JOMINY eğrileri (şematik)

- yüksek alaşımılı çelikte sertleşme derinliği çok büyük olup, düşük soğuma hızlarında, yani alından uzak bölgelerde dahi hemen hemen tam sertleşme vardır (3.eğri).

Jominy deneyinde deney parçası boyutları ve soğuma koşulları standart olduğundan, çeliklerin ısı iletim katsayısında önemli bir farklılık bulunmadığı sürece, alın yüzeyinden her li uzaklığa karşılık belirli bir soğuma hızı tanımlanmış olur.

Sertleşme özelliklerini ortaya koyan ve sertlik sınırı deneyi adını taşıyan başka bir yöntem de, incelenen çelikten üretilen deney parçalarına farklı sıcaklıklardan suverilip bunların kırılmasıdır. Kırık yüzeyi yardımıyla sertleşme derinliği ve çeliğin ince taneli olarak kaldığı sıcaklık aralığı saptanır. Böylece,

- varılan sonuçlar endüstriyel uygulamalara doğrudan aktarılabilir,
- ancak bu sonuçlardan yararlanarak farklı boytlardaki parçalar ve farklı suverme ortamları için tahminlerde bulunmak güçtür.

4.5.7. Toklastırma Yöntemleri

4.5.7.1. Islah Etme

Sertleştirilen çelik tetragonal martenzit yapısından ötürü, genellikle çok sert ve pratikte kullanılamayacak kadar gevrek- tür. Aşırı kırılganlığın giderilmesi amacıyla tavlanması gereklidir. Acl'in altındaki sıcaklıklarda yapılan, temperleme veya menevişleme denilen bu tav işleminin etkisiyle içyapı daha kararlı duruma gelir ve çoğunlukla sertlik de azalır.

Temperlemedeki özellik değişimleri, karbon ve demir atomlarının artan sıcaklıkla hareketlilik kazanmasına dayanır. Alaşimsız ve az alaşımılı çeliklerde genellikle üç ayrı temperleme kademesinden söz edilebilir:

1. Temperleme Kademesi

Yaklaşık 100°C ilâ 200°C arasında ince ϵ -karbürlerin (Fe_2C) çökeliş yapıya dağılmasıyla tetragonal martenzit, kafesi daha az gerilmiş kübik martenzite dönüşür. Temperleme öncesi artmış olan hacmin bu nedenle azalmasına karşılık sertlikte önemli bir düşüş görülmez. Ancak "cam sertliği" diye nitelenecek ölçüde fazla olan gevrekleşmenin, yani aşırı kafes gerilmelerinin giderilmesi ile çelik kullanılabilir duruma getirilmiş olur.

2. Temperleme Kademesi

200°C ilâ 350°C dolaylarında karbon atomlarının yayılması kolaylaştırıldığından yeni çökelen karbürler Fe_3C bileşimindedir.

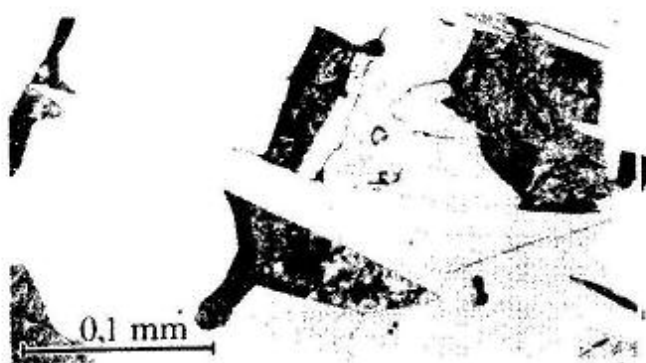
Kübik martenzitin kafes gerilmeleri daha da azaldığı için sertlik ve çekme dayanımı düşmeye başlar. İnce dağılmış karbürler dislokasyon hareketlerini etkin bir şekilde engelleyerek kaymayı güçlendirdiklerinden akma sınırı pek değişmez. Öte yandan suverilmiş yüksek karbonlu çeliklerin iç yapısında her zaman bulunabilen artık ostenit içinde de karbürler çökelir. Böylece çözünmüş karbon miktarı azalarak M_S ve M_f sıcaklıklarını yükselen artık ostenitin kübik martenzite dönüşmesiyle hacim artışı meydana gelir.

3. Temperleme Kademesi

Yaklaşık 350°C 'dan A_{cl} 'e kadar olan sıcaklıklarda, tümüyle Fe_3C olan demir karbürler optik mikroskopla görülebilecek kadar büyük parçacıklar halinde çökelirler. Kübik martenzitin yerini ferrit ana kütle aldığından hacim azalır. Temperleme sıcaklığı yükseldikçe, sertlik değeri ile çekme ve akma dayanımları düşer, süneklik ve özellikle centik vurma tokluğu artar.

Özetlenirse, sertleştirmeden sonra temperleme sıcaklığına bağlı olarak, çeliklerin iç yapıları ve dolayısıyla mekanik özellikleri kullanım yerine uymak üzere, çok geniş bir aralığta (martenzitten yumusatılmış duruma kadar) değiştirilebilir. Öte yandan yukarıda belirtildiği gibi, gerek sertleştirme gerekçeşitli temperleme kademelerindeki pozitif ve negatif hacim (boyut) değişimleri özellikle dar toleranslı parçalarda dikkate alınmalıdır.

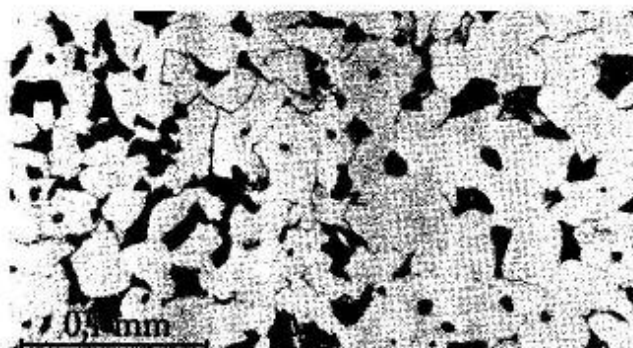
İslah etme deyiminden, sertleştirme ile temperleme (çoğu kez 450°C - 650°C arasında) aşamalarından oluşan birleşik bir yöntem anlaşılır. Amaç çeliğin sünekliğini fazla düşürmeden, çekme ve akma dayanımları yanında özellikle tokluğunu, normalleştirilmiş durumdan de daha iyileştirmektir (Şekil 4.59, 60, 61).



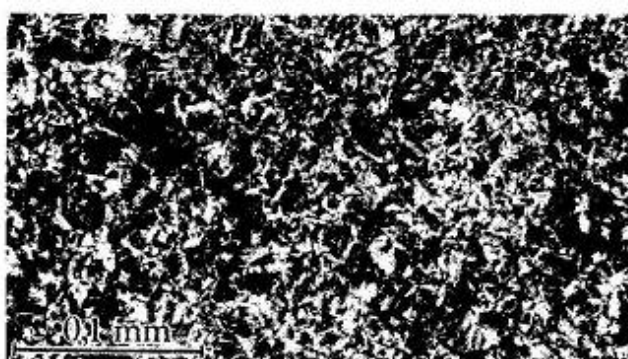
Şekil 4.59-%0,25C'lu dökme çelik iç yapısı, Islah çeliğinden* bir parçanın vurma işi $A_V(\text{iso}-v) \approx 14 \text{ j}$

Şekil 4.62 islah yöntemi ile ilgili sıcaklık zaman diyagramını göstermektedir. Kullanılan çeliğe göre suda, yalda veya havada suvermeden sonra, düşük sıcaklıkta yapılan temperlemedeki tutma süresi (t_{T2}) ostenitlemedekinin (t_{T1}) yaklaşık iki katı alınır. Böylece Fe_3C çökelmesinin tümüyle gerçekleşmesi sağlanır.

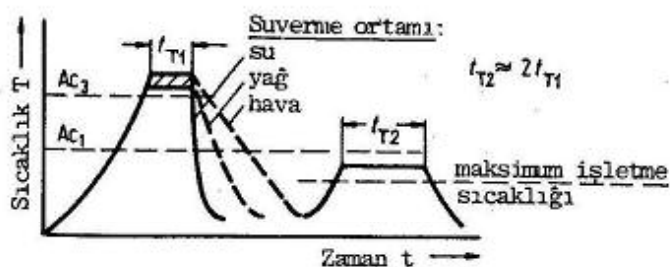
*) Islah edilmiş durumda işlenen veya işlenmeden sonra islah edilen çelik



Sekil 4.60-Aynı çelik, normalleştirilmiş, centik vurma işi $A_V(\text{ISO}-v) \approx 71j$



Sekil 4.61-Aynı çelik, islah edilmiş, centik vurma işi $A_V(\text{ISO}-v) \approx 86j$



Sekil 4.62-Islah işleminde sıcaklık-zaman diyagramı

birimde gösterilmiştir. Daha kararlı olan sorbit ve trostitti temperlemek için martenzitin temperlenmesinden daha yüksek sıcaklıklar gereklidir.

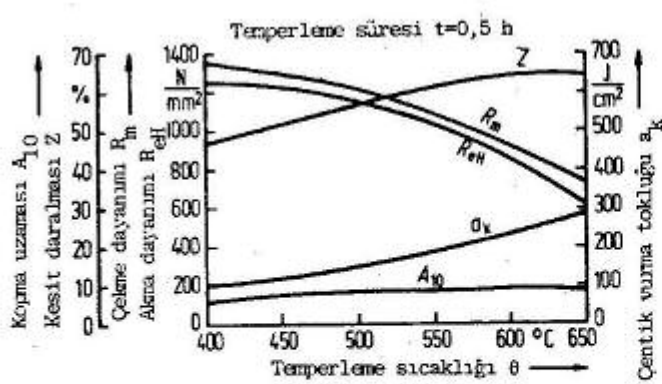
Parçada iç gerilmelerin doğusunu olabildiğince önlemek amacıyla, temperlemeden sonraki soğutma yavaş yapılmalıdır. Ancak mangan, krom, krom-mangan ve krom-nikel çeliklerinde ($\text{Sb}, \text{As}, \text{P} > 0,01$ ve $\text{Sn} > 0,005$ bulunursa) yavaş soğuma ile centik darbe topluğu azalır, geçiş sıcaklığı (bk. 3.4.4) belirgin olarak yükselir (Sekil 4.65). Temper gevrekliği diye anılan bu olay genellikle oda sıcaklığındaki çekme deneyleri ile kanıtlanamaz.

temperleme sıcaklığını aşmamalıdır (aksi halde dayanım düşer!). Bu tür bir çeliğin mekanik özelliklerinin temperleme sıcaklığı ile nasıl değiştiği islah diyagramlarından bulunabilir. Sekil 4.63'de Cr-Ni alaşımı bir çeliğe ait islah diyagramı verilmiştir. Centik vurma işinin temperleme (menevişleme) sıcaklığı ile kuvvetlenerek artışı ayrıca Sekil 3.73'deki örnektenden de görülmektedir.

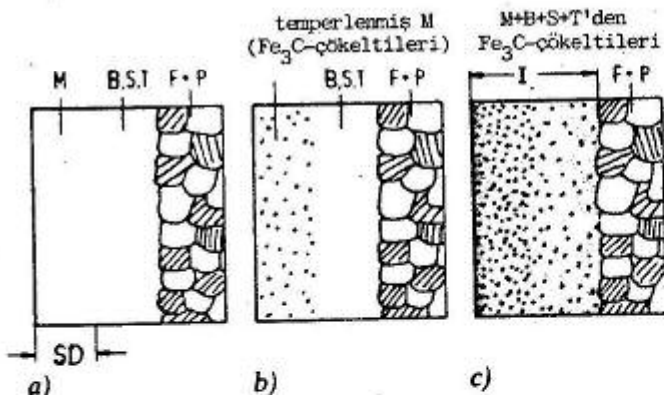
Islah işlemiyle topluğun iyileşmesi kalın parçaların iç kısmını da kapsamalıdır. Bu durum tüm kesit islahı diye adlandırılır ve sayısal olarak islah derinliği ile tanımlanabilir.

Tüm kesit islahı için tüm kesit sertleşmesi zorunlu olmayıp, parçanın ortasında temperlenebilir bir içyapının (örneğin beynit, sorbit veya trostit) olması yeterlidir. Bu içyapılardaki sementitin yüksek temper sıcaklığlarında küreleşmesi sonucu dayanım düşmekle birlikte topluk artar.

Sekil 4.64'de söz konusu olaylar şematik

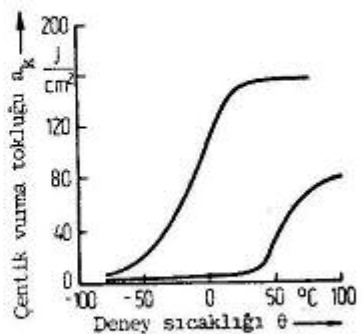


Şekil 4.63-Alasaklı bir Cr-Ni yapı çeliği nin ıslah diyagramı, temperleme süresi 0,5 h (BICKEL'e göre)



Şekil 4.64-İslah işlemi sırasında oluşan iç yapı değişimleri (sematik)
a) Sertleştirilmiş, SD: sertleştirme derinliği
b) Temperleme sıcaklığı düşük; sadece M temperlenir
c) Temperleme sıcaklığı yüksek; M, B, S ve T temperlenir, I: ıslah derinliği
F+P=ferritik-perlitik iç yapı, M=martenzit, S=sorbit, T=trostit, B=beynit

Suda veya yağıda hızlı soğutma temper gevrekliğini önlemeye de, tehlikeli iç gerilmelere yol açacağından öncelikle kalın parçalara uygulanamaz. Temper gevrekliğinin nedeni kesin olarak bilinmemektedir; ancak büyük bir olasılıkla tane sınırlarındaki çökeltilerden (ince karbürler, bazı katışıklar) kaynaklandığı söylenebilir. Tanelerarası kırılma yüzeyinde yapılan incelemeler bu görüşü kuvvetlendirmektedir. Katışıkların giderilmesi veya hızlı soğutma dışında, çeliğe %0,2-1 molibden katılması da temper gevrekliği eğilimini oldukça azaltır.

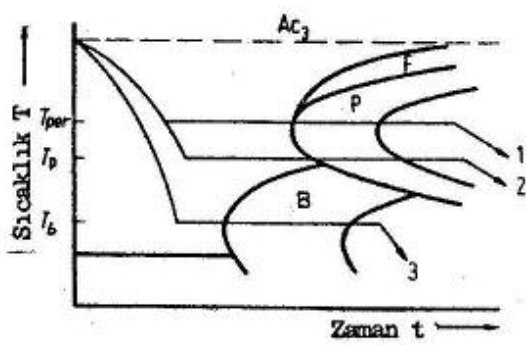


Şekil 4.65-Temper gevrekliğinin 24CrNi9 çeliğinin kentik vurma davranışına etkisi (ECKSTEIN'a göre)

4.5.7.2. Beynitleme (Ostemperleme)*

Ostenitlenen çelik, beynit kademesindeki bir (T_b) sıcaklığına ısıtılmış kurşun veya tuz banyosuna daldırılıp, kararsız ostenitin beynite izotermik dönüşümü tamamlanıncaya kadar bekletildikten sonra, istenilen bir hızla (örneğin havada) soğutulur (Şekil 4.66, eğri 3). Martemperlemedeki gibi sabit sıcaklıkta tutma sırasında, ostenitin ısıl gerilmelerin etkisiyle kolayca şekil değiştirebilmesi sonucu bu gerilmeler giderilmiş olur. Ayrıca beynitin yayınma yoluyla oluşumundan dolayı kafes gerilmeleri de geniş çapta azalır. Beynitik iç yapı temper-

*) İngilizce "austenite tempering=austempering" den osteniti temperleme (sabit sıcaklık dengelemesi) anlamına gelmek üzere



Sekil 4.66-Beynitleme ve patentleme-perlitleme işlemlerinin ZSD diyagramında gösterilisi (şematik).
Soğuma eğrisi 1:perlitleme
2:patentleme
3:beynitleme

etkilediği için yöntemin uygulanabileceği çelikler sınırlıdır. Martemperlemeye göre daha da yüksek olan banyo sıcaklığından ötürü, ostenitleme sıcaklığından soğutma oldukça yavaş gerçekleşirken perlit burnunun kesilmemesi, öncelikle alaşimsız çeliklerde mümkün değildir. Bu arada hangi tür çelikte olursa olsun, saf yani %100 beynitin (bk.Şekil 4.35) sadece izotermik dönüşümle elde edilebileceği göz önünde tutularak, ekonomik açıdan, anılan dönüşümün kısa sürede sonuçlanacağı çelikler seçilmelidir.

4.5.7.3. Patentleme-Perlitleme

Ostemperlemeye benzer biçimde, ancak sıcaklığı perlit kademesinde olan bir banyo yardımıyla yapılır (Şekil 4.66, eğri 1 ve 2). Böylece soğuk şekillendirilme kabiliyeti çok iyi olan sorbitik-trostitik bir içyapıya ulaşılır. Soğuk çekmede bu yapının kuvvetle pekleşmesi sonucu, örneğin çok yüksek dayanımlı ($\sim 3000 \text{ N/mm}^2$) teller üretilabilir ($C > 0,4\%$).

4.5.8. Yüzey Sertleştirme Yöntemleri

Civata, muylu, mil, dişli çark, yatak gibi birçok makina elemanında, kalınlığı çoğunlukla 0,1-2 mm arasında olmak üzere sadece yüzey tabakasının sertleştirilmesiyle, istenilen aşınma ve ezilme dayanımına ulaşılırken iç kısımlar tok kalır. Sertleşmenin yerel olması dönüşüm gerilmelerini ve çarpılmayı azaltır. Yüzeye oluşan basma iç gerilmeleri ise yorulma dayanımını yükseltici etki yapar.

Yüzey sertleştirme aşağıdaki yöntemlerle gerçekleştirilebilir:

- Tüm kesit ostenitlenerek parçaya suverilir. Bu durumda iç kısmın yumuşak kalması sadece alaşimsız, yani sertleşme kabiliyeti düşük (sağ sertleşen) çelikler için söz konusu olabilir. Öte yandan sertleşen tabakanın belirli bir çelikte

yerine göre değişik kalınlıkta elde edilememesinden ötürü, yüzey sertleştirme amacıyla kullanımı sınırlı olan yöntem, Örneğin O'C (ohne Cementation=sementasyonsuz) adıyla dişli çarklara, ayrıca ray, tekerlek ve halat tamburları sürtünme yüzeylerine uygulanır.

- Yalnız yüzey tabakası ostenitlenerek (sınırlı ısıtma) parçaya suverilir. Alevle ve induksiyonla sertleştirme bu gruba girer.

- Yüzey tabakasının kimyasal bileşimi: yayınma olayları yararımla değiştirilir. Böylece daha sonra bir ısıl işlem yapmadan gerek kalmadan (*nitrürleme*) veya yaparak *sementasyon* istenilen yüzey sertliğine ulaşılır.

4.5.8.1. Sınırlı Isıtmanın Uygulandığı Yöntemler

4.5.8.1.1. Alevle Sertleştirme

Parça yüzeyinin hızlı ısıtilmasında oksijen-yanıcı gaz üfleçlerinden yararlanılır. Yanıcı gaz olarak çoğu kez asetilen veya havagazı kullanılır. Isı tüm kesite önemli ölçüde yayılmadan, yüzeyi ostenitleme sıcaklığına getirilen parça, bıçmine uygun duşlarla, su vb. püskürtülerek soğutulur. Sertleşen tabaka kalınlığı üfleinin gücü ve diğer parametrelerle bağlı olarak genellikle 1-6 mm arasında değişir. İşlem çok basit donatımla olduğu kadar tam otomatik olarak da gerçekleştirilebilir. Büyük boyutlu parçalarda yüzey sertleştirme için diğer yöntemlere göre teknik ve ekonomik bakımdan daha elverişlidir.

4.5.8.1.2. Indüksiyonla Sertleştirme

Sertleştirilecek parçanın çevresine yüksek frekanslı akımla beslenen bir bobin (indükleyici) yerleştirilir. Parçada indüklenen ve frekans artıkça yüzeye yakın kısımlara yoğunlaşan girdap akımlarına malzemenin gösterdiği elektrik direnci dolayısıyla bu bölgeler ısınır. Isı alevle dışardan verilmeyip, parçada oluşturulduğundan (bk.4.5.2) çok yüksek ısıtma hızlarına ulaşılır. Suverme alevle sertleşmedekine benzer şekilde yapılır.

ρ: malzemenin özgül elektrik direnci

$$\delta \sim \sqrt{\frac{\rho}{f \cdot \mu}}$$

f: akım frekansı

μ: malzemenin manyetik geçirgenliği ($\mu_0 \cdot \mu_r$)

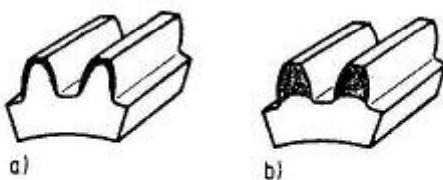
bağıntısıyla verilen sertleşen tabaka kalınlığı (δ), frekans artırılarak 0,1 mm düzeyine indirilebilir.

Isıtma süresinin kısalığı çarpılma, çatlama ve tane irilesmesi olasılıklarını azaltır. Yöntem kolay ve kesin olarak kontrol edilebilir, otomasyona çok elverişlidir. Ancak yüksek ya-tırımlı masrafları nedeniyle, ekonomik bir üretim için sertleştirilecek parça sayısının fazla olması gereklidir.

Alev ve induksiyonla sertleştirme çelikleri DIN 17212 ile belirlenmiştir.

4.5.8.1.3. Daldırmayla Sertleştirme

Parça çok yüksek sıcaklıktaki bir sıvı banyosuna daldırılarak, öngörülen kalınlıkta yüzey tabakası ostenitleninceye kadar uygun bir süre bekletilir. Isının yüzeye yiğilmasını sağlamak üzere, ısı iletim katsiyisi yüksek olan, yani ısıyı parçaya yeterince hızlı ileten bir sıvı kullanılmalıdır. Bu bakımından metal eriyikleri (örneğin kalay bronzu banyosu) en uygunudur. Sıcak banyodan çıkarılan parçaya suverilerek ostenitlenen tabaka sertleştirilmiş olur. Bu yöntemin alev veya induksiyonla sertleştirmeye göre bazı önemli üstünlükleri vardır. Çıkıntılı (örneğin dişli çarklar) ve karmaşık biçimli parçaların yüzeyleri de pahalı ek donatım gerektirmeden sertleştirilebilir. Yatırım maliyeti düşük, üretim hızı yüksek olduğundan ekonomik bir yöntemdir. Ancak sertleşen tabaka kalınlığının ayarlanması ve özellikle yeter ölçüde küçük tutulması güçtür (Şekil 4.67).



Şekil 4.67- Bir dişli çarkta,
a) Indüksiyon veya alev
b) Daldırma
yöntemleriyle sertleştirilen bölge-
rin(koyu siyah) şematik karşılaştırıl-
ması

4.5.8.2. Kimyasal Bileşimin Değiştirildiği Yöntemler

4.5.8.2.1. Sementasyon

Yöntem, düşük karbonlu çelikten üretilen parçaların yüzeyine dışardan atomsal karbon yayındırılmasına dayanır. Sementasyon veya karbonlama (karbürtleme) olarak adlandırılan bu işlem sırasında belirli kalınlıktaki bir yüzey tabakasının karbon derişikliği artırılırken, sürekli sementit ağıının oluşması için $C < 0,8$ oranı hedeflenir.

Bu mertebede karbon ancak ostenit kafesinde çözünebileceğinden, sementasyon A_{C3} 'ün üzerinde gerçekleştirilir. Öte yan dan karbonun yayınma hızı γ -KÇ'de α -KÇ'ye göre daha düşük, yani yüksek sıcaklıklara rağmen işlem süreleri çok uzundur. Ayrıca alaşım miktarının artması ile de karbon atomlarının hareketliği çok azalır. Parça yüzeyinden başlayarak ortalama yayınma (karbonlama) derinliği x_{ort} kabaca şu bağıntıyla hesaplanabilir (bk. 1.4.1.3)

$$x_{ort} = \sqrt{D \cdot t}$$

Burada $D = D_0 \cdot \exp(-Q/RT)$ yayınma katsayısı, t zamandır.

Alaşimsız karbon çeliklerinde teknik bakımından anlamlı bir karbonlama derinliği olarak 2 mm (en çok 3 mm) elde etmek için ortalama 16 saatlik bir sementasyon süresini hesaba katmak gereklidir. Parçanın içte (göbek, çekirdek) fazla sertleşmesi istenmediğinden, sementasyon çeliklerinin karbon miktarı yaklaşık 80,25 ile sınırlanmıştır. Karbonlanan tabakada (kabuk) ise genellikle ötektoid bileşime ulaşma öngörlür. Bu noktanın

aşılmasıyla ($C > 0,8$) tane sınırlarında oluşan sementit ağı vurma tokluğunun çok düşmesine yol açar. Ayrıca sertleştirme sırasında söz konusu tabaka çatlayarak pul şeklinde kalkabılır.

Karbonlayıcı ortamın katı, sıvı veya gaz durumunda bulundmasına bağlı olmaksızın, atomsal karbon gaz fazı (CO) üzerinden meydana gelir. Katı karbonlama ortamlarının temel bileşeni odun kömürüdür. Ayrıca baryum veya kalsiyum karbonat gibi, gaz oluşumunu kolaylaştırın aktivasyon maddeleri katılır. Karbonlanan parçayı her yandan sıkıca çevrelemesi gereken odun kömüründe ısı iletiminin kötü olması nedeniyle, sıcaklığın istenilen düzeye getirilmesi uzun zaman alır.

Sıvı karbonlama ortamı olarak tuz banyoları (siyanür tuzları, örneğin klorür katkıları içeren NaCN) kullanılır. Yüksek banyo sıcaklıklarında (850°C - 930°C) siyanürün çeşitli reaksiyonları sonucu karbon* iş parçası yüzeyine yayılır. Sıvı ortamın katıya göre önemli üstünlükleri vardır. Tuz eriyiğinin ısı iletimi daha iyi olduğu için, işlem süresi kısaltarak çarpılma ve tane irileşmesi olasılığı azalır. Parçalar hızla banyo sıcaklığına eriştiğinden istenen sementasyon kalınlığı da ha kesin olarak ayarlanabilir. Karbonlanan yüzey oldukça temiz kalır. Çok sayıda küçük parçaya, örneğin tel sepetler yardımıyla sementasyon banyosunda tutmadan sonra, kolayca suverilebilmesi ekonomik açıdan büyük yarar sağlar. Yöntemin sakıncaları ise yatırım masraflarının yüksek, siyanür tuzlarının çok zehirli olmasıdır.

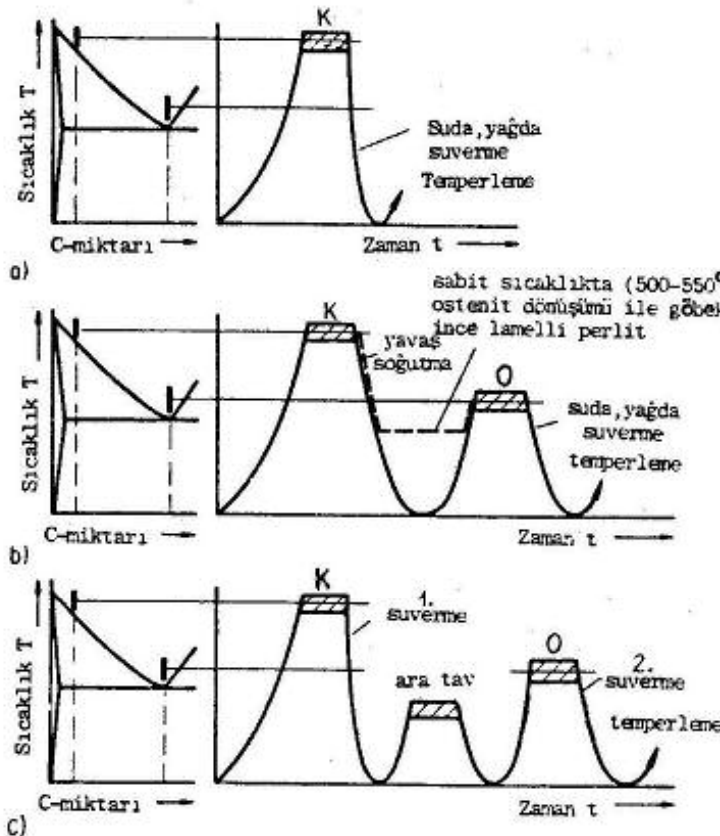
Katı maddelerde karbonlamada bile gaz fazın aracılığı söz konusu olduğundan, işlem doğrudan gaz ortamda (doğal gaz, propan katılmış havagazı vb.) gerçekleştirilebilir. Gazın bileşimine göre karbonlama etkisi değişir ve yüzeyde istenilen her karbon derişikliği elde edilebilir. Oysa katı ortamdaki sementasyonda karbon oranı çoğunlukla $0,8$ değerine ulaşır. Yöntemin tüm parametreleri çok iyi ayarlanabilir. Sertleştirilen parçaların yüzey kalitesi hemen hemen karbonlama öncesindeki gibi kalır. Buna karşın yatırım masrafları çok yüksektir.

Genel olarak, parçalarda semente edilmesi gerekmeyen yerler başlangıçta kille kapatılır veya bakırla kaplanır; diğer işlem görecek yüzeyler ise özenle temizlenmelidir (pas, tufal, yağ vb.).

Karbonlamadan Sonra Sertleştirme

Sementasyon terimi karbonlama (karbürleme) anlamını taşımakla birlikte, yöntem olarak iki aşamalıdır; yani karbonlamayı izlemek üzere sertleştirme işlemini de içerir. Böylece elde edilen martenzitik iç yapı yüzeyin aşınmaya dayanıklılığını artırır. Karbon derişikliğinin kabuk ($0,8\%$) ile göbekte ($0,1-0,2\%$) farklı olması yanında, parçanın işletme sırasında zorlanma durumu da dikkate alınarak, aşağıda örnekleri verilen çeşitli sertleştirme programları uygulanabilir:

* Siyanür oranına göre bir miktar N ile birlikte



Şekil 4.68-Karbonlamadan (K) sonra değişik sertleştirme işlemleri (şematik)

- a) Doğrudan sertleştirme
 - b) Yeniden ostenitleyerek (O) sertleştirme
 - c) Çift sertleştirme (ara tavlı)
- Temperleme: 150°C-210°C
Maks. yüzey sertliği: 850-900HV

c) Çift sertleştirme (Şekil 4.68c) sementasyon çeliklerinden (DIN 17210) özellikle Cr-Ni(-Mo) alaşımılıkara uygulandığı için, 1.suverme kalın parçalarda bile göbek tokluğunun iyileşmesine yol açar (bk. 4.8.2.3.3, az karb.mart.). Yarattığı ısıl gerilmeler bir ara tav (650°C-680°C) ile giderilebilir. Böylece parça bu aşamada talaş kaldırılarak işlenirse herhangi bir çarpılma göstermez. Ostenitleme (0) ve 2.suvermenin rolü ise (b) örneğindeki gibidir. Yalnız ostenitleme süresi göbeğin aşırı tavlanması için kısa tutulur.

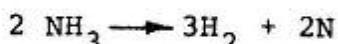
4.5.8.2.2. Nitrürleme (Nitrürasyon)

Bu yöntemde sertliğin artışı martenzit dönüşümünden değil, A_{C1} 'in altındaki sıcaklıklarda azotun atomsal olarak parça yüzeyinden içeri yayınıp nitrür oluşturmasından ileri gelir.

a) Karbonlama sıcaklığından doğrudan suverme kolay ve ucuzdur (Şekil 4.68a). Ancak uzun ve aşırı ısıtma nedeniyle kabukta kaba martenzit ve çok miktarda artık ostenit (bk. Şekil 4.73, M kademesinin alçalması), göbekte de tane irilesmesine bağlı topluk düşüşü görülür. Dolayısıyla bu yöntem, aşırı ısınmaya duyarlı ince taneli çelikler ile Cr-Mo çeliklerinin seçilmemesi durumunda, sadece az zorlanan parçaların üretimi elverişlidir.

b) Karbonlanan parça önce yavaş olarak oda sıcaklığına soğutulur veya 500°C-550°C arasında bekletilip ostenitin izotermik dönüşümü sağlanarak göbekte ince lamelli perlitik bir iç yapı da elde edilebilir. Daha sonra kabukun karbon derişikliğine uygun sıcaklıkta yeniden ostenitleme (0) tavını suverme izler (Şekil 4.68b). Kabukta ince martenzit meydana gelir.

Alaşimsız çeliklerde ortaya çıkan iri demir nitrürlerin (Fe_4N , Fe_2N) gevreklestirici etkisinden ötürü yüzey tabakası çatlayabilir. Bu nedenle nitrürasyon çelikleri (DIN 17211) azota karşı kimyasal ilgileri demirinkinden daha fazla olan合金 elementleri içerir. Bunların kimyasal ve ısıl bakımından çok kararlı davranışları nitrürleri, yapıya ince dağılıma koşuluyla yüksek ve homojen sertlik yanında daha büyük nitrürleme derinliği de sağlar. Alüminyum, krom ve titanyum en uygun nitrür yapıcılardır. İşlem amonyak akımı içinde (gazlı nitrürleme) veya tuz banyolarında (banyolu nitrürleme) uygulanabilir. Oluşan nitrürlerin büyülüklük ve dağılımı açısından en uygun olduğu için, 510°C - 550°C arasındaki sıcaklıklarda gerçekleştirilen gazlı nitrürlemede, amonyağın



denklemine göre ayrışmasıyla açığa çıkan atomsal azot çeliğe yayılır. Nitrürleme derinliğinin $0,5$ mm'ye erişmesi için yaklaşık 50 saatlik bir süre gereklidir. Yüksek zorlama görecek parçalar nitrürlemeden önce genellikle ıslah edilir. Böylece mekanik özelliklerini iyileştirilmiş bir göbek elde edildiği gibi, yüzeye azot girişi de kolaylaştırılır. Ancak nitrürleme süresinin uzun olması ıslah edilmiş içyapının aşırı temperlenmesine yol açabilir (dayanım düşer!).

Tuz banyosunda nitrürleme, $570^{\circ}\text{C} \pm 10^{\circ}\text{C}$ sıcaklığındaki siyanür (CN) banyosunda yapılır. Yalnız burada azotla birlikte siyanürün bileşimindeki karbonun bir kısmı az da olsa çeliğe yayılır. Isınmanın hızlı oluşu işlem süresini çok kısaltır (10 saatte ulaşılan nitrürleme derinliği yaklaşık $0,5$ mm'dir). Dolayısıyla aşırı temperleme tehlikesini gazlı nitrürlemeye oranla çok azaltacağından, iç kısımlarında belirli bir ıslah durumunun korunması gereken takımlar ve parçalar için genellikle sıvı ortam kullanılır. Örneğin yüksek hız çeliğinden üretilmiş takımlarda, temperleme sıcaklığının altındaki banyolu nitrürasyon sonucu yaklaşık $0,02$ mm kalınlığında bir tabaka oluşturulması, işletme sırasında ısı etkisiyle yumuşama-ya karşı direnci ve kesme ömrünü belirgin olarak artırmaya yeterlidir.

Sementasyonla karşılaşıldığında, daha sert (850 - 900 HV'ye karşı yaklaşık 1200 HV) ancak çoğulukla daha ince bir tabaka oluşturan nitrürasyon, anılan özellikleriyle aşınmayı azaltmada üstün, yüksek yüzey basınçlarına yeterli dayanımı gerçekleştirmede ise sementasyonun etkinliğine varamayan bir yöntemdir. Bu eksiklik çeliğin ıslah edilmesiyle bir ölçüde giderilebilir. Nitrürleme sonrası parçaya suverme ve bundan kaynaklanan çarpılma söz konusu olmadığından, taşlama vb. bir işlem çoğulukla gerekmekz. Yüzeyde azot miktarının fazlalığı yanında, sertliğin çok yüksek ve ısıl kararlı oluşu 550°C - 600°C işletme sıcaklığına kadar olağanüstü aşınma dayanımı sağlar (örneğin matkap ucu, freze bıçağı, torna kalemi gibi takımlarda). Ayrıca yorulma ve krozyon dayanımı da belirgin olarak iyileşir. Ancak darbeli zorlamalar ince ve gevrek yüzey tabakasının kırılmasına yol açarak yorulma dayanımını çok düşürürler.

4.6. Çelikte Alaşım Elementleri

Alaşımlarda, belirli özellikler elde etmek (kuvvetlendirmek) veya gidermek (zayıflatmak) amacıyla, önceden saptanmış miktarlarda bulunması zorunlu olan bileşenlere合金元素, geri kalan ve istenmeyenlere de katışıklar denir. Burada "alaşım" ile合金元素 "合金" arasındaki anlam farkının vurgulanması yerinde olacaktır. Bir合金元素合金, katışıklarla birlikte demir ve karbon ana (alaşım) elementleri de hesaba katılmaksızın, bileşenlerden en az birinin yüzde ağırlık olarak Çizelge 4.7 de verilen sınıra ulaşması veya bunu aşması gereklidir. Bu koşulu sağlayan bileşenler合金元素合金 elementleri diye nitelenirler.

Çizelge 4.7- Çeliklerin合金元素合金 sayılması için içerebilecekleri element miktarlarına ilişkin alt sınırlar(EURO-NORM 20-74)

Element	Alt sınır (ağırlık yüzdesi)
Alüminyum	0,10
Bor	0,0008
Krom	0,30
Kobalt	0,10
Bakır	0,40
Lantanitler	0,05
Mangan	1,60
Molibden	0,08
Nikel	0,30
Niyob	0,05
Kurşun	0,40
Selen	0,10
Silisyum	0,50
Tellür	0,10
Titan	0,05
Bizmut	0,10
Volfram	0,10
Vanadyum	0,10
Zirkonyum	0,05
Diğerleri(Karbon, fosfor,kükürt,azot ve oksijen dışında)	0,05

Başka hiçbir malzeminin özellikleri合金元素合金 elementlerinin etkisiyle合金元素合金 tek kadar geniş çapta değiştirilemez. Öte yandan sık sık karşılaşıldığı gibi, çok sayıda合金元素合金 elementinin birlikte bulunması halinde bunların etkileri toplanabilir olmadığından, beklenen özellik değişimleri ancak genel çerçevede ele alınabilir ve bu konuda kesin bir öngörü yapılamaz.

Alaşımı合金元素合金 çelikler, düşük veya az合金元素合金 (alaşım elementlerinin toplamı < 5%) ile yüksek合金元素合金 (> 5%) olarak iki gruba ayrılır. Temelde合金元素合金 elementlere benzer davranışa sahip olan az合金元素合金 çeliklerin teknik açıdan en önemli özelliği, sertleşme kabiliyetlerinin çok daha iyi olmasıdır (bk. 4.5.6.1). Ayrıca bu ölçüde bir合金元素合金 alaşımlaşmayla aşağıdaki malzeme özelikleri de oldukça iyileştirilebilir:

- Çeliğe örneğin molibden katılamasıyla yüksek sıcaklıkta dayanım değerleri daha üst düzeye ulaşır.
- Alloy elementleri karburlerinin ısıl ve kimyasal kararlılığı nedeniyle *temper* kararlılığı artar; yani suvermeden sonra temperleme etkisiyle sertlik düşüşü yukarı sıcaklıklara ötelenir.

Alaşimsız ve az alaşımılı çeliklerde istenilen özelliklerin bulunmaması veya yetersiz olması halinde yüksek alaşımılı çelikler kullanılır. Bu tür alaşımlama normal sıcaklıklardaki mekanik dayanımın artırılması yerine, öncelikle tufallanma veya korozyona dayanıklılık, kızıl sıcaklıkta kesicilik, anti manyetiklik gibi bazı seçilmiş özelliklerin elde edilmesini amaçlar.

4.6.1. Alaşım Elementlerinin Sınıflandırılması

Elementlerin çeliğin iç yapısında tek elementli faz, katı çözelti veya ara bileşik durumunda bulunması malzeme özelliklerini çok farklı şekilde etkiler. Teknikteki demir esaslı alaşımarda tek elementli fazlar sadece kurşun ve bakırдан kaynaklanabilir. Bu fazların yaratabileceği olumlu etkiler sınırlı olduğundan, her iki metal de alaşım elementleri arasında önemli bir yer işgal etmezler. Buna karşın aşağıda belirtilen elementler, katı çözelti veya ara bileşik meydana getirerek geniş ölçüde özellik değişimlerine yol açabildikleri için, çeliklerin alaşımlandırılmasında büyük ağırlık taşırlar.

Alaşım elementlerinin demirle katı çözelti oluşturması, atom çaplarının oranı ile kristal yapılarına bağlıdır (bk. 1.5.1.1). Bunlardan

Cr-Al-Ti-Ta-Si-Mo-V-W (Hatırlamak için: "Craltitasimoww")

öncelikle α -demirinde çözündüklerinden ferrit yapıcılar,

Ni-C-Co-Mn-N (Hatırlamak için: "Niccomann")

ise benzer nedenle ostenit yapıcılar olarak adlandırılır (bk. 4.6.3). Ara bileşikler (bk. 1.5.2) en az iki alaşım elementinin atomları arasında çok büyük çekme kuvvetlerinin bulunması sonucu ortaya çıkarlar. Bileşenlerinden farklı ve karmaşık bir kristal yapıya sahip olup, genellikle çok sert ve gevrektiler. Çeliklerde teknik açıdan en önemli ara bileşikler karbür ve nitrürler ile hem karbon hem de azot içeren karbo nitrürlerdir.

Belli başlı karbür yapıclarının bu eğilimleri aşağıdaki sıraya göre artar:

Mn-Cr-Mo-W-Ta-V-Nb-Ti

Genelde zayıf karbür yapıclar (mangan, krom) Fe_3C 'de çözüne-rek karışık karbürler, Örneğin $(Fe,Cr)_3C$, $(Fe,Mn)_3C$; kuvvetli karbür yapıclar (titanyum, vanadyum) ise kristal yapıları Fe_3C 'den farklı olan Mo_2C , TiC , VC gibi özel karbürler oluştururlar.

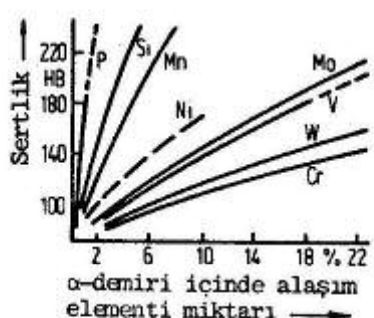
En önemli nitrür yapıclar da

Al-Cr-Zr-Nb-Ti-V
elementleridir.

4.6.2. Mekanik Özelliklerin Etkilenmesi

Alaşım elementlerinin mekanik özelliklere etkisi üç ayrı açıdan ele alınabilir:

a- *Katı çözelti durumu*: Alaşimsız ferritin sertliği, belli başlı alaşım elementlerinin normal miktarlarda (% 1-2) katılması ile önemli bir yükselme göstermez (Şekil 4.69). Öte yandan krom-nikel çeliklerinde koroziyona, ostenitik mangan çeliğinde darbeli aşınmaya dayanıklılık gibi bazı özelliklere ulaşılabilmesi katı çözelti oluşumuyla ilişkilidir.



Şekil 4.69. Çeşitli alaşım elementlerinin α -demiri içindedeki alaşım elementi miktarı ile sertliğine etkisi (BICKEL'e göre)

miktarda karbür ayırtacağı için ana kütledeki alaşım elementlerinin oranı küçülür.

Karışık karbürler ile özel karbürlerin Fe_3C 'den pek fazla sert olmaması ve ferrit sertliğinin alaşımlaşmaya büyük ölçüde değişmemesi nedenleriyle, normalleştirilmiş durumda karbür dağılımı ve miktarı benzer olduğu sürece, alaşımı ve alaşimsız çeliklerin oda sıcaklığındaki dayanımlarının yaklaşık aynı düzeyde bulunması gereklidir.

Buna karşın öncelikle özel karbürlerin kimyasal ve ısıl kararlılıklarından ötürü, yüksek sıcaklıklardaki sertlik ile akma, sürünme ve aşınma dayanımları alaşımı ve özel çeliklerde belirgin olarak üstündür. Ostenitte güç çözünen karbürler bir yandan aşırı aşınmaya duyarlığı azaltırken, öte yandan suverme sıcaklığının yükselmesine yol açarlar.

Sert nitürlerden (1200 HV'ye kadar) teknikte örneğin nitürleme ile yüzey sertleştirmesinde yararlanılır (bk.4.5.8.2.2).

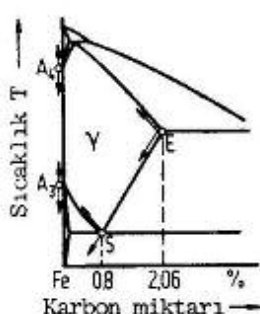
Yüksek dayanımlı ince taneli yapı çeliklerinde (bk.4.8.2.3.2) karbonitrür çökeltileri, çok ince taneli bir dönüşüm iç yapısı oluşturarak yüksek topluk yanında önemli akma sınırı artışı sağlarlar.

c- *Sertleşme derinliği*: Alaşım elementleri karbonun α - ve γ - demiri içindeki yayılma hızını düşürürler. Böylece beynit meydana gelmesi veya kritik soğuma hızının azalmasıyla sertleşme derinliğinin artması (bk.4.6.4 ve 4.6.5) suverilmiş parçaların mekanik davranışını iyileştirir. Bu nedenle mekanik

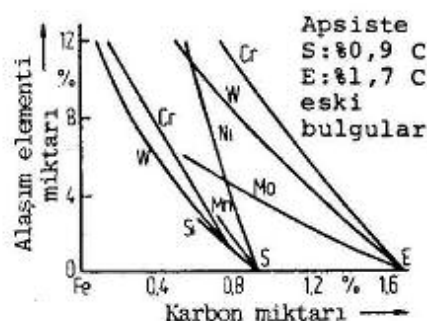
Özellikleri ağır bastığı sürece, alaşımlı çeliklerin alaşimsizlardan farklı olarak hemen her zaman sertleştirme ıslıl işlemi görmeleri gereklidir.

4.6.3. DKD Faz Alanlarının Etkilenmesi

Alaşım elementi miktarı sabit tutularak elde edilen "alaşım parametreli" Demir-Karbon diyagramında faz alanları sınırlarında kayma görülür. Şekil 4.70 bu değişimlerin bazı karakteristik noktalar için nasıl olabileceğini belirtmektedir.



Şekil 4.70. Alaşım elementlerinden dolayı DKD'deki bazı karakteristik noktaların konumlarının değişmesi



Şekil 4.71. DKD'de S ve E noktalarının alaşım elementlerinin etkisiyle öteleşmesi (BICKEL'e göre)

Kobalt dışında bütün elementlerin S ve E noktalarını daima sola, yani daha küçük karbon derişikliklerine ötelemesi (Şekil 4.71) sonucu:

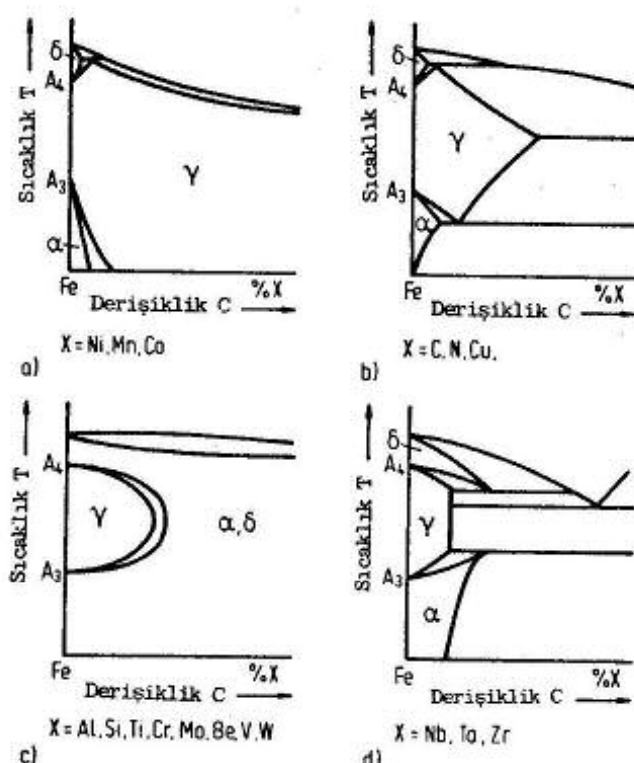
- Islah Çeliklerinde ostenitleme sıcaklığı alçalır; sertleştirilmiş iç yapışta yumuşak ferrit tanelerinin bulunma tehlikesi azalmış olur.

- Çelik bölgesinde ($C < 2\%$) olusabilen ve içerdiği alaşım elementi karburerlerinin etkisiyle erime noktası yükselen ledebürüt, beyaz dökme demirdekiden farklı olarak dövülebilirlik özelliğini ortadan kaldırır. Dolayısıyla ledebürütik çelikler diye adlandırılan bu tür malzemeler, üstün aşınma dayanımlarından (karburer!) ötürü öncelikle takım üretime kullanılırlar.

Ostenit yapıcılar A_3 -noktasını düşürür, A_4 -noktasını yükseltirler. Böylece ostenitin kararlı olduğu alan, genişleyerek belirli bir alaşım oranından sonra oda sıcaklığına ulaşır. Bu durumu yansitan ostenitik çeliklerin, örneğin korozyona dayanıklılık açısından teknik önemleri çok fazladır. Anılan malzemelerde dönüşüm söz konusu olmadığından normalleştirme tavi ve sertleştirme yapılamaz.

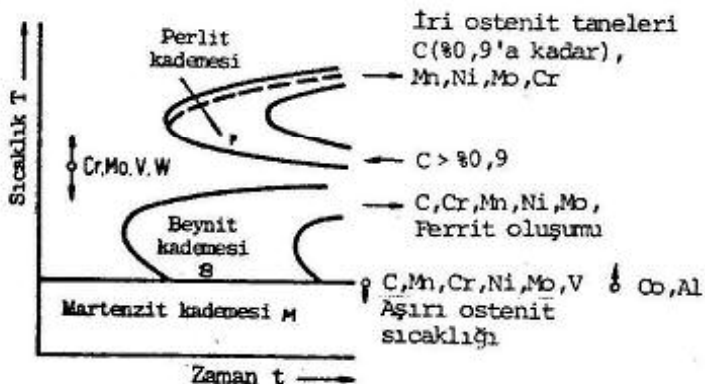
Öte yandan ferrit yapıcılar A_3 -noktasını yükseltir, A_4 -noktasını düşürürler. Ostenit alanı daralır; dolayısıyla belirli bir alaşım oranından sonra erime sıcaklığına kadar ferrit kararlı kalır. Sonuçta dönüşüm göstermeyen, korozyona dayanıklı ferritik çelikler ortaya çıkar. Bu çeliklerde de normalleştirme ve sertleştirme yapılamaz.

Demirle çeşitli elementlerin iki bileşenli faz diyagramlarını şematik olarak veren Şekil 4.72'den görüldüğü gibi bazı



Şekil 4.72. Demirle çeşitli elementlerin iki bileşenli faz diyagramları (şematik)

ve beynit kademelerini genellikle daha uzun sürelerde öteler, yani kararsız ostenitin dönüşüm eğilimini azaltırlar. Bu durum alaşımımlı çeliklerde kritik soğuma hızını düşürerek, martenzitin daha kolay meydana gelmesi sonucunu yaratır. Şekil 4.74'de artan mangan oranının perlit oluşumunu geciktirmesi gösterilmiştir.



Şekil 4.73. Alaşım elementlerinin ve diğer etkenlerin ZSD-diyagramında dönüşüm kademelerini ötelemesi (KRONEIS'a göre)

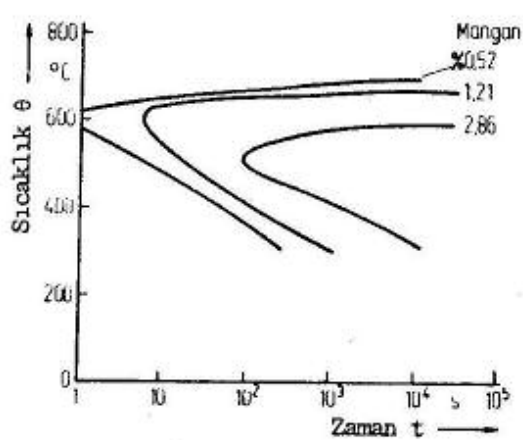
Alaşimsız çeliklerde "burun" bölgesindeki perlit ve beynit alanları, yaklaşık aynı soğuma eğrisi üzerinde birbirini izler biçimde bulunurlar. Böylece beynitin sürekli soğuma ile elde edilmesi güçleşir (Şekil 4.75a). Karışık ve özel karbürlerin ayrılması için karbonun yanında yayılması gereken alaşım elementleri, öncelikle perlit oluşumunu daha yüksek sıcak-

elementlerin yüksek derişikliklerde γ - veya α - katı çözelti alanlarını açması (a ve c), ostenitik veya ferritik çeliklerin temelini oluşturur. Diğer b ve d örnekleri ise demirde sınırlı çözünen elementlerle ilgiliidir.

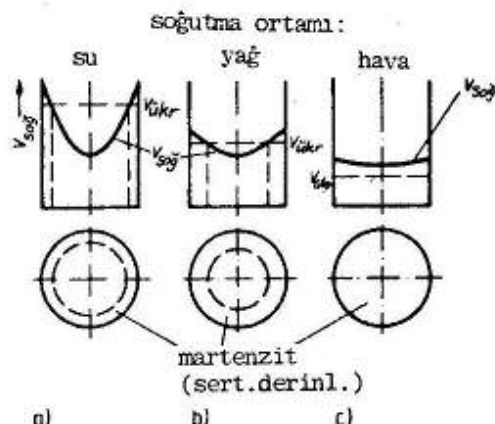
4.6.4. ZSD-Diyagramlarının Etkilenmesi

Karbonun γ - ve α - katı çözeltilerindeki yayılma hızı, alaşım elementlerinin artması ile önemli oranda küçülür. Bu nedenle faz dönüşümleri alaşimsız çeliklere göre daha yavaş gelişir.

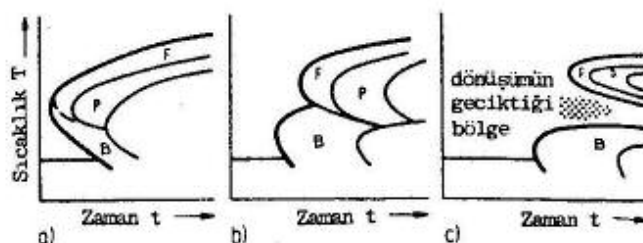
Alaşım elementlerinin ostenit dönüşümüne etkisi ZSD-diyagramlarından kolayca görülebilir. Şekil 4.73'de belirtildiği gibi alaşım elementleri, perlit



Şekil 4.74. Perlit kademesindeki dönüşüm davranışının (dönüşüm başlangıç eğrisinin) Mn-miktari ile değişimi: ~%0,9C'lu alaşimsız çelik (ECKSTEIN'e göre)



Şekil 4.76. Uygun ortamlarda suverilmiş su, yağ ve hava çeliklerinde sertleşme derinliklerinin karşılaştırılması (şematik) a) Su çeliği (alaşimsız) b) Yağ çeliği (az alaşimsız) c) Hava çeliği (yüksek alaşimsız)



Şekil 4.75. Bazı alaşım elementlerinin etkisiyle perlit ve beynit kademelerinin belirgin olarak ayrılması

lıklara ve uzun süreli kaydırırlar. Şekil 4.75b'den açıkça görüldüğü gibi beynit burnu ayrılarak öne çıkar. Dolayısıyla beynit sürekli soğutmayla önemli oranlarda elde edilebilir. Karbür yapıcı elementlerin büyük miktarlarda bulunması halinde ise, perlit ve beynit kademeleri arasında dönüşüm eğiliminin çok zayıfladığı bir bölge belirir (Şekil 4.75c).

4.6.5. Sertleşme Davranışının Etkilenmesi

Daha önce Şekil 4.73'de belirtildiği üzere, alaşım elementlerinden ötürü ZSD-diagramında perlit ve beynit alanlarının sağa kayması kritik soğuma hızını düşürür. Yağ ve hava gibi soğutma gücü zayıf olan suverme ortamları bile böylece sertleştirme (martenzit oluşturma) için yeterli hale gelir. Dolayısıyla yağ veya hava çelikleri diye nitelenen alaşimsız çelikler, alaşimsızlara yani su çeliklerine oranla yavaş soğutulmalarına rağmen, daha büyük sertleşme derinliği de sağlarlar (Şekil 4.76). Söz konusu özellikler pratik açıdan aşağıdaki sonuçları doğurur:

- *Kalın etli parçaların tüm kesiti sertleştirilebilir. Ayrıca suverme hızı düşük olduğundan iç gerilmeler ile birlikte çarpılma ve çatlama tehlikesi de azalır.*
- *Ince etli karmaşık biçimli parçaların da sertleştirme işleminden dolayı çarpılmaları minimum düzeye iner (Alaşimsız ce-*

lik kullanılması halinde suda hızlı soğutma çarpılmayı artırır; yalda soğutma ise sertleştirme için yetersizdir).

Öte yandan artan alaşım elementi ile M_s ve M_f sıcaklıklarının düşmesi (Şekil 4.73), alaşımı çeliklerin tam sertleştirilmesinde sorun yaratır. Yüksek alaşımı çeliklerde M_f noktası oda sıcaklığının oldukça altına inebileceğinden, içyapının tümüyle martenzite dönüştürülmesi ek masraflara yol açan özel önlemlerle mümkün olur (düşük sıcaklık banyolarında suverme gibi). Bu nedenle sertleştirilmiş alaşımı çeliklerin içyapılarında büyük miktarda artık ostenit bulunabilir.

M_s sıcaklığının kabaca 300°C 'ın altında olması halinde normal suverme sırasında önemli oranda artık ostenit ortaya çıkar. M_f 'nin çoğunlukla gösterilmemesine karşın, M_s sıcaklığı çeliğin ZSD-diyagramından alınabilir veya aşağıdaki formülle yaklaşık olarak hesaplanabilir:

$$M_s (\text{ }^{\circ}\text{C}) = 550 - 350C - 40\text{Mn} - 20\text{Cr} - 10\text{Mo} - 17\text{Ni} - 8\text{W} - 10\text{Cu} + 15\text{Co} + 30\text{Al}$$

(Elementlerin ağırlık yüzdeleri konur).

Şekil 4.45'teki ıslah çeliğinin ($C=0,45$; $\text{Mn}=0,66$; $\text{Cr}=0,15$) ZSD-diyagramında $M_s=345^{\circ}\text{C}$ değeri verilmiştir. Yukarıdaki bağıntıyla hesaplanırsa

$$M_s = 550 - 350 \cdot 0,45 - 40 \cdot 0,66 - 20 \cdot 0,15 \approx 363^{\circ}\text{C}$$

bulunur. Teknik uygulamalarda bu yaklaşılık yeterlidir.

Büyük miktarda karbur yapıcı element içeren çeliklerin (örneğin takım çelikleri) ostenitleme sıcakıkları, karbon oranı aynı düzeyde olan alaşimsız çeliklere göre daha yüksek seçilmelidir. Aksi halde karbürler çok kararlı olduklarından ostenit içinde yeterli karbon çözünemez. Dolayısıyla suverme sonucu martenzit tam sertliğine ulaşmayabilir. Ancak takımın aşınma dayanımı öncelikle temperlemeden sonra çökelen sert karbürlerle bağlı olduğundan (bk. 4.8.7.5), uygulamada çoğu kez tam martenzit sertliğinin elde edilmesi zaten gerekli değildir.

4.7. Demir Esaslı Malzemelerin Standart Gösterilişleri*

1949 yılında çıkarılan DIN 17006 "Demir ve Çelik-Sistematisk Adlandırma" standartı zamanla yetersiz kaldığından 1974'de geri alınmıştır. Yeni baskısının EURO-NORM 27-74 ve planlanan ISO düzenlenmesine uygun olmasına çalışılacaktır.

DIN 17006'ya göre çelik işaretlerinin sistematigi ile içerdikleri harf ve rakamların hangi özelliklerini belirttiği Çizelge 4.8'de toplu olarak verilmiştir. işaretin "özü" dışında

*) Bu konudaki Türk Standardı: TS 1111 - Çelikler ve Demir-Karbon Döküm Malzemesi, Sınıflar ve işaretler

Çizelge 4.8- DIN 17006 ile belirlenen çelik işaretlerinin sistematığı (WIRTZ'e göre)

M A St 44 6 N				
Uretim türü (harfle belirtme)	Uretimden gelen en özeliğin	İşaretin Özü	Garanti edilen Özelliğin (razonla belirtme)	İşlem durumu (Harfle belirtme)
B = Bessemer çeliği E = Elektrik oçağı çeliği (genel) I = İndüksiyon oçağı çeliği IE = Ark oçağı çeliği M = Siemens- Martin çeliği T = Thomas çeliği Ti = Pota çeliği W = Özel hava üfleme çeliği Y = Oksijen (Üf- leme) çeliği TM = Temo-mekanik işlem görmüş	A = Yaşlarmaya dayanıklı W = Yüksek sı- caklık da- yanıklı L = Bazık gerilme korozyonuna dayanıklı P = Kalıpla döv- meye uygun Q = Soğuk şekil vermeye ve yağmaya uygun R = Durgun ve yarı durgun dökülmüş RR = Özel durgun dökülmüş S = Eritme kay- nağına uygun U = Kaynar dö- külmüş Z = Çekilebilir TT = Soğukta tok WT = Atmosfer korozyonuna dayanıklı Ro = Kaynaklı boru imali- ne uygun	1. Çekme dayanı- mına göre; St ve en az çekme dayanımı; Örneğin St44 2. Kimyasal bile- şime, göre; Kar- bon sentolü ve derişiklik sa- yısı; Örneğin C45 veya karbon derişik- lik sayısı, ale- şim elementle- rinin simbolu ve derişiklik sayıları; Örne- ğin 13CrMo44 veya Ön harf "X", karbon derişik- lik sayısı, ale- şim elementleri- nin simbolları ve derişiklik sayıları; Örne- ğin X10CrNiTi1810 3. Herhangi bir ni- celik belirtme- mek üzere; Örne- ğin H1, S2, St2	Rakamsız = Her şarj için bir katlama veya basma deneyi 1 = Akma sınırı 2 = Katlama veya basma deneyi 3 = Çentik vurma tokluğu 4 = Akma sınırı ve katla- ma veya basma deneyi 5 = Katlama veya basma deneyi ve çentik vur- ma tokluğu 6 = Akma sınırı ve çentik vurma tokluğu 7 = Akma sınırı ve katla- ma veya basma deneyi ve çentik vurma tok- luğu 8 = Yüksek sıcaklık daya- nımı veya sırıtma da- yanımı 9 = Elektriksel veya man- yatik Özellikler	A = Temperlenmiş B = Talaşlı iş- lasmeye en uygun durumda E = Semente edilmiş G = Yumuşatılmış H = Sertleştirilmiş HF = Yüzeyi alevle sertleştirilmiş HI = Yüzeyi indüksi- yonla sertles- tirilmiş K = Soğuk şekil verilmiş (so- ğuk haddelen- miş, soğuk pekişmiş vb.) N = Normalleştiril- miş NI = Nitürlenmiş S = Gerilme gide- rilmiş U = İşlem görmemiş V = İslah edilmiş (V'yi izleyen sayı; İslah son- rasındaki en az çekme dayanımı- nu verir)

kalan bölümleri, çeliğin tanımlanması için ancak çok gerekliliği oldukları zaman eklenirler. İşaret temelde

- çekme dayanımına göre,
- kimyasal bileşime göre veya
- herhangi bir nicelik belirtmeksiz olşturulabilir.

4.7.1. Çekme Dayanımını Temel Alan İşaretler

Sadece alaşimsız çelikler ve bunlardan da dayanım yükseltici herhangi bir ısıl işlem görmeyecek olanlar için kullanılır. İşaretin özü: St (=Stahl/çelik) ve çekme dayanımı sayısı (ürün kalınlığına göre belirli ölçüde değişmesine müsaade edilen minimum çekme dayanımı, kgf/mm² olarak).

Örnekler : Genel Yapı Çelikleri (DIN 17100)

M R St 37-2

Durgun SIEMENS-MARTİN çeliği, en az çekme dayanımı 37 kgf/mm², kalite grubu 2 (bk.4.8.2.1).

Y.Sic.Dayanımlı Çeliklerden Dikişsiz Borular (DIN 17175) St 35.8

En az çekme dayanımı 35 kgf/mm² olan, yüksek sıcaklıkta dayanım özellikleri garanti edilmiş çelik ("8", bk.Çizelge 4.8).

4.7.2. Kimyasal Bileşimi Temel Alan İşaretler

4.7.2.1. Alaşimsız Çelikler

Çoğunlukla ısıl işlem görmesi ve karbon derişikliğinin belirli sınırlar arasında bulunması gerekenler aşağıdaki şekilde gösterilirler.

İşaret: C ve karbon derişikliği sayısı (ortalama ağırlık yüzdesinin 100 katı olarak).

Örnekler

İslah çelikleri (DIN 17200)

C22, C45

Ortalama %0,22 ve 0,45 C içeren alaşimsız islah çelikleri

Sementasyon çelikleri (DIN 17210)

C10, C15

Ortalama %0,10 ve %0,15 C içeren alaşimsız sementasyon çelikleri

Çeliklerin bazı ek özelliklerini belirtebilmek için C sembolünden sonra şu harfler kullanılabilir:

f : yüzey sertleştirme çeliği, örneğin Cf53, Cf70

k : düşük fosfor ve kükürtlü asal çelik, örneğin Ck22, Ck35,Ck60

q : soğuk şekil vermeye uygun çelik, örneğin Cq35

m : kolay talas kaldırılabilmesi için kükürt miktarı alttan da sınırlanmış olan asal çelik, örneğin Cm35

4.7.2.2. Alaşimlı Çelikler

a) Az alaşimlı çelikler

Karbon derişiklik sayısını önemli alaşım elementlerinin

sembolleri ile derişiklik sayıları izler. Bunları belirlemek üzere, ortalama ağırlık yüzdelerinin çarpılacağı katsayılar Çizelge 4.9 da verilmiştir.

Çizelge 4.9- Az alaşımılı çeliklerde derişiklik sayılarının belirlenmesi için katsayılar

Alaşım elementi	Katsayı
Cr, Co, Mn, Ni, Si, W	4
Al, Be, Cu, Mo, Nb, Ta, Ti, V, Zr	10
P, S, N, C, Ce	100
B	1000

Örnek

Kazan Çelikleri (DIN 17155)

13CrMo4 4

Çizelge 4.9 göz önünde tutularak:

$$C(\%) \approx \frac{13}{100} = 0,13$$

$$Cr(\%) \approx \frac{4}{4} = 1,0$$

$$Mo(\%) \approx \frac{4}{10} = 0,4$$

b) Yüksek alaşımılı çelikler

Az alaşımlılardan ayırt edilebilmek için "X" harfi ile başlar. Bunu karbon derişiklik sayısı ile önemli alaşım elementlerinin sembolleri ve katsayı ile çarpılmamış ortalama ağırlık yüzdeleri izler.

Örnekler:

X 200 Cr 13 : C %2, Cr %13

X 10 CrNiTi 18 10 : C %0,10 , Cr %18 , Ni %10. Benzer çeliklere göre korozyona dayanıklılığı daha kararlı hale getirmek üzere katılan titanyumun miktarı belirtilmemiştir.

Bileşimleri karmaşık olan yüksek hız çeliklerinde işaretin kısaltılabilme için, S harfinden sonra sırayla wolfram, molibden, vanadyum ve kobalt yüzdeleri verilir, örneğin S 18-1-2-5.

4.7.3. Döküm Malzemeler

İşaret bir harf grubu ile başlar :

- GS- : dökme çelik (DÇ)
- GG- : kır dökme demir, genel (DDG)
- GGL- . lamel grafitli dökme demir (DDL)
- GGG- : küresel grafitli dökme demir (DDK)
- GT- : temper dökme demir, genel (DDT)
- GTS- : siyah temper dökme demir (DDTS)
- GTW- : beyaz temper dökme demir (DDTB)

Harf grubunu aşağıdaki bölümlerden biri izleyebilir:

- En az çekme dayanımı (kgf/mm^2 olarak), örneğin GS-38.
- Isıl işlem uygulanacak dökme çeliklerde, çekme dayanımının yerine C sembolüyle birlikte derişiklik sayısı, örneğin GS-C25 (% 0,25 C),

- Alasaklı dökme çeliklerde benzer şekilde, örneğin GS-17CrMoV511.

4.7.4. İnce Saçlar

Yumuşak alasımsız çelikten ince saçlar (DIN 1623, Blatt 1)

İşareti oluşturan bölümler çelik üretim özelliği, çelik kalitesi, yüzey türü ve son işleme göre yüzey görünümüdür.

Örnek : RRSt 1405 m

RR : özel durgun dökülmüş

St : çelik

14 : çelik kalitesi

 10 : temel kalite

 12 : çekme kalitesi

 13 : derin çekme kalitesi

 14 : özel derin çekme kalitesi

05 : yüzey türü

 01 : kapalı kutuda tavlanmış, tufali giderilmemiş

 02 : normalleştirilmiş, tufali giderilmemiş

 03 : tufalsız

 04 : iyileştirilmiş yüzey

 05 : en iyi yüzey (örneğin, lak püskürtmeye uygun)

m : son işleme göre yüzey görünümü

g : parlak

m : mat

r : pürüzlü

Genel yapı çeliğinden ince saçlar (DIN 1623, Blatt 2)

WUSt 37-2 05

WU : özel hava üfleme çeliği, kaynar dökülmüş

St 37-2 : DIN 17100'e göre tanımlama

05 : yüzey türü (yukardaki gibi)

4.7.5. Yüksek Dayanımlı Özel Yapı Çeliklerinin Gösterilişi

Normalleştirilmiş ince taneli yapı çelikleri (akma dayanımı 260-510 N/mm²) ile atmosferik korozyona dayanıklı yapı çeliklerinin işaretleri Stahl-Eisen Werkstoffblaetter (SEW) 089-70 ve 087-70 de verilmiştir.

Örnekler:

StE39

Ince taneli yapı çeliği, en az akma dayanımı 39kgf/mm^2

WStE39

Aynı çelik, 400°C 'a kadar olan sıcaklıklarda akma dayanımı için belirli değerler garanti edilmiş (W).

TTStE39

Aynı çelik, sıfıraltı sıcaklıklarda (-60°C 'a kadar) tokluk için belirli değerler garanti edilmiş (TT).

WTSt37-3

SEW 087-70'e göre atmosferik korozyona dayanıklı (WT) genel yapı çeliği, diğer özellikleri St37-3 (DIN 17000) ile aynı

4.7.6. Malzemelerin Numaralarla Gösterilişi (DIN 17007)

Malzemelerin numaralarla gösterilmesi bilgi işlem açısından ve kolaylık sağlar. Ancak bağıca özelliklerinin standarda başvurmadan hatırlanması güçleşir.

Malzeme numaraları yedi basamaklı olup aşağıdaki bölümlerden oluşurlar:

Ana grup tanıma sayısı _____ X

0,1 : demir esaslı malzemeler

2,3 : demir dışı metaller

4 : toz metallurjisi yöntemiyle
üretilen malzemeler

Tür tanıma sayıları _____ XXXX XX

İlk iki rakam malzemenin türünü, son iki rakam ise bu tür içindeki sırasını gösterir. Çizelge 4.10 da çelikler için tür tanıma sayıları verilmiştir.

Ek Sayılar _____

Bunların ilki çeliğin üretim yöntemini (eritme ve dökme) ikincisi ise işlem durumunu (örneğin yumusatılmış, tavlanmış, soğuk şekil değiştirmiş) belirtir.

Örnekler

Ana Grup : 1, çelik

1 01 12 61

Tür : 01, DIN 17100'de yer alan genel yapı
çelikleri

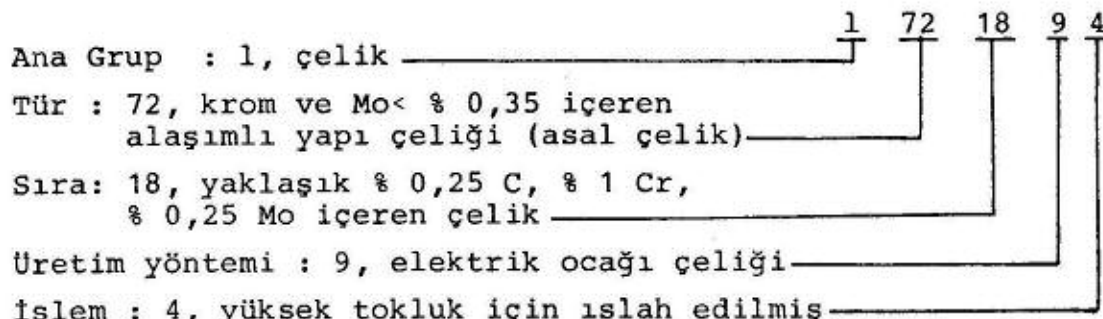
Sıra: 12, St 37-3

Üretim yöntemi : 6, MRR-çeliği (özel durgun
Siemens-Martin çeliği)

İşlem : 1, normalleştirme tavi yapılmış

Cizelge 4.10-Celikler için TÜR Tanıtma Sayıları (DIN 17007-Blatt 2'nin hazırlamakta olan yeni baskısına göre)

Kütte Celikleri Kaliteli Celikler F-Alman Diğer	Alasmasız esas celikler	A s a l C e l a k l i e r				A s a l A l a s m a l a s a l Celikler				Diğer konstruktifyon Celikleri
		Teknik celikler	Çeviri celikler	Xüsasal etkileşen dayanıklı celikler	Xüsasal etkileşen dayanıklı celikler	Cr-Mn	Ni-Si-Cu	Ni-Cr	Cr	
00 Genel Yapı kütte Celikleri	10 sekkin fiksnel dreiblättere sahip celikler	20 Cr	30	40	No yok, Nb ve Ti	50	69	70	80	Cr-Si-Mo Cr-Mn-Mo Cr-Mn-V Cr-Mn-Ni-V
01 Genel Yapı Celikleri Ra< 500 N/mm ²	11 C< 0,5	21 CrSi Cr-Mn Cr-Mn-Si	21 sert alasimlar	41 V Nb ve Ti Zn No	51 Ni-Si Ni-Cr	61	71 CrSi Cr-Mn Cr-Mn-V	71	81 Cr-Si-V Cr-Mn-V Cr-Mn-Ni-V	
02 Diğer Yapı Celikleri Ra< 500 N/mm ²	12 C> 0,5	22 Cr-N Cr-VSi Cr-V-Mn Cr-V-Ni-Si	22 Co içeren	42	52 Ni-Cu Ni-Ni-Si-V Ni-Ni-V	62	72 Cr-Mn No< 0,35	72	82	
03 Ortalaması C< 0,012 veya Ra< 400 N/mm ² olan Celikler	13	23 Mo Cr-Mn Cr-Mn-V	23 Co içeren	43	53 Ni-Mo Ni-Mo-Mn Ni-Mo-Cu-Ni-Mo-V Ni-Mn-V	63	73 Cr-Mn No> 0,35	73	83	
04 0,12< C< 0,35 veya 400< Ra< 500 N/mm ² olan Celikler	14	24 Ni Cr-W	24 Ni Co içermen	44	54 Mo-Mn Mo-Mn-Nb Ti, V, W	64	74 Cr-Si-Ti Cr-Mn-Ti Cr-Mn-Ti	74	84	
05 0,25< C< 0,35 veya 500< Ra< 100 N/mm ² olan Celikler	15	25 W Cr-W	25 Ni Co içeren	45 Cu, Nb veya Ti	55 Mikro aleşimli çelikler	65 Cr-Mn-Mo Mo< 10,4 Ni< 12	75 Nitürme çelikleri	75	85	
06 C> 0,55 veya Ra> 700 N/mm ² olan Celikler	16 Sınıf-11 16	26 W (24,25 ve 27 deinde)	26 Belirli manyetik özellikler olan alasimlar Co içeren	46 Belirli manyetik özellikler olan alasimlar Co içeren	56 Uçak sanayinde kullanılan alasimlar	66 Cr-Mn-Mo No< 10,4 Ni< 15	76 Cr-V Cr< 1,2	76	86	
07 P veya S miktarı yüksek olan Celikler	17 Sınıf-11 17	27 Ni içeren	27 Ni içeren	47 Ni< 0,2	57 Cr-Mn Cr< 1	67 Cr-Mn-Mo Ni< 15 veya Mo> 10%	77 Cr-Mn-V	77	87	
08 Ç< 0,30 Ra< 500 N/mm ²	18 Üznel anelsiz	28 diğer alasimlar	28 Ni içermen	48 Ni> 12 alasimlar	58 Cr-Mn Ni< Cr-Mn, 5	68 Cr-Ni-V Cr-Ni-W Cr-Ni-W	78	88 Ç< 0,30 (89 değinde)	88	
09 C> 0,30 Ra< 500 N/mm ²	19	29	39 Ni içermen	49 Yüksek sicaklık dayanımı materiler	59 Cr-Mn Ni< Cr-Mn, 5 15-68 değinde)	69 Cr-Mn Ni< Cr-Mn-V	79 Cr-Mn-Mo Cr-Mn-Mn-V	79	89 Ç< 0,30 Ra< 500 N/mm ² değinde)	



4.7.7. Demir Esaslı Malzemelerin EURONORM 27-74'e Göre Gösterilişi

Anılan standarda göre çelik işaretleri başlıca iki gruba ayrılır (Çizelge 4.11).

- I. grup : Mekanik özelliklerini ve kullanım amaçlarını temel alan işaretler.

- II. grup : Kimyasal bileşimi temel alan işaretler.

Bunlardan II. Grubun DIN 17006 ile büyük ölçüde paralellik göstermesine karşın, I. Grub için aşağıda açıklanan farklılıklar söz konusudur.

İşaretin özü

- Dövülmüş, haddelenmiş, çekilmiş veya sürekli dökülmüş çelikler için Fe, parçanın son şeklini elde etmek üzere kalıba dökülmüş çelikler (dökme çelikler) için FeG simbolü,
- En az çekme veya E harfi ile ayırt edilen akma dayanımı (N/mm^2 olarak),
- Belirli özelliklerin elde edilebilmesi için katılmış alaşım elementi varsa, bunun kimyasal simbolü.

İşaretin ekleri

- Gevrek kırılmaya duyarsızlık derecesi,
- Önemli nitelikler (örneğin kaynağa elverişlilik, üretim türü ve dökümde katıllaşma davranışları, ısıl işlem durumu),
- Kullanım özellikleri (örneğin kenar kıvırmaya, dikişsiz boru üretimine, kalıpla veya serbest dövmeye elverişlilik).

Çizelge 4.11 işaretlerin oluşturulmasındaki sistemi toplu olarak vermektedir.

Örnekler

Fe 410 D : En az çekme dayanımı $410 N/mm^2$ olarak garanti edilen çelik, gevrek kırılmaya duyarsızlık derecesi D

Fe 410 Pb: Çekme dayanımı yukarıdaki gibi, ancak kurşun katılmış.

Fe E355Mn: Mangan miktarı artırılan ve en az akma sınırı $355 N/mm^2$ olarak garanti edilen çelik.

Çizelge 4.11-EURONORM 27-74'e göre Çelik işaretleri

İşaretin Bilimleri	Grup	I.Mekanik Özelliklere ve kullanım amaçlarına göre isaretlenmesi		II.Kimyasal bileşime göre işaretlendirme			
		Alt grup	I.1.Mekanik Özelliklere göre	I.2.Kullanım amaçlarına göre	II.1.Alasız çelikler	II.2.Alaslı çelikler	
ÇELİK SARET Kriterleri Sonuçları	0. Ön harf veya sayı	-	-	Gerektiğinde ürün standartında özelliklerin düzeyini belirleyen bir ön sayı	Gerektiğinde ürün standartında özelliklerin düzeyini belirleyen bir ön harf		
	1. Ana sembol	Fe:dökümüş, haddelenmiş, pekişmiş veya sürekli dökülmüş çelik, FeG:döküm çelik	Fe	C,döküm çeliklerde önune G harfi gelir	C,bunu kullanımla ile ilgili bir harf izler (ürün standartına göre)	G (sadece döküm çelikler için)	X, döküm çeliklerde önune G harfi gelir
	2. Ana özelligi belirten sayı veya harf	Garanti edilen enaz çelme dayanımı veya E harfi konularak en az akma sınırı (N/mm ² olarak)	Kullanım ile ilgili harf ve bunu izleyen iki veya daha fazla basamaklı sayı (kalite standartına göre)	Ortalama karbon derişikliğinin (% ağırlık) 100 katı			
	3. Bazı alaşım elementlerinin sembolleri	Varsa,belirli özelliklerin elde edilmesi için katılan alaşım elementinin kimyasal sembolu	-	Varsa,belirli özelliklerin elde edilmesi için katılan alaşım elementinin kimyasal sembolu,bunu ürün standartında belirtilen bir rakam izleyebilir.	Özellik karakterize eden alaşım elementlerinin kimyasal semboller		
	4. Alasım elementi derişiklik sayıları	-	-	-	-	En önemli alaşım elementlerinin ağırlık yüzdesinin 4 veya 10 veya 100 veya 1000 katı(elemente göre)	En önemli alaşım elementlerinin ağırlık yüzdesi
	5. Gevrek kırılmaya duyarsızlık derecesi	A,B,C,D	-	-	-	-	-
	6. Diğer kriterlere göre kalite düzeyini gösteren rakamlar	1,2,3... ürün standartına göre	-	-	-	-	-
7. Seçilmiş Özellikler		F,S,K,H,M,R,N,G,T "anahtar harfler"den hiri ve bunu izleyen bir başka harf (ürün standartına göre)					
EURONORM ilişkisinin göst.		EU.....					
Örnekler:		Fe410 D Fe490-2 Fe360-KW FeG 440 FeD 355-2 Fe 410 Pb FeE 355 Mn FeE 355 Cr	FeV 360-50 HC FeP 03 MB RR FeB 215 FeD 01	1C 35 2C 35 TC C 40 S 1C 50 STB GC 20	2CD 15 CD 30 Cr 1	A 20 Mn 5 18 NiCr 16 19 NiCr 16 30 CrAlMo 5 10 G 90 Cr 4	X10Cr13 AX15Cr13 X10CrNi 18 8 X20Cr13 X50NiCr 21 09 X150CrMo 12 KU GX15Cr13

Fe B215 : En az akma sınırı 215 N/mm^2 olarak garanti edilen beton çeliği (B harfinden sonra akma sınırı ayrıca E ile belirtilemez).

4.8. Çelik Türleri

4.8.1. Çeliklerin Genel Sınıflandırılması

EURONORM 20-74'de çelikler

- kimyasal bileşimlerine veya
 - kullanım yerinde istenen özelliklere göre sınıflandırılır
- Kimyasal bileşim açısından
- alaşimsız çelikler ve
 - alaşaklı çelikler (bk.4.6) olmak üzere başlıca iki gruptan söz edilebilir.

Kullanım amaçlarını dikkate alan temel ayırım ise şöyledir:

- Kütle çelikleri (alaşimsız)
- Kaliteli çelikler (alaşimsız ve alaşaklı)
- Asal çelikler (alaşimsız ve alaşaklı)

Kütle çelikleri dayanım ve süneklik değerleri dışında herhangi bir özellik gözetilmeden, genel amaçlarla kullanılırlar. Kaliteli çelikler ise yerine göre kaynağı uygunluk, gevrek kırılmaya duyarsızlık, derin çekilebilme, otomat tezgahlarında işlenebilme gibi bazı niteliklere de sahip olacak şekilde özenle üretilen çeliklerdir. Asal çelikler özel üretim koşullarından ötürü kaliteli çeliklerden daha az katışkı içerirler (P ve $S < 0,035$). Yüksek alaşaklı çeliklerin asal olması zorunludur.

Öte yandan kullanım alanları bakımından, konstrüksiyon (yapı, otomat, sementasyon, nitrürasyon, yay, ıslah çelikleri, ısiya veya korozyona dayanıklı çelikler vb.) ile takım çelikleri olarak yapılan sınıflandırma uygulayıcılara kolaylık sağlar.

4.8.2. Yapı Çelikleri

Kimyasal etkilere dayanıklılık ve imalat sırasında sertleştirme işlemi öngörülmeyen konstrüksiyon çelikleridir. Kullanım yerine göre seçilmelerinde, öncelikle akma sınırının yüksekliği göz önünde tutulur; bunun yanında yeterli süneklik ve gerektiğinde tokluk aranır. Bu arada söz konusu çeliklerin en başta kaynak olmak üzere talaş kaldırma, soğuk şekil verme (örneğin bükmeye, zımbalama, derin çekme) gibi bazı imal usulleriyle ilgili teknolojik özelliklerini de büyük önem taşıyabilir. Bu nedenle kaynak davranışını tanımlayan kavramlar üzerinde durulması yararlı olacaktır.

Çoğu kez malzeme niteliği gibi kabul edilmesine karşın, gerçekte yöntem ve konstrüksiyon öğelerini de içeren kaynak

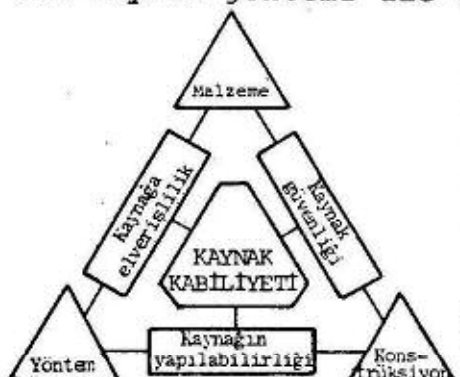
kabiliyeti aşağıda belirtilen üç alt kavrama ayrılarak açıklanabilir:

- Kaynağa elverişlilik(kaynağa uygunluk): Kaynak bağlantısının uygulanan bir yöntemle gerçekleştirilmesinde, seçilen malzemenin metalurjik, kimyasal ve fiziksel özellikler açısından herhangi bir olumsuzluk yaratmamasıdır.

Dönüşüm gösteren çeliklerin kaynak işleminde ısidan etkilenen bölge yeterli *süneklige* sahipse, kaynağa uygunluğun var olduğu genellikle söylenebilir. Bunun için, gerekiyorsa alınacak önlemlerle martenzit oluşumu engellenmeli (bk.2.5.3) veya meydana gelebilecek martenzitin bir ölçüde tok olmasını sağlamak üzere çeliğin karbon miktarı sınırlanmalıdır (C<0,20..0,22).

- Kaynak güvenliği: Öncelikle malzemeye bağlı olan kaynağa uygunluk, kaynaklı konstrüksiyonun gevrek kırılmaya karşı güvenli olması için yeterli değildir. Yani konstrüksiyonun öngörülen işletme koşulları altında gevrekleşme ve çatlama tehlikesinden uzak kalması, çelik özellikleri yanında başka bazı etkenlerin de imalatçı tarafından dikkate alınmasını gerektirir. Söz konusu etkenler tasarım (saç kalınlığı, dikiş türü ve konumu, çentik etkisi) ve zorlama durumu (gerilmelerin türü, büyülüklüğü ve çok eksenliliği, zorlama hızı, işletme sıcaklığı) olarak iki grupta toplanır.

- Kaynağın yapılabilitiği: Belirli bir konstrüksiyonun seçilen kaynak yöntemi ile gerçekleştirilebilmesidir.



Şekil 4.77 kaynak kabiliyeti kavramının, malzeme-yöntem-konstrüksiyon öğelerinin karşılıklı etkisiyle ortaya çıkan alt kavramlara bağlılığını göstermektedir.

4.8.2.1. Genel Yapı Çelikleri (DIN 17100)*

Toplam çelik üretimi içinde en büyük paya sahiptirler. Alasız ve çöğunlukla kütle çeliği olarak, sıcak şekillendirmeden sonra normalleştirilmiş, bazen de soğuk şekil verilmiş durumda kullanılırlar. Bu çeliklerden özellikle çekme ve akma dayanımları göz önünde tutularak, örneğin yeraltı ve yerüstü inşaatı, köprü, depolama kabi, taşıt ve makina yapımı gibi çeşitli mühendislik alanlarında yararlanılır.

Şekil 4.77. Kaynak kabiliyeti, alt kavramlar ve kaynağın temel öğeleri arasındaki ilişkilerin sematik göstérilişi

Çizelge 4.12'de verilen çelik türlerinin en az çekme dayanımları 290 N/mm^2 'den 670 N/mm^2 'ye, en az akma sınırları ise 175 N/mm^2 'den 365 N/mm^2 'ye kadar değişir; iç yapıları ferritik-perlitiktir. Dayanım değerleri aşağıda belirtilen faktörlerin ortak etkimesiyle artar:

*) Bu konudaki Türk Standardı: TS 2162, Genel Yapı Çelikleri

Çizelge 4.12-DIN 17100'e göre çeliklerin mekanik özellikleri

Çelik türü İşaret ¹⁾	Gördüğü isıl işlem (2)	Çekme dayanımı R_{un} kalınlık $\geq 3\text{ mm}$ $\leq 100\text{ mm}$ N/mm^2	Akma sınırı R_{ch}	Mekanik özellikler							
				Kalinlıklar (mm)		Boylamasına Enlemesine		Kopma uzaması A_5		Gentik vurma işi A_V ³⁾	
Malzeme numarası	≤ 16	≥ 16		≤ 40		≥ 40		≥ 3		≥ 40	
		≤ 40	≥ 40	≤ 63	≥ 63	≤ 63	≥ 63	≤ 40	≥ 40	≤ 63	≥ 63
St 33	1.0035	U, N	290	185	175	-	18	-	16	-	-
St 37-2	1.0037	U, N									+ 20
USt 37-2	1.0036	U, N									+ 20
RSi 37-2	1.0038	U, N	340...470	235	225	215	26	25	24	23	27
St 37-3	1.0116	U									± 0
		N									- 20
St 44-2	1.0044	U, N									+ 20
St 44-3	1.0144	U	410...540	275	265	255	22	21	20	19	27
		N									- 20
St 52-3	1.0570	U	490...630	355	345	335	22	21	20	19	27
		N									± 0
St 50-2	1.0050	U, N	470...610	295	285	275	20	19	18	17	-
St 60-2	1.0060	U, N	570...710	335	325	315	16	15	14	13	-
St 70-2	1.0070	U, N	670...830	365	355	345	11	10	10	9	-

1) U=kaynar, R=dökün dökülmüş. Dökümde katılaşma durumu (oksit giderme türü) St33 ve St37-2'de serbest bırakılmıştır. St-3 ile St70-2 arasında kalite grubu 2 olanlar durgun (R), 3 olanlar ise Özel durgun (RR) dökülür.

2) Üsickak şekil verilmiş, isıl işlem görmemiş, N=normalleştirilmiş.

3) ISO-V gentikli deney parçaları ve 10 mm(St37-2'de 16 mm)ile 63 mm arasındaki kalınlıklar için geçerlidir.

- *Katı çözelti sertleşmesi* (ferritte çözünmüş olan demir eşlik elementlerinden dolayı),
- *Tane sınırları* (özellikle ince taneli St 52-3'de belirgin olmak üzere),
- *Perlit oranı*

Hadde ürünleri büyük ölçüde kaynaklı konstrüksiyonlarda kullanıldıklarından, bu tür çeliklerde

- kaynağa uygunluk ve
- gevrek kırılmaya duyarsızlığın yeterli düzeyde olması gereklidir.

Kaynağa uygunluk bakımından karbon miktarı, gevrek kırılmaya duyarsızlık için de geçiş sıcaklığı veya çentik vurma tokluğu güvenilir birer ölçüt olarak alınabilir. Garanti edilen dayanım değerleri aynı olan değişik kalite gruplarındaki çelik türleri, sadece kimyasal bileşim değil, gevrek kırılmaya duyarsızlık açısından da farklıdır. Çeliğin kalite grup sayısı büyükçe gevrek kırılmaya duyarsızlığı da artar.

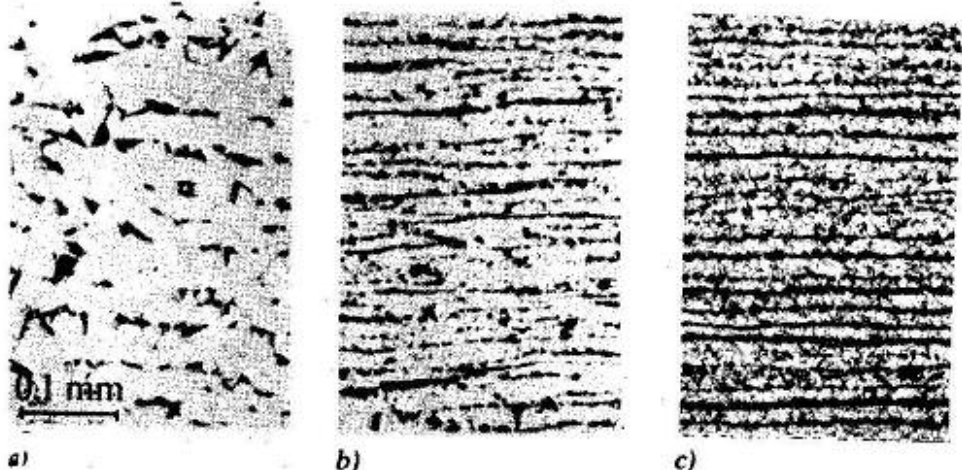
Kalite grubu 3'e giren bir çeliğin (örneğin St 37-3) bileşimindeki katıskılar ($P<0,05$, $S<0,05$), kalite grubu 2 olan durgun bir çeliğinkinden ($P<0,06$, $S<0,06$) daha düşüktür. Ayrıca oksit gidermede kullanılan alüminyum gibi elementlerle bağlanması ötürü, azotun katı çözeltideki miktarı çok azalır. Böylece geçiş sıcaklıklarını diğer çeliklere oranla alçaltan kalite grubu 3 çelikleri gevrek kırılmaya karşı daha güvenlidirler. Çentik vurma işinin bir minimum değerinin altına inmemesi koşulu, yalnız az karbonlu yani kaynağa elverişli çeliklerde aranır (bk. Çizelge 4.12).

Sonuç olarak kaynak işlemi sözkonusu ise, çelikler sadece dayanımlarına değil, tokluk özelliklerine göre de seçilmek zorundadırlar. Diğer bağlantı biçimlerinde (civata, perçin) gevrek kırılma ile hemen hiç karşılaşmadığından, malzemenin tokluğu önemli bir rol oynamaz. Çeliklerin kaynağa uygunluğu için genel bir garanti verilmesi yaniltıcı olabilir. Çünkü konstrüksiyonun kaynak sırasında ve sonrasında davranışları malzeme özelliklerinden başka, boyutlar, üretim ve işletme koşulları ile de belirlenir.

Eritme kaynağı

St 37-2, St 37-3, St 44-2, St 44-3, St 52-3

çeliklerine çoğunlukla herhangi bir önlem gerektirmeden uygulanabilir. Kalite grubu 3'e giren çeliklerde azotun AlN vb. kararlı bileşikler oluşturulması şekil değişimi yaşlanması da önler (bk. 4.4.5). Bunun yanında anılan nitrürlerin çekirdek etkisi ince taneli ikincil iç yapı (bk. 1.3) yaratarak akma sınırını yükseltir. St 52-3 çeliği kaynağa uygun ($C<0,2$) yüksek dayanımlı ince taneli yapı çeliklerinin öncüsü olarak kabul edilebilir. Şekil 4.78 a,b ve c'de St37-2, St 52-3 ve



Sekil 4.78. Çeliklerin iç yapıları:

- a) St 37.2 ($R_{eH} \approx 235 N/mm^2$) ; b) St 52-3 ($R_{eH} \approx 355 N/mm^2$)
- c) az alaşımılı ince taneli yapı çeliği ($R_{eH} \approx 500 N/mm^2$)

az alaşımılı ince taneli bir yapı çeliğinin iç yapıları karşılaştırılmıştır.

St 50-2 , St 60-2 , St 70-2

çeliklerinin kaynağında ise ön ısıtma ve ayrıca kaynak sonrası tavi gereklidir.

4.8.2.2. İnce Saçlar (DIN 1623)*

Genellikle alaşimsız az karbonlu çeliklerden, soğuk haddeleme sonrası tavlanarak yumuşatılmış (veya bazen sıcak haddelenmiş), kalınlıkları 3 mm'nin altında olan saçlardır. Şekil verme (derin çekme, bükme, germe) ve yüzey işlemlerine (örneğin emaylama, plastik kaplama, galvanizleme, lakkama, kalay kaplama, krom kaplama) elverişlidirler. Bu saçlar semente veya ıslah edilmezler. F.Almanya veya A.B.D. gibi ileri düzeyde sanayileşmiş ülkelerde ince saçların toplam çelik üretimindeki payı %25-30'u bulur. En önemli kullanım alanları taşıt ve madeni eşya üretimi ile elektrotekniktir.

İnce saçlarda dayanım değerleri çoğu kez ikinci planda kalır; öncelikle derin çekme vb. işlemler için gerekli olan yeterli şekil değiştirme kabiliyeti (süneklik) aranır. İç yapıının küçük taneli olması ve saç yüzeyinin belirli bir duruma getirilmesi de (örneğin elektrolitik kaplama için parlatma, kolay çekilebilme için yağlayıcıyı tutmak üzere matlastırma) önemlidir.

Çeşitli yöntemlerle saçlara şekil vermede ortaya çıkabilecek karmaşık olaylara rağmen, malzemelerin söz konusu imalat koşullarına uygunluğu çekme deneyi sonuçlarıyla saptanabilir. Ayrıca özel teknolojik deneylerle ek bilgiler de elde edilir.

* Bu konudaki Türk Standardı:

TS 3812 Alaşimsız ve genel yapı çeliklerinden yapılmış ince çelik saçlar.

Bunların arasında en çok kullanılanı Erichsen Çökertme Dene-yidir (bk.3.5.1).

Yüksek dayanım istenen bazı uygulamalarda, sacın şekil değiştirme kabiliyetinin azalması pahasına da olsa, karbon miktarını artırmak veya başta mangan olmak üzere alaşım elementi katmak yoluna gidilebilir.

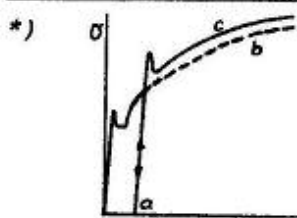
Kaynar çeliklerde katışıkların az olduğu demir tabakası (bk.4.3.3.2), yüzey kalitesinin durgun çeliklerden daha üstün olmasını sağlar. Dolayısıyla sadece büyük oranda şekil değişimi gerektiren parçalar için alüminyumla özel durgunlaştırılmış çelikler seçilir.

Az karbonlu yumuşak çeliklere özgür belirgin akmadan ötürü, ince saçlardan parça yapımında yerel şekil değişimleri, yani akma veya LÜDERS bantları oluşabilir. Yüzey görünümünü bozan bu olay, başta azot olmak üzere çözünmüş atomların dislokasyonlarla etkileşiminden ileri gelir (bk.3.1.7.4 ve 4.4.5). Oysa tavlanmış saçlarda önceden yapılacak çok hafif bir soğuk haddeleme (şekil değiştirme oranı yaklaşık %2) ile, söz konusu akma sınırı geride bırakılırken yüzey de düzgünleştirilmiş olur. Temper haddelemesi diye anılan bu işlemi görmüş kaynar çelikten saçlar, şekil değişimi yaşlanması ugramadan imalata alınmalıdır. Aksi halde, yani depolamada belirli bir süre asılırsa, daha sonra örneğin derin çekme sırasında belirgin akma ve bununla ilişkili LÜDERS bantları gene ortaya çıkar*.

İnce saçlar genellikle eritme ve direnç kaynağına uygun durlar. Ancak kalınlığı 1 mm'yi geçmeyen saçların oksı-asetilen kaynağı gibi ilâve malzeme gerektirmeyen uygulamalarda, çelikteki kalıntıların miktar ve türü özenle kontrol edilmeli dir. Kalıntılar eriyikte viskozite artışı ve köpürme eğilimi yaratarak, kaynak metalinin çok gözenekli olmasına yol açabilir.

DIN 1623 Blatt 1 de yumuşak çeliklerden ince saçlar, örneğin RRSt 14 05 m; DIN 1623 Blatt 2'de ise genel yapı çeliklerinden ince saçlar, örneğin St 52-3 03 tanımlanmışlardır. İkinci gruptaki saçlar öncelikle çekme dayanımı ve akma sınırı değerleri dikkate alınarak kullanılırlar.

Alaşimsız yumuşak çeliklerden soğuk haddelenmiş seritlerde de (DIN 1624)**, şekilendirme ve yüzey işlemleri yapılabilir. Bunlar belirli boylarda kesilmiş olarak veya rulo biçiminde piyasaya sunulurlar.



a: Temper haddelemesi ile akma sınırının geride bırakılması.

b: Temper haddelemesinden sonra gelişen yaşlanma süresi aşılmadan şekil verme veya özel durgunlaştırılmış (yaşlanmaz) çelik kullanma

c: Çelik yaşlandıktan sonra şekil verme

**) Bu konudaki Türk Standardı: TS 924-Çelik seritler(soğuk haddelenmiş)

4.8.2.3. Yüksek Dayanımlı Yapı Çelikleri

Çeliklerde dayanım artırma olanakları kısmen iç yapıya bağlıdır. İç yapıları bakımından çelikler şu grplara ayrılır:

- ferritik (yüksek alaşımı)
- ferritik-perlitik (alaşimsız-alaşımı)
- martenzitik (alaşımı, ıslah çeliği)
- ostenitik (yüksek alaşımı)

Tek fazlı ferritik ve ostenitik çelikler faz dönüşümleri ile sertleştirilemezler. Bunlara ancak uygun alaşım elementlerinin katılması ile çökelme sertleşmesi uygulanabilir.

Konstrüksiyonlarda yüksek dayanımlı çeliklerin anlamlı kullanılması aşağıdaki noktaların göz önünde tutulmasını gerektirir:

- Boyutların sadece çekme gerilmelerine göre belirlenmesi yeterli olmalıdır. Bunun aksine levhaların ve diğer elemanların (boyuna ve yanal) burkulmasına yol açabilecek koşullar ağırlık taşıyorsa, narin parçaların kararlılığını etkileyen malzeme özelliği olarak elastiklik modülü bütün çelik türlerinde yaklaşık aynı olduğu için, yüksek dayanımlı malzelerin kullanılması yarar sağlamaz.
- Yüksek dayanımlı malzeme seçerek et kalınlığının azaltılmasında paslanmadan gelebilecek bir sınırlama vardır. Bu bakımından atmosfer etkisine dayanıklı yapı çeliklerinin kullanılması önem kazanır.
- Statik dayanımın yükselişi yorulma dayanımını aynı oranda olmamak üzere bir ölçüde artırmakla birlikte, çentik duyarlığını da fazlalaştırır (bk.3.2.3.5). Bu olgu, özellikle çentikli parçaların küçük ortalama gerilmelerle zorlanma durumlarında, yorulma davranışını iyileştirmek için yüksek dayanımlı çeliklerin seçilmesini gereksiz kılar. Ancak böyle bir seçimle, Wöhler eğrisinde kısa ömürlü bölgeye (bk.3.2.1.2) girişin yanı plastik şekil değişimlerinin daha büyük gerilme genliklerine ötelenmesinden ve yorulma dayanımı diyagramlarının (bk. 3.2.3.1) daha büyük ortalama gerilmelere doğru uzamasından yararlanmak mümkün olur.
- Yüksek dayanımlı çeliklerde süneklik genellikle düşer; yani gevrek kırılma eğilimi artar. Tasarım ve imalatı çok özenli yapılan konstrüksiyonlarda dahi bu tür hasar olasılığı gözden uzak tutulmamalıdır.

4.8.2.3.1. Dayanım Artırma Yöntemleri

Metal malzemelerde dayanım artırma yöntemlerinin temeli dislokasyon hareketlerinin engellenmesidir. Böylece, dislokasyonlar ancak daha fazla gerilme uygulandığında hareket edebileceklerinden, en başta akma sınırı yükselir.

Katı çözelti sertleşmesi (Engel: yabancı atomlar) demir esaslı malzemeler için sağlayabileceği dayanım kazancı dikkate

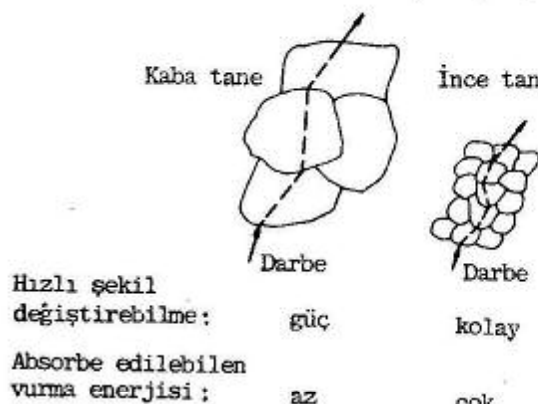
alındığında, çoğunlukla ekonomik olmayan bir yöntemdir. Soğuk pekleşmede ise (Engel: diğer dislokasyonlar) tokluk büyük oranda azalır. Parçacık (dağılım) sertleşmesinde (Engel: parçacıklar ve kümelenmeler) dayanımın yükselişi tokluğun kuvvetle düşmesine yol açabilir. Örneğin basit ve etkin bir yöntem olarak karbon miktarının ve dolayısıyla gevrek sementit fazının artırılması, yüksek dayanımlı yapı çeliklerinde aranan kaynağa elverişlilik ve gevrek kırılmaya duyarlılık gibi özellikleri ortadan kaldırır. Bu çeliklerin gevrek kırılmaya karşı güvenlik açısından yeterli sünekliğe sahip olmaları gereklidir.

Çelikler için yaygın bir yöntem olan martenzitik dönüşüm yoluyla sertleştirme (Engel: zorunlu çözünmüş atomlardan gelen kafes gerilmeleri ve dislokasyonlar) sonucu, az karbonlu çeliklerde yüksek dayanım ve süneklik birlikte elde edilir. Suda suverilmiş, düşük alaşımı bu tür ($C < 0,2\%$) çelikler son yıllarda kullanılmaya başlanmıştır. Akma sınırları 500 N/mm^2 'nin üzerinde olduğundan teknik açıdan giderek önem kazanmaktadır (bk. 4.8.2.3.3).

İnce taneli çeliklerde de bir yandan tane sınırı sertleşmesi (Engel: büyük açılı tane sınırları) görülürken, öte yandan herhangi bir zorlamada kayma sistemleri çalışabilecek uygun konumlu tanelerin bulunma olasılığı artarak, şekil değişiminin yayılması kolaylaşır. Bu iki özelliğin bileşkesi olarak ortaya çıkan yüksek tokluk öncelikle darbeli işletmelerde malzemeye üstünlük sağlar (Şekil 4.79). Hem etkin hem de ekonomik bir yöntem olan tane kücültmenin yanında, genellikle diğer dayanım artırıcı mekanizmalara da başvurulur.

İki tür ince taneli yapı çeşidi vardır.

- normalleştirilmiş ($R_{eH} \leq 500 \text{ N/mm}^2$), içyapı ferritik-perlitik,
- ıslah edilmiş ($R_{eH} > 500 \text{ N/mm}^2$), içyapı temperlenmiş martenzit.



Şekil 4.79. Kaba ve ince taneli malzemelerin darbeli zorlama durumunda davranışları (sematik)

Çeliklerin dayanımlarının artırılmasında çökelme sertleşmesinden yararlanılabileceği son zamanlarda anlaşılmış ve uygulama aşamasına geçilmiştir. Bunun için homojen (tek fazlı)

ostenit, ferrit, martenzit gibi içyapılardan karbürler veya diğer ara bileşikler özel işlemle çökeltilir. Varılan sonuç üzerinde çökeltilerin türü (bağdaşık veya değil), dağılımı, miktarı, ortalama çap ve uzaklığı etkili olur. Bu şekilde dayanımı artırılmış çeliklerin akma sınırı

$$R_{eH} \approx \text{sabit} \times \frac{G}{\lambda}$$

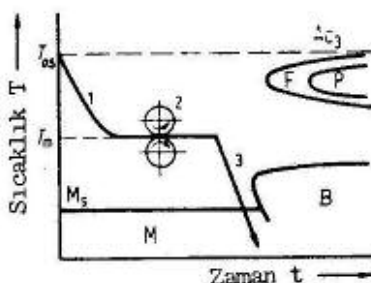
bağıntısıyla verilebilir. Burada G =kayma modülü, λ =çökeltiler arası ortalama uzaklığıdır (bk. 1.7.3.2). Parçacıklar arası uzaklığın en uygun değeri $\lambda=5 \text{ nm}$ düzeyindedir.

Çökelme sertleşmesi,

- PAÇ (Alm.PRS veya PAS= perlit reduzierte veya perlitarne Staehle=perliti azaltılmış çelikler) ile,
- Maryaşlandırma (İng.Maraging=Martensite+aging=Märtenzit+yaşlandırma) çeliklerinde önemli rol oynar.

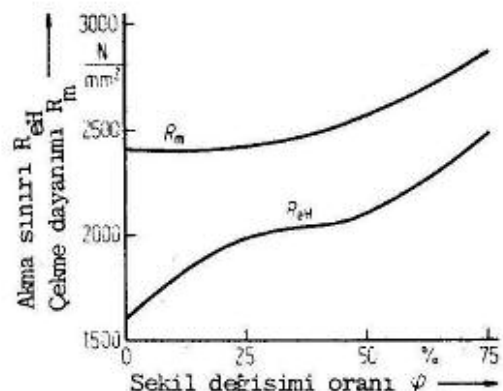
Çok yüksek dayanıma erişmek üzere özel çeliklere uygulanan bir diğer yöntem de ossekillendirme (İng.Ausforming=Austenite+Forming=Ostenit+Şekillendirme)dir.

Bu amaca uygun çeliğin ZSD-diyagramında, ostenit dönüsümünün perlit ve beynit kademeleri arasında belirgin olarak geciği bir bölge bulunmalıdır (Şekil 4.80). Ostenitleme sıcaklığından (T_{os}) soğutulan malzeme, dönüşümün geciği bölgede sabit sıcaklıkta (T_m) şekillendirildikten sonra ikinçi bir soğutma ile martenzite dönüştürülür. Kararsız ostenite şekil verme sırasında yaratılan dislokasyonların korunması için, işlem "yeniden kristalleşme sıcaklığının" altında yapılmalıdır ($T_m < T_{yk}$). Dayanım artışı, martenzitik yapıya ek olarak şekillendirmeden kalan dislokasyonların yoğunluğuna bağlıdır. Yöntemin etkinliği Şekil 4.81'de bir ıslah çeliği için gösterilmiştir.



Şekil 4.80. Ossekillendirmenin ZSD-diyagramında şematik gösterilişi
 1. T_{os} 'dan T_m 'ye soğutma
 2. Kararsız ostenit alanında şekil lendirme
 3. Ostenitin martenzite dönüştürülmesi

Tane küçültme, martenzit oluşturma ve çökeltme yoluyla sertleştirmenin ossekillendirmeyle birlikte gerçekleştirilmesi sonucu çok yüksek dayanımlı malzemeler elde edilmektedir. Martenzitik yapıda çökelme sertleşmesine örnek olarak Ni-Co-Mo maryaşlandırma çelikleri, $C\approx 0,05$ gibi düşük karbon miktarlarına rağmen 3000 N/mm^2 'ye ulaşan akma dayanımı değerlerine sahiptirler. Ayrıca üstün kırılma tokluğu da (bk. Çizelge 3.2) gösteren bu çelikler, çok temiz* olarak üretilmeleri

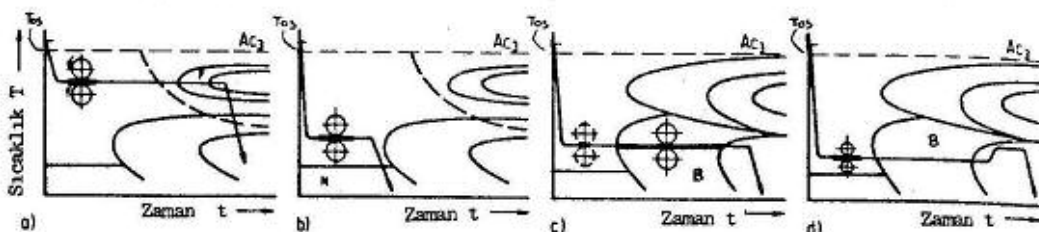


Şekil 4.81. Yüksek dayanımlı bir çeliğin (%5 Cr-Mo-V-türü) çekme dayanımı ve akma sınırına kararsız ostenit alanında şekil değişiminin etkisi (GERBERICH'e göre)

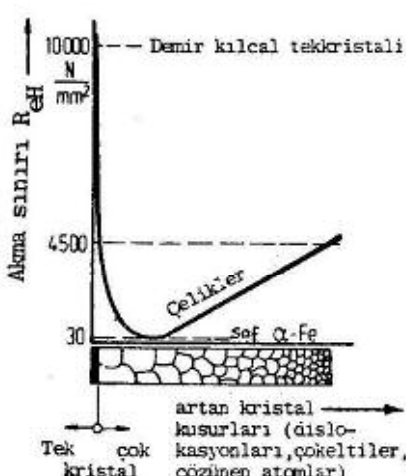
*) Önce "vakum induksiyon" ve daha sonra özellikle pota vb. den gelebilecek dış kaynaklı kalıntıların önlenmesi için "vakum ark" yeniden eritme yöntemiyle arıtılıp (bk. 4.3.2.5), su soğutmalı bakır kalıpta katılaştırılmış.

nedeniyle pahalı olduklarından günümüzde çoğunlukla savunma sanayinde kullanılmaktadır.

Osşekillendirme bir tür termomekanik işlemidir. Dönüşüm veya çökelme olaylarından önce, olay sırasında, ya da sonra yapılan soğuk veya sıcak şekil verme işlemleri ile çeliklerin mekanik özellikleri büyük ölçüde etkilenebilir. Böylece tokluğu düşürmeden akma sınırının yükseltilmesi mümkün olur. Yaratılan kristal kusurlarıyla dayanımın artırılması yanında, yeniden kristalleşme ve çökelme davranışlarının değiştirilmesi de söz konusudur. Örneğin soğuk şekillendirme ile çökelme kolaylaşır, parçacıklar küçülür (gerilme güdümlü çökelme). Dolayısıyla çökeltilerin dayanımı artırıcı etkisi de belirgin olarak kuvvetlenir. Bu nedenle en uygun özelliklerin elde edilebilmesi, termomekanik işlemlerin malzemeye göre düzenlenip iyi kontrol edilmesine bağlıdır. Şekil 4.82 de bazı termomekanik işlemler ZSD-diyagramları yardımıyla şematik olarak belirtilmiştir.



Şekil 4.82. Bazı termomekanik işlemlerin ZSD-diyagramında şematik gösterilişi



Şekil 4.83. α -demiri kristal yapısındaki kusurların akma sınırına etkisi (şematik)

Şekil 4.83 kristal kusurlarının akma sınırına etkisini göstermektedir. En yüksek dayanıma erişmek için, kristal yapının ya ideale yakın olması (demir kılcal tekkristalli) veya pek çok sayıda dislokasyon engeli içermesi zorunludur. İkinci durumda, yani pratikteki çelikler için bilinen yöntemlerle, akma sınırı $4000 \pm 4500 \text{ N/mm}^2$ değerinin üzerine çıkarılamaz. Ancak kılcal tekkristaller (whisker) ekonomik olarak üretilip, bunlara bir ana kütleyi kuvvetlendirici lif işlevi gördürülse, teknik açıdan ilginç ve daha yüksek dayanıma ulaşabilen karma (kompozit) malzemeler elde edilir.

4.8.2.3.2. Yüksek Dayanımlı İslah Edilmemiş İnce Taneli Yapı Çelikleri

Yüksek dayanımlı çeliklerin geliştirilmesine ilk aşamada sadece alaşımlamaya (öncelikle mangan, nikel, krom) başlanmıştır. Böylece katı çözelti sertleşmesi, bazi sert içyapı bileşenlerinin (beynit) ortaya çıkması ve ostenit dönüşümünün daha düşük sıcaklıklara ötelenmesi sonucu

dayanım artışları sağlanmakla birlikte; bu yöntemin sakınçaları ve çeliğin özellikle kaynağa elverişlilik niteliğini kaybetme nedeni kısa zamanda anlaşılmıştır: Alaşım elementi miktarı artık kritik soğuma hızı azaldığından, kaynak sırasında martenzit oluşur ve bu fazın karbon derişikliğine bağlı olan gevreklik durumuna göre çatlama meydana gelebilir.

Burada ele alınan ıslah edilmemiş ince taneli yapı çelikleri özel durgun olarak dökülür ve genellikle çok az miktarda alaşım elementi içerdiklerinden mikro alaşımı çelikler diye de anılırlar. Özellikleri Stahl-Eisen-Werkstoffblatt 089-70 de (Çizelge 4.13), görebilecekleri işlemlerle ilgili kurallar ise Stahl-Eisen-Werkstoffblatt 088-69'da verilmişdir.

Çizelge 4.13 - Stahl-Eisen-Werkstoffblatt 089-70'e göre yüksek dayanımlı çelikler ve +20°C'da garanti edilen mekanik özellikleri

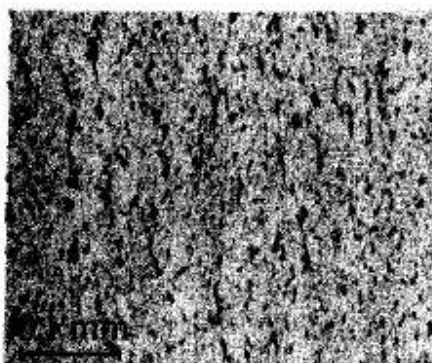
Çelik türü			Mekanik Özellikler											
Temel Seri	Yüksek sıcaklık dayanımlı seri	Soğukta tok ve yaşlanmasının az olan seri	Çekme dayanımı kalınlıklar(mm)				Akma sınırı Kalinlıklar(mm)					Kopma uzama- ması (L ₀ = 5 de)		
İşaret	İşaret	İşaret	≤70	>70	>85	≤85	≤16	>16	>35	>50	>60	>70	>85	≤100
Kaliteli çelikler														
StE 26	WStE 26	TTStE 26	360...480	350...470	340...460	255	275	235	225	215	215	215	215	25
StE 29	WStE 29	TTStE 29	390...510	380...500	370...490	285	275	265	255	245	245	245	245	24
StE 32	WStE 32	TTStE 32	440...560	430...550	420...540	315	305	295	285	275	275	275	275	23
StE 36	WStE 36	TTStE 36	490...630	480...620	470...610	355	345	335	325	315	315	315	315	22
Asal çelikler														
StE 39	WStE 39	TTStE 39	500...630	490...640	480...630	380	375	365	355	345	335	325	325	20
StE 43	WStE 43	TTStE 43	530...680	520...670	510...660	420	410	400	390	380	375	365	365	19
StE 47	WStE 47	TTStE 47	560...730	550...715	540...700	460	450	440	430	420	410	400	400	17
StE 51	WStE 51	TTStE 51	610...770	600...760	590...750	500	480	470	460	450	440	430	430	16

Vanadyum, niyobyum vb. alaşım elementleri çeliğin sıcak haddelenme ve soğutulması sırasında ince dağılımlı, 1000°C'ın üzerinde çözünen, çoğunlukla nitrür ve karbür olan çökeltiler oluşturur. Bu yolla dayanım arttığı gibi, ostenit ve buna bağlı ferrit tane büyümesi de engellenir. Böylece küçük taneli olarak üretilen çelikler, bu özelliklerini kaynak işlemi etkisiyle de kaybetmezler. Gevrek kırılmaya duyarsız, geçiş sıcaklıkları çok düşük, karbon derişiklikleri de en çok $\approx 0,2$ olduğundan kaynağa uygun malzemelerdir. Ayrıca küçük ostenit tanelerinin kolayca perlite dönüşmesiyle martenzit oluşumu güçleşir. Sertleşme kabiliyetinin bu şekilde azalması da ince taneli çeliklerin kaynağa uygunluğunu olumlu yönde etkiler.

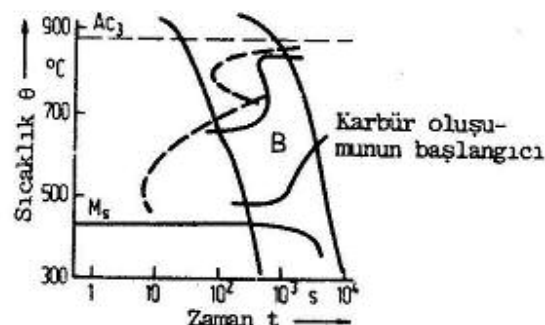
Söz konusu elementlerden örneğin niyob, titan ile termomekanik işlemler yardımıyla çok ince taneli ferrit içinde çökeltiler elde edilerek, düşük karbon miktarına ($C < 0,1$) rağmen akma sınırı yaklaşık 500 N/mm^2 'ye yükseltilebilir. Bu tür

perliti azaltılmış çelikler kaynağı olağanüstü elverişli olup, yüksek dayanımlı yapı çeliklerinin gelişmesinde önemli bir aşama olarak kabul edilmektedirler. Ancak diğer çeliklere göre daha alçak sıcaklıklarda büyük şekil değiştirme oranları ile haddelenmeleri gerektiği ve içerdikleri çökeltiler de yeniden kristalleşmelerini yavaşlattığı için (bk. 1.4.2), günümüzde alışılmış hadde tezgâhlarıyla söz konusu malzemelerden üretilen levhaların kalınlığı yaklaşık 16 mm'yi aşamamaktadır. Şekil 4.83'te perliti azaltılmış bir çeliğin iç yapısı gösterilmiştir.

Çeliğe pek az miktarda bor katılmasıyla ($\approx 0,002$) ötektoid öncesi ferrit ayrışmasının gecikmesinden ötürü (Şekil 4.85), geniş bir soğuma hızı aralığında pratik ölçüde saf ve ince taneli beynitik iç yapıyla ulaşılabilir (bk. 4.5.4.3 ve 4.6.4). Böylece tokluğu çok iyi olan yüksek dayanımlı yapı çelikleri bir başka yolla elde edilmiş olur.



Şekil 4.84. Perliti azaltılmış bir çeliğin (PAS 50) iç yapısı ($C=0,09$ ve $Nb=0,05$)



Şekil 4.85. Az karbonlu 0,5 Mo-B-çeliğinin sürekli soğuma ZSD-diyagramı

4.8.2.3. Yüksek Dayanımlı Islah Edilmiş İnce Taneli Çelikler

Çeliğin kaynağına elverişli olma niteliğini önemli bir kayba uğratmadan, dayanımını yeterli ölçüde yükseltme yollarından biri de az karbonlu martenzit oluşturmaktır. Az karbonlu çeliklerde M_s -sıcaklığı yüksek (yaklaşık 400°C) olduğundan, meydana gelen martenzit yavaş soğutulursa "kendiliğinden temperlenir". Bu şekilde "islah" edilen iç yapında akma sınırını artıran ince dağılmış karbür çökeltileri bulunur ve çatlamaya yol açabilen dönüşüm gerilmeleri azalır. Böylece dayanım değerleri ile birlikte, çeliğin gevrek kırılmaya duyarsızlığı da ferritik-perlitik ve hatta homojen beynitik iç yapıyla göre artar (çelik iç yapıları arasında temperlenmiş martenzit en alçak geçiş sıcaklığına sahiptir).

Öte yandan yarı mamul kalınlığına bağlı olmaksızın istenilen mekanik özelliklere ulaşabilmek amacıyla:

- Kritik soğuma hızı alaşımlama ile, suda suverilmiş kalın saçlar için tüm kesitte martenzit oluşumunu sağlayacak kadar düşürülür.

- Ancak alaşım elementi miktarı, M_s -sıcaklığını çok alçaltarak kendiliğinden temperlenmeyi ortadan kaldıracak ölçüye varmamalıdır.

- Kaynağa elverişli bu çelikler için temper kararlılığı mümkün olduğu kadar fazla olmalıdır. Aksi halde kaynak sırasında ana malzemenin temperleme sıcaklığını aşan bölgelerinde istenmeyen sertlik düşüleri görülür.

Yukarıdaki noktalar dikkate alındığında alaşımlama için kullanılan elementler, uygunluk bakımından aşağıdaki gibi sıralanabilir:

Krom-Mangan-Nikel-Molibden-Kobalt

Bu gruba giren çeliklerin metalurjik özellikleri kaynak sırasında bir sıra önlemin alınmasını gerektirir:

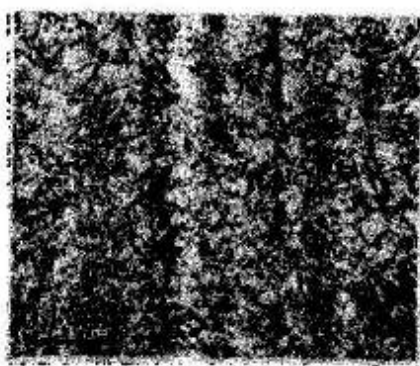
- Döküm içyapılı kaynak metaliin haddelemīş ve islah edilmiş ana malzeme ile aynı özelliklerde olması istediği, teknik ve ekonomik nedenlerle kaynak sonrasında parça yeniden islah da edilmediği için, kaynak ilâve malzemesinin seçimi çok önemlidir.

- Kaynak sırasında verilen ısı, ana malzemenin islah edilmiş içyapısını fazla değiştirmeyecek şekilde sınırlanmalıdır. İsim Etkilenen Bölgede (ISEB) ostenitlenen kısımlar tekrar martenzite veya martenzit ile beynite dönüşmelidirler.

- Hidrojen gevrekleşmesi (gecikmeli çatlak, bk.4.4.6) tehlike-sine karşı, kaynaklanacak parçalara hemen her zaman bir ön ısıtma (150°C ilâ 200°C) uygulanır. Böylece yapıda kalan hidrojen miktarı azalır; dikiş bölgesindeki iç gerilmelerin dağılımı da düzgünleşir.

Sonuç olarak, bu çeliklerle gerçekleştirilecek konstrüksiyonların tasarım ve imalinde, normal dayanımlı yapı çeliklerine göre daha dikkatli davranışılması zorunludur.

Sekil 4.86'da ince taneli islah edilmiş bir yapı çeliğinin karakteristik mikro'yapısı görülmektedir*.



Sekil 4.86.Düşük alaşımı, az karbonlu islah edilmiş bir yapı çeliğinin iç yapısı
(Ni-Cr-Mo-B türü, $C \approx 0,17$ ve
 $R_{\text{eH}} \approx 900 \text{ N/mm}^2$)

*Az karbonlu çeliklere $\alpha + \gamma$ alanından suverilerek, iç yapının ferrit ve yüksek karbonlu martenzitten oluşturulması da giderek önem kazanmaktadır (çift fazlı çelikler).

4.8.3. Islah Çelikleri

Yukarıda açıklanan kaynağa elverişli yani az karbonlu türlerden farklı olarak, bu bölümde ele alınacak alaşimsız ve alaşimli islah çeliklerinin karbon derişikliği %0,2 ile %0,65 arasındadır. Söz konusu çeliklere değişik kimyasal bileşim ve islah işlemi (bk.4.5.7.1) yardımıyla, kullanım yerinin gerektirdiği çeşitli dayanım ve topluk özelliklerini kazandırılır. Çokunlukla yüksek dinamik zorlamalar altında çalışan parçalar için kullanılırlar: örneğin miller, akslar, pernolar, muylular, dişli çarklar, merdaneler gibi.

Kalıntıların çentik etkisini azaltmak üzere metalurjik bakımından temiz, ıslıl işlem sıcaklıklarını dar aralıklı verebilmek için de kimyasal bileşim toleranslarının küçük olması istenen islah çelikleri, kaliteli veya asal çelik olarak üretirler. Asal çelikler iç yapısı homojenliği, metal olmayan kalıntıların azlığı ve yüzey durumu bakımından kaliteli çeliklerden üstünürler. Ayrıca daha az fosfor ve kükürt içerirler (her biri < %0,035).

DIN 17200'de* standartlaştırılmış olan islah çeliklerinin kullanımı için yönlendirici bilgiler "Çizelge 4.14'te, ıslah edilmiş parça çapına göre akma sınırı minimum değerleri ise Çizelge 4.15'te verilmiştir. Yaklaşık 350°C işletme sıcaklığına kadar yararlanılan bu malzemelerin sayıca çokluğu, aşağıdaki teknik ve ekonomik nedenlerden ileri gelir:

- Islah edilmiş makina parçalarından öncelikle, tüm kesitte homojen mekanik özelliklere sahip olmaları beklenir. Bunun için parçanın tüm kesitte su almış veya en azından "temperlenebilir" bir iç yapısı (bk.4.5.7.1) kavuşmuş olması gereklidir. Dolayısıyla parça kalınlığı arttıkça, daha fazla alaşimli çelik seçilerek kritik soğuma hızının düşürülmesi zorunludur.
- Dayanım ve topluk değerlerini optimize edebilmek için genellikle 500°C'ın üzerinde temperleme yapıldığından, temper kararlılığı zayıf olan alaşimsız islah çeliklerinde dayanım değerleri oldukça sınırlıdır. Bu açıdan ince etli parçalarda dahi yüksek akma sınırı, ancak temper kararlılığı gösteren yanı fazla yumuşamayan alaşimli çelikler ile elde edilir (bk.Çizelge 4.15).
- Karmaşık biçimli parçalar, suda suverilirken değişik bölgelerde ortaya çıkan büyük sıcaklık farklarından ötürü, çarpılma veya çatlamaya ugrayabilir. Hızlı soğutma zorunluluğunu ortadan kaldırmak üzere, bu tür makina elemanlarında et kalınlıkları az olsa bile, kritik soğuma hızları düşük olan (yağda sualabilen) alaşimli islah çeliklerinin kullanılması daha güvenlidir.

*) Bu konudaki Türk Standardı: TS 2525-Islah çelikleri

Çizelge 4.14-Bazı ıslah çeliklerinin ısıl işlem sıcaklıkları, mekanik özellikleri ve kullanım yerlerine ait örmekler (DIN 17200'e göre)

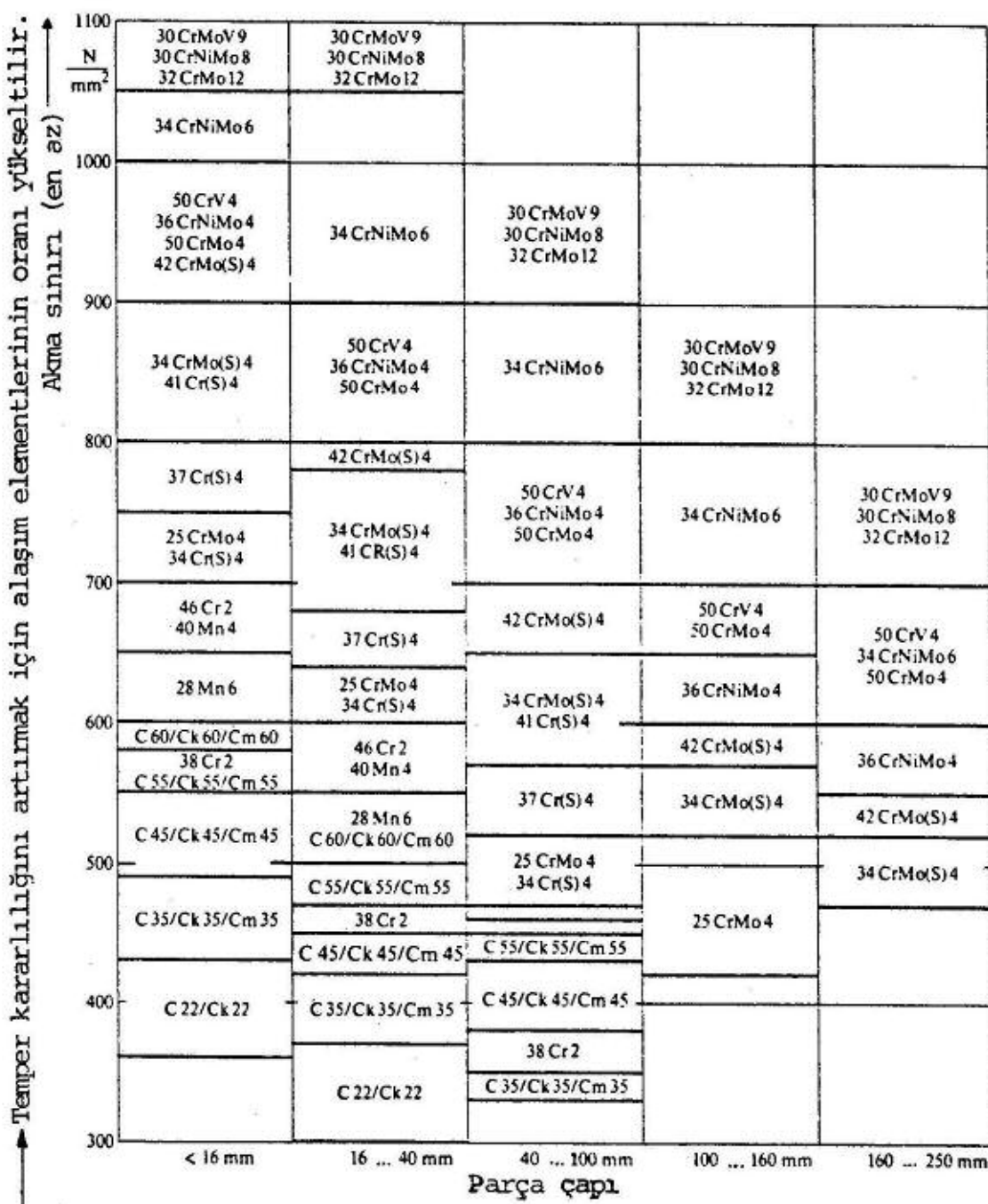
İşaret	Isıl işlem				Mekanik özellikler				Kullanım
	Yumuşatma °C	Normalleştirme °C	Islah Yağda su ver. °C	Temperleme °C	Tavlanmış HB	ıslah edilmiş R_{eH}^*	R_m	A_s %	
C 22		880-910	870-900		156	300- 360	500- 700	22-20	Miller tahrik çubukları, presleme matrisleri
C 45	650-700	840-870	830-860	650-700	207	380- 490	630- 860	17-14	Basmaya zorlanan parçalar, krank milleri (yüzeyler sertleştirilir)
28 Mn 6	670-700	850-880	830-860		223	450- 600	650- 950	16-13	Krank muyluları, dişli çarkları, miller
46 Cr 2	650-700	840-870	820-850	550-660	207	450- 650	700-1100	15-12	Mekanizma kolları, miller dişli çarklar, cıvatalar, pernolar
37 Cr(S) 4		845-885	835-865		217	520- 750	750-1150	14-11	Miller, dişli çarklar, pernolar, otomatta işlenen parçalar
25 CrMo 4	680-720	360-900	850-880		212	420- 700	650-1100	16-12	Emme supapları, miller, kaynaklı parçalar
32 CrMo 12		880-920	860-900	540-680	248	900-1050	1100-1450	10- 9	Direksiyon sistemlerindeki kollar, yay kelepçeleri (yüzeyler sertleştirilir)
34 CrNiMo 6					235	800-1000	1000-1400	11- 9	Taşıt ve makinalarda çok zorlanan parçalar, örneğin rotorlar, türbin tamburları, vidalı miller
30 CrNiMo 8	650-700	850-880	830-860		248	900-1050	1100-1450	10- 9	

*bk. Çizelge 4.15

- Islah çeliklerinde合金 elementi karbürlerinin ostenitleme sırasında çözünmesi, takım çeliklerindeki kadar yavaş değildir. Dölayısıyla aşırı ısınma halinde tane irileşmesine eğilimli olan bu çeliklerin suverme sıcaklığı dar bir aralıkta tutulmalıdır. Bu olgu ısıl işlemi teknik ve ekonomik bakımından güçlestirir. Ancak çeliğe katılan vanadyum (örneğin 30 CrMoV 9, 50 CrV 4) tane irileşmesi, molibden de (örneğin 30 CrNiMo 8) temper gevrekliği olasılığını azaltır.

Islah çelikleri çoğunlukla yumusatılmış veya normalleştirilmiş durumda piyasaya sunulduğundan, tasarımcının seçtiği özellikleri sağlayacak ıslah işlemi, ilgili diyagramlardan yararlanarak imalatçı tarafından gerçekleştirilir. Ayrıca alev, induksiyon ve nitrürasyonla yüzey sertleştirme yapılabilir.

Çizelge 4.15-İslah edilmiş durumda çeliklerin akma sınırı minimum değerlerinin parça çapına bağlı olarak değişimi (DIN 17200'e göre)



Kritik soğuma hızını azaltmak için合金 elementlerin oranı yükselttilir.

Görüldüğü gibi çeşitli kullanım alanları ve metalurjik özelliklere ilişkin bekentiler, çok sayıda ıslah çeliğinin geliştirilmesini zorunlu kılmış ve böylece aşağıdaki alt gruplar ortaya çıkmıştır:

- *Alaşimsız çelikler*: sertleşme derinliği, dayanım ve topluk değerleri oldukça düşük, örneğin C 22, C 35, C 45.

- *Mangan çelikleri*: sertleşme derinliği biraz artırılmış, örneğin 28 Mn 6, 40 Mn 4.

- *Krom çelikleri*: mangan çeliklerine göre topluk daha yüksek, örneğin 48 Cr 2, 37 Cr(S) 4.

- *Krom-molibden ve krom-nikel-molibden çelikleri*: Yüksek çekme dayanımları yanında topluk özellikleri de iyi, örneğin 25 CrMo 4, 32 CrMo12, 50 CrMo 4, 34 CrNiMo 6, 30 CrNiMo 8.

4.8.4. Yüksek Sıcaklık Çelikleri

Yüksek işletme sıcaklıklarını için öngörülen, özellikle sürünme ve tufallanma eğilimleri azaltılmış çeliklerdir. Söz konusu sıcaklıkta kısa süreli çekme veya çoğu kez sürünme değerlerine göre seçilenler yüksek sıcaklık dayanımı, tufallanma vb. kimyasal etkilere daha fazla direnç gösterenler ise ısiya dayanıklı çelikler diye adlandırılabilir. Ayrıca bu çeliklerde teknolojik açıdan, soğuk şekillendirilmeye ve kaynağa elverişliliğin de yeterli düzeyde olması istenir.

İsiya dayanıklılığının sağlanması, oluşturdukları ince ve yoğun oksit tabakası yüzeye kuvvetle bağlanan Cr, Al, Si合金 elementleri önemli rol oynar.

Yüksek sıcaklık dayanımının iyileştirilmesinde ise, en başta sürünme hızını azaltan veya ölçülebilir sürünme başlangıcını daha üst sıcaklıklara öteleyen su olaylardan yararlanılır:

- Katı çözeltideki bazı合金 elementleri atom hareketlerini yavaşlatarak yeniden kristalleşme olaylarını engeller veya geciktirir (molibden veya kobalt katılması).

- Karbür ve nitrürler gibi kimyasal ve ısil kararlı ara bileşiklerin ince dağılmış çökeltileri sürünme olaylarını gerçekleştiren dislokasyon mekanizmalarını (tırmanma, çapraz kayma) büyük ölçüde durdurur (krom, molibden, vanadyum, volfram, titan katılması).

- *Ymk kafeste* atomların hareketliliği *hmk kafestekine* göre çok azdır (*İçyapının ostenitik olması*).

İşletme sıcaklığı arttıkça çelikler gibi yarı kararlı malzemelerde içyapının denge durumuna yaklaşması ve dolayısıyla başlangıç özelliklerinden zamanla az veya çok uzaklaşma

söz konusudur. Buna göre martenzitik çelikler ancak temperlenmeleri sıcaklığı kadar kullanılabılır.

En az özellik değişimi perlit küküreleştirilmiş (bk.yumuşatma tava 4.5.3.2) ferritik-perlitik çeliklerde görülür.

Bu bilgilerin ışığında, çökelleme sertleşmesi uygulanmış yüksek sıcaklık çeliklerinin davranışlarını sürdürmeleri de çökeltilerin ısıl ve kimyasal kararlılığına bağlıdır.

Çizelge 4.16-Yüksek sıcaklık dayanımlı çelikler

İşaret	Oda sıcaklığındaki mekanik özellikler		
	Akma sınırı N/mm ²	Çekme dayanımı N/mm ²	Kopma uzaması %
DIN 17155 (Kazan Saçları için)			
H I	225	340...440	
H II	255	400...490	
H III	275	430...520	
H IV	285	460...550	
17 Mn 4	285	460...550	= $\frac{10\ 000}{\text{Çekme day.}}$
19 Mn 5	325	510...610	
13 CrMo 44	305	430...550	
DIN 17175 (Dikişsiz Borular için)			
St 35.8	235	340...440	25
St 45.8	255	440...540	21
15 Mo 3	285	440...540	22
13 CrMo 44	295	440...570	18
10 CrMo 9 10	265	440...590	20
DIN 17245 (Dökme Çelikler için)			
GS-C 25	245	440...590	22
GS-22 Mo 4	245	440...590	22
GS-20 MoV 53	295	490...690	18
GS-20 MoV 84	390	590...780	15
GS-22 CrMo 54	295	520...690	20
St-E-Lieferbedingungen 675 (Çelik X 20 CrMoV 12 1 ²) şartnameleri)	490	690...830	17
X 20 CrMoWV 12 1 ²)	490	690...830	17
X 8 CrNiNb 16 13 ³)	195	510...690	35
X 8 CrNiMoNb 16 13 ³)	195	530...690	35
X 8 CrNiMoVNb 16 13 ³)	255	540...740	30
Diğerleri			
14 MoV 63	365	490...690	>20
17 MoV 84	>590	670...830	>15
21 CrMoV 5 11	>540	740...880	>17
12 CrMo 19 5 ²)	>390	590...740	>20

1)En az 2) İçyapı : Perlitik(Martenzitik) 3) İçyapı : Ostenitik
Öteki tüm çeliklerde içyapı ferritik-perlitiktir.

Çizelge 4.16'da yüksek sıcaklık dayanımlı çeliklerden en önemlilerinin oda sıcaklığındaki mekanik özelliklerini verilmiştir. İçyapılarına ve önde gelen alaşım elementlerine göre bu çelikleri aşağıdaki gibi sınıflandırmak mümkündür:

- Alaşimsız ve az alaşımılu çelikler. Bunlar büyük ölçüde DIN 17155 (kazan saçları) ve DIN 17175 (yüksek sıcaklık dayanımlı

çeliklerden üretilmiş dikişsiz borular) standartlarında yer alan çeliklerdir. Alaşimsız türleri yaklaşık 350°C 'a (örneğin St 45.8), alaşımlıları ise 550°C 'a kadar (10 CrMo 9 10) kullanılabilir. İç yapı ferrit ile perlit veya ferrit ile beyitten meydana gelir.

- Yüksek alaşımı *ferritik krom çelikleri* ($\text{Cr} \geq 12\%$). İşletme sıcaklığı en fazla 600°C dolayında olan çeliklerdir. Krom ve karbon miktarına göre martenzitik (perlitik) duruma da dönüştürülebilir ana kütle içinde kararlı özel karbürler bulunur; örneğin X20 CrMoV 121, X20 CrMoWV 121.

- Yüksek alaşımı *ostenitik krom-nikel çelikleri*. Molibden, vanadyum, volfram ve niyob katkalarından ötürü kimyasal ve ısıl kararlı özel karbürler içerirler. Böylece yüksek sıcaklık dayanımlarında ek artış sağlanan ostenitik çeliklerden, öncelikle termik santrallarda 800°C yüzey sıcaklıklarına kadar yararlanılır.

Gaz türbini, tepkili uçak ve füze yapımıyla ilgili olarak, yüksek sıcaklık davranışının daha da iyi olması istenen parçalarda ise *süperalaşımlar* (bk. ayrıca 5.3.4) kullanılmaktadır. Bunlar nikel (%50-75) veya kobalt (% 50-60) esaslı, yeterli oksidasyon dayanıklılığı sağlamak üzere %15'ten fazla krom katılmış ostenitik malzemelerdir. Yüksek sıcaklık dayanımlarının üstünlüğü iç yapılarındaki karbür veya diğer ara bileşiklerin çok kararlı olmasından kaynaklanır. Çökelme sertleştirmesi uygulanan türlerinde optimum özelliklere erişebilmek için ısıl işlemin çok iyi kontrol edilmesi gereklidir.

Dağılım sertleşmesinin etkin olduğu malzemelerde parçacıklar yapay şekilde de üretilip (örneğin Al_2O_3 , SiO_2 , ZrO_2 , ThO_2) ana kütleye katılabılır. Böylece parçacık bileşimini, büyülüklüğünü ve dağılımını ideal duruma daha fazla yaklaşımak mümkün olur.

4.8.5. Soğukta Tok Çelikler

Soğutma sanayindeki tesislerin (örneğin gaz sıvılaştırma donanımları, boru hatları, pompalar, armatürler) ve soğuk sıvı taşıma kaplarının yapımı için *sıfırtı sıcaklıklarda* yeterli tokluğa sahip çelikler ile Ni, Ti, Cu gibi bazı demirdışı metallerin alaşımı kullanılır. Sıcaklığın düşmesi ile dayanım değerleri (akma sınırı, kopma dayanımı, E-modülü) artar; süneklik (kopma uzaması, kesit daralması) ve özellikle çentik vurma tokluğunu azaltır. Yapı elemanları düşük sıcaklıklarda pratik olarak sadece gevrek kırılma ile hasara uğradığından, malzeme seçiminde dayanım değerlerinden önce çentik vurma tokluğu göz önünde tutulur. Bu çeliklerin en önemlileri Stahl-Eisen-Werkstoffblatt 680-60'da verilmiştir.

Soğukta tok çelikler başlıca üç gruba ayrılabilir (Çizelge 4.17):

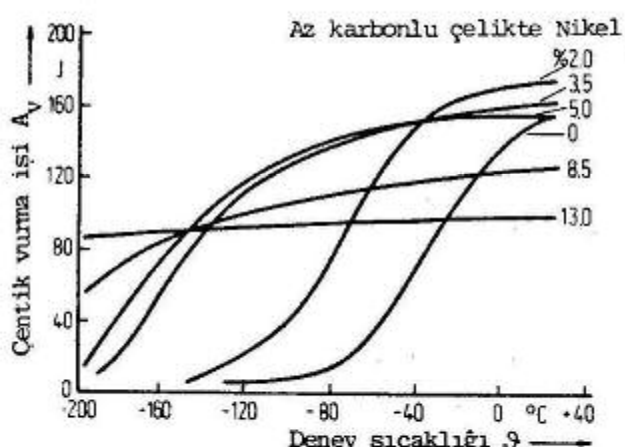
- Alaşimsız veya az alaşımı, düşük sıcaklık (TT) ve ince taneli (FK) yapı çelikleri. Bunlardan normalleştirilmiş durumda -50°C , ıslah edilmiş durumda da -80°C 'a kadar yararlanılır.

Çizelge 4.17-Soğukta tok çeliklerden en önemlilerinin teknik gazların sıvılaşma sıcaklıklarına göre kullanım alanları

Gaz	Sıvılaşma sıcaklığı °C	Kullanım sınır sıcaklığı °C	Çelik türü*	Akma sınırı R_{eH} N/mm ²	
Propan	- 42,1	- 50	TT-çelikleri (normalleştirilmiş) FK-çelikleri	210-260 290-460	TT-FK-çelikleri
Karbon-dioksit	- 78,5	- 60	FK-çelikleri (titanyumlu)	360-420	
Asetilen	- 83,6	- 80	TT-çelikleri (islah edilmiş)	240-290	nikelli islah çelikleri
Etan	- 88,6	- 100	33,5 Nikel çeliği 10Ni14 16Ni14 12Ni14	350 360	
Etilen	- 103,8	- 120	45,0 Nikel çeliği 12Ni19	450	ostenitik çelikler
Metan	- 161,4	- 196	49,0 Nikel çeliği X8Ni9	500	
Oksijen	- 182,97		MnCr-çelikleri X40MnCr22 X40MnCrN18 X12MnCr1811	320 300	ostenitik çelikler
Azot	- 195,8		X12CrNi189	220	
Hidrojen	- 252,8		CrNi-çelikleri X10CrNiTi1810 X10CrNiNb1810	250	
Helyum	- 268,9	- 253			

*TT:Tieftemperatur(düşük sıcaklık), FK:Feinkorn (ince tane)

- Nikelli (% 3,5 ile %9 Ni) islah çelikleri ise -80°C ile -200°C arası işletmede kullanılırlar. Sıfıraltı sıcaklıklarda tokluk özelliklerini iyileştirmek için nikel en etkin alaşım elementinden biridir (Şekil 4.87).



Şekil 4.87. Çentik vurma işinin sıcaklıkla değişimine nikel yüzdesinin etkisi, ISO-V deney parçaları (EBERT'e göre)

tenzit fazı çeliğin belirgin olarak gevrekleşmesine yol açar.

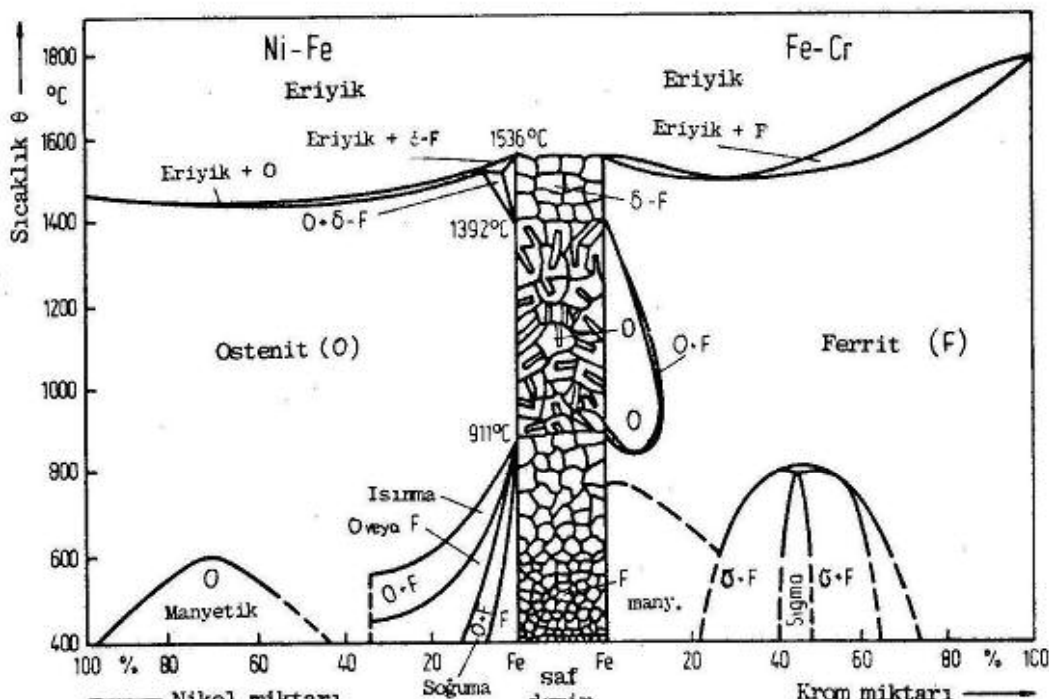
- Krom-nikel ostenitik çelikler mutlak sıfır noktasına yakın sıcaklıklarda dahi tokturlar. Ferritik çelikler için karakteristik olan geçiş sıcaklığında çentik vurma tokluğunun ani azalışı ostenitik çeliklerde görülmez. Burada önemli olan ostenitik içyapının düşük sıcaklıklarda kararlı kalması, yani herhangi bir plastik şekil değişimi sonucu kısmen de olsa martenzite dönüşmemesidir. Dolayısıyla işletme sırasında bu tür şekil değişimine kesinlikle izin verilmemelidir. Aksi halde oluşacak hmk martenzit fazi çeliğin belirgin olarak gevrekleşmesine yol açar.

4.8.6. Paslanmaz ve Aside Dayanıklı Çelikler

Normal alaşimsız ve az alaşimsız çelikler korozif etkilere dayanıklı değillerdir. Bileşimlerinde en az %12 krom bulunanlar ise yüzeylerine kuvvetle bağlanan yoğun, tok ve çok ince bir oksit tabakasından ötürü pasiflesir; yani indirgeyici olmayan ortamlarda korozyona karşı direnç kazanırlar. Ancak bu çeliklerde krom karbür oluşursa, veya γ kafesi içinde çözünmuş olan krom miktarı %12 lik sınırın altına düşebilir. Böylece korozyona dayanıklılık özelliği kaybolur. Dolayısıyla çelik bileşimindeki karbon derişikliği yükseltildikçe,

- krom miktarı artırılmalı veya
- karbür yapma eğilimi kromdan fazla olan belirli elementler katılarak krom karbürün meydana gelmesi engellenmelidir (bk. 4.8.6.2).

Paslanmaz çeliklerdeki başlıca合金 elementleri önem sırasına göre krom, nikel, molibden ve mangandır. Bunlardan öncelikle krom ve nikel iç yapının ferritik veya ostenitik olmasını belirlerler (bk. 4.6.1). Şekil 4.88'de Fe-Cr ve Fe-Ni sistemlerine ait faz diyagramları görülmektedir.



Şekil 4.88. Fe-Ni ve Fe-Cr faz diyagramları (ABORN'a göre)

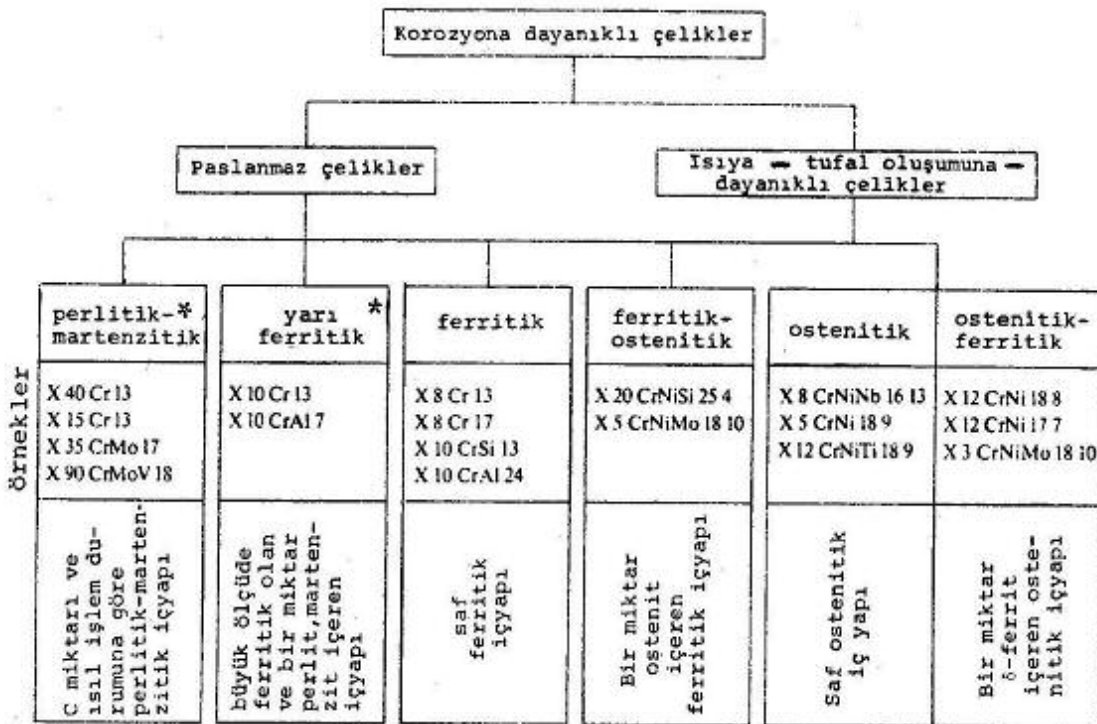
Çizelge 4.18'de korozyona dayanıklı çeliklerin sınıflandırılması, Çizelge 4.19'da ise seçilen bazı örneklerin özellikleri verilmiştir.

Söz konusu çeliklerden gökelme sertlestirmesi uygulanabilenler dışında kalan standart türlerin özellikleri iki genel

başlık altında incelenecektir:

- Ferritik Cr çelikleri (tam ferritik, yarı ferritik, perlitik martenzitik).
- Ostenitik Cr-Ni çelikleri (tam ostenitik, ostenitik-ferritik).

Çizelge 4.18 - Korozyona dayanıklı çeliklerin sınıflandırılması



*Perlit ve martenzit yüksek sıcaklıkta ostenite dönüşür; soğumada tersi.

Çizelge 4.19 - Korozyona dayanıklı bazı çeliklerin özellikleri

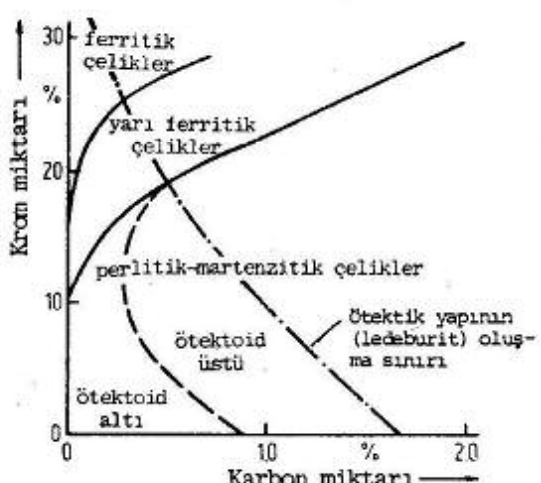
Çelik işareti	İsil işlem durumu	Akma sınırı N/mm ²	Çekme day. N/mm ²	Kaynağa uygunluk	içyapı ¹⁾
X15Cr13	ıslah	>500	>700	orta	M
X20CrMo13	ıslah	>550	>750	sınırlı	M
X90CrMoV18	ıslah	--	>750	uygun değil	P-M
X8Cr17	tavlanmış	>300	>450	iyi	F
X10CrAl24	tavlanmış	>300	>500	sınırlı	F
X10Cr13	tavlanmış	>300	>500	iyi	F-P
X12CrNi177	suverilmiş	>350	>700	çok iyi	O+F
X5CrNi189	suverilmiş	>220	>550	çok iyi	O
X10CrNiMoTi1820	suverilmiş	>250	>550	çok iyi	O+F

<sup>1) M=(temperlenmiş)martenzit O=ostenit
P=perlit F=ferrit</sup>

Ayrıntılı bilgi ve kesin değerler DIN 17440'dan alınabilir.

4.8.6.1. Ferritik Krom Çelikleri

Ferritik çelikler $\alpha \rightarrow \gamma$ dönüşümü göstermezler. Dolayısıyla iç yapı ve mekanik özelliklerini ıslık işlemlerle değiştiremezler. Ancak kuvvetli ostenit yapıcı olan karbon belirli bir miktara ulaşınca kromun ferrit yapıcı etkisi ortadan kalkar. Böylece yüksek sıcaklıkta oluşan ostenitin soğuma hızına bağlı dönüşüm ürününe göre perlitik veya genellikle havada sualan martenzitik paslanmaz krom çelikleri, örneğin bıçaklar için çok kullanılan X40 Cr 13 elde edilir. Öte yandan karbon oranı artırıldığı halde gene ferritik iç yapı isteniyorsa, krom yüzdesinin de yükseltilmesi gereklidir (Şekil 4.89). Sadece kısmi dönüşüm gösteren X10 Cr 13 vb. çelikler ise yarı ferritik olarak adlandırılır (bk. Çizelge 4.18).



Şekil 4.89. Krom çeliklerinde Cr ve C miktarının iç yapı oluşumuna etkisi (TOFAULTE'a göre).

Şı, uygun ıslık işlemler yardımıyla olumlu yönde etkilenebilir. Korozyona ve özellikle ısıya dayanıklılık krom miktarına paralel olarak artar. Ayrıca alüminyum ve silisyum da tufal oluşumunu azaltır.

Geçiş sıcaklığının (hmk kafes!) yüksekliğinden ötürü, çentik vurma toplukları oda sıcaklığında düşük olan ferritik çeliklerde, üst sıcaklıklara gidildikçe tutma süresine de bağlı olarak aşağıda açıklanan üç gevreklesme bölgesi görülür:

- 400°C ile 550°C arasında uzun süre kalmış veya yavaş soğutulmuş %15'ten fazla kromlu çeliklerde, gökeltimelerin yol açtığı ve 475°C gevreklesmesi diye anılan durumla karşılaşılır. Böyle bir çelik $650^{\circ}\text{C} - 750^{\circ}\text{C}$ düzeyine ısıtılp hızla soğutulursa, bu gökeltiler ve gevrekleştirici etkileri giderilmiş olur.
- 600°C ile 800°C arasında uzun süre tutma sonucu, yüksek kromlu ferritik ve bazı ostenitik çeliklerde, bileşimi yaklaşık %50 Cr - %50 Fe olan gevrek sigma arafazı oluşur. Bu fazın meydana gelişisi soğuk şekil değiştirmeye kolaylaşır; molibden,

Ferritik çeliklerin taneleriçi gerilme korozyonuna duyarlığı azdır. Ostenitik krom-nikel çeliklerine oranla kükürtlü gazlara karşı daha dirençlidirler. Temelde HNO_3 gibi oksitleyici asitlere ve genel korozyona dayanıklı olan bu çelikler noktasal, taneleriçi ve tanelerarası türden ayırmalı korozyona uğrayabilir. Söz konusu durum öncelikle iç yapı heterojenliklerinden (gökeltiler, plastik şekil değiştirilmiş bölgeler, mikro segregasyonlar, farklı iç yapı bileşenleri) kaynaklanır. Dolayısıyla korozyon davranışını, uygun ıslık işlemler yardımıyla olumlu yönde etkilenebilir.

Korozyona ve özellikle ısıya dayanıklılık krom miktarına paralel olarak artar. Ayrıca alüminyum ve silisyum da tufal oluşumunu azaltır.

silisyum, niyob, titan gibi elementlerin varlığıyla da krom oranının alt sınırına doğru ötelenir. Sigma fazı, çeliği 950°C in üzerinde tavlama ve bunu izleyen suverme ile yok edilebilir.

- 950°C 'in üzerinde ise belirgin tane irileşmesine ek olarak, özellikle tane sınırlarında krom karbür çökeltileri ortaya çıkar. Titan veya tantal/niyob elementlerinin (stabilizatörler) katılması krom karbür oluşumuyla birlikte, bir ölçüde tane irileşmesini de engeller. Öte yandan stabilize edilmemiş çeliklerin özellikle kaynak bağlantılarında $700^{\circ}\text{C}-800^{\circ}\text{C}$ arasında yapılacak bir tavlama, krom karbürleri kürelestirdiği gibi olası martenzit fazını da temperleyerek tokluğun daha fazla düşmesini önler. Ayrıca tane sınırı dolaylarında krom dağılımını yayınma yoluyla bir miktar düzgünleştirip, pasiflik sınırına (çözünmüş Cr ≥ 12) yeniden ulaşmasına yardımcı olur.

Ferritik çeliklerde en başta düşük tokluk ve tane irileşmesinden ötürü, ostenitik çeliklerdeki kadar güvenle gerçeklestirilemeyen kaynak işlemi için aşağıdaki noktaların dikkate alınması gereklidir:

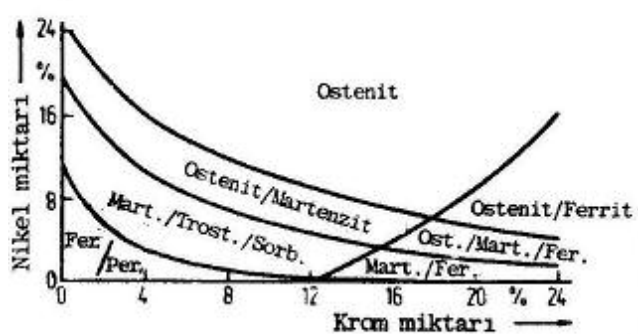
- Başlangıç tokluğunu artırmak üzere 150°C ile 200°C arasında ön ısıtma ve yukarıda açıklanan nedenlerle kaynak sonrası tavi ($700^{\circ}\text{C}-800^{\circ}\text{C}$) yararlıdır.
- Tane irileşmesi ve karbür çökelmesine karşı kaynak sırasında ısı girdisi olabildiğince küçük tutulmalıdır.
- Tokluğu yüksek olan ostenitik türden ilâve malzemelerin kullanılması bazı sorunlar yaratır bile, soğuma sırasında büzümme kuvvetlerinin etkisiyle kaynak dikişinin çatlama eğilimini önemli ölçüde azaltır.

4.8.6.2. Ostenitik Krom-Nikel Çelikleri

Korozyona dayanıklı çeliklerin en önemli bölümünü oluştururlar. Manyetik olmayan bu çeliklere, ostenitik iç yapıları dönüşüm göstermediği için normalleştirme ve sertleştirme ısıl işlemleri uygulanamaz. Korozyonu önlemek üzere gerekli olan kromun ferrit yapıcı etkisi, ostenit yapıcı alaşım elementleri katılarak giderilir. Ancak bu amaçla, kuvvetli bir ostenit yapıcı olmasına karşın karbür meydana getirerek korozyon davranışını zayıflatılan karbonun oranını yükseltmek yerine, aynı zamanda oksitleyici ve redükleyici asitlere de dayanıklı olan nikelden yararlanılır.

Kükürtsüz olan korozif ortamlarda, ostenitik çelikler ferriklerden genellikle daha iyi sonuç verirler. Molibden katımıyla organik ve çeşitli mineral asitlere (örneğin H_2SO_4) karşı direnç artar.

Bileşimlerine göre farklı iç yapınlara sahip olabilen Cr-Ni çeliklerinde, korozyona dayanıklılık bakımından ostenit ve ostenit/ferrit alanlarında bulunanlar ilginçtir (Şekil 4.90).



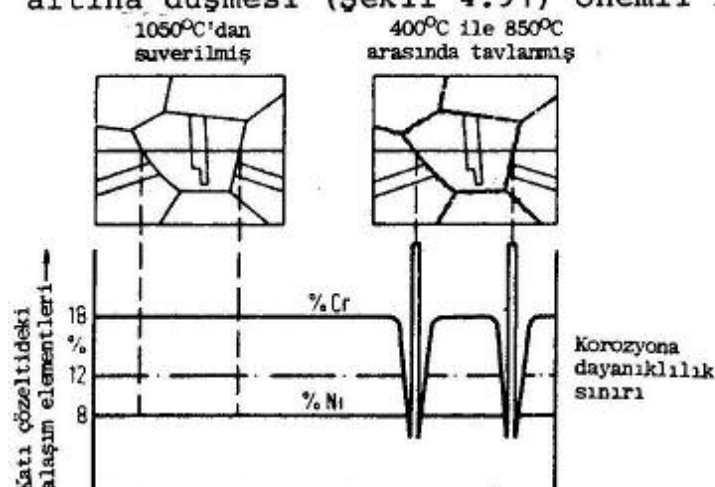
Şekil 4.90. 1000°C sıcaklığından suyla soğutulmuş Cr-Ni çeliklerinde ($\text{C} \approx 0,2$) elde edilen iç yapının bileşime bağlılığı (MAURER'e göre)

Gördüğü gibi $\text{C} \approx 0,2$ ve $\text{Cr} \approx 13$ için ostenitik bir iç yapı en az %9 Ni ile elde edilebilir.

Tümüyle γ -kayıt çözeltisinden oluşan (tam)ostenitik paslanmaz çelikler ısiya ve asitlere dayanıklı, yüksek sıcaklıkta mekanik özelliklerini iyi olan malzemelerdir. Ancak sıcak çatlama (yırtılma) eğilimi gösterirler.

Ostenitik-ferritik veya başka bir deyimle *dubleks* yapılı ostenitik çelikler ise, ferrit yapıcı elementlerin oranına bağlı olarak %10'a kadar δ -ferrit (bk. Şekil 4.88) içerirler. Eriyikte ilk önce katılan δ -ferrit kristalleri iç yapının ince taneli olmasını sağlar. Sıcak çatlama duyarlığını artıran fosfor, kükürt, silisyum gibi elementler de büyük ölçüde δ -kafezinde çözünerek ostenit fazından uzaklaşır. Dolayısıyla bu çeliklerde sıcak çatlama tehlikesi çok daha azdır; yalnız yüksek sıcaklıkta uzun süre kalma sonucu *sigma* fazı oluşabilir.

Ostenitik çeliklerde en büyük sorun krom karbür çökelmesidir. Kritik sıcaklıklar olarak nitelenen 400°C ile 850°C arasında yüksek enerjili tane sınırları boyunca ayıșarak yan yana dizilen kromca zengin karbürler, malzemenin korozyif ortamda bulunması halinde tanelerarası korozyona ve tane ayrılması yol açarlar (bk. Şekil 1.126). Söz konusu olayda, katı çözeltideki krom miktarının korozyona dayanıklılık sınırının altına düşmesi (Şekil 4.91) önemli rol oynar.



Şekil 4.91. Ostenitik Cr-Ni çeliklerinin tane sınırlarında krom karbür çökelmesi (sematik, WIRTZ'e göre)

Tanelerarası korozyon aşağıdaki önlemlerle engellenebilir:

- Çeliğe stabilizatörlerin katılması. Stabilizatörler karbona ilgileri kromunkinden fazla olduğu için, karbonu yüksek işletme sıcaklıklarında da hâli krom karbür oluşturmayacak şekilde bağlayan elementlerdir. Bu amaçla bileşiminde uygun miktarda titan, tantal veya niyobium içeren çelikler stabilize edilmiş olarak nitelenir:

X 10 CrNiTi 18 9 - titanla stabilize edilmiş,

X 10 CrNiNb 18 9 - niyobla stabilize edilmiş vb.

- ELC (Extra Low Carbon = çok düşük karbonlu) çeliklerin kulanılması. Ostenitik çeliklerde 650°C sıcaklıkta karbon çözünürlüğü yaklaşık % 0,05'tir. Dolayısıyla daha düşük derişilikteki karbon bu sıcaklıklarda pratik olarak tümüyle ostenitte çözüneceğinden, anılan çeliklerde krom karbür çökelmesi söz konusu değildir. Örneğin X 5 CrNi 18 9 , X 2 CrNi 18 9 çelikleri gibi.

- Çözme tayı. Stabilize edilmemiş çeliklerde meydana gelen karbürler 1050°C ile 1150°C arasında yapılan bir tavlama ile çözündürülür. Bunu izleyen hızlı soğutma tekrar çökelmeyi engeller. Ancak bu yöntem kritik sıcaklık bölgesine yeniden ısınma durumunda karbür oluşmasını önleyemez.

Ostenitik çelikler, süneklikle birlikte yüksek tokluğa (ymk kafes!) sahip oldukları ve Isıdan Etkilenen Bölgede herhangi bir sertleşme göstermedikleri için kaynağı çok elverişlidirler. Yalnız kaynak dikişi yanında kritik sıcaklığa ısnan ve yavaş soğuyan dar bir şerit boyunca karbürler ayıra bilir. Bu nedenle kaynak edilecek çelikler gerektiğinde stabilize türden seçilmelidir. Ayrıca ostenitik çeliklerin ısı iletim katsayısı küçük, ısıl genleşme katsayısı büyük olduğundan, çarpılma tehlikesine karşı kaynak sırasındaki ısı girişinin düşük tutulması yararlıdır.

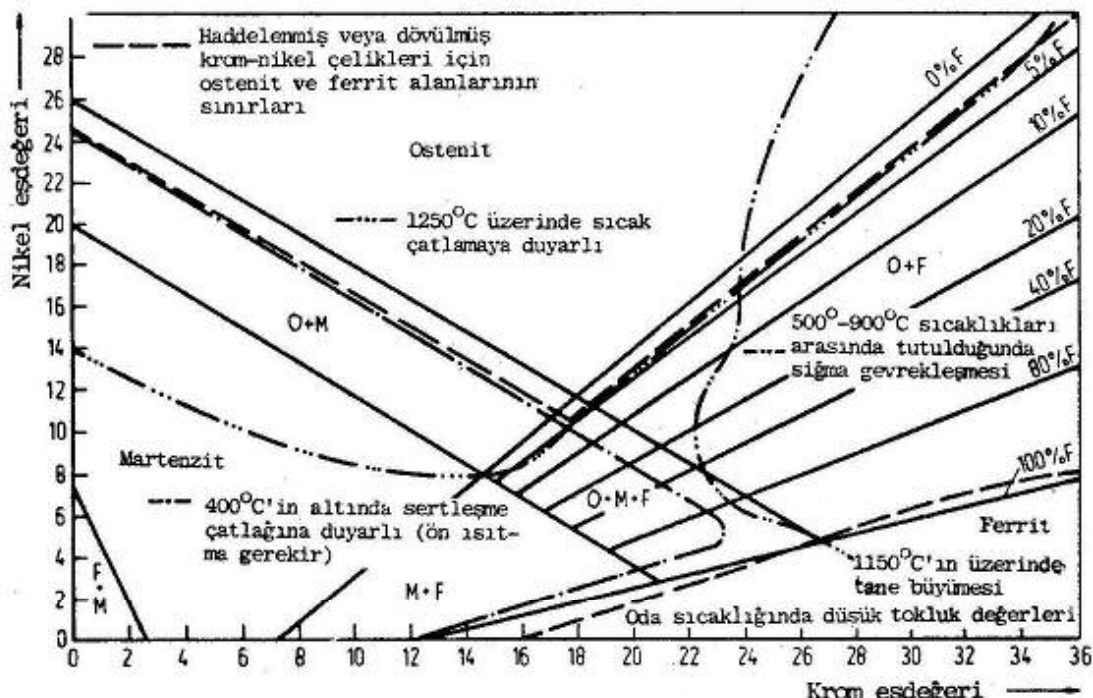
Alaşimsız çeliklerin yüksek alaşımlılarla kaynak edilerek birleştirilmesi teknikte sık rastlanan bir uygulamadır. Özellikle bu gibi durumlarda kaynak metalinin iç yapısı hakkında SCHAEFFLER-Diyagramı (Şekil 4.92) yardımıyla tahmin yürütülebilir. Bunun için çeliklerin bileşimindeki önemli ferrit ve ostenit yapıcı elementlerin etkinliği, yani krom ve nikel eşdeğerleri hesaplanır.

SCHAEFFLER-Diyagramının kullanımı aşağıda bir örnekle açıklanmıştır:

Örnek

"C" alaşimsız çeliği (St37 , C ≈ 0,1) yüksek alaşımı "B" çeliğine (X 10 CrNiTi 18 9)nokta kaynağıyla bağlanacaktır (Şekil 4.93). B ve C'nin yarı yarıya karışacağını varsayıarak kaynak metali iç yapısının bulunması:

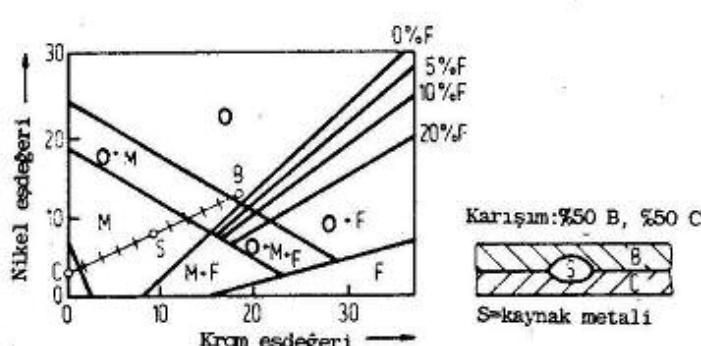
- Krom ve nikel eşdeğerleri belirlenen malzemeleri temsil eden noktalar diyagrama taşınır: C noktası (0,3) ve B noktası (18 ; 12).
- C ile B noktalarını birleştiren karışım çizgisinin orta noktası (%50B , %50 C) kaynak metalinin (S) martenzitik bir iç yapısı sahip olacağını gösterir. Dolayısıyla çatlak oluşumuna duyarlı böyle bir kaynak bağlantısının yer aldığı konstrüksiyon güvenilir değildir.



Sekil 4.92. Yüksek alaşımı kaynak metali iç yapılarını belirten SCHAEFFLER - Diyagramı (WIRTZ'e göre)

$$\text{Krom eşdegeri} = \% \text{Cr} + \% \text{Mo} + 1,5 \% \text{Si} + 0,5 \% \text{Nb}$$

$$\text{Nikel eşdegeri} = \% \text{Ni} + 30 \cdot \% \text{C} + 0,5 \% \text{Mn}$$



	C = St 37	B = X 10 CrNiTi 18 9
Cr _{es}	≈ 0	≈ 18
Ni _{es}	≈ 30 · 0,1 ≈ 3	≈ 30 · 0,1 + 9 ≈ 12

Sekil 4.93. Metinde ele alınan örneğe ait değerlerin taşındığı SCHAEFFLER Diyagramı

ise sıcak iş veya yüksek hız çeliklerinden yapılır.

İşlenen malzemeye (yumuşak, sert) ve işleme yöntemlerine (vurmalı, sürtünmeli, itmeli) bağlı olarak takım çeliklerinden beklenen çeşitli özelliklerden en önemlileri şunlardır.

4.8.7. Takım Çelikleri

4.8.7.1. Genel Bilgiler

Bu çeliklerden, metal ve metal olmayan malzemelerin değişik yöntemlerle (talaşlı, talaşsız) şekillendirilmesinde kullanılan takımlar üretilir (Çizelge 4.20).

İş parçasına ayrıca ısı verilmemiş olsa bile, şekillendirme (işleme) sırasında sürtünme nedeniyle takım ısınır. Hangi nedenle olursa olsun yüzey sıcaklığı 200°C düzeyini geçmeyecek takımlar soğuk iş çeliklerinden diğerleri

Çizelge 4.20-Bazı takım çelikleri ve kullanım yerleri

Uygulama Örnekleri	
Soğuk iş çelikleri	Alaşimsız takım çelikleri
	C 105 W1: dış açma paftaları, derin çekme, soğuk ekstrüzyon, kabartma baskı takımları
	C 60 W3: Yüksek hız çeliğinden takımların sap ve gövdeleri, takım ek parçaları
	Alaşımılı soğuk iş çelikleri
	X 210 Cr 12: kesici takımlar, makas bıçakları, broşlar, derin çekme takımları, kum püşkürme memeleri
	115 CrV3: helisel matkaplar, dış açma kılavuzları, metal testereeleri civata ve perçin soğuk baş dövme takımları
	145 V 33: basınçlı hava takımları, çapak alma takımları
	45 WCrV7: makina bıçakları
	X 45 NiCrMo4: yüksek tokluğa sahip kabartma baskı takımları, makas bıçakları
	X 19 NiCrMo4: havada su alan sementasyon çeliğinden plastik kalıpları
Sıcak iş çelikleri	55 NiCrMoV6: çekiçleme kalıpları, en yüksek tokluk
	X 38 CrMoV51: dövme kalıpları, dövme makinaları için takımlar basınçlı döküm kalıpları, pres istampaları, yüksek tokluk
	X 32 CrMoV33: civata ve perçin üretimi için takımlar, sıcakta aşınmaya karşı yüksek dayanıklılık

elverişli takım çeliğinin seçiminde, sadece malzeme özellikleriyle ilgili değerleri dikkate almak sağlıklı olmayabilir.

4.8.7.2. Alaşimsız Takım Çelikleri

Asal çelik niteliğinde üretildikleri için katıskı ve kalınlıktı bakımından temiz ve homojen bir yapıya sahiptirler. Söz

- *Sertlik ve dayanım, özel karbürlerin miktarı ile birlikte aşınmaya karşı direnci belirlerler.*

- *Kesme kabiliyeti, sertlik ve aşınmaya dayanıklılıkla ilişkilidir.*

- *Sertleşme derinliği, alaşım elementlerinin tür ve miktarına göre değişir.*

Vurma takımlarında (keski, kabartma baskı kalıpları basınçlı hava aletleri) sertlik yanında yeterli tokluk da istendiğinden, seçilen çelikler görece düşük karbonlu olmalı veya yüksek sıcaklıklarda temperlenmelidir. Buna karşın vurma zorlaması görmeyen örneğin matkap uçları ve freze bıçakları gibi talaş kaldırıcı takımlarda çok yüksek sertlik gereklidir (60...65 RSD-C). Bu amaç için, suverilecek çeliğin yaklaşık %0,6 karbon içermesi yeterlidir. Ancak maksimum sertlikte martenzitten başka karbürler de oluşturulacaksa, çeliğin bileşiminde uygun alaşım elementleri (krom, molibden, vanadyum, volfram) ile %0,6'dan fazla karbon bulunmalıdır.

İşlem sırasında zorlama koşulları çoğu zaman sayısal olarak bilinmeyeceğinden, belirli bir şekillendirme işlemine

isletme denemesi yapmadan işletme değerleri dikkate almak

konusu soğuk iş çeliklerinin alaşımı türlerden ucuz, ancak ağır üretim koşullarında çalışmaya elverişsiz olmalarından ötürü, çoğunlukla ekonomik gözükmemen kullanımları giderek azalmaktadır.

Karbon çeliklerinde kritik soğuma hızı yüksek, yani sertleşme derinliği az olduğu için sertlestirmeden sonra takımın iç kısmı tok kalır. Seçilen suverme ortamına göre sertleşme derinliği ve dolayısıyla takımın davranışları bir ölçüde değişebilir.

Stahl-Eisen-Werkstoffblatt 150'ye göre bu çelikler farklı kalite gruplarına ayrılır:

- Kalite grubu 1,örneğin C 105 W 1,
- Kalite grubu 3,örneğin C 45 W 3,
- Özel amaçlı,C 85 W S gibi

Sertleşme derinliği ve diğer özellikler için verilen güvence 3.gruba girenlerde 1.gruptakilerden daha fazladır. Sözü edilen çeliklerde karbon miktarıyla artan gevreklik göz önünden tutularak sıcak şekillendirme ve ısıl işlemler özenle yapılmalıdır. Tavlamanın yavaş ve homojen olması büyük önem taşırlar; ayrıca koruyucu gaz altında veya tuz banyosunda gerçekleştirilmesi de yüzeyde karbon kaybı ile tufal oluşumunu öner.

4.8.7.3. Alaşımı Soğuk İş Çelikleri

Alaşımı soğuk iş çeliklerinin sertleşme kabiliyeti ve aşınmaya dayanıklılık bakımından alaşimsızlara üstünlükleri çok belirgindir. Sertleşme derinliği özellikle mangan, krom, molibden ve nikel gibi elementlerle artırılır. Alaşımlama türü ve miktarına göre havada, yalda veya gerektiğinde sıcak banyoda (bk.4.5.6.5) suverme ile tüm kesit sertleştirilebilir.

Takımlarda abrazyon aşınması, oksitlenme veya adezyon sonucu ortaya çıkan diğer aşınma tiplerinden çok daha önemlidir. Malzemeye özgü bir büyülüük olarak tanımlanamayan aşınmanın, öncelikle iç yapı (karbür miktarı) ve sertliğe bağlı olduğunu deneyler göstermektedir. En başta kesme takımlarında kullanılan çelikler için gereken sert ve aşınmaya dirençli karbürler çoğunlukla krom, molibden, vanadyum ve volfram ile oluşturulur.

Aşınmaya dayanıklılığın artması ve soğuk kaynama eğiliminin azalması, X 165 CrMoV 12 ve 21 MnCr 5 gibi bazı çeliklerde ayrıca nitrürasyonla sağlanabilir.

Takım malzemelerinin kullanım amacına göre seçiminde en güvenilir yol işletme deneyine başvurmaktır. Bu arada takımların davranışlarının malzeme bileşimi yanında biçim, yüzey durumu ve gördükleri ısıl işlemlerle de ilişkili olduğu unutulmamalıdır.

Sıcak şekil verme ve ısıl işlemler, alaşimsız soğuk iş çeliklerinden çok daha dikkatli ve planlı şekilde uygulanmalıdır.

4.8.7.4. Sıcak İş Çelikleri

İşletmede 200°C 'ın üzerindeki sıcaklıklarda sürekli çalışacak takımlar için kullanılan sıcak iş çeliklerinden başlıca şu Özellikler beklenir:

- *Yüksek sıcaklık dayanımı* öncelikle molibden, volfram ve vanadyum ile elde edilir.
- *Temper kararlılığını* sağlayan krom ayrıca molibden, nikel ve manganla birlikte sertleşme kabiliyetini de artırır.
- *Yüksek sıcaklıkta aşınmaya dayanıklılık* ana kütlenin (matrix'in) yüksek sıcaklık dayanımı ile özel karbürlerin tür ve miktarına bağlıdır.

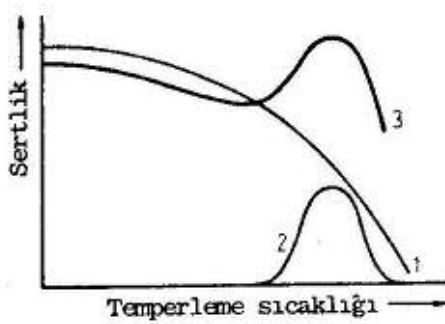
Alaşımı olan bu çeliklerdeki kararlı özel karbürlerin çözünmesi yüksek sertleştirme sıcaklıklarını gerektirir. Isıtma hızını düşük tutmak için, sertleştirme sıcaklığına kademeli olarak çıkmak daha uygundur. Temperleme, işletme sıcaklığının yaklaşık 100°C üstünde yapılır.

Yüzey sertliğini artırmak ve sürtünme katsayısını küçütmek amacıyla sıcak iş çelikleri sert krom kaplanabilir. Aşınma ve yapışma eğilimi nitrürleme ile azaltılabilir.

4.8.7.5. Yüksek Hız Çelikleri

Takım ağızı kızaracak ölçüde yüksek kesme hızlarında dahi talaş kaldırabilen, yani bu koşullara rağmen yüksek sıcaklık sertliğini büyük oranda ve uzun süre koruyan malzemelerdir (Stahl-Eisen-Werkstoffblatt 320-69). Söz konusu özelliklerin çeliğe kazandırılabilmesi için belirli alaşım elementlerinin katılması, özenli eritme (elektrik ocağı), karbürlerin homojen dağılımını sağlayacak şekilde sıcak haddeleme ve kullanıcı tarafından malzemeye uygun bir ısıl işlem programının gerçekleştirilebilmesi zorunludur.

Yüksek hız çeliklerinin kesme kabiliyetinin kızıl sıcaklıkta bile çok iyi olması, iç yapılarında öncelikle volfram, krom, molibden, vanadyum elementlerinin oluşturduğu özel karbürlerin büyük miktarda bulunmasından ileri gelir. Bu nedenle karbon oranı da en az % 0,8 dolayında veya daha fazladır. Yumuşatılmış durumdaki kararlı karbürlerin suvermeden önce yeteri kadar çözünmesi gerekiğinden, ostenitleme sıcaklığı solidüs çizgisinin hemen altında ($1200^{\circ}\text{C}...1320^{\circ}\text{C}$) seçilir. Öte yandan tane irileşmesine yol açmamak için sıcaklık ve tutma süresine kesin şekilde uyulmalıdır. Çarpılma ve çatlamayı önlemek üzere, bu malzemeler iki veya üç kademede ve yoğunlukla tuz banyosunda ısıtilırlar. Sertlestirmeden sonra çeliğin iç yapısı yaklaşık %70 martenzit, %10 karbür ve %20 artık ostenitten meydana gelir. 550°C dolayında yapılan temperleme ile, önceden çözünmüştür olan özel karbürlerin yeniden oluşturulup ince dağılmış biçimde kökeltilmesi sertlikte büyük bir artış sağlar (ikincil sertleşme). Temperlenen martenzitin ferrit ve Fe_3C benzeri karışık karbürlere ayrılması sertlik düşüşüne neden olurken, çökelme ile elde edilen bu sertlik kazancı yüksek hız çeliklerine özgü temper davranışını ortaya çıkarır (Şekil 4.94).



Şekil 4.94. Bir yüksek hız çeliğinin temper davranışını (şematik)

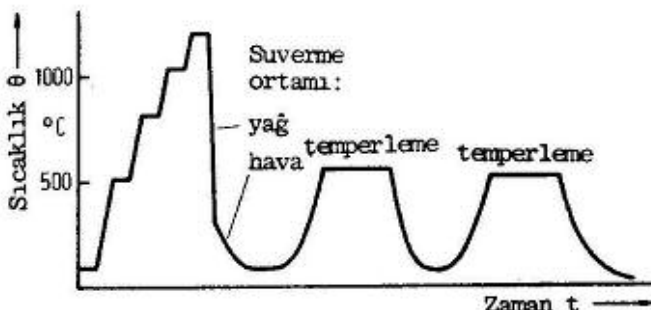
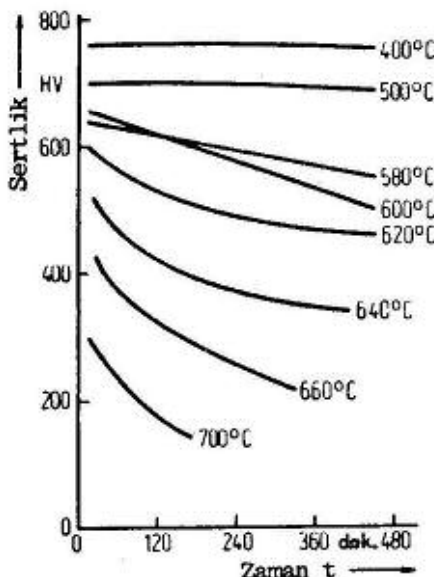
- 1: Martenzitin Fe_3C benzeri karışık karbürler ile ferrite ayrışması (sertlik kaybı)
- 2: Çökelme sertleşmesi. Ostenitleme sırasında çözünen özel karbürlerin yeniden oluşarak çökelmesi (sertlik kazancı)
- 3: 1 ve 2'nin toplam etkisi

Temperlemede karbürler sadece martenzitten değil artık ostenitten de ayrılır. Böylece karbon ve合金 elementi miktarı azalarak M_s sıcaklığı yükselen artık ostenitin, soğuma sırasında büyük ölçüde (temperlenmemiş) martenzite dönüşmesi yeniden temperlemeyi gerektirebilir.

Temperlemede, yayılmaya bağlı oldukları için olaylar çok yavaş gelişir. Dolayısıyla çoğu durumda ve öncelikle temperlenmemiş martenzit oranı yüksekse iki veya üç kez temperleme yapılır (Şekil 4.95).

Yüksek hız çeliklerinde son olarak vurgulanması gereken nokta, işletme sıcaklığı arttıkça -özellikle temperleme sıcaklığının üzerinde ($>550^{\circ}C$) - sertliğin zamanla azalmasıdır (Şekil 4.96).

Şekil 4.95. Yüksek hız çeliklerinin sertleştirilme ve temperlenmesinde Sıcaklık-Zaman diyagramı (şematik)



Şekil 4.96. Kobalt içeren bir yüksek hız çeliği için çeşitli sıcaklıklardaki sertlik değerlerinin, her bir sıcaklıkta tutma süresine bağlı olarak değişimi (BICKEL'e göre)

4.9. Demir Esaslı Döküm Malzemeleri

4.9.1. Temel Kavramlar ve Sınıflandırma

Döküm malzemeleri, üretilerek iş parçasına göre hazırlanan bir kalıba eriyik durumunda dökülüp katılaştırıldıktan sonra, talaş kaldırma dışında biçim değiştirici herhangi bir işlem görmezler. Dolayısıyla plastik şekillendirme öncesi ingot dökümü veya sürekli döküm aşamasından geçen metal ve alaşımalar döküm malzemesi sayılmaz.

Döküm tekniği öncelikle karmaşık şekilli parçaların gerçekleştirilmesi bakımından diğer imal usullerine göre daha fazla serbestlik sağlar. Malzemelerin döküme elverişliliği (bk.3.5.2) ve aşağıda ana hatlarıyla belirtilen kurallar göz önünde tutularak, birkaç gramlık parçalardan ağır makina ayakları ve hadde tezgahı gövdelerine kadar çeşitli konstrüksiyon elemanları döküm yoluyla üretilebilir:

- Olabildiğince ötekiye yakın alaşımalar kullanılmalıdır (bk.2.2.4),
- Uygun döküm yöntemi seçilmelidir,
- Kendini çekme dikkate alınmalıdır (bk.2.2.3),
- Parça tasarımını et kalınlığı farkları azaltılacak ve keskin geçişler önlenecek şekilde yapılmalıdır,
- Modeli kalıptan çıkarmak için gerekli eğimler verilmelidir.

Eriyinin bileşimi yanında soğuma hızı da demir esaslı döküm malzemelerinin iç yapısını ve dolayısıyla özelliklerini büyük ölçüde belirler. Bu alaşımların sınıflandırılmasında, en önemli alaşım elementi olan karbonun derişikliği ile katı çözeltisi (ostenit, ferrit) giremeyen bölümün Fe_3C (sementit) veya C (grafit) durumunda bulunması kriter olarak alınır. Fe-C sistemi termodinamik anlamda $Fe-Fe_3C$ sisteminden daha düşük enerjili yani daha kararlıdır. Ancak enerji farklarının küçük olmasından ötürü, faz alanlarının sınırları yarı kararlı sistemde kararlı sisteme göre çok az ötelenir (bk. Şekil 4.4).

Çelikler ($C < 2\%$) çok özel koşullar dışında daima yarı kararlı $Fe-Fe_3C$ sisteminde katılaşır; döküm malzemesi olarak kullanıldıklarında dövülebilme özelliğini korumalarına rağmen dökme çelik diye anılırlar.

Karbon oranı % 2'nin üzerinde olan demir esaslı alaşımalar ise ek bir işlem uygulanmadan (bk.4.9.4, temper dökme demir) dövülebilir nitelikte degillerdir. Sadece döküm yoluyla biçimlendirilir ve *dökme demir* genel adı altında toplanırlar.

Eriyik hızlı soğutulursa dökme demirler için de yarı kararlı sistem geçerlidir; yani karbon demire bağlanarak sementit oluşturur. Parlak açık renkli olan kırık yüzeylerine göre beyaz dökme demir adı verilen bu tür malzemeler, yüksek miktarda sementit içerdiklerinden sert ve gevrektiler (*sert döküm*). Doğrudan doğruya bu durumda güç işlenir ve seyrek olarak kullanılırlar.

Karbonca zengin eriyiklerin yavaş soğutulmasında içyapı kısmen veya tamamen kararlı sisteme göre gelişir. Sıvı fazdan başlayan ve sıcaklık düştükçe devam eden karbon ayrışması ana kütle içinde grafit oluşumuna yol açar (birincil grafitleşme). Dolayısıyla kırık yüzeylerinin koyu olan rengi kır (gri) nitelemesine uygun düştüğünden, bu malzemelere *kır dökme demir* denir.

Kır dökme demirler iç yapılarındaki grafitlerin geometrisi bakımından iki gruba ayrılır:

- Lamel grafitli dökme demir*
- Küresel grafitli dökme demir (sfero dökme demir, sfero döküm).

Beyaz dökme demir parçalara, sonradan uygulanacak bir tav işlemi ile sementit fazı ayırtırılıp, karbonun ana kütle içinde grafit kümeleri meydana getirmesi sağlanabilir (ikincil grafitleşme). Böylece gevrekliği giderilmiş ve yumuşayarak işlenmesi kolaylaşmış olan malzeme *temper dökme demir* veya kısaca *temper döküm* adını alır. Tavlamanın oksitleyici (karbon azaltıcı) ya da nötr ortamda yapılmasına bağlı olarak, ürünün kırık yüzeyi açık veya koyu renkli olur (*beyaz veya siyah temper döküm*).

Özel dökme demirlerin korozyona ve ısıya dayanıklılık gibi seçkin özellikleri yüksek oranda silisyum, krom, nikel ve alüminyum合金 elementleri katılarak elde edilir; örneğin % 18 Si içeren dökme demir.

Demir esaslı döküm malzemelerinin DIN 17006'ya göre kısa gösterilişleri Bölüm 4.7.3'te açıklanmıştır. Sınıflandırılmaları ise en önemli grupların karakteristik özellikleriyle birlikte Şekil 4.97 de özetlenmiştir. Metalsel döküm malzemeleri için genel bakış ve tanımları kapsayan bir temel standart da hazırlık aşamasındadır (DIN 1690).

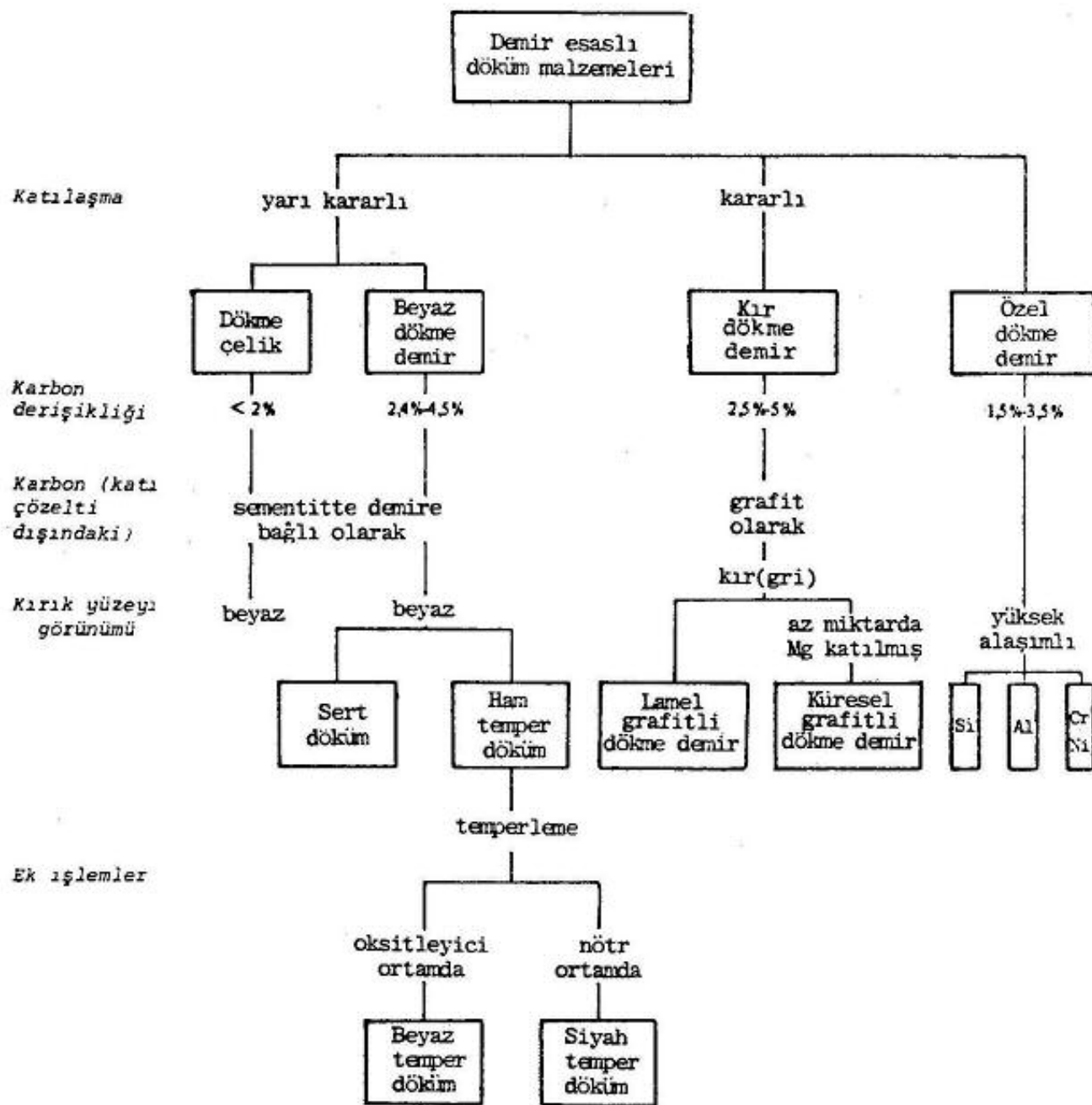
4.9.2. Dökme Çelik "GS" (DÇ)**

Eritilip kaliba döküldükten sonra, talaş kaldırma dışında başka herhangi bir biçimlendirme işlemi görmeyen çeliklere bu ad verilir. Kullanılan ham maddelerle arıtma ve bileşime ilişkin isteklere bağlı olarak, dökme çelikler SIEMENS-MARTİN, indüksiyon veya ark ocağında eritilir. Katılaşmada gaz oluşumu sonucu ortaya çıkan ve malzemeye sıcak şekil verilmemiği için kapatılamayan gözenekleri önlemek amacıyla durgunlaştırılmaları zorunludur (bk.2.1.5).

Dökme çelik parçalara çoğunlukla *ıslı işlem* (normalleştirme, ıslah) uygulanır. Böylece karakteristik kaba taneli WIDMANNSTAETTEN iç yapısı (bk.Şekil 4.33) giderilerek, tane küçült-

* Pratikte "kır dökme demir", "kır döküm" veya "pik döküm" deyimleri genellikle "lamel grafitli dökme demir" anlamında kullanılmaktadır.

** İşaretlerin Türkçe karşılıkları parantez içinde verilmiştir.



Şekil 4.97-Demir esaslı döküm malzemelerinin sınıflandırılması

mesi ile başta çentik vurma tokluğu olmak üzere mekanik özelliklerin iyileştirilmesi sağlanır.

Dökme çelikler öncelikle şu durumlarda kullanılırlar:

- Kır dökme demir veya temper dökme demirin dayanımı yeterli görülmüyorsa,
- Karmaşık biçimli veya çok büyük boyutlu çelik parçaların üretimi ancak döküm yoluyla mümkün ve ekonomik oluyorsa (örneğin 7 m yüksekliğinde ağırlığı 400 tonu aşan bir hadde tezgahı gövdesi),
- Seçilen çelik, %1,5 C ve % 30 Cr gibi, karbon ve合金 elementi oranlarının yüksekliği nedeniyle sıcak şekil verilmeye elverişli değilse.

Öte yandan çekme dayanımları,

- 合金imsiz ve az合金aklı türlerde 700 N/mm^2
- yüksek合金aklı türlerde 1300 N/mm^2

değerlerine ulaşabilen dökme çeliklerin kopma uzaması合金 miktarına bağlı olarak %8 ile %25 arasında değişir. Isıl işlem gördükten sonra, benzer bileşimdeki diğer çelikler gibi, istendiğinde soğuk şekillendirilebilir ve darbeli zorlamalar altında güvenle çalışabilirler.

Alaşimsız ve az合金aklı olabilen genel kullanım amaçlı dökme çelikler, dökümhaneler tarafından garanti edilmesi gereken en az çekme dayanımına göre sınıflandırılır; bu değerin kgf/mm^2 olarak GS harflerine eklenmesiyle belirtilirler (DIN 1681). GS-38 ile GS-70 arasında değişen kaliteleri vardır.

Döküm kalibi içine yerleştirilen çelik saçlarının, örneğin su türbini kanatlarının, rotoru meydana getirmek üzere dökülen eriyik ile kusursuz şekilde kaynaması mümkündür. Öte yandan normalleştirilmiş döküm parçalar, GS-45 kalitesine kadar özel önlemelere gereksinme duyulmadan alışılmış kaynak yöntemleriyle birleştirilebilir. Daha yüksek kalitelerde ise karbon oranını giderek %0,5 düzeyine ulaşabileceğinden, sertleşme ve dolayısıyla çatlama tehlikesine karşı ayrıca ön ısıtma önerilir. Kaynak işleminden sonra gerilme giderme tavı yapılmalıdır.

Dökme çeliklerde合金 elementleri özelliklere diğer çeliklerdeki gibi etki eder. Örnek vermek gerekirse, % 1,2 C, % 12 Mn, % 1,4 Cr bileşiminde dökülmüş sert mangan çeliğinin yüksek sertliği ve üstün aşınma dayanımı öncelikle krom karbürlerin oluşumuna bağlanabilir. Aynı zamanda mangan miktarının fazlalığı nedeniyle ostenitik ve çok tok olan bu malzeme, sürtünme ile darbeli zorlamaların bir arada bulunduğu işletmelerde kullanılır (kırma çeneleri, öğütme tablaları, çekiçler, kırıcı ve dejirmen zırhları).

Yüksek sıcaklık dayanımının istendiği durumlarda genel amaçlı dökme çelikler 400°C 'a kadar yeterlidir. Daha yüksek sıcaklıklarda ise 600°C düzeyini geçmemek üzere ferritik türlerden yararlanılır. Akma sınırı, sürünme sınırı ve sürünen dayanımı değerleri sıcaklığa bağlı olarak DIN 17245 verilen

bu dökme çelikler çoğunlukla %1,2'ye kadar molibden ve %12'ye kadar krom içerirler. Yüksek sıcaklık dayanımlarını daha da artırmak üzere ayrıca az miktarda vanadyum, volfram ve nikel (her biri % 1'den az) katılabilir. Söz konusu malzemelerden örneğin buhar türbini gövdeleri, meme halkaları, kızgın buhar armatürleri ve boru ağız parçaları üretilir.

Krom, nikel ve silisyum合金 elementleri dökme çeliklerde tufal oluşumunu önemli ölçüde azaltır. Bileşimlerinde %1,5-2 Si, % 25-29 Cr ve en çok % 16 Ni bulunan türler, 1100°C sıcaklığı kadar ısiya dayanıklı olup ocak plakaları, sementasyon kutuları, taşıyıcı izgaralar ve sürekli fırın rayları gibi uygulamalara elverişlidirler.

Korozyona dayanıklılığı artırmak üzere合金 elementi olarak öncelikle gene kromdan yararlanılır. Paslanmaz dökme çelikler (DIN 17445) bileşim ve özellikler bakımından haddelenmiş olanlara (bk.4.8.6) benzerler. Kimya fabrikaları için örneğin armatür, boru, pompa gövdesi yapımında, gıda ve tekstil endüstrisinde, madencilikte potas elde etme tesislerinde, kısaca (yüksek sıcaklıktaki) korozif ortamlarda çalışacak döküm parçaların üretiminde kullanılırlar.

Çelik dökümü kır ve temper döküme oranla aşağıdaki nedenlerden ötürü oldukça pahalıdır:

- Kimyasal bileşim daha dar sınırlar içinde kalmalı ve kalıntı miktarı daha az olmalıdır.
- Yaklaşık 1500°C olan yüksek erime sıcaklığı, güçlü eritme ocaklarını ve yüksek sıcaklığı dayanıklı kalıp malzemelerini gerektirir.
- Mekanik özelliklerin iyileştirilmesi için bitmiş parçalara ıslık işlem uygulanması kaçınılmazdır.

Bunlara ek olarak dökme çeliğin imalatı zorlaştıran şu özellikleri de vardır:

- Eriyiğin akıcılığı ve kalıbı doldurması iyi değildir. Bu sakınca ancak aşırı ısıtma ile bir ölçüde ortadan kaldırılabilirse de, genelde çelik döküm parçaların et kalınlığı en az 5 mm olmalıdır.
- Kendini çekme合金 dökümlerde % 2 ... 2,5合金 larda ise %3 gibi yüksek değerlere ulaştığından lunker ve çatlaklı oluşumu tehlikesi (bk.2.2.3) fazladır. Böylece anıyan hatalara karşı gerekli yerlerde besleyici ve soğutucu kullanılması gibi döküm tekniği ile ilgili önlemler yanında, tasarım yönünden de örneğin kesit değişimlerinde keskin geçişlere yer verilmemesi vb. sınırlamalar ağırlık kazanır.
- Özellikle az karbonlu çeliklerin erime sıcaklığı yüksek olduğundan kalıp kumu kısmen eriyerek döküm yüzeyine yapışır. Parçayı tümüyle işleme durumu ortaya çıkabilir.

Sonuçta istenilen dayanım ve süneklik bakımından dökme çeliğin seçilmesi zorunlu görülmedikçe, daha ucuz olan kır dökme veya sünek sayılabilcek temper dökme demir kullanma yönüne gidilmeli, sfero döküm de bir diğer çözüm olarak dikkate alınmalıdır.

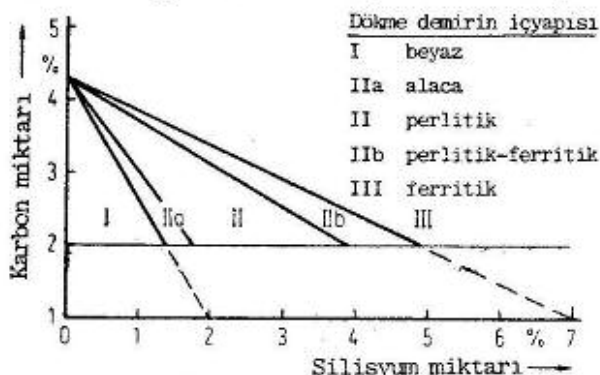
4.9.3. Dökme Demir "GE" (DD)

Uygulamada en önemli ham maddesi pik demir (bk. Çizelge 4.3) olan dökme demirin karbon derişikliği %2'nin üzerindedir ve ek işlemler uygulanmadan dövme yoluyla biçimlendirilemez. Erime sıcaklığı dökme çeliğinden düşük olup, çoğu türünde ötekinin bileşimine yakınlıkta otürü 1250°C 'yi aşmaz. Eriyicinin akıcılığı ve çok iyi kalıp doldurma özelliği yanında, kendini çekmesi dökme çeliğe göre küçüktür (% 1-2). Katı halde yoğunluğu $7,2-7,4 \text{ gr/cm}^3$ sınır değerleri arasında değişir.

Dökme demirin katılaşmasında sementit veya grafit oluşumu, diğer bir deyişle iç yapı durumu, soğuma hızından başka büyük ölçüde karbon ve silisyum miktarı ile belirlenir. Her iki element de grafit ayırmasını kolaylaştırır.

4.9.3.1. Dökme Demir Diyagramları

Başlıca bileşenleri demir eşlik elementleri olan alaşım-sız dökme demirlerin karbon ve silisyum miktarlarıyla, iç yapıları arasındaki ilişkiye gösteren MAURER diyagramında üç temel bölge vardır (Şekil 4.98):



Şekil 4.98. MAURER diyagramı

ve sertliği, azalan karbon ve silisyum miktarı ile artar. Bu nedenle yüksek kaliteli dökme demir türleri, ilgili oldukça bölgelerin sol alt bölümne düşen bileşimlere sahiptirler. Öte yandan MAURER-diyagramından elde edilen bilgiler kuru kalıba dökülmüş yaklaşık 30 mm çapında parçalar, yani belirli soğuma koşulları için geçerlidir.

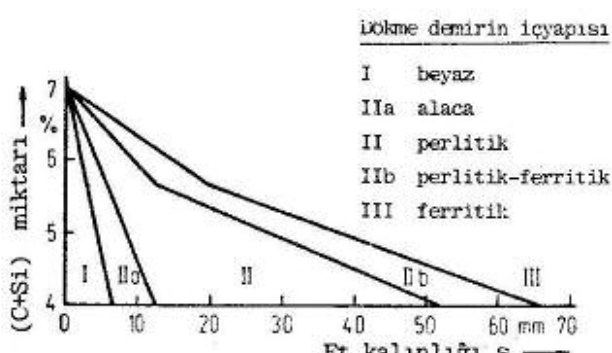
- I. Bölge : beyaz dökme demir (sert döküm)
- II. Bölge : perlitik kır dökme demir
- III. Bölge : ferritik kır dökme demir

Bunlar arasında da beyaz ve kır döküm karışımı alaca dökme demir (II a) ile, perlitikferritik kır dökme demir (IIb) geçiş bölgeleri bulunur.

Dökme demirin dayanım

Dökme demir iç yapısının ayrıca soğuma hızı ve dolayısıyla et kalınlığı ile nasıl değiştiği ise GREINER-KLINGENSTEIN diyagramından görülebilir (Şekil 4.99).

Karbon ve silisyumun her ikisi de grafit ayırmasını kolaylaştırıcı yönde etki ettiğinden, bu diyagramda düşey eksene $\text{C}+\text{Si}$ miktarı, yatay eksene de et kalınlığı taşımıştır. Bölgelerin adlandırılışı MAURER diyagramındaki gibidir. Üst sınır çizgilerindeki kırılma noktaları karbon ve silisyum miktarları toplamının $\approx 5,5$ düzeyinin altında kalması gerektiğini gösterir.



Şekil 4.99. GREINER-KLINGENSTEIN diyagramı

4.9.3.2. Sert Döküm "GH" (DS)

Genellikle % 3 dolayında karbon, az miktarda silisyum (% 0,5...1,5) ve karbür oluşumunu kolaylaştırmak üzere % 1,2'ye kadar mangan içerir. Beyaz dökme demir (DDB) olarak katılaşan içyapı, yüksek oranda sementit ile perlitten (Cr,Ni,Mo katılmış alaşımlı türlerinde perlit yerine çoğunlukla martenzitten) meydana geldiği için çok sert ve aşınmaya dayanıklıdır. Sert döküm bu özellikleriyle kum püskürtme memeleri vb. parçalarda iyi sonuç verir. Ancak söz konusu malzemenin işlenmesi çok güç, gevrek içyapısı darbelere karşı aşırı duyarlı, çekme dayanımı da martenzitik dökme gelişe göre düşüktür. Dolayısıyla uygulamada tüm kesiti beyaz dökme demir olan (tam sert döküm) parçalar çok seyrek ve genellikle işlenmeden kullanılır, örneğin ağırlıklar, ögütme bilyeleri.

Buna karşın sert kabuklu dökümün teknikteki önemi daha fazladır. Burada kabuk diye adlandırılan kenar tabaka ancak hızlı soğutma sonucu beyaz olarak katılaşırken, yavaş soğuyan göbekte karbonun bir bölümü grafit şeklinde ayrışır. Isının yüzeyden hızla uzaklaştırılması için kokil dökümü yapılır veya kum kalıba soğutma plakaları yerleştirilir. Ayrıca iç ve dış kısımlar arasında özel yöntemlerle bileşim farkı da yaratılabilir. Bu tür yüzeyi sert ve aşınmaya dayanıklı dökme demir parçalar, tokluğun içe doğru bir ölçüde iyileştirilmesi nedeniyle, darbeli zorlamalar altında çalışmaya elverişlidir. Hadde merdaneleri çoğunlukla sert kabuklu döküm olarak ürettiler. Diğer kullanım yerlerinden başlıcaları vagon tekerlekleri, zimbalar, çekme kalıpları, önyüzlerinin aşınmaya dayanıklı arka yüzlerinin ise kolay işlenebilir olması gereken değirmen levhalarıdır.

4.9.3.3. Lamel Grafitli Dökme Demir "GGL" (DDL)

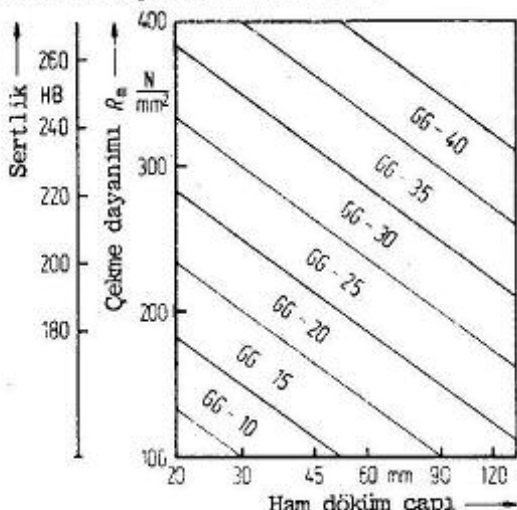
Ham (pik) demire döküm hurdası, çelik hurdası ve örneğin ferromangan gibi maddeler katılıp çoğunlukla kupol ocağında eritilerek elde edilir. Kendini çekmesi yaklaşık % 1 dir. Karbon (% 2,5...4,5) ve silisyum (% 0,8...3) miktarlarının toplamı yüksek tutulduğu için, sıvı durumdan hızlı soğutulmadıkça büyük ölçüde kararlı sisteme göre katılaşır. Böylece oluşan grafit bölgeleri dayanımı düşürür. Buna karşın söz konusu malzeme darbelere beyaz dökme demir kadar duyarlı değildir ve kolay işlenir.

Bileşim sabit kalmak koşuluyla, döküm parça kalınlığının azalması dayanımı iyileştirir. İnce parçalarda soğuma doğal şekilde çabuk gerçekleştiği için, perlit oranı artar ve az miktarda ayrısan grafit içyapıda çoğunlukla ince olarak dağılır. Soğuma yavaşladıkça yüksek sıcaklıkta kalma süresi uzar; karbon atomlarının yayılması ve dolayısıyla grafit ayrışması kolaylaşır. Grafitlerin miktar ve dağılımı yanında geometrisi de mekanik özellikleri etkiler. Belirli katkılar (bk.4.9.3.4) yapılmadığı sürece grafitler lamel (levha) biçiminde oluşur.

Daha önce debynildiği gibi, ait olduğu grubun genel adıyla, yani kır dökme demir "GG" (DDG)* diye de anılan lamel grafitli dökme demir DIN 1691'de standartlaştırılmıştır**. Çekme dayanımına göre 100 N/mm^2 ile 400 N/mm^2 arasında 50 N/mm^2 lik kademelerle yükselen kalite sınıflarına ayrıılır. Bu sınıflar GG işaretine minimum çekme dayanımının kgf/mm^2 cinsinden sayısal değeri eklenerek gösterilir, örneğin GG-30.

Mekanik özellikler et kalınlığına bağlı olduğundan, DIN 1691'de kalite sınıflarını belirleyen çekme dayanımları, 30 mm çapında döküldükten sonra 20 mm çapa işlenmiş deney parçaları için geçerlidir. Çekme dayanımı ve sertlik değerlerinin ham (işlenmemiş) döküm çapıyla değişimi Şekil 4.100'de verilmişdir.

Kır dökme demirin katılaşması sırasında ayırsıp, "çeliğe benzer" ferritik veya perlitik ana kütle içine yerleşen grafit lamelleri metallografik kesitte damarlar biçiminde görürlürler (Şekil 4.101).



Şekil 4.101. Kır dökme demir iç yapısındaki grafit lamelleri

Şekil 4.100. Kır dökme demirde dayanım ve sertliğin ham döküm çapı ile değişimi (DIN 1691'e göre)

Grafit lamelleri özellikle çekme zorlamalarına karşı dayanıklı, dolayısıyla yük taşıyıcı kesiti zayıflatır ve ayrıca uçlarında gerilme yiğilmalarına yol açan iç çentikler olarak düşünülmelidir. Bu nedenle çekme dayanımı çok düşük düzeyde kalan kır dökme demir, hafif konstrüksiyonlar için uygun bir malzeme değildir. Heterojen ve çentikli iç yapısından ötürü şekil değiştirme kabiliyeti de yok denecek kadar az olup, kopma uzaması %1'in altındadır. Ancak grafit lamelleri büyük basma gerilmelerini taşıyabildikleri için, kır dökme demirin basma dayanımı çekme dayanımının 3...4,5 katına ulaşır.

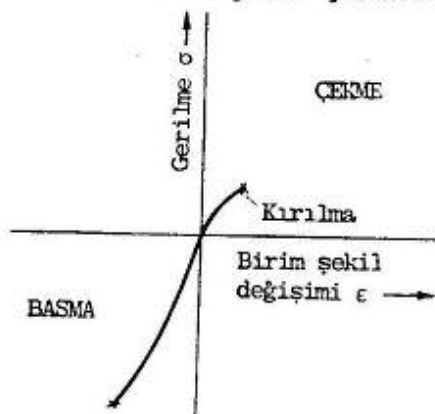
Kır dökme demirin çekme ve basma davranışlarının farklı oluşu elastik büyülüklerde de görülür. Elastiklik modülü döküm malzemesinin dayanımı yanında, gerilmenin tür ve yüksekliğine bağlıdır:

*) GG: Grauguss (DDG: Grafitli dökme demir)

**) Bu konudaki Türk Standardı: TS 552-Lamel Grafitli Dökme Demir İçin Genel Esaslar

- Kır dökme demirin sınıfı yani çekme dayanımı ile birlikte elastiklik modülü de yükselir.
- Gerilme-birim şekil değişimi diyagramında doğrusal elastiklik yoktur. Gerilme arttıkça elastiklik modülü giderek düşer. Bu durum grafit lamellerinin uçlarındaki gerilme yükselmalarının yerel akmalara yol açmasından ileri gelir. Çekme eğrisinin başlangıç bölgesindeki eğimi olarak, E değeri kır dökümün kalitesine göre 70000 N/mm^2 ile 140000 N/mm^2 arasında değişir.
- Elastiklik modülünün gerilmeye bağımlılığı çekme zorlamasında basmadakinden daha belirgindir.

Görüldüğü gibi kır dökümde Hooke kanunu geçerli değildir. Şekil 4.102 çekme ve basma zorlamaları altında kır dökümün mekanik davranışını şematik olarak göstermektedir.



Şekil 4.102. Kır dökme demirin gerilme-birim şekil değişimi diyagramı (şematik)

Grafit lamellerinin dayanım ve şekil değiştirme özelliklerine olumsuz etkilerine karşı, söz konusu heterojen içyapının aşağıda açıklanan yararlı yönleri de bulunduğuundan, kır dökme demir makina malzemesi olarak önem kazanmıştır.

İçyapısındaki grafit lamelleri doğal olarak çentik etkisi yarattığı için, böyle bir dökme demir yorulma açısından konstruktif çentiklere duyarsızdır. Diğer bir deyişle, yorulma çentik katsayısı β en (bk. 3.2.3.2) aynı şekilli dökme çelik parçadakinden küçük olup, düşük DDL kalitelerinde 1 değerine yaklaşır.

Öte yandan kır dökümün olağanüstü sökütleme özelliği vardır. Çelik dökümle karşılaşıldığında titreşimler yaklaşık dörtte bir sürede sökülenir. Böylece işletme yüküne ek olarak titreşimden ileri gelebilecek yorulma olasılığı azalır. Sökütleme özelliği yanında ucuzluğu da göz önünde tutularak, örneğin temel plakaları, makina yatakları, dişli kutuları ve silindir blokları çoğunlukla kır dökümde üretilirler.

Kır dökme demir kaymali yataklar için de uygun bir malzemdir. Grafit parçacıkları her tür sürtünme zorlamasında yağlama etkisi yapar. Böylece yatak yağsız kalma durumunda bir süre sarmadan çalışabilir.

Grafit lamellerinin sürtünmeyi azaltıcı ve aynı zamanda kısa kırlıgan talaş oluşturuğu etkisinden ötürü kır dökme demirin talaşlı işlenme kabiliyeti genellikle çok iyidir. Yalnız perlit oranının artması (sertlik artışı) ile talaş kaldırma bir ölçüde zorlaşır.

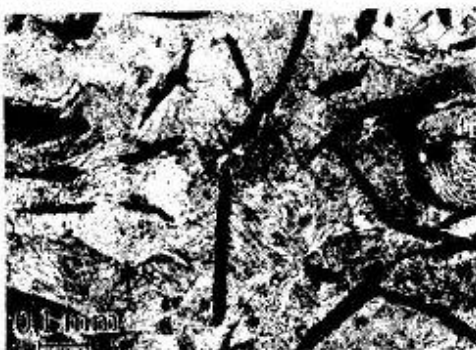
Kır dökme demirin kaynağı, sementit ile martenzit (önce-likle perlitik türlerde) oluşumuna karşı, tavlama ve özel

ilâve malzeme kullanma gibi önlemleri gerektirir. Daha çok onarım amacıyla uygulanır. Lehimlenmesi de güptür.

Eşlik ve alaşım elementlerinin özelliklere etkisi çoğunlukla çelikte olduğu gibidir. Bununla birlikte kükürt ve fosfor çelik veya dökme çelikteki kadar olumsuz sonuç yaratmaz. İyi kaliteli kır dökümlerde yüksek oranda bulunan mangan, kükürtü bağlar. Meydana gelen mangan sülür kalıntıları, kır dökme demirin iç yapısının zaten heterojen olması nedeniyle, mekanik özelliklerini ayrıca kötülestirmez.



reaksiyonu ile fosfor, grafitleşmeyi kolaylaştırır. Demir fosför (Fe_3P), demir ve karbonla yaklaşık 950°C sıcaklıkta katılaşan bir üçlü ötektik (steadit) oluşturur. Fosforca zengin eriyik çok akıcı olduğundan,örneğin radyatör gibi ince etli parçaların dökümü için özellikle uygundur. Katılışma sırasında ortaya çıkan fosför fazi sert ve gevrektilir. Dolayısıyla fosfor miktarı ile sertlik ve aşınmaya dayanıklılık artar; ancak malzemenin işlenmesi güçleşir. Şekil 4.103'te fosför ötektiği (açık renkli adacıklar), perlit ve grafit lamelleri içeren bir kır döküm iç yapısı görülmektedir.



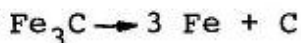
Şekil 4.103. Fosför ötektiği, perlit ve grafit lamelleri içeren bir kır döküm iç yapısı

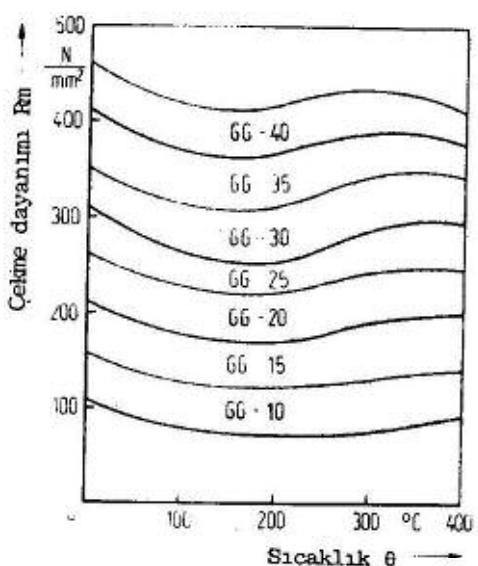
Öte yandan fosfor derişikliği $\%0,3\dots0,4$ değerini aşarsa, fosför ötektiği iç yapida sürekli ağırlığı kazanarak çekme dayanımı ve çentik darbe tokluğunun düşmesine yol açar. Bu nedenle, mümkün olduğu kadar akıcı bir eriyiğin istenilen süsleme ve sanat dökümlerinde bile fosfor derişikliği $\%1,3$ 'ün altında tutulur. Yüksek zorlama larla karşılaşacak parçalarda ise bu oran $\%0,5$ 'i aşmamalıdır.

Silisyum miktarı fazla olan kır dökümün atmosferik korozyona dayanıklılığı iyidir. Ayrıca döküm parçadan zorunlu olmadıkça talaş kaldırılmaması da, yüzeyde oluşan silikat ve oksit tabakasının korozyonu azaltıcı etkisinden yararlanmayı sağlar. $\%18\text{ Si}$ içeren kır dökme demir asidik ortamlara,örneğin sıcak sülürük ve nitrik aside dirençlidir; ancak çok sert olduğundan sadece taşlanarak işlenebilir.

Kır dökme demir yaklaşık 400°C 'a kadar olan işletme sıcaklıklarında özel bir sorun yaratmaz. Şekil 4.104'te çeşitli kaliteler için çekme dayanımlarının sıcaklıkla değişimi verilmiştir.

Dökme demirin özellikle uzun süre 400°C 'ın üzerinde tutulması, iç yapida bulunabilecek sementit fazının ayrışmasına yol açar:





Sekil 4.104. Kır dökme demirin çekme dayanımına sıcaklığın etkisi

Sıcaklık yükseldikçe hızlanan bu reaksiyon sırasında, serbest kalan karbon atomlarının grafit miktarını artırmasıyla döküm parçanın hacmi büyük. Bu durumda grafit lamellerinin yüzeyleri boyunca malzemeye girişi kolaylaşan ortam gazları, genellikle 550°C 'ı aşan sıcaklıklarda ana kütledeki demir ve silisyumu oksitler. Dolayısıyla mekanik özellikler olumsuz yönde etkilendiği gibi, yeni bir hacim artışı da meydana gelir. Katı halde grafitleşme ile oksitlenme sonucu ortaya çıkan ve büyümeye adlandırılan hacim değişikliği %8 düzeye ulaşabilir. Kır dökme demirin büyümüsünü, karbon ve daha çok silisyum (<4%) kolaylaştırırken, karbur yapıcı mangan vb. elementler zıt yönde etkiler. Öte yandan grafitin ince dağıldığı bir iç yapı, kaba lamelliye oranla büyümeye oluya daha az duyarlıdır.

İsıl zorlanan kır döküm parçaların büyümesi bazı kullanım yerlerinde, örneğin içten yanmalı motorların segman ve silindir kafalarında çok sakıncalıdır. Karbur yapıcı (krom) ve oksijeni bağlayıcı (alüminyum)合金 elementleri katılarak 1000°C 'a kadar ısiya dayanıklı kır döküm kaliteleri elde edilebilir.

Yüksek sıcaklık dayanımı açısından üstünlük gösteren ostenitik dökme demirler alkali, seyreltilmiş asit, deniz suyu ve tuz çözeltilerinin korozif etkilerine de dayanıklıdır. DIN 1694'te yer alan söz konusu malzemelerde* ana合金 elementi (% 36'ya kadar) nikeldir; ayrıca her birinin derişikliği % 7,5 değerini aşmamak üzere silisyum, mangan, krom ve bakır bulunabilir. Karbon miktarı % 2,2 ile % 3 arasında olup ferritik ve perlitik kır döküme oranla düşüktür. Örnek olarak fırın parçaları, supaplar, silindir gömlekleri, gıda ve kimya endüstrisindeki pompalar, armatürler, proses kazanları gereğinde ostenitik dökme demirden yapılabilir.

Yaklaşık % 35 Ni içeren ostenitik dökme demirin 20°C ile 200°C arasındaki ısi genleşme katsayısı çok küçüktür ($5 \times 10^{-6} \text{ K}^{-1}$). Sıcaklıkla boyut değişiminin minimum düzeye kalması istenen özel takım tezgahları, laboratuvar cihazları ile cam presleme kalıpları için bu nedenle uygun bir malzemedir.

Lamel grafitli dökme demir genellikle çekme dayanımını değil, aşınmaya karşı direncini yükseltmek amacıyla bazen sertleştirilebilir. Karbonun ostenitte çözünmesini kolaylaştmak üzere öncelikle perlitik türler seçilip, yaklaşık 850°C sıcaklıkta ostenitlememeyi yeterli hızla soğutma izlerse, çeliğe benzer ana kütle tümüyle martenzite dönüşür. Ancak yumuşak grafit

*) Bu konudaki Türk Standardı: TS 551 - Ostenitik Dökme Demirler

lamellerinden ötürü malzemenin ortalama sertliği suverilmiş ötektoid çeliğinkine ulaşamaz. Ayrıca ısıtma ve suverme sırasında oluşan ısıl gerilmeler altında, grafit lamellerinin kuvvetli çentik etkisinden dolayı çatlama tehlikesi fazladır. Bu açıdan os-veya martemperleme avantajlı olabilir. Ancak normal makina dökümünde dayanım artışı en ekonomik olarak, iç yapıcı perlit oranının yükseltilmesi yanında, grafit lamellerinin ince ve homojen dağılımıyla sağlanır. Aynı amaçla gerçekleştirilmiş en önemli gelişme ise, grafitlerin küresel biçimde kavuşturulmasıdır.

4.9.3.4. Küresel Grafitli Dökme Demir "GGG" (DDK)

Sfero döküm olarak da adlandırılıp, GGG işaretine minimum çekme dayanımının kgf/mm^2 cinsinden sayısal değeri eklenerek sınıflandırılır,örneğin GGG-70 gibi (DIN 1693)*.

Küresel grafitli dökme demir, özel pik ve hurdanın çoğu kez kupol ocağında eritilmesinden sonra elektrik ocağında gereklili katkıların yapılmasıyla elde edilir. Bileşiminde $\%3,2\dots3,8\text{ C}$, $\%2,4\dots2,8\text{ Si}$, $\%0,5$ 'ten az Mn bulunur. Ham maddelerden gelen katışıklar belirli sınırları kesinlikle aşmamalıdır. Grafitin küreselleşmesi (yumrulaşması) için eriyiye yaklaşık $\%0,5\text{ Ce}$ veya $\%0,5\text{ Mg}$ ile çekirdeklenmesini kolaylaştırır üzere ferrosilisyum katılır. Mg yöntemi daha ucuz fakat Pb, Bi, Sb, Sn, Ti gibi olayı önleyici elementlere daha duyarlıdır; ayrıca işlemin verimliliği kükürdün azlığına ($<\%0,02$) bağlıdır. Şekil 4.105'te sfero dökme demir iç yapısındaki küresel grafitler görülmektedir.

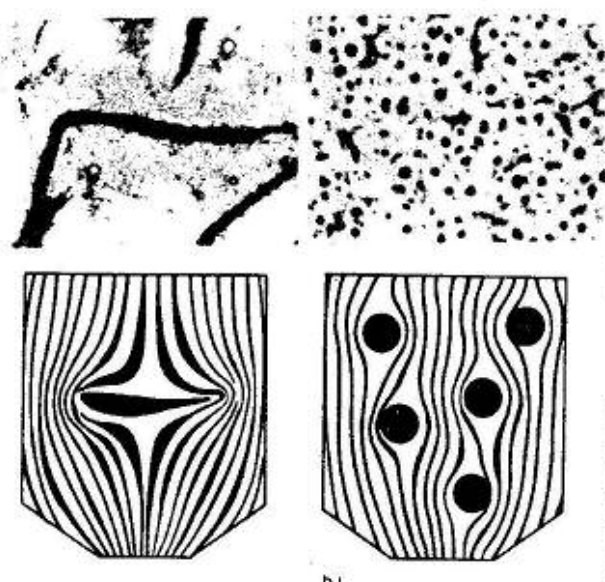


Şekil 4.105. Sfero dökme demirde grafit oluşumu

Küre, eşit hacimli diğer geometrik biçimlerle karşılaştırıldığında, en küçük yüzey/hacim oranına sahiptir. Dolayısıyla sfero dökümde ana kütlenin taşıyıcı kesiti, grafit oranı aynı olan kır dökme demirdekinden daha büyütür. Grafitin küresel oluşunun, dış zorlama sonucu döküm parçadaki gerilme dağılımına da olumlu etkisi vardır. Söz konusu durumu yansitan Şekil 4.106'dan anlaşılabileceği gibi sfero dökümde grafitlerin iç çentik etkisi kır dökümeye göre çok daha azdır. Bu nedenlerden ötürü başta çekme özellikleri olmak üzere mekanik davranış büyük ölçüde iyileşir.

Örneğin ısıl işlem görmemiş küresel grafitli dökme demirin çekme dayanımı perlitik olanlarda 700 N/mm^2 , kopma uzaması da ferrit ağırlıklı türler için $\%10$ dolayındadır. Gerilme-birim şekil değiştirme diyagramında Hooke kanununun geçerli olduğu doğrusal bir bölge bulunur. Dayanım değerine bağlı olarak elastiklik modülü 180000 N/mm^2 'ye ulaşabilir. Buna karşın sönümleme özelliği lamel grafitlinin yarısı kadardır.

*) Bu konudaki Türk standarı: TS 526 - Küresel Grafitli Dökme Demirler, Genel Esaslar



Şekil 4.106. Grafitlerin biçimine bağlı olarak gerilme çizgilerinin değişimi (şematik)

- a) Lamel grafitli dökme demir
- b) Küresel grafitli dökme demir

Küresel grafitli dökme demir *sıcak ve az da olsa soğuk* şekillendirilebilir. Yorulma zorlamaları yanında darbelere de dayanıklıdır. İyi döküm kabiliyeti ile birlikte yüksek dayanım ve yeterli tokluğu gerektiren parçalarda çoğu zaman temper ve hatta çelik dökümün yerini alır.

Sfero dökme demirin *taşaklı işlenme* özelliği iyi olup, eş sertlikteki kır dökme demirle yaklaşık aynıdır. Kaynak ve lehimleme ile ilgili davranışları da kır dökümünkine oldukça benzer. Aşınma, korozyon ve tufaillanmaya ise genellikle daha fazla direnç gösterir. Küresel grafitlerin yüzey alanları görece küçük olduğundan, yüksek sıcaklıklarda oksitlenme sonucu büyümeye çok azdır.

Sfero dökümün mekanik özelliklerini *ıslı işlemle* önemli ölçüde değiştirebilir (maliyet artışı!). Perlitik türlere uygulanabilecek ferritleme tavında, örneğin 700°C 'ta yeterli süre bekletip 600°C 'a yavaş soğutma ile, sementitten ayrısan karbon mevcut grafitlerin üzerine çökelir. Böylece yalnız ferrit ve küresel grafittenoluştugu için daha sünek (kopma uzaması $\sim 20\%$), ancak dayanımı azalmış olan bir iç yapı elde edilir.

İslah işlemi perlitik ana kütleyi temperlenmiş martenzite dönüştürerek, sfero dökme demirin çekme dayanımını 1000 N/mm^2 düzeyine yükseltir. Yüzey sertleştirme (alev/indüksiyon) yapılabılır.

Küresel grafitli ostenitik dökme demirlerin erozyon, ıslı şok, ıslı ve korozya karşı davranışları lamelli kalitelere benzer, mekanik özellikleri ise daha üstündür (DIN 1694).

Küresel grafitli dökme demirden küçük ve büyük her türlü döküm parça imal edilebilir (krank milleri, pistonlar, supaplar, ocak kapakları, soğuk bükülebilir borular, kalıplar ve merdaneler).

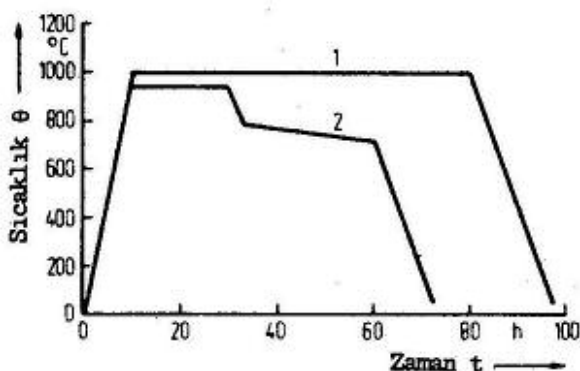
4.9.4. Temper Dökme Demir "GT" (DDT)

"Dövülebilir" döküm diye de anılan temper dökme demir (DIN 1692)*, karbon ve silisyum miktarının ayarlanmasıyla

* Bu konudaki Türk Standardı: TS 519-Temper Dökme Demirler, Genel Esaslar

grafitsiz olarak katılaştırılır. İlk aşamada elde edilen bu beyaz dökme demirin (DDB) veya diğer adıyla ham temper dökümün kendini çekmesi % 1...2 arasında değişir; yoğunluğu yaklaşık $7,4 \text{ gr/cm}^3$ tür. Yüzeyden uzaklaşıkça soğuma hızındaki azalmanın iç kısmında grafit lamellerinin oluşmasına yol açmaması için, temper dökümde en büyük et kalınlığı normal koşullarda 40 mm ile sınırlanmıştır. Aynı nedenle ve diğer döküm malzemelerinden farklı olarak, dökülen parçaların kütlesi de çoğunlukla 1 kg'ın altındadır.

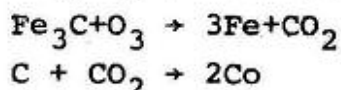
Beyaz dökme demir ancak bir ıslı işlem (*temperleme**) göründükten sonra temper dökme demir niteliği kazanır. Yeni iç yapıyı ham dökümün bileşimi ile ıslı işlemin yapıldığı ortam, sıcaklık ve süre belirler. Ayrıca bir parçanın her yanında benzer iç yapıya ulaşmak için, et kalınlığının mümkün olduğu kadar sabit tutulması gereklidir. Karbonu azaltılmış ve/veya meydana gelebilecek grafitin biçimini nedeniyle iç çentik et-kisi hafifletilmiş olan temper döküm, dayanım ve şekil değiştirmeye özellikleri bakımından kır döküm ile çelik döküm arasında yer alır. Kırık yüzeyi görünümüne göre, beyaz ve siyah diye ayırt edilen iki çeşidi vardır.



Şekil 4.107. Beyaz temper döküm (1) veya siyah temper döküm (2) elde etmek üzere uygulanan temperleme işleminin sıcaklık-zaman diyagramı (şematik)

4.9.4.1. Beyaz Temper Döküm "GTW" (DDTB)

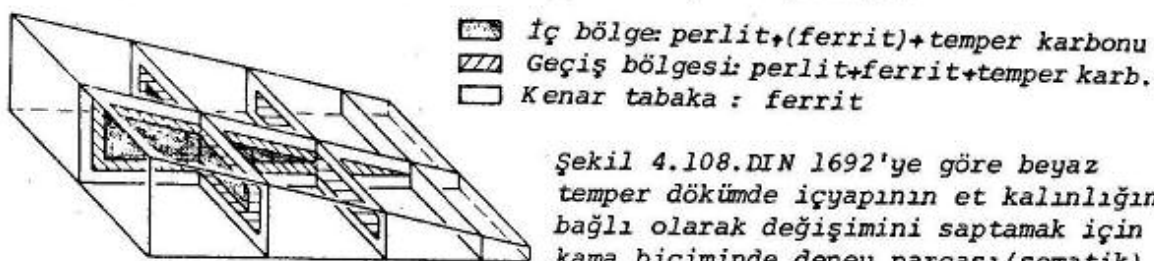
Toplamları %3,8'i aşmamak üzere bileşiminde %2,8...3,4 C ve %0,8...0,4 Si bulunan ham temper döküm yaklaşık 1000°C sıcaklığta 50 ilâ 80 saat süreyle (Şekil 4.107, eğri 1) ve hafif oksitleyici atmosferde temperlenir. Temel amaç malzemenin bağlı (Fe_3C) ve ostenitte çözülmüş karbonunu aşağıdaki reaksiyonlar yardımıyla yakarak azaltmaktadır:



Parça yüzeyindeki bu reaksiyonlardan sonuncusu, karbon atomlarının eksilenlerin yerine geçmek üzere içten yüzeye doğru yayılması ve karbon monoksidinin ortamdaki oksijen vericiler (örneğin Fe_2O_3 , su buharı) tarafından karbon dioksidge gevrilmesiyle devam eder. Ancak CO_2 miktarı işlem sırasında demiri oksitleyecek düzeye erişmemelidir. Uygulamada döküm parçaları, ya kapalı kaplarda cevher vb. demir oksitlerin uygun bilesimli karışımılarına gömülü veya kontrollu atmosfer altında çiplak durumda tavlanırlar. İkinci yöntemde gaz sızdırmaz olan fırının $\text{CO}:\text{CO}_2$ oranı ortama hava/su buharı katılarak ayarlanır.

*) Suverilmiş çeliği temperleme (menevişleme) ile, gevrekliği azaltma anlamına gelmekten başka bir benzerliği yoktur.

Temperlenen parçada karbonsuzlaşma, tav süresine göre ve ilk 2-3 mm de çok etkin olmak üzere genellikle en fazla 7 mm derinliğe kadar ilerler. Böylece 5-6 mm'den ince kesitlerde içyapı tümüyle ferritik ve grafitsizdir. Daha kalın parçalarda, ferritik tabakanın altındaki karbon azalması ikincil grafitleşmeyi engelleyecek düzeye ulaşmaz. Sementitin ısı etkisiyle ayırtılması nedeniyle serbest kalan karbon atomlarının eklenebileceği birincil grafitler bulunmadığından, oluşan grafit parçacıkları topaklanır (siyah temper dökümdeki gibi, bk. Şekil 4.109). Temper karbonu (grafiti) diye anılan bu topakların yuvalandığı ana kütle ferritik-perlitiktir; içeriye doğru gidildikçe tam perlitik yapıya dönüştür. Şekil 4.108 den de anlaşılacağı gibi, içyapının böyle bir değişim göstermesi sonucu, herhangi bir kesitteki faz oranları ve doyayısıyla mekanik özellikler kalınlığa bağlıdır.



DIN 1692'ye göre beyaz dökme demir GTW işaretine, 12 mm çapındaki işlenmemiş deney çubuklarında saptanmak koşuluyla, minimum çekme dayanımının sayısal değeri (kgf/mm^2) eklenerek sınıflandırılır. Öte yandan aynı standartta GTW-35'ten GTW-45'e kadar her sınıfın özellikleri verilirken, 9 ve 15 mm'lik çaplar da dikkate alınmıştır (Çizelge 4.21).

Çizelge 4.21-GTW-45 için minimum çekme dayanımı ve kopma uzamasının deney parçası çapı ile değişimi (DIN 1692, $l_o = 3d_o$)

d_o	mm	9	12	15
R_m	N/mm^2	400	450	480
A_3	%	10	7	4

Karbonu özel olarak kuvvetle azaltılmış GTW -S38 kalitesinde ön ısıtma gerekmeden birleştirme kaynağı yapılabılır (S harfi bu durumu belirtir). Diğer kaliterde ise kaynak bölgesindeki karbon derişikliğine göre hareket edilmelidir. Sert ve yumuşak lehimlemeyi bütün türlere uygulamak mümkündür.

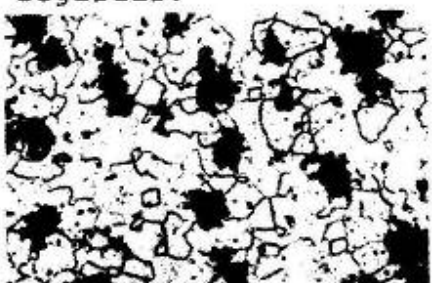
GTW'nin talaşlı işlenmesi, perlit miktarı yükseldikçe (kalın parçalarda) bir ölçüde zorlaşır. Ancak 700°C dolayında yumusatma tavi ile sementiti küreleştirmek (tanelli perlit), bu güçlük büyük çapta ortadan kaldırılabilir.

Beyaz temper döküm ürünleri çoğunlukla ince etlidir. Örneğin: anahtarlar, el aletleri, boru bağlama parçaları (fittingler), zincirler, kollar, vidalı işkenceler, manşonlar ve fren tamburları.

4.9.4.2. Siyah Temper Döküm "GTS" (DDTS)

Bu malzemenin ham dökümü, GTW için öngörülenden ortalamada %0,4 daha az karbon, %0,5...0,6 daha fazla silisyum içerir ve nötr ortamda temperlenir. Tav işlemi, eskiden döküm parçalar kapalı kaplarda kuvars kumu veya kır döküm talaşına gömülüerek yapılırken, günümüzde daha çok gaz sızdırmaz fırınların azotça zengin koruyucu atmosferi altında gerçekleşti- rilmektedir.

Temperleme sırasında iç yapı dönüsümü iki aşamada olur. Önce yaklaşık 950°C sıcaklıkta ledebürüt içindeki sementitten ostenit ve temper karbonu meydana gelir. Daha sonra 760°C- 680°C arasında saatte birkaç derece gibi yavaş soğuma ile ostenit de, ferrit ve temper karbonuna ayrılır. İşlem karbon-suzlaştırmayı amaçlamadığı ve ham (beyaz) dökümün bileşimi ikincil grafitleşmeyi miktarca artırmadan (C_{M}) kolaylaştıracak (Si_{M}) biçimde seçildiği için, süre beyaz temper döküme göre daha kısalıdır (Şekil 4.107, 2.eğri). Sonuçta GTW'den farklı olarak döküm parçasının tüm kesitinde temper karbonu içeren ferritik bir iç yapıya ulaşılır (Şekil 4.109). Dolayısıyla siyah temper dökümün mekanik özellikleri et kalınlığına bağlı değildir.



Şekil 4.109. Ferritik siyah temper dökümün iç yapısı (Koyu renkli grafit kümeleri: Temper karbonu)

Tav işleminin birinci aşamasını hızlı (havada) soğutma izlerse, ostenit büyük ölçüde perlite dönüşür. Böylece topluk ve aşınmaya dayanıklılık artar (perlitik siyah temper döküm= perlit + (ferrit) + temper karbonu).

Siyah temper dökümün kaynak davranışları kır ve sfero dökme demirinkine benzer. Buna karşın yumuşak ve sert (gümüş) lehimlemede pek sorun yaratmaz. Talaşlı işlenmeye GTW'den daha elverişlidir. Birinci temper aşaması sonunda çoğu kez doğrudan yağıda suverenip temperlenerek ıslah edilebilir. Yağ yerine havada soğutmadan sonra yapılacak yumusatma tavi ise, işlenmesi daha kolay olan bir ana kütle (lamelli yerine taneli perlit) meyda- na getirir. Perlitik türlerde alev ve indüksiyonla yüzey sertleştirme uygulanabilir.

DIN 1692'ye göre siyah temper döküm, GTS harflerine minimum çekme dayanımının sayısal değeri (kgf/mm^2) eklenerken sınıflandırılır. GTS-35'ten GTS-70'e kadar 5 farklı kalite söz konusudur. Bunlarda perlit miktarı giderek artar ve en yüksek kalite ıslah edilmiş bir iç yapıya (temperlenmiş martenzit+temper karbonu) sahiptir. Ancak dayanım iyileşikçe kopma uzamısının alt sınırı %10'dan %2'ye düşer.

Talaşlı işlenecek kalın etli siyah temper dökümlerde ferritik iç yapı tercih edilir. Perlitik olanlar ise aşınmaya dayanıklılık ile topluğun birlikte istediği yerlerde kullanılır: tahrik sistemi parçaları, pistonlar, transport zinciri elemanları ve dişli çarklar.

Yararlanılabilecek Diğer Kaynaklar

BICKEL, E.: *Die metallischen Werkstoffe des Maschinenbaues*,
Springer-Verlag, Berlin

ECKSTEIN, H.-J.: *Wärmebehandlung von Stahl*, VEB Deutscher Verlag
für Grundstoffindustrie, Leipzig

ECKSTEIN, H.-J.: *Werkstoffkunde Stahl und Eisen, Band I und II*,
VEB Deutscher Verlag für Grundstoffindustrie, Leipzig

Gusseisenhandbuch, Giesserei-Verlag, Düsseldorf

GUY, A.G.: *Metallkunde für Ingenieure*, bearbeitet von G.Petzow,
Akademische Verlagsgesellschaft, Frankfurt/Main

HORNBÖGEN, E.: *Werkstoffe*, Springer-Verlag, Berlin

HOUDREMONT, E.: *Handbuch der Sonderstahlkunde*, Springer-Verlag,
Berlin

PIWOWARSKY, E.: *Hochwertiger Gusseisen*, Springer-Verlag, Berlin

RAPATZ, F.: *Die Edelstähle*, Springer-Verlag, Berlin

RÖHRIG / WOLTERS: *Legiertes Gusseisen*, Giesserei Verlag, Düsseldorf

ROESCH/ZIMMERMANN: *Stahlguss*, Verlag Stahleisen, Düsseldorf

SCHATT, W.: *Einführung in die Werkstoffwissenschaft*, VEB Deutscher
Verlag für Grundstoffindustrie, Leipzig

SCHUMANN, H.: *Metallographie*, VEB Deutscher Verlag für Grund-
stoffindustrie, Leipzig

STÜDEMANN, H.: *Wärmebehandlung von Stahl, Gusseisen und Nichteisen-
metallen*, Hanser Verlag, München

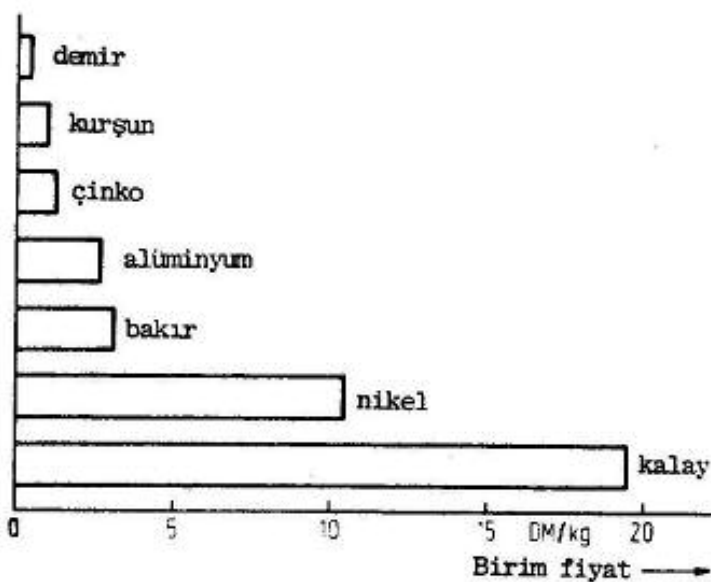
WEVER, F., ROSE, A., PETER, W., STRASSBURG, W., RADEMACHER, U.L.:
Atlas zur Wärmebehandlung der Stähle, Verlag Stahleisen, Düs-
seldorf

Werkstoff-Handbuch Stahl und Eisen, Hrsg. Verein Deutscher Eisen-
hüttenleute, Verlag Stahleisen, Düsseldorf

WIRTZ, H.: *Verhalten der Stähle beim Schweißen, Band I: Grundlagen,
Band II: Anwendung*, Deutscher Verlag für Schweißtechnik (DVS)
GmbH, Düsseldorf

5. DEMİR DİSİ METALLER

Demir dışı metaller miktarca daha az kullanılmakla birlikte, teknik ve ekonomik bakımdan demir esaslı malzemeler kadar önemlidirler. Federal Almanya'da yılda yaklaşık 40 milyon ton demir ve çeliğe karşılık, toplam 3 milyon ton dolayında bakır, alüminyum, kurşun, çinko, nikel ve kalay tüketilir. Ancak bu metallerin aralarında da oldukça farklılık gösteren birim fiyatları demirinkine göre çok yüksektir (Şekil 5.1). Ayrıca zaman zaman ortaya çıkan darboğazlardan ötürü bu değerlerde büyük dalgalanmalar görülebilir.



Şekil 5.1- Bazı önemli metallerin birim fiyatları (1977 yılı için)

rılması, öncelikle ekonomik nedenlerin zorlamasıyla devam etmektedir.

5.1. Demirdışı Metal ve Alaşımların Standart Gösterilişleri

Malzemelerin standart gösterilişinde işaret veya numaraların yararlanılır. Her iki sistemde de üretim türünü, davranışım durumunu, öngörülen kullanım yerini belirten özel işaret ve ek sayılar kullanılabilir.

5.1.1. Malzeme İşaretleri (DIN 1700)

Metal ve alaşımlar için kullanılan işaretler genel olarak üç bölümden oluşur:

- I- Üretim veya kullanım için tanıtma harfleri,
- II-Kimyasal bileşimi belirten simbol ve sayılar,
- III-Malzeme durumu için tanıtma harf ve sayıları.

Aşağıda her bölüm için örnekler verilmiştir.

(I)

- G- : döküm (genel) (D)
GD- : basınçlı döküm (DB)
GK- : kokil döküm (DK)
GZ- : savurma döküm (DS)
V- : ön合金
Lg : kaymalı yatak malzemesi
L- : lehim malzemesi
S- : kaynak ilâve malzemesi

(II)

Pb99,99 = katışkısı en çok %0,01 olan has kurşun,

Pb99,9 = katışkısı en çok %0,1 olan izabe kurşunu (DIN 1719).

Alaşımalar önemli bileşenlerinin sembollerini ardarda yazılarak gösterilir ve varsa özel adlarıyla da anılırlar:

CuZn = bakır-çinko合金 (pirinç).

Kimyasal bileşimi daha ayrıntılı belirtmek üzere,合金 elementi'nin ortalama ağırlık yüzdesi tam sayı olarak kendi sembolüne eklenir:

CuNi25 = yaklaşık %25 Ni içeren bakır-nikel合金 (DIN 17664).

Ancak bir bileşenin miktarı %2'den daha az ise gerekiğinde ondalık sayılar kullanılabilir:

CuBe 1,7 = yaklaşık % 1,7 berilyumlu bakır (DIN 17666).

Öte yandan çoğunlukla küçük miktarlar için sadece kimyasal sembolün yazılması da mümkündür:

CuNi3Si = yaklaşık %3 Ni içeren ve %1 dolayında Si katılımında bakır-nikel合金 (DIN 17666).

Özel durumlarda yalnız ana elementin ağırlık yüzdesi verilebilir:

L-Sn60PbAg=bileşiminde yaklaşık %60 Sn, %3-4 Ag bulunan ve kalanı kurşun olan kalay-kurşun lehim (DIN 1707), veya

LgSn80=yaklaşık %80 Sn, %5-7 Cu, %11-13 Sb ve %1-3 Pb içeren yatak合金 (DIN 1703).

Öncelikle bu tür işaretlerde olmak üzere, bileşime ait kesin bilgi için ilgili standarda baş vurulması gereklidir.

(III)

Malzeme durumu, genellikle soğuk şekil verilerek veya ıslık işlem uygulanarak değiştirilebilen dayanım, sertlik, tane büyülüğu gibi özellikler yardımıyla belirtilir:

- CuZn38Pbl, 5F34 = Gösterilen bileşimde ve en az çekme dayanımı (F) 34 kgf/mm^2 olan kurşunlu pırınc (DIN 17660; DIN 17670, Tl.1),
- CuNi18Zn20FB370 = Gösterilen bileşimde ve yay eğme (FB) sınırı en az 370 N/mm^2 olan nikel gümüşü (DIN 1780; DIN 17663),
- CuSn4H100 = Gösterilen bileşimde ve Vickers sertliği (H) en az 100 olan kalay bronzu (DIN 17662; DIN 17670, Tl.1),
- CuZn30K10 = Gösterilen bileşimde ve tane büyülüğu (K) ortalama $10 \mu\text{m}$ olan pırınc (DIN 17660; DIN 17670, Tl.1).

Demirdışı metallerin işaretlerinde DIN 1700'deki sistematikin dışına çıkan haller de vardır:

- E-Cu58 = Öncelikle elektrik (E) iletimi için öngörülen ve iletkenliği en az $58 \text{ m}/\Omega.\text{mm}^2$ olan bakır (DIN 1787),
- H-Ni99 = $\text{Co} \leq 1,5$ olmak üzere en az %99 Ni+Co içeren izabe (H) nikeli (DIN 1701),
- Al99,5H = Katışımı en çok %0,5 olan izabe (H) alüminyum (DIN 1712, Tl.1),
- R-Pb = %0,75-1,25 Sb ve %0,02-0,05 As içeren boru (R) kurşunu (DIN 17641).

5.1.2. Malzemelerin Numaralarla Gösterilişi (DIN 17007)

Demirdışı metal malzemelerin numaraları da demir esaslı malzemelerinkine benzer şekilde oluşturulur (bk.4.7.6). Bu numaralar demir dışı metaller teknik standart komisyonu tarafından, demir-çelik komisyonunun görüşü alınarak saptanır ve DIN 17007'nin ek bölümlerinde yayınlanırlar.

Numaralama sistemiğinin ve dolayısıyla başlıca özelliklerin standarta başvurmadan hatırlanması daha güç olduğundan, demirdışı metallerde çoğunlukla malzeme işaretleri tercih edilir. Ancak tasarım, üretim ve yönetimde elektronik bilgi üzerinden yararlanılıyorsa, malzeme numaralarının kullanılması kolaylık sağlar.

5.2. Bakır ve Bakır Alaşımları

Bakır ve bronz insanların ilk kullandıkları metal malzemelerdir. Bakırdan daha yüksek dayanıklı olan bronzun İ.Ö.2500 yıllarında üretilmesiyle, günlük kullanım araçlarında metal malzemelerin üstün topluk özelliklerinden tam anlamıyla yararlanılmaya başlanmıştır. Dolayısıyla Bronz Çağı uygarlık tarihinde önemli bir aşamayı temsil eder.

*Çizelge 5.1-Bakırın fiziksel ve
mekanik özellikleri*

Yoğunluk	g/cm^3	8,90 ... 8,96
Erime sıcaklığı	$^{\circ}\text{C}$	1083
Elastiklik modülü	N/mm^2	125 000
Genleşme katsayısı	$10^{-6}/\text{K}$	17
Elektrik iletkenliği	$\text{m}/(\Omega \text{ mm}^2)$	35 ... 58
İşıl iletkenlik	$\text{W}/(\text{Km})$	240 ... 386
Çekme dayanımı ¹	N/mm^2	200 ... 360
Kopma uzaması ¹	%	45 ... 2

¹Gördüğü işleme bağlı olarak (DIN 40500)

5.2.1. Bakırın Elde Edilmesi

Bakır 1083°C sıcaklıkta eriyen bir ağır metaldir. Çoğunlukla sülür esaslı olan bakır cevherleri ön zenginleştirme işleminden sonra eritilerek, mat veya bakır taşı denilen bir arasıne dönüştürülür. Sıvı haldeki mat'a konverterde SiO_2 katılıp hava üflenmesi sonucu, FeSiO_3 olarak cürüfa geçen demir ve yanın kükürt büyük ölçüde azalır. Böylece demir, nikel, arsenik, kükürt ve asal metaller gibi katışıkları %2 dolayına indirilmiş *blister bakır* elde edilir.

Bu ham bakırın gerektiğinde bakır hurdası ile birlikte alev ocağında eritilmesi, katışıkların bir bölümünün daha oksitlenerek cürüfta toplanmasını sağlar (ateşte arıtma). Öte yandan meydana gelen Cu_2O , iç yapısında fazlaca bulunursa sünekliği düşüreceğinden, banyoya çoğu kez yaş ağaç gövdeleri daldırılarak çıkan gazlar (H_2, CO) yardımıyla *indirgenir* (kavaklama*). Ancak eriyikte oksijen azalırken çözünən hidrojen miktarı arttığı için, oksijen tümyle giderilmenden döküm yapılrsa (*tok bakır*, O: %0,005-0,04), katılışma sırasında serbest kalan gazların yarıttığı gözenek hacmi (bk.2.1.5) sadece metalin kendini çekmesini deneleyecek kadar olur. Böylece üst düzeyi düzlemsel biçimde katılmış, yani lunker oluşumu (bk.2.2.3) önlenmiş yüksek verimli ingot elde edilir. Ateşte arıtılmış tok bakır elektroteknik kaliteye erişebilir, örneğin DIN 1708'e göre E2-Cu58 (Cu: %99,9 ve O: %0,005-0,04). Bununla birlikte söz konusu yöntemin uygulanmasını anot bakırı (Cu: %99,4-99,8) üretimiyle sınırlayıp, bu noktadan sonra elektrolitik arıtma geçilmesi yoğunlukla daha ekonomiktir.

Sülfirik asitli bakır sülfat çözeltisi kullanılan elektrolizde, anodun bileşimindeki bakır ve normal potansiyelleri daha düşük metaller (bk.1.8.1.2) elektrolitte çözünür; bakır bileşikleri ile birlikte anot çamuru olarak dipté toplanan asal metaller ise ayrıca değerlendirilir. Elektroliz işlemi ideal koşullarda gerçekleştirilirse, çözeltiden ayrılp katot levhasına biriken bakırın saflığı %99,99'a ulaşır. Bu katot bakırı (KE-Cu) ingot veya değişik şekilli parçalara dönüştür-

19.yüzyılın sonuna doğru elektroteknığın gelişmesi, elektriği çok iyi iletten saf bakırda duyulan gereksinmeyi giderek artırmıştır. Öte yandan bu tür bakır daha çok elektrolitik arıtma, yani elektrik enerjisi yardımıyla elde edildiğinden, elektroteknik ve bakır üretimi birbirlerini karşılıklı destekleyerek gelişmişlerdir.

*) Öncelikle kavak ağıacı kullanılır.

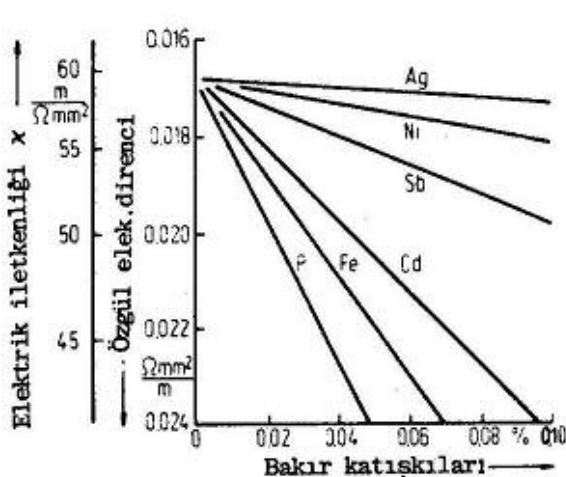
türülmek üzere, bazen çok yüksek iletkenlikte hurda da katılarak, eritilip kalıba dökülür. Böylece elektrolitik tok bakır (El-Cu58) veya eritme özel atmosferde yapılmışsa, ayrıca indirgemeye gerek kalmadan oksijensiz bakır (OF-Cu) elde edilir (DIN 1708).

Üretilen bakırın yaklaşık %70'i iletken yarı mamul yapımı için kullanılır ve piyasaya en çok tel çekme işleminin başlangıç malzemesi olan tel kütüğü (wire bar) halinde sunulur.

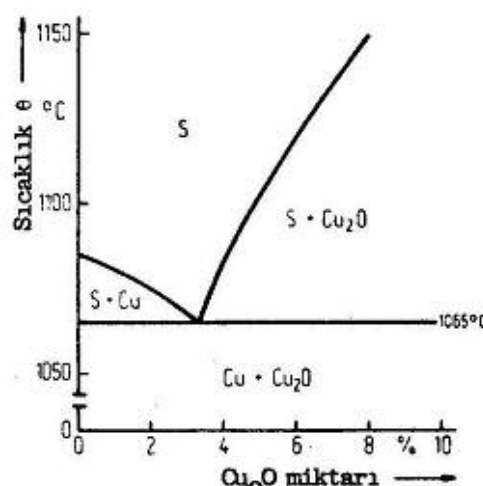
5.2.2. Saf Bakır

Katışıkları öngörülen düzeye kadar azaltılmış, ancak bu durumda özelleşmeyi değiştirmek amacıyla, herhangi bir alaşımlandırma işlemi görmemiş olan bakır türleri *saf* veya *katıksız* diye nitelenir.

Bakırın başta gelen teknik özelliği, gümüşten sonra en iyi elektrik iletkenliğine sahip olmasıdır. Ancak kristal kafesi içinde yabancı atomların varlığı elektrik alanını bozarak elektronların hareketini engellediği için (bk.1.2.1.1), katışıklar arasında öncelikle katı çözelti oluşturanlar iletkenliği önemli oranda düşürür (Şekil 5.2). Örneğin en etkin oksit gi-



Şekil 5.2-Bakırın elektrik iletkenliğine bazı katışıkların etkisi



Şekil 5.3- Bakır-bakır oksit faz diyagramı(HEYN'e göre)

dericilerden biri olan fosfor bu açıdan sakınca yaratır. Öte yandan katı durumda bakır kafesi içinde çözünemeyen elementlerin elektrik iletkenliğine etkisi hemen hemen yok gibidir. Bunlara örnek olarak, metalin elde edilmesi sırasında yapıda kalan (Şekil 5.3) ve ayrıca birleştiği katışıkları katı çözeltiden ayırarak bir ölçüde olumlu rol oynayan oksijen ile, taş kalındırılmasını kolaylaştırın kurşun ve tellür gösterilebilir.

Her ikisi de metallerde elektronların serbest hareketiyle ilgili olduğundan, WIEDEMANN-FRANZ kanununa göre ısı ve elektrik iletkenliği birbiriley orantılıdır (bk.1.2.1.2). Dolayısıyla ısı iletkenliği de iyi olan bakır, ısı değiştirgeci, lehim havyası, alkol damıtma kazanı vb. yerlerde kullanılır.

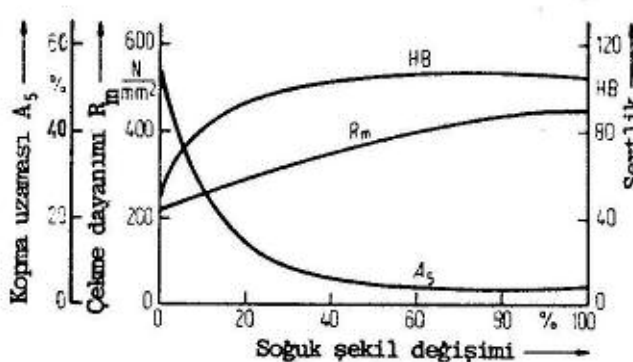
İsi değiştirgeçleri için seçilen bakırın çok şaf olması genellikle gerekmez. Çünkü yüzeylerde oksit ve kısır oluşması iletimi zaten oldukça engeller.

Çizelge 5.2-Katkısız bakır türleri için örnekler

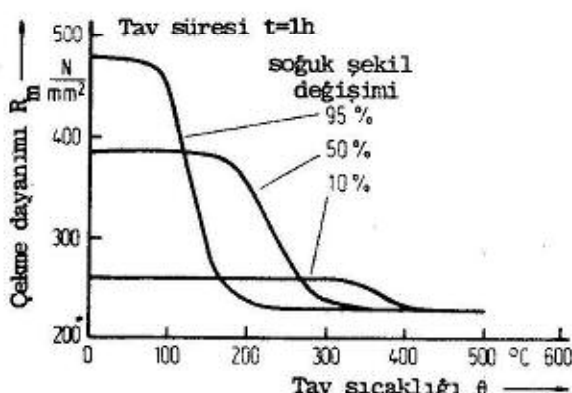
İsareti DIN 1708	Bileşimi %	İsi iletkenliği $\frac{W}{Km}$	Elektrik iletkenliği $\frac{m}{\Omega \text{ mm}^2}$	Özellikleri ve kullanım yeri
KE-Cu	$Cu \geq 99,90$	-	-	Yüksek iletkenlikli bakır yarı mamulleri ve alaşımlarını üretmek için katot bakırı
E1-Cu 58	$Cu \geq 99,90$ oksijen 0,005...0,040	386	en az 58	Yüksek iletkenlikli elektrolitik tok bakır
E-Cu 57	$Cu \geq 99,90$ oksijen 0,005...0,040	386	en az 57	Yüksek iletkenlikli tok bakır
OF-Cu	$Cu \geq 99,95$	386	en az 58	Yüksek iletkenlikli oksijensiz bakır. Vakumda buharlaşan elementlerden büyük ölçüde aranmış. Hidrojene karşı çok duyarsız
SF-Cu	$Cu \geq 99,90$ P. 0,015 ... 0,040	240 ... 360	35 ... 53	Fosfor katılarak oksidi giderilmiş ve artık fosfor miktarı sınırlı rılmış bakır. Elektrik iletkenliğinin önemli olmadığı durumlarda kullanılır. Kaynak ve lehim kabiliyeti çok iyi. Hidrojene karşı duyarsız

Çizelge 5.2'de bazi önemli bakır türlerinin ısı ve elektrik iletkenliği ile bileşimleri verilmiştir. Bakır ymk-kafesinden ötürü sünek ve düşük dayanıklı olduğundan, plastik şekillendirme yoluyla bant, boru, tel, profil ve kap kacak haline kolayca getirilebilir. Fazla pekleşmemesi nedeniyle, uygulanan yöntemde göre %95'e kadar varan oranlarda, ara tavsız soğuk şekil değiştirmesi mümkünür (Şekil 5.4). Yeniden kristalleşmesi alçak sıcaklıklarda gerçekleşir (Şekil 5.5). Katkısız bakırın dayanımı çözünmüş katışıkların miktarına bağlı olup, saf durumda en küçütür. Öte yandan işletme sıcaklığının 100-150°C'a ulaşması bile sürünme sınırının hızla azalmasına yol açar (Şekil 5.6). Öncelikle büyük elektrik makinalarında önem kazanan bu davranış nedeniyle, sıcaklık dayanımı daha yüksek olan özel katkılı türler geliştirilmiştir (bk. 5.2.3). Oksijen içeren bakır türlerinin iç yapısında bulunan Cu_2O kalıntıları (Şekil 5.7) iç çentik etkisi yarattığından, yorulma zorlamasının söz konusu olduğu hallerde oksijensiz kaliteler seçilmeli dir.

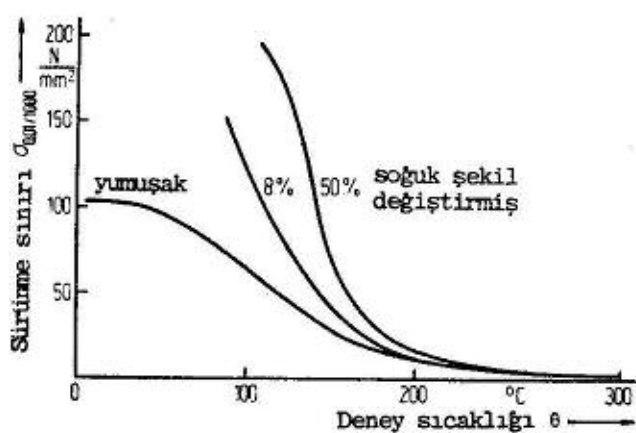
İsi iletkenliğinin yüksek olması nedeniyle bakırın kaynağı güçtür; birleştirilecek bölgenin eritilmesi için verilen ısıının büyük bir bölümü parçaya dağılır. Öte yandan gaz kaynağına sadece oksijeni giderilmiş türler elverişlidir. Oksijen içeren bakır, kaynak gazlarında veya örneğin ıslık işleminin yapıldığı



Şekil 5.4-Soğuk şekil vermenin elektrokimyasal etkisi
bakırın çekme dayanımı, kopma uzaması ve Brinell sertliğine etkisi



Şekil 5.5-Soğuk şekil değiştirilmiş bakırın ziklizil ile yumuşaması (yeniden kristalleştirme tava)



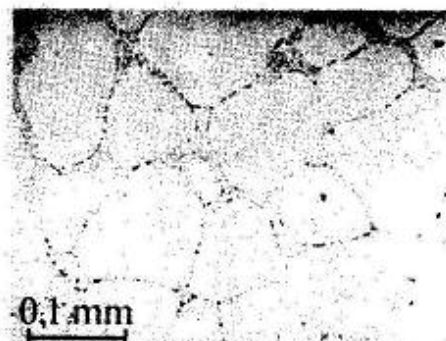
Şekil 5.6- SE-bakırının sürünme davranışını
(Cu>99,90 ; P< 0,003)

koruyucu atmosferde bulunabilecek hidrojenin etkisiyle hasara uğrar. Hidrojen hastalığı denilen bu olay, yüksek sıcaklıkta kolayca çözünen atomsal hidrojenin rastladığı bakır oksit parçacıklarıyla su buharı oluşturmadan ileri gelir:



Yerel olarak birkaç bin bar düzeyine ulaşan buhar basıncı malzemede gözenek ve ayrılmalara neden olur. Sözü edilen iç yapı hasarı çoğunlukla Cu-Cu₂O ötekiğinin bulunduğu tane sınırlarında görülür (Şekil 5.8). Böylece dayanımını ve seneğini yitiren parçanın hurdaya ayrılması zorundadır.

Bakır asetilenle patlayıcı bileşik yapar. Asitlerin özellikle oksitleyici olanlarına karşı dayanıksızdır. Nötr veya bireysel sulu çözeltilerde ise kimyasal kararlılığı iyidir. Bu nedenle örneğin saboruları, bira fabrikalarının kaynatma kazanları gibi yerlerde kullanılabilir. Ancak organik asitli yiyecek ve içecekleri (meyve suyu, şarap) hazırlama ya da depolama donatımları için uygun bir malzeme değildir; zehirli bakır yeşili (bakır asetat) oluşturur. Damlar, oluklar vb. açık havadaki kullanımında meydana gelen bakır pası, yani bazik bakır karbonat tabakası korozyonun ilerlemesini engeller.



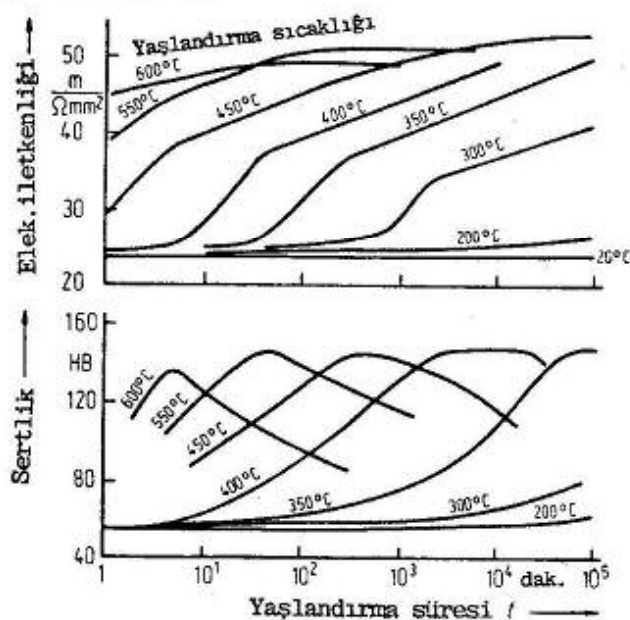
Şekil 5.7-Tane sınırlarında Cu-Cu₂O ötekiği bulunan bakırın iç yapısı



Şekil 5.8- Oksijen içeren bakırın hidrojenli atmosferde tavlanmasıından sonra iç yapısı (hidrojen hastalığı)

5.2.3. Katkılı Bakır

Bakırın yüksek sıcaklık dayanımı, talaşlı işlenme kabiliyeti gibi özelliklerini iyileştirmek amacıyla, temel karakterini değiştirmeyecek oranda (<5%)合金添加ıyla elde edilen malzemeler katkılı (*aliaşımlı*) bakır adı altında toplanabilir. Alaşım elementleri bakır kafesinde çözünerek veya gerektiğinde yeni fazlar meydana getirerek dayanımı artırır; bunlardan örneğin Cr, Zr, Be ise alaşımın ayrıca çökelme yoluya sertleştirilebilmesini sağlarlar (DIN 17666). Katı çözelti oluşumunun elektrik iletkenliğini düşürmesine karşın, çökelme sertleştirmesinde uygun yaşlandırma koşulları seçilerek iletkenlik ve dayanım değerleri birlikte yükseltilebilir (Şekil 5.9).



Şekil 5.9- Yaklaşık %1 kromlu Bakırda iletkenlik ve sertliğin ıslık işlem koşullarına bağlılığı

Bazı uygulamalarda bakırın yüksek sıcaklıktaki sürünme davranışının yanında, banyo veya fırında lehimleme gibi işlemler açısından temper kararlılığı da önemlidir. Malzemenin temper kararlılığı, sertlik veya çekme dayanımında %10'dan fazla düşüş olmadan, belirli bir süre tutulabileceği sıcaklık ile tanımlanır. Böylece yapımı veya çalışması sırasında ısı etkisiyle karşılaşan yarı iletken devre taşıyıcısı, otomobil radyatörü, elektrik motoru komütatör lameli, direnç kaynağı elektrod vb. parçalarda kullanılabilen katkılı bakır türleri Çizelge 5.3'te verilmiştir.

Çizelge 5.3-Katkılı bakır türleri için örnekler

İşareti	DIN 17666'ya göre alaşım elementleri %	Elektrik İletkenliği % IACS ¹	Çekme Dayanımı ² N/mm ²	Temper kararlılığı üst sınırı °C	Çökelme yo- luya sert- leşebilme
CuFe2P	Fe:2,1-2,6; P:0,015-0,15	~ 60	300-490	350	-
CuAg 0,1	Ag:0,08-0,12	min. 95	250-360	350	-
CuCrZr	Cr:0,3-1,2 Zr:0,03-0,3	min. 75	330-490	500	+
CuZr	Zr:0,1-0,3	min. 85	350	500	+

¹ Uluslararası bakır iletken standartı, % 100 IACS=58 m/Ω.mm²

² Soğuk şekil değiştirme ve ısıl işlem durumuna bağlı minimum değerler

DIN 17666 da yer alan diğer alaşımalar arasında, çökelme sertleştirimi görmüş yaklaşık %2 berilyumlu bakırda(CuBe2) öncelikle yay imalinde yararlanılır. Sıvı bakırda %0,5 dolayında çözünebilen, ancak katılışma sırasında ayrışarak içyapıya ayrı faz halinde dağılan tellür ise talaş kaldırımı kolaylaştırır. Örneğin bileşiminde %0,4-0,7 Te ve %0,003-0,012 P bulunan CuTeP, elektrik iletkenliği çok yüksek, kaynak ve sert lehimlemeye elverişli bir otomat malzemesidir.

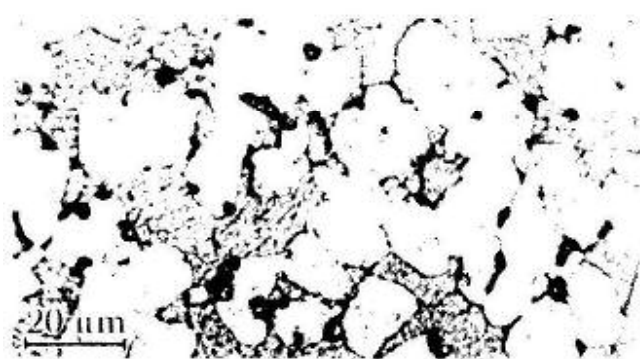
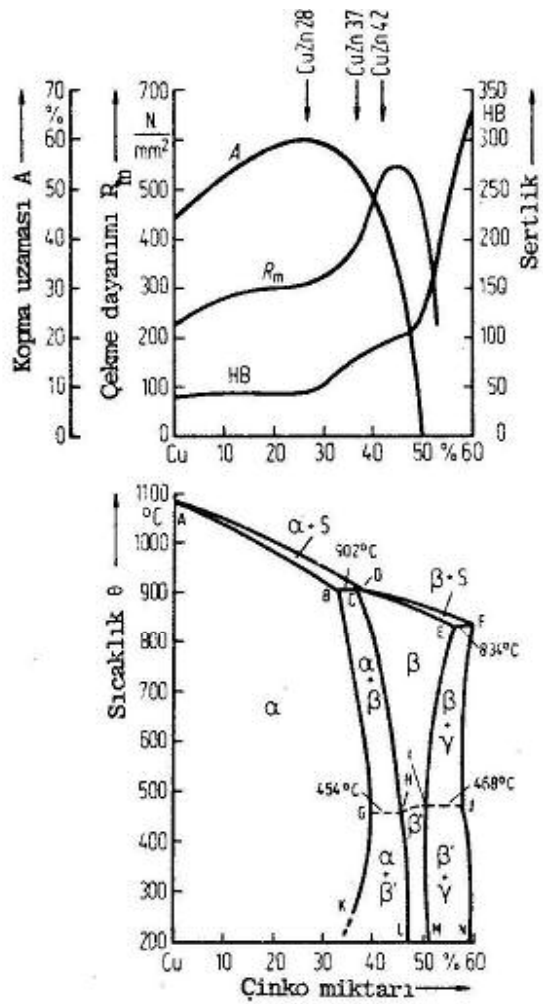
5.2.4. Pirinç ve Nikel Gümüşü

Pirinçler bakır-çinko alaşımalarıdır (DIN 17660)*. Bakır'a göre dayanımlarının yüksekliği katı çözelti oluşumundan ileyi gelir. Şekil 5.10 pirinçlerde çekme dayanımı, Brinell sertliği ve kopma uzamasının çinko miktarı ile değişimini göstermektedir.

Yaklaşık %37'den daha az çinko içeren bakır-çinko alaşımaları tek fazlı olup, α -pirinci adını alırlar (Şekil 5.10). Bakırın ymk kristal yapısına sahip olduklarından, α -pirinçleri her türlü plastik şekil verilmeye elverişlidirler. Sünekliği maksimum olan CuZn28 alaşımı aşırı oranda derin çekilecek parçalar için tercih edilir. En önemli uygulanma alanından ötürü kovan (kartuş) pirinci diye anılan bu malzeme, ayrıca çakmak haznesi, ruj tüpü, radyatör kapağı vb. yerlerde de kullanılır.

Denge diyagramına göre α -pirinci olması gereken CuZn37'nin iç yapısında, küçük miktarda bile β -fazı bulunursa soğuk şekil değiştirme kabiliyeti azalır. Pratikte bu denge dışı durum, söz konusu alaşım örneğin ara tav amacıyla $\alpha+\beta$ alanına ısıtılırsa, oda sıcaklığına soğutmanın yeterince yavaş yapılmaması sonucu ortaya çıkar.

*) Anılan standartta dövme (biçimlenebilen) Cu-Zn alaşımlarının bileşimleri verilmektedir. Özellikle "dökme" veya "döküm" sözcüğü ile nitelenmedikleri sürece, alaşımların "dövme" olduğu kabul edilebilir (bk.Cilt I, s.22).



Şekil 5.11. Kurşun katılmış ($\alpha+\beta$)-pirincinin iç yapısı: açık renkli taneler α , koyular β , siyah noktalar kurşun

Şekil 5.10. Cu-Zn faz diyagramı (REYNOR'a göre)
Soğuk şekil değiş-
tirmemiş(veya tavlan-
mış)pirinçler için
mekanik özelliklerin
çinko miktarıyla de-
ğişimi

Çinko miktarı %37'yi aşar-
sa her zaman ($\alpha+\beta$)-pirinci
elde edilir (Şekil 5.11). İç-
yapıda hmk β -fazının varlığı
dayanım ve sertliği yükseltirken,
sünekliğin de birden
düşmesine yol açar (Şekil 5.10).
Böylece soğuk şekillendirme-
nin güçleşmesine karşın, talaş
kaldırma kolaylaşır. Kısa ta-
laş verme özelliğini daha da
geliştirmek için pirinçe %2
dolayında kurşun katılabilir.
Talaşlı işlenmeye elverişli-
lik bakımından, sadece bazı
alüminyum alaşımları CuZn40Pb2'den
daha üstündür. Ince mekanik,
saat endüstrisi ve tornalama
yoluyla seri üretimde, örneğin
tükenmez kalem ucu yapımında,
öncelikle kurşunlu pirinçler
seçilir.

Renk, pirinçin bakır mik-
tarı için güvenilir bir
göstergesi değildir. 5-15 gibi
düşük çinkolu tombak ala-
şımlarının rengi altın
kızılı ile altınsarı-
sı arasında değişir. CuZn28
sarımsı yeşil, CuZn37 koyu
sarıdır. %40..42 çinkolu
 $\alpha+\beta$ pirinçlerinin rengi
ise yeniden kırmızılaşır.

Nikel gümüşü (Alman
gümüşü) bakır-nikel-çinko
alaşımının genel adıdır.
(DIN 17663). Nikelin etki-
siyle gümüse benzer bir
renk alan bu malzemelerin
kararmaya dayanıklılığı
pirinçden daha iyidir.

Kurşun katılmamış olanları zayıf akım röle yayları, gümüş kaplı çatal-bıçak takımları; kurşunlu türleri de optik aletler, pergel takımları gibi yerlerde kullanılır.

Pirinç ve nikel gümüşü gerilme korozyonuna duyarlı malzemelerdir (bk.1.8.3.2). Bulundukları ortamda örneğin yanma gazlarından gelebilecek çok az miktarda bile amonyak ve nem varsa, dış veya iç gerilmelerin belirli bir düzeye erişmesi halinde çatlayarak hasara uğrarlar (Şekil 5.12). Şekillendiği parçadaki iç gerilmelerin böyle bir olaya yol açıp açmayıcağını saptamak için, DIN 50911'de tanımlanan cıva nitrat deneyinden yararlanılır. Gerilme korozyonu çatlamasına eğilimli parçalara $2000^{\circ}\dots 3000^{\circ}\text{C}$ arasında gerilme giderme tava uygulanmalıdır.



Şekil 5.12.CuZn20Al'den yapılmış bir boruda gerilme korozyonu çatlakları

ortaya çıkan bu korozyon türü, $\alpha + \beta$ pirinçlerinde daha az asal olan β fazını öncelikle etkiler.

Özel pirinçler korozyon dayanıklılığı veya diğer özellikleri ek alaşım elementleri (Ni,Sn,Al,Si,Mn) ile geliştirilmiş Cu-Zn alaşımalarıdır. Örneğin çinkosuzlaşmaya karşı $\pm 0,020$ ile $0,035$ arsenik katılmış CuZn20Al2 ve CuZn28Sn1 (gemici pirinci) alaşımaları en başta gemi kondenserlerinin yapımında kullanılır.

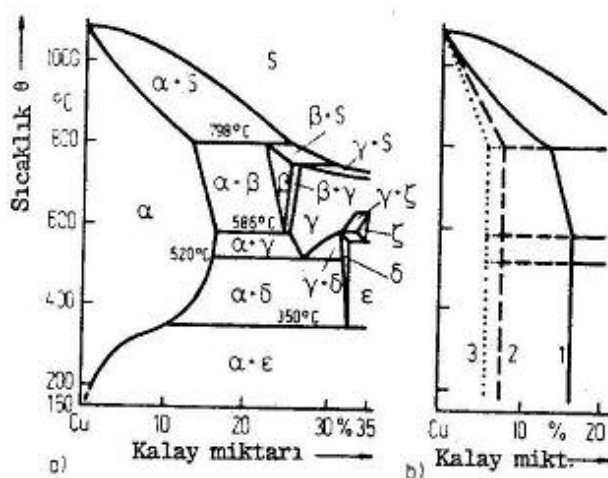
Dökme ve özel dökme pirinçler DIN 1709'da standartlaştırılmıştır. Bu alaşımaların öncelikle $\alpha + \beta$ türünden seçilmesi, dayanımı yükseltmek yanında erime sıcaklığını düşürmek ve katılma aralığını küçülterek mikrosegregasyonu önlemek amacıyla yöneliktedir (bk.Şekil 2.14).

Bileşimlerindeki $\pm 40\dots 43$ çinko ve olası kalay, mangan katıları nedeniyle döküm alaşımlarına benzeyen lehim pirinçleri, bakır esaslı malzemelerin (kaynağı) ve çeliklerin sert lehimlenmesi için kullanılırlar. Lehimlenecek çelikte iç gerilimlerin bulunması, erimiş pirincin tane sınırları boyunca çelik iç yapısına girmesiyle, lehim kırılganlığı denilen çatlamatara yol açabilir.

Erime sıcaklıklarının çok yüksek olmamasından dolayı, bakır alaşımaları sıvı veya katı yakıtlı pota ocaklarında eritilebilir. Ancak özellikle sıvı yakıtlı çalışmada, yanma gazlarından gelerek eriyikte çözünen hidrojenin önemli miktarlara ulaşabileceğini göz önünde tutulmalıdır. Fazla gaz kapmış bir eriyikte katılma aralığı ve yapısal aşırı soğuma ne kadar büyüğe (örneğin kalay bronzları), dökülen parçada boşluk ve gözenek oluşma tehlikesi de o kadar artar. Bu gibi sorunların çözümünde elektrikli eritme ocaklarının kullanımı büyük ölçüde yardımcı olur.

5.2.5. Bronzlar

Geleneksel bronzlar bakır-kalay合金alarıdır. Kalay bronzu veya çoğu kez fosforla oksit giderme işlemi gördüklerinden fosfor bronzu diye de anılırlar. Pirinçlere göre dayanım, korozyon direnci, aşınma ve kaymamı yatak özellikleri bakımından genellikle üstün, fakat daha pahalıdır. Şekil 5.13 a'-daki Cu-Sn denge diyagramının $\alpha+\delta$ alanı, $\delta+\alpha+\epsilon$ reaksiyonunun çok yavaş gerçekleşmesi nedeniyle, uygulamada oda sıcaklığına kadar uzanır. Ayrıca aşırı geniş katılışma aralığının yol açtığı kuvvetli mikrosegregasyon sonucu α alanı da küçülür (Şekil 5.13 b, 2 ve 3 numaralı çizgiler). Buna karşın döküm veya sıcak şekil vermeden sonra yapılacak uzun süreli homojenleştirme tayı, kalay miktarı en çok % 15 dolyına kadar olan合金alarında denge dışı oluşmuş δ fazını ortadan kaldırabilir (Şekil 5.13 b, 1 numaralı çizgi). Ancak bu ıslık işleminin, α tanelerindeki kalay ve fosfor segregasyonunu her zaman tümüyle yok edeceği sanılmamalıdır. Şekil 5.14 farklı işlemler sonucu CuSn6合金ında meydana gelebilen iç yapıları göstermektedir.



Şekil 5.13. Bakır-kalay faz diyagramı

- Denge durumu
- Pratikteki değişik durumlar: kokil döküm(3), kum kalıba döküm(2), dökümden sonra homojenleştirme(1)

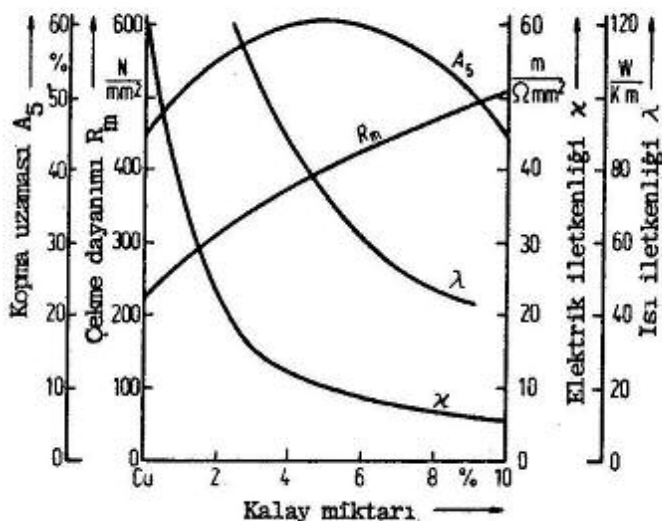
Dökülmüş ingotun teknik koşullar altında sıcak şekillendirilmesiyle elde edilen dövme kalay bron-



Şekil 5.14. CuSn6'nın iç yapıları

- α -KÇ, 600°C'ta 15 saat homojenleştirilmiş
- α -KÇ (segregasyonlu), kum dök. durumu
- α -KÇ (seg.+δ fazı), kokil dök. durumu

larının fiziksel ve mekanik özellikleri, Şekil 5.15'te kalay miktarına bağlı olarak gösterilmiştir. Söz konusu合金aların ayrıca soğuk şekil verilecek olanlarda δ fazı kesinlikle



Şekil 5.15 Dövme kalay bronzlarının fiziksel ve mekanik özellikleri

iletkenlerin bileşiminde fosfor bulunmamalıdır (bk.Şekil 5.2). Soğuk haddeleinerek çekme dayanımları $600-700 \text{ N/mm}^2$, sertlikleri de $180-200 \text{ HV}$ 'ye yükseltilmiş olan CuSn6 ve CuSn8 bantlardan örneğin röle yayları imal edilir (DIN 1780, DIN 17670). Yumuşak bronz teller ise çoğunlukla kağıt endüstrisi için süzgeç yapımına yarar.

Standart dökme kalay bronzları %13'e kadar kalay içerirler (DIN 1705). Sünekliği büyük ölçüde düşüren δ fazını azaltmak amacıyla bu malzemeler de homojenleştirilebilir. Kalay miktarı üst sınırda olan G-CuSn12 veya G-CuSn12Ni alaşımlarından, aşınma ve korozyona dayanıklılığı fazla olması gereken yüksek hızlı sonsuz vida dişlisi, pompa çarkı vb. makina parçaları dökülür. %20 kalaylı alaşım ise aşırı gevrekliği nedeniyle sadece çan üretimine elverişlidir.

Bileşimlerinde alaşım elementi olarak çinko ve gerektiğinde kurşun da bulunan çok bileşenli kalay bronzları kızıl döküm diye anılırlar (DIN 1705). Örneğin G-CuSn10Zn ve G-CuSn7ZnPb alaşımları düşük hızlı sonsuz vida dişlisi, kaymali yatak burcu gibi yerlerde kullanılır.

Diğer bakır alaşımları arasında, bileşenlerinden ağırlıkça ikinci sırada veya daha geride olanı belirtilerek bronz adı verilenler çokluştur.

Alüminyum bronzları dayanımları yüksek, deniz suyu, sülfitik asit ve tuz çözeltilerine karşı dirençli, dövme (DIN 17665) veya dökme (DIN 1714) Cu-Al alaşımıdır. Ayrıca demir, nikel veya mangan katkılı olabilen türlerinden ötektoid dönüşüm gösterenler suverilerek sertleştirilebilir. Demir alaşımından yapıldıkları zaman, işletme sırasında kuvvetli sürtünme ve adezyondan dolayı yüzey hasarına yol açabilecek kılavuz makarası, kızak ve takımlar için en uygun malzeme alüminyum bronzudur.

istenmez. Cu₃₁Sn₈ bileşimindeki bu ara faz, birim hücre başına 416 atom içeren karmaşık ymk kristal yapısından ötürü çok gevrektilir. %6 dolayından başlamak üzere, kalay derişikliği ile miktarı artan δ fazını giderebilecek homojenleştirme süresi ise pratik açıdan kabul edilebilir düzeyde olmalıdır (örneğin 650°C 'ta en çok 24 saat). Bu nedenle dövme bronzlarda kalay miktarının üst sınırı %8,5 olarak saptanmıştır (DIN 17 662).

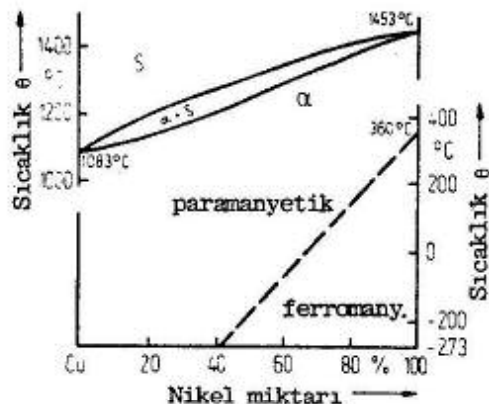
Yaklaşık %1,5 kalaylı bronzlar soğuk çekilmiş tel halinde telefon hava hatlarında kullanılır. Bu

Deniz suyu korozyonuna dayanıklı olan ve ayrıca titreşim sönümleme özelliği bulunan mangan bronzları örneğin gemi pervanesi, silisyum bronzları kimyasal cihaz parçaları, DIN1716'da yer alan kurşun-kalay bronzları da kaymamış yatak dökümünde kullanılır.

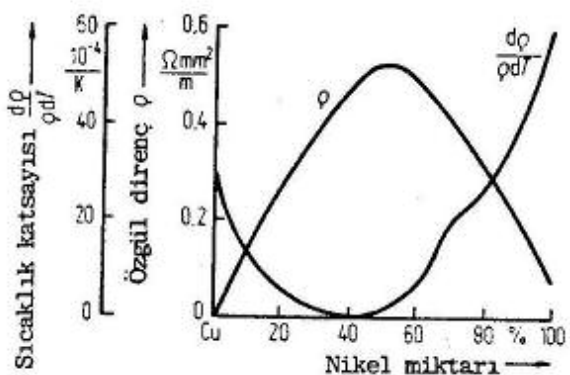
5.2.6. Seçkin Elektriksel Özellikler Gösteren Bakır-Nikel Alaşımaları

Bakır ve nikel peryodik sıralamada yan yana bulunan, ymk kristal yapıya sahip elementlerdir. 0,3608 nm ve 0,3516 nm olan kafes parametreleri arasındaki fark çok küçüktür. Dolayısıyla söz konusu iki metal katı durumda birbiri içinde her oranda tam olarak çözünebilir (Şekil 5.16). Faz diyagramında bu durum, fiziksel özelliklerin bileşime bağıllılık eğrisinde de süreklişılık sağlar.

Katı çözeltinin elektrik direnci çözünen elementin miktarı ile arttığı için, yaklaşık %50-50 lik bakır-nikel alaşımında en yüksek değerine ulaşır. Buna karşın direnç sıcaklık katsayıısı aynı bileşim bölgesinde bir minimumdan geçer (Şekil 5.17). Elektrik direnci sıcaklıkla hemen hemen sabit kalan CuNi44 alaşımına bu nedenle konstantan adı verilmiştir (Şekil 5.18). Söz konusu davranış direnç alaşımaları (DIN 17471) bakımından genellikle büyük önem taşır.



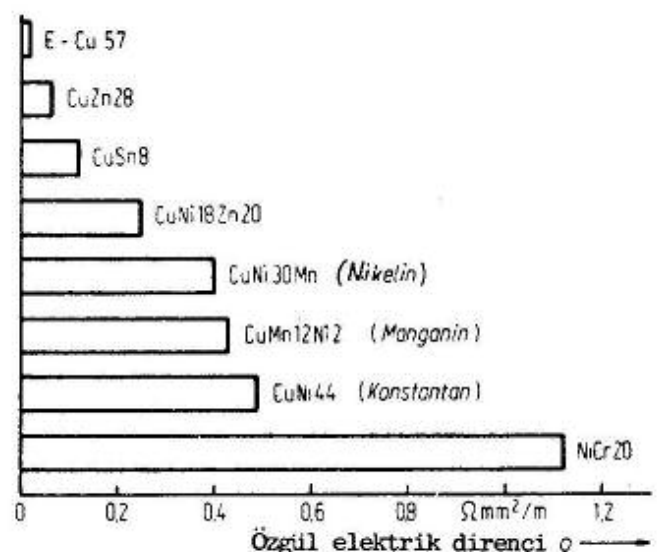
Şekil 5.16. Bakır-nikel faz diaigramı (HANSEN'e göre)



Şekil 5.17. Bakır-nikel sisteminde özgül direnç ve direnç sıcaklık katsayısının değişimi

Bakır-nikel sisteminde ısıl elektriksel gerilimin de sürekli değişerek, %45 dolayında nikel için maksimuma eriştiği Şekil 5.19'dan görülmektedir. Dolayısıyla CuNi44 alaşımı sıcaklık ölçmek amacıyla bakır/konstantan ve demir/konstantan ıslık çiftlerinde de kullanılır (DIN 43700). Ancak yüksek sıcaklıklarda gaz ve yalıtkan maddelerin kimyasal etkisine karşı ek alaşımlama gereğiinden, ıslık çift konstantanı direnç olarak yararlanılanlardan farklı olur.

Bileşimdeki küçük saptmalar dahi ölçülen gerilimi etkileyeceğinden, ıslık çiftlerde standarda uygunluğu kontrol edilmiş teller kullanılmalıdır.



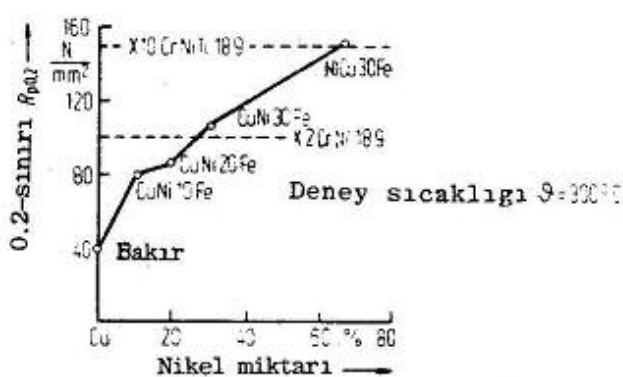
Şekil 5.18. Elektroteknikte kullanılan malzemelerin özgül dirençleri

Platin/platin-rodyum gibi pahalı çiftlerin, teknik ölçümlelerde termostat yardımıyla sıcaklığı sabit tutulan soğuk bağlantı noktasına uzatılması, daha ekonomik olarak dengeleme iletkenleriyle yapılabilir. Bunu gerçekleştirecek örneğin bakır/bakır-nikel çiftinde, alaşımı telin nikel miktarı öngörülen ısıl elektriksel gerilime göre %3 ile %20 arasında seçilir.

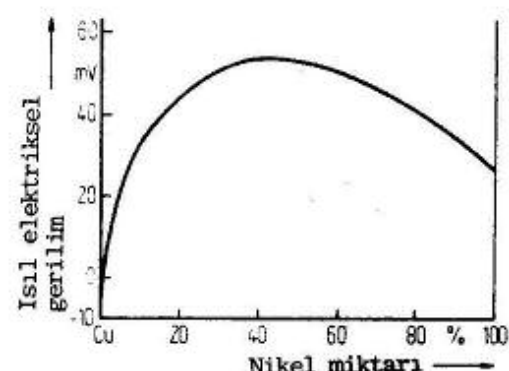
5.2.7. Korozyona Dayanıklı Bakır-Nikel Alaşımları

Nikel ile alaşımlama bakırın korozyona dayanıklılığını önemli oranda artırır (DIN 17664). Öte yandan mekanik dayanım da olumlu yönde etkilendiğinden, bakır-nikel alaşımalarının yüksek sıcaklıktaki çekme özelliklerini paslanmaz çeliklerinkile aynı düzeydedir (Şekil 5.20). %1-2 dolayında Fe ve Mn katılarak daha da kuvvetlendirilebilen kimyasal kararlılığı, ortamda yeterli oksijenin bulunmasıyla oluşan pasif tabaka sağlar.

Bu malzemeler tuzlu su korozyonuna dirençli olduklarından öncelikle gemi kondenserleri, denizden tatlı su elde etme tesisi gibi yerlerde kullanılırlar. CuNi25 alaşımının özel kullanım alanı ise madeni para üretimidir.



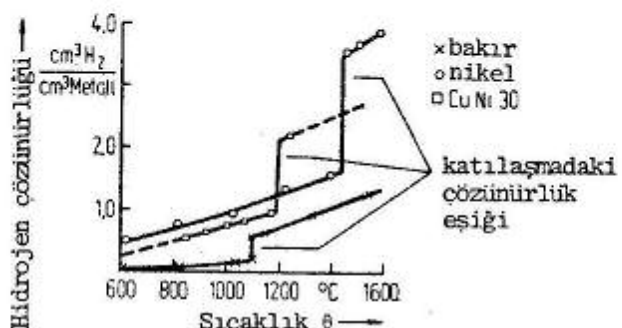
Şekil 5.20. Bakır-nikel alaşımalarının 3000°C'taki 0,2-sınırı bakımından paslanmaz çeliklerle karşılaştırılması



Şekil 5.19. Bakır-nikel alaşımalarının 816°C'da demire karşı ısıl elektriksel gerilimi



reaksiyonuna göre meydana gelen atomsal hidrojen, kaynak banyosu tarafından absorbe edilir. Katılışma sırasında çözünürlük birden düştüğünden (Şekil 5.21), açığa çıkan büyük miktarla gaz, dikişin gözenekli olmasına yol açar. Bu olayı önlemek için kaynak ortamındaki nemin giderilmesi zorunludur.



Şekil 5.21. Bakır, nikel ve CuNi30'da hidrojen çözünürlüğünün sıcaklıkla değişimi

Kobalt ise örneğin sert metallerin (sinterlenmiş karbürlerin) ana kütlesini oluşturur; mıknatıs malzemeleri ve takım çeliklerinde合金 elementi olarak kullanılır.

Çizelge 5.4-Nikelin fiziksel ve mekanik özellikleri

Yögenluk	g/cm^3	8,88
Erime sıcaklığı	°C	1453
Elastiklik modülü	N/mm^2	210 000
Genleşme katsayısı	$10^{-6}/K$	13
Cekme dayanımı ¹	N/mm^2	370 ... 700
Kopma uzaması ¹	%	60 ... 2

¹Gördüğü işleme bağlı olarak

örneğin sert metallerin (sinterlenmiş karbürlerin) ana kütlesini oluşturur; mıknatıs malzemeleri ve takım çeliklerinde合金 elementi olarak kullanılır.

Örneğin laboratuvar pota ve kışkaçları, kimya endüstrisinde kostik soda eritme kazanı gibi bazı reaktörler saf nikelden yapılır. Öte yandan büyük hacimli kapların, eksplozyon kaynağı veya haddeleme yoluyla nikel levha giydirilmiş yapı çeliğinden imali çoğu kez daha ekonomiktir.

Nikel manyetostriktif özelliğinden dolayı sualtı haberleşme, derinlik ölçme, teknik temizleme sistemlerinin ultrasonik

5.3.Nikel ve Nikel Alaşımları

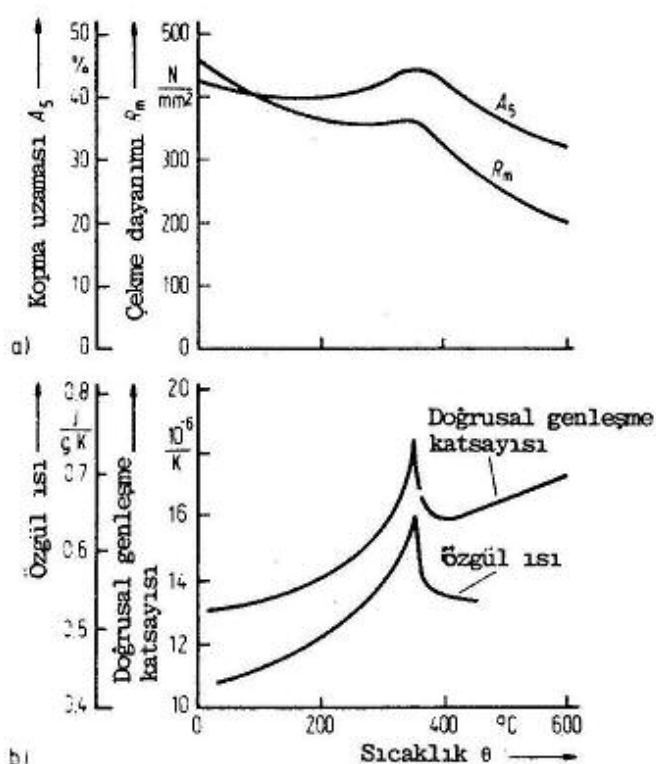
Nikel cevherlerinde yaygınla kobalt da bulunur. Özelliklerinde önemli benzerlikler görülen bu iki ağır metalden nikelle ait bazı değerler Çizelge 5.4'te verilmiştir. Nikel ymk kristal yapısından ötürü, kafesi 417°C'in altında sdh olan kobalta göre daha sünnek davranışır ve geniş bir uygulanma alanına sahiptir.

5.3.1. Saf Nikel

Saf nikelin teknik bakımdan en önemli özelliği korozyona dayanıklılığıdır. Elektrolitik olarak krom kaplanmış demir esaslı合金ların koruyundan korunmasını gerçekleştirmek nikel sağlar. Dekoratif krom tabakası mikroskopik çatlaklar ve gözenekler içerdiginden demirin korozyonunu önleyemez. Ancak bunun altında bulunan ve yine aynı yöntemle kaplanan nikel ara tabakası büyük ölçüde gözeneksiz olduğundan demiri etkin bir şekilde korur. Krom kaplanmış otomobil tamponları, tekerlek kapakları vb. parçaların çabuk paslanması, genellikle nikel ara tabakasının yeterli kalınlıkta yapılmasını gösterir.

dalga üreteçlerinde de kullanılır. Manyetostriksiyon, manyetik alan etkisiyle malzemede küçük boyut değişimlerinin oluşmasıdır*.

360°C olan CURIE sıcaklığının üzerinde nikel ferromanyetikliğini (bk.1.2.1.3) kaybeder. Ayrıca mekanik ve fizikselleşmelerinden çoğu bu noktada süreksızlık gösterir. (Şekil 5.22). Yüzey merkezli kübik kristal yapı aynı kaldığı halde sözü edilen değişimlerin ortaya çıkması, ferromanyetikliği doğuran en dış ve bir önceki kabuklara ait elektronların karşılıklı etkileşimiyle açıklanmaktadır.



Şekil 5.22. Nikelin özelliklerinin sıcaklıkla değişimi

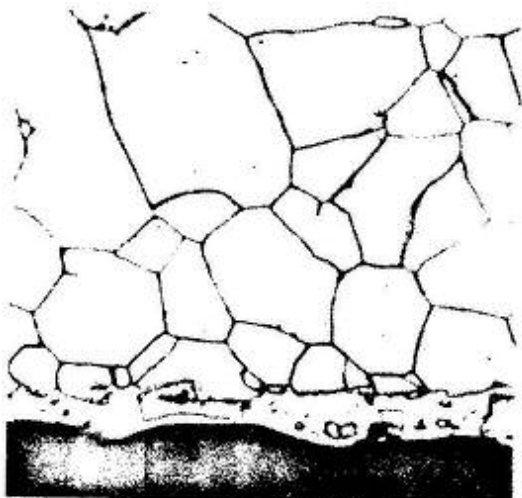
- a) Çekme dayanımı R_m ve kopma uzaması A_5 kimyasal ilgisinin fazla olması
- b) Özgül ısı ve doğrusal genleşme katsayıları (AHRENS, EUCKEN ve DANNÖHL'e göre)

larından veya parça yüzeyindeki artık kesme sıvılarından gelen kükürt, nikelin tane sınırları boyunca yayınıp, sülfür olarak çökelir (Şekil 5.23). Böyle bir malzeme soğuk şekillendirilmede çatlamaya, sıcak şekillendirilme ve kaynakta ise sıcak yırtılmaya eğilimlidir. Ortama bağlı olarak başlayabilecek korozyon hasarı da çökeltilerin bulunduğu tane sınırlarında yoğunlaşır.

* Benzer davranışın bazı kristallerde elektrik alanı etkisiyle görülmeye piezoelektrik olay denir. Günümüzdeki ultrasonik titreşim kaynakları daha çok bu türdendir (bk.3.6.3 ve 6.7).

Saf nikel büyük ölçüde sülflü cevherlerden kavurma ve indirgeme işlemleriyle kazanılır. Cevherde demir, kobalt, bakır ile diğer metal ve metal olmayan katıskıların bulunması çok karmaşık bir arıtma sürecinin uygulanmasını zorunlu kılar. Nikelin yüksek fiyatının (bk. Şekil 5.1) önemli bir nedeni de metalurjisindeki bu güçlüğtür. Oksitli cevherlerden ise çoğunlukla saf metal yerine ferronikel elde edilmesi, çelikleri alaşımlandırmak açısından yeterlidir (paslanmaz çelikler, ısıl genleşmesi çok az olan %36 nikelli "invar" çeliği gibi).

Nikelin plastik şekillendirilmesi genelde ostenitik çeliğinkine benzerlikle birlikte, saf durumda örneğin kükürte karşı olmasına bazı farklılıklar yaratır. Örneğin ısıl işlem sırasında yanma gazlarından veya parça yüzeyindeki artık kesme sıvılarından gelen kükürt, nikelin tane sınırları boyunca yayınıp, sülfür olarak çökelir (Şekil 5.23). Böyle bir malzeme soğuk şekillendirilmede çatlamaya, sıcak şekillendirilme ve kaynakta ise sıcak yırtılmaya eğilimlidir. Ortama bağlı olarak başlayabilecek korozyon hasarı da çökeltilerin bulunduğu tane sınırlarında yoğunlaşır.



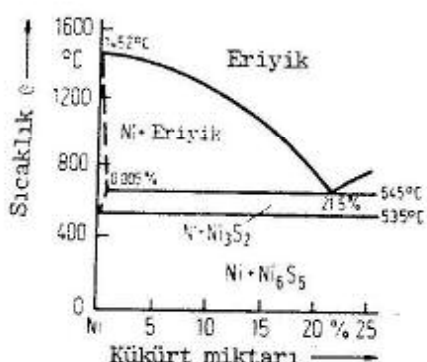
Şekil 5.23. Yüzeye yakın bölgelerde tane sınırları boyunca nikel sülür çökeltileri

yükseltmek ve ayrıca kükürtlü gazlara karşı duyarlığını da azaltmak amacıyla, nikeli toplamları %5'i geçmemek üzere katılan elementlerin başında mangan gelir (DIN 17741).

Nikelin endüstriyel üretimine başlandığında, sıcak şekillendirilebilmesini sağlayan tek etkin alaşım elementi mangan olmuştur. Nikel kafesinde kükürt çözünürlüğü çok az olduğundan (<0,005), daha fazla kükürt içeren nikel eriyikleri katılaştıktan sonra da, sıcaklık 645°C'a düşünceye kadar tane sınırlarında ötektik bileşimde bir sıvı faz kalır (Şekil 5.24). Malzemenin dövme veya haddeleme için tekrar ısıtılması sırasında, sözü edilen tane sınırı maddesi ötektik sıcaklıkta eri-

yerek sıcak kırılğanlığa yol açar. Buna karşın mangan ile alaşımlama, kükürdü yüksek sıcaklıkta eriyen ve sürekli film oluşturmayan Mns halinde bağlayıp zararsız hale getirir. Günümüzde manganın bu işlevini gördürtebilmek üzere, kükürde karşı kimyasal ilgisi daha fazla olan magnezyumdan da yararlanılmaktadır.

Manganlı nikel örneğin elektron tüpü iç parçalarında, ayrıca silisyum katılmasıyla yanma gazlarına dayanıklılığı arttılarından, benzin motorları buji elektrotlarında kullanılır. Nikelin bileşiminde çözünme sınırını aşan miktarda karbon bulunması talaş kaldırılmasını kolaylaştırır. Saf nikel sürekliğinden dolayı takıma sivandığı için, ancak düşük hızla işlenebilir (bk. Şekil 5.39). Çökelme sertleştirimesine uygun %2 berilyumlu nikelden yüksek sıcaklıklarda çalışabilecek yay, membran vb. parçalar imal edilir.



Şekil 5.24. Nikel-kükürt faz diyagramı

Sıvı nikel içinde hidrojen çözünürlüğü yüksek olduğundan kaynak dikişinde kolaylıkla gözenekler meydana gelebilir (bk. 5.2.7). Dolayısıyla kaynak banyosunun üzerinde atomsal hidrojen oluşumunu önlemek gereklidir. Örneğin örtülerini nem içeren elektrotlar kaynak işleminden önce yaklaşık 250°C sıcaklıkta özenle kurutulmalıdır. Hidrojen az miktarda ve moleküler (H₂-gazı) olarak bulunduğu sürece hiçbir sakınca yaratmaz; hatta nikelin koruyucu gaz altındaki kaynağında %5 hidrojenli argon kullanılır.

5.3.2. Katkılı Nikel

Korozyona dayanıklılığını koruyarak mekanik dayanımını yükseltmek ve ayrıca kükürtlü gazlara karşı duyarlığını da azaltmak amacıyla, nikeli toplamları %5'i geçmemek üzere katılan elementlerin başında mangan gelir (DIN 17741).

Nikelin endüstriyel üretimine başlandığında, sıcak şekillendirilebilmesini sağlayan tek etkin alaşım elementi mangan olmuştur. Nikel kafesinde kükürt çözünürlüğü çok az olduğundan (<0,005), daha fazla kükürt içeren nikel eriyikleri katılaştıktan sonra da, sıcaklık 645°C'a düşünceye kadar tane sınırlarında ötektik bileşimde bir sıvı faz kalır (Şekil 5.24). Malzemenin dövme veya haddeleme için tekrar ısıtılması sırasında, sözü edilen tane sınırı maddesi ötektik sıcaklıkta eri-

yerek sıcak kırılğanlığa yol açar. Buna karşın mangan ile alaşımlama, kükürdü yüksek sıcaklıkta eriyen ve sürekli film oluşturmayan Mns halinde bağlayıp zararsız hale getirir. Günümüzde manganın bu işlevini gördürtebilmek üzere, kükürde karşı kimyasal ilgisi daha fazla olan magnezyumdan da yararlanılmaktadır.

Manganlı nikel örneğin elektron tüpü iç parçalarında, ayrıca silisyum katılmasıyla yanma gazlarına dayanıklılığı arttılarından, benzin motorları buji elektrotlarında kullanılır. Nikelin bileşiminde çözünme sınırını aşan miktarda karbon bulunması talaş kaldırılmasını kolaylaştırır. Saf nikel sürekliğinden dolayı takıma sivandığı için, ancak düşük hızla işlenebilir (bk. Şekil 5.39). Çökelme sertleştirimesine uygun %2 berilyumlu nikelden yüksek sıcaklıklarda çalışabilecek yay, membran vb. parçalar imal edilir.

5.3.3. Nikel-Bakır Alaşımları

Kanada'da nikel ve bakırın birlikte bulunduğu geniş maden yataklarındaki cevherin izabesi sonucu, yaklaşık % 68 nikel ile % 30 bakır ve bir miktar demir içeren "doğal" bir alaşım (Monel) elde edilir. Monel sülfirik asit ve diğer pek çok etkin kimyasal maddeye karşı son derece dirençlidir. Alaşımın sadece sözü edilen cevherden kazanıldığı dönemlerde, bu üstünlikleri dolayısıyla kendine özgü bir takım doğal kuvvetlere sahip olduğu sanılmıştır.

NiCu30Fe ve gökelme sertleştirmesine elverişli NiCu30Al alaşımları (DIN 17743) dışında, silisyum içeren G-NiCu30Si3 gibi döküm alaşımları da vardır (DIN 17730).

Nikel-bakır alaşımlarının korozyona dayanıklılığı, sulu çözeltiler tarafından yüzeylerinde pasif bir tabakanın oluşturulmasına bağlıdır (bk.1.8.4). Bu tabakanın bozulduğu bölgelerde yerel korozyon meydana gelebilir. Ancak noktasal korozyon, tanelerarası korozyon, gerilme korozyonu veya korozyon yorulması gibi olaylar, söz konusu malzemelerde çok seyrek ve ancak bütün olumsuz koşulların biraraya gelmesiyle görülür. Nikel-bakır alaşımlarının tuzu giderilmiş ve gazi alınmış saf suya (nükleer reaktörlerin birincil soğutma devrelerinde), deniz suyuna, acı suya, anorganik tuzların ve oksitleyici olmayan asitlerin çözeltilerine karşı dayanıklı oldukları söylenebilir. Kuvvetli oksitleyici tuzlar ve asitler (örneğin nitrik asit) ile amonyak çözeltileri ise bu malzemeleri korozyona uğratır.

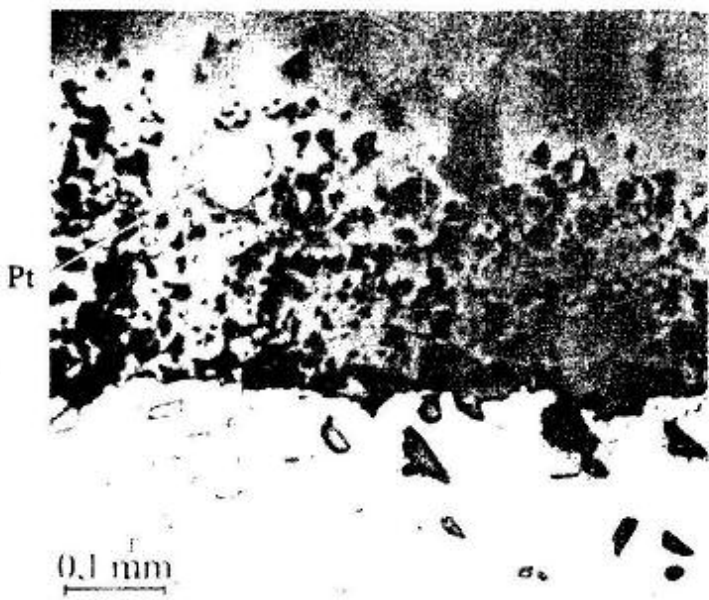
Enerji santralları, gemiler ve kimya endüstrisi için cihaz, kondenser ve ısı değiştirgelarının üretiminde, nikel-bakır alaşımları yüksek sıcaklık dayanımlarının da iyi olması nedeniyle yaygın olarak kullanılırlar (bk.Şekil 5.20)

5.3.4. Nikel Esaslı Yüksek Sıcaklık Alaşımları

Termik kuvvet makinalarının verimini iyileştirmek için pratikte öncelikle izlenen yol, artırılan çalışma sıcaklığına dayanabilecek malzemeleri geliştirmektir. Böylece malzeme teknolojisi enerji kaynaklarının etkin olarak kullanılmasında önemli rol oynar. Günümüzün termik makinalarında aşırı ısıl zorlanma ile karşılaşan parçaların büyük bir bölüm, çoğunluğu nikel esaslı olan yüksek sıcaklık alaşımlarından (süper alaşımlar) imal edilmektedir (bk.4.8.4).

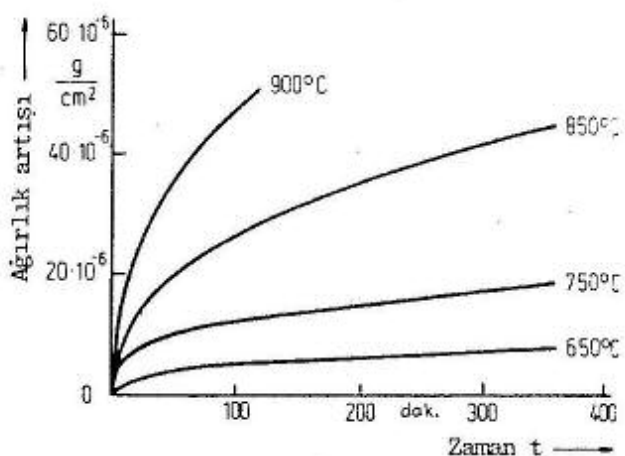
STEFAN-BOLTZMANN kanununa göre ısı ışınımı mutlak sıcaklığın 4.kuvveti ile orantılıdır. Bu nedenle kızgın durumda çalıtırlan ısıtıcı elektrik direncelerinde sıcaklık katsayısunun değişmemesinden çok, örneğin NiCr 80 20 alaşımında olduğu gibi sürünme ve tufallanmaya dayanıklılık özellikleri aranır (bk.Çizelge 5.5).

Yüksek sıcaklıkta tufal tabakası oluşumu metalin oksitleyici ortamla temasını tümüyle engellese bile, oksijen ve metal iyonlarının bu tabaka içinde karşılıklı yayınıp birleşmelerinden ötürü reaksiyon devam eder (Şekil 5.25). Dolayısıyla olay



Sekil 5.25. Nikelin oksitlenmesi ve olayın nasıl geliştiğini belirlemek üzere başlangıçta yüzeye yerleştirilmiş platin parçasının koyu renkli NiO tabakasındaki konumu (ILSCHNER ve PFEIFFER'e göre)

maz; ıslı genleşmesi metalinkinden farklı olan oksit tabakası çatlayabilir. Gaz türbini kanatçıklarında ise yanma külünden başka, emilen deniz havasından gelebilecek tuz, oksitlenmeyi etkiler. Gaz veya sıvı yakıt brülörlerinin ağızları ve koruyucu atmosferli tav fırınlarının muflaları yalnız sıcaklığı değil karışım oranı da değişen ortamlarda çalışırlar.



FICK yayınma kanununa dayanılarak matematik açıdan incelenirse, oksit tabakası kalınlığı (x) ile zaman (t) ve tufal sabiti (k veya k'') arasında

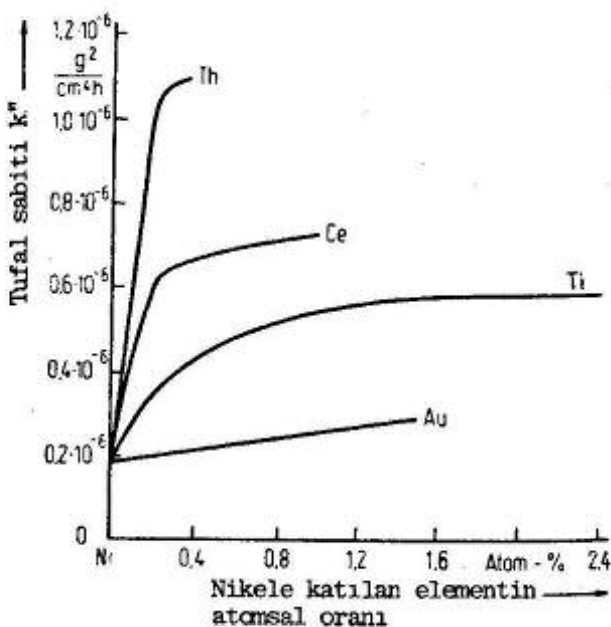
$$x^2 = 2 \cdot k \cdot t = k'' \cdot t$$

denklemi elde edilir*. Metallerin çoğu için geçerli olan bu *parabol bağıntısında*, x değeri birim yüzeydeki ağırlık artışını da ifade eder (Şekil 5.26); tufal sabiti ise sıcaklık ve bileşime bağlıdır (Şekil 5.27).

Uygulamada çeşitli nedenlerle bu ideal egriden sapmalar görülür. Örneğin elektrik fırınlarının direnç tellerinde sıcaklık sabit kal-

Sekil 5.26. NiCr₂₀'nin yaklaşık 0,1 bar oksijen basıncı ve çeşitli sıcaklıklarda oksitlenmesinin zamanla değişimi (GULBRANDSEN ve ANDREW'e göre)

*) Çeliğin karbonlanmasıne benzer olarak (bk. 1.4.1.3).



Şekil 5.27. Katkılı nikelin 900°C'da havanın etkisiyle oksitlenmesinde tufal sabitinin (k)合金元素の量に依存する量 (HORN'a göre)

ği gibi çalışma koşullarına bağlıdır.

Doğrudan ısı üremeyen (pasif) parçalar için seçilen isıya dayanıklı malzemelerde ise, işletme ömrünün uzatılması amacıyla, en yüksek kullanım sıcaklığı dirençlerinkinden daha düşük tutulur (Çizelge 5.6).

Çizelge 5.5-İsıtıcı direnç malzemelerine örnekler

Malzeme işaretti DIN 1740	İsıtıcı elemanın en yüksek kullanım sıcaklığı °C	Malzemenin sürümeye sınırı $\sigma_{1/1000}$ 1200°C için N/mm ²
NiCr80 20	1250	0,5
NiCr60 15	1200	0,5
CrAl25 5 (Nikelsiz)	1350	0,1

ortamlar, malzemenin dayanıklılığını sağlayan kararlı tufal tabakasının oluşumunu güçleştirir. Yeterince korunamayan yüzeylerden iç yapıya azotun da girebilmesi, örneğin demir-krom-alüminyum合金元素の量に依存する量 (HORN'a göre)

Bir malzemenin, belirli bir kullanım sıcaklığının üzerine çıkmamak koşuluyla, tufallanmaya dayaklı olarak nitelenebilmesi için, yüzeyindeki oksit tabakası koruyucu yani kalınlığı çok fazla artmayan ve çatlamanın türden olmalıdır.

İsıtıcı elektrik dirençlerinin imal edildiği malzemelerden bazıları Çizelge 5.5'te verilmiştir. Bir ısıtıcı elemanın boyutlandırmasında birim yüzeye yüklenen güç (W/cm^2) dikkate alınır; işletme ömrü ise bu değerden başka sıcaklık, seramik taşıyıcının bileşimi, fırın atmosferi, devre açma kapama sıkılığı gibi çalışma koşullarına bağlıdır.

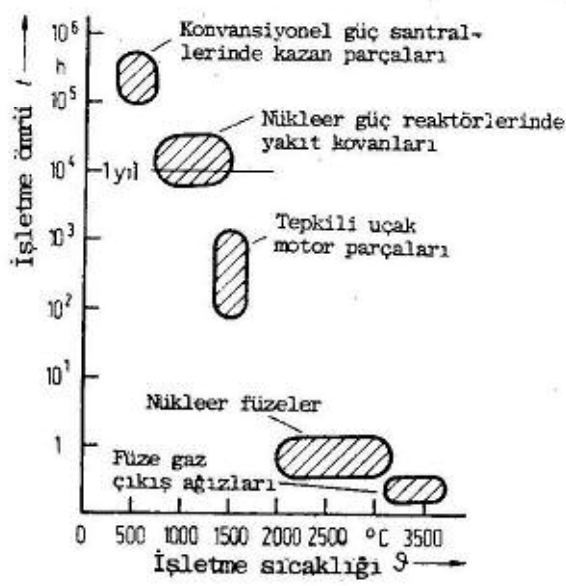
Doğrudan ısı üremeyen (pasif) parçalar için seçilen isıya dayanıklı malzemelerde ise, işletme ömrünün uzatılması amacıyla, en yüksek kullanım sıcaklığı dirençlerinkinden daha düşük tutulur (Çizelge 5.6). Bu sıcaklıkta malzemenin 120 saat bekletilmesi sonucu oluşan tufal miktarı en çok 1 g/(m^2h) olmalı, ayrıca sıcaklığın 50 K artırılması halinde de 2 g/(m^2h) değerini aşmamalıdır.

Bulunduğu gaz atmosferinin karakteri bir parçanın işletme ömrünü ve müsaade edilebilir sıcaklığını büyük ölçüde etkiler. Özellikle birbirini ardına oksitleyici ve redükleyici olabilen

Çizelge 5.6-İsıya dayanıklı malzemelere örnekler

Malzeme işaretü	Havada en yüksek kullanım sıcaklığı °C	Özellikler
NiCr20Ti	1100	Oksitleyiciyi veya redükleyici koşullarda kullanılabılır; kürekçülü gazlardan olumsuz etkilenir; yüksek sıcaklık dayanımı iyidir.
NiCr15Fe	1100	Redükleyici atmosferlerde 1150°C'a kadar kullanılabılır; kürekçülü gazlardan olumsuz etkilenir; karbonlanma eğilimi azdır.
X 12 NiCrSi 36 16	1100	Dönüşümlü olarak redükleyici ve oksitleyici etki yapan atmosferlerde çalışabilir.

Yüksek sıcaklık dayanımlı alasımlar titan ve alüminyum katkıları içerdiklerinden çökelme sertleşmesine elverişlidirler. Ancak yüksek sıcaklıklarda uzun süre kalmaları halinde aşırı yaşılanabilecekleri, diğer bir deyişle kullanım sürelerinin bu bakımdan da sınırlı olduğu hesaba katılmalıdır. İşletme ömrü olarak, basınçlı kaplar ve termik kuvvet santrali donanımları için genellikle 100.000 saat öngörlürken, tepkili uçak motorlarında birkaç 100, fü-



zelerde ise 1 saat gibi çok kısa süreler söz konusudur (Şekil 5.28). Uygulamada bu tür malzemelerin denenmesi ve seçiminde öncelikle sürünme eğrisinin II.bölgesi dikkate alınmaktadır (Çizelge 5.7).

Sertleştirilebilen nikel alasımlarının dayanımı kobalt, molibden ve volfram katkılarıyla ayrıca yükselir (Çizelge 5.8).

Şekil 5.28. Konvansiyonel ve yeni uygulama alanlarında çeşitli elementlerin işletme sıcaklığı ve ömrüleri

Çizelge 5.7-Nikel esaslı bir yüksek sıcaklık alaşımında çözme tavından sonraki soğutma hızının sürünenme davranışına etkisi (VOLK'a göre)

Soğutma ortamı	650°C'da sürünenme davranışı*		
	II.bölge sürünenme hızı %/h	III.bölge başlama süresi h	Kopma süresi h
Su	0,0060	70	111
Yağ	0,0052	110	143
Hava	0,0023	90	222
Bileşim(%): 21,4 Cr; 2,34 Ti; 0,38 Al; 3,08 Fe;kalanNi			
Isıl işlem: 1) Çözme tayı 8h/1080°C 2) Soğutma (yukardaki gibi) 3) Yaşılandırma 16 h/700°C			

* bk.Şekil 1.75

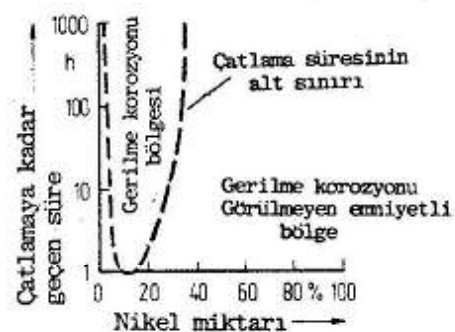
Çizelge 5.8-Yüksek sıcaklık dayanıklı bazı nikel alaşımlarının oda sıcaklığındaki mekanik özellikleri (çökelme sertleştirimi uygulanmış durumda)

Cr	Co	(Ti + Al)	Ni %	Dayanım egerleri		Kopma uzaması %
				0,1 akma dayanımı N/mm²	Çekme dayanımı N/mm²	
20	-	0,5	kalan	350	820	44
20	-	4,0		610	1090	39
20	16	5,0		820	1290	25

Nitrik, sülfirik ve fosforik asite karşı dirençli Ni-Mo-Cr-(Cu) (DIN 17744) alaşımları öncelikle kimya endüstrisi donatımlarında kullanılır. Bu malzemeler kaynakla birleştirilebilir. Tavlama gerektiren plastik şekillendirme işlemlerinde ise fırın atmosferinin kükürtsüz olması sağlanmalıdır (bk.5.3.1).

5.3.5. Nikel Alaşımının Korozyon Davranışı

Nikelin zaten iyi olan korozyona dayanıklılığı krom,molibden ve bakır ile alaşımlandılarak daha da artırılabilir. Bu alaşımalar kimyasal kararlılık bakımından ostenitik paslanmaz çeliklerden üstünür. %45'ten fazla nikel içeren malzeme lerde gerilme korozyonu çatlamasına hemen hemen hiç rastlanmaz (Şekil 5.29). LC-Low Carbon (düşük karbon) kaliteleri ile titan veya niyobla stabilize edilmiş türler taneler arası korozyona uğramaz. Klorürlü çözeltilerde noktasal korozyon da sadece çok olumsuz koşullar altında ortaya çıkar.



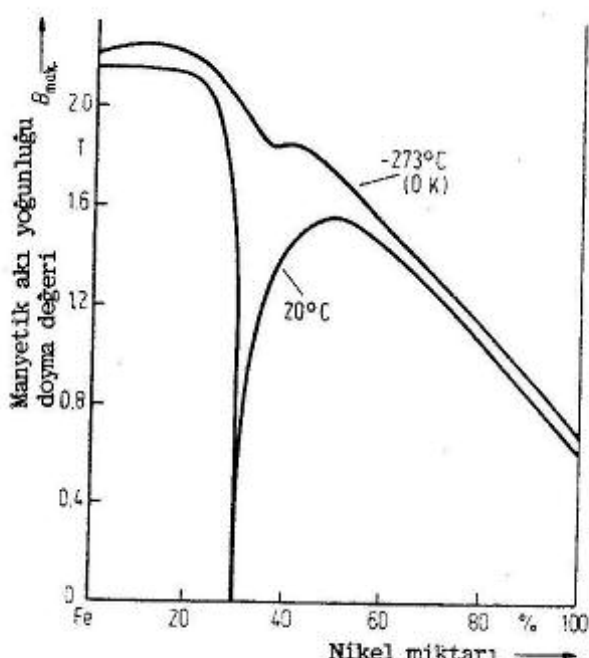
Şekil 5.29.Fe-Cr-Ni alaşımının kaynar $MgCl_2$ çözeltisiyle saptanan gerilme korozyonu eğilimi (COPSON'a göre)

5.3.6. Nikel İçeren Manyetik Malzemeler

Saf nikelin manyetikliği demir ve kobaltinkinden çok daha azdır. Bu durum saf metallerin manyetik akı yoğunluğu *doyma değerlerinin* karşılaştırılmasından açıkça görülür (Çizelge 5.9). Oda sıcaklığındaki nikel-demir alaşımlarında ise, söz konusu $B_{maks.}$ değeri artan nikel miktarıyla önce sıfıra kadar azalıp, daha sonra yaklaşık %50 Ni için maksimuma ulaşır (Şekil 5.30). Nikelin %29 dolayında bulunmasıyla manyetikliğin kaybolusu ($B_{maks.} = 0$), manyetik dönüşüm (CURIE) noktasının oda sıcaklığının altına düşmesinden ileri gelir. Nitekim yeterince alçak sıcaklıklarda bu alaşım manyetiktir ($B_{maks.} > 0$).

Malzeme	$B_{maks.}$ T ¹
a-Demiri	2,140
Kobalt	1,760
Nikel	0,605

¹ 1 T = 1 Tesla = 1 Vs/m²

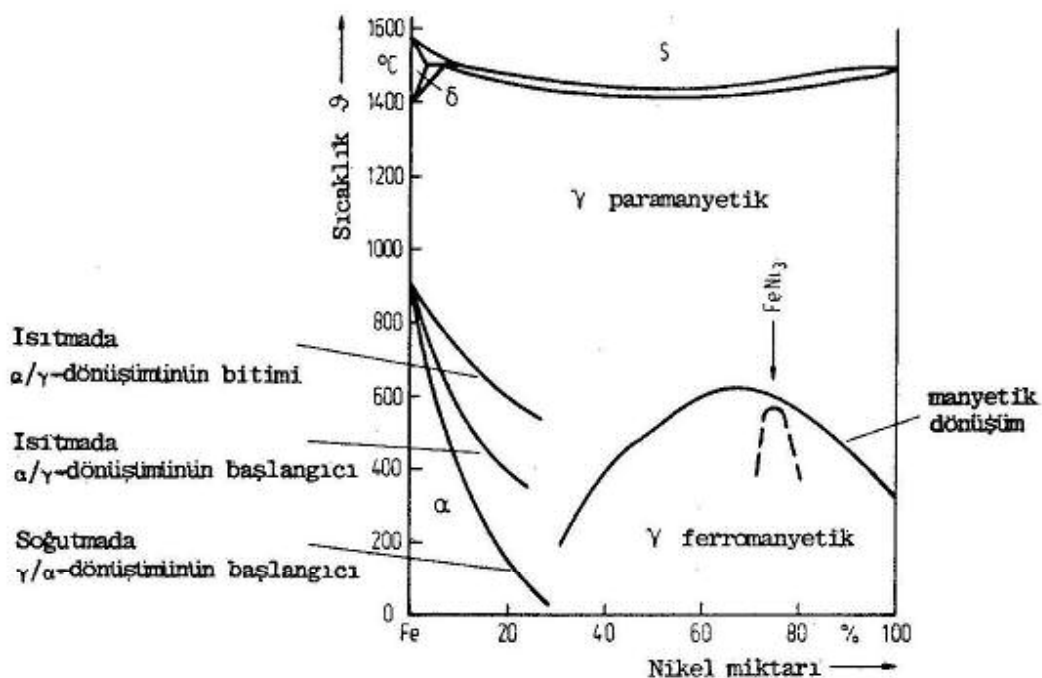


Şekil 5.30. Demir-nikel sisteminde $B_{maks.}$ degerinin değişimi (PAWLEK'e göre)

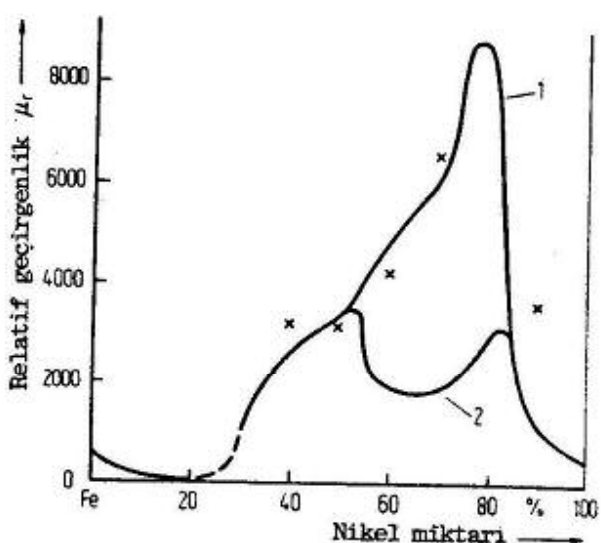
Demir-nikel sisteminde pratik açıdan önemi fazla olan dört alaşımının özelliklerini ile kullanım yerleri aşağıda özetlenmiştir:

- Yaklaşık %29 nikel içeren demir-nikel alaşımı oda sıcaklığında manyetik değildir. Geçmişte elektrik makinalarının miknatışlanması gerekmeyen parçaları için kullanılmıştır. Günümüzde ise sözü edilen uygulamalarda, nikelin bir bölümü yerine mangane ve krom katılmış, örneğin FeNi9Mn8Cr4 vb. alaşım-

Demir-nikel diyagramında (Şekil 5.31) FeNi₃ bileşimine karşılık gelen ve ortalama %75 nikel içeren bir süperkafes oluşum alanı görülmektedir. Süperkafesin düzenlenme derecesi soğuma hızına bağlıdır. Yavaş soğumada düzenlenme çok iyi ve dolayısıyla manyetik geçirgenlik düşüktür. Hızlı soğutma (suverme) ile süperkafes oluşumu engellenerek yüksek geçirgenlik değerleri elde edilebilir (Şekil 5.32). Teknik alaşımlara ise süperkafes oluşumunu önlemek için bakır ile krom veya molibden katılır.



Şekil 5.31. Demir-nikel faz diyagramı (HANSEN'e göre)



Şekil 5.32. Demir-nikel alaşımının değişik ısıl işlemler sonrasıındaki başlangıç geçirgenliği (DAHL ve PAWLEK'e göre)

1: hızlı soğutma sonrası ölçülen değerler

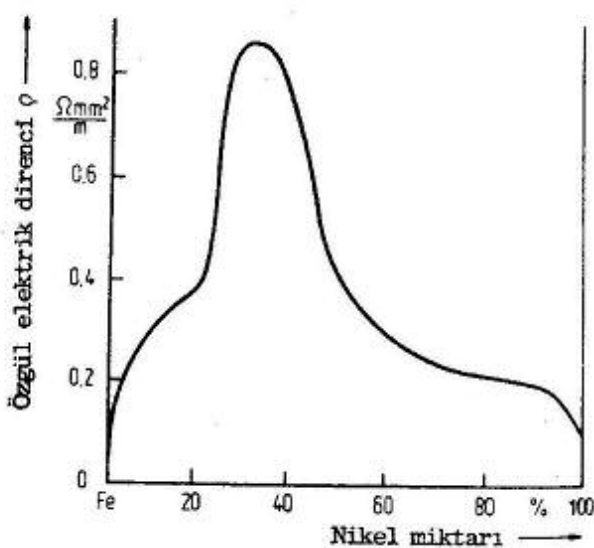
2: yavaş soğutma sonrası ölçülen değerler

x = hesaplanan değerler (KERSTEN'e göre)

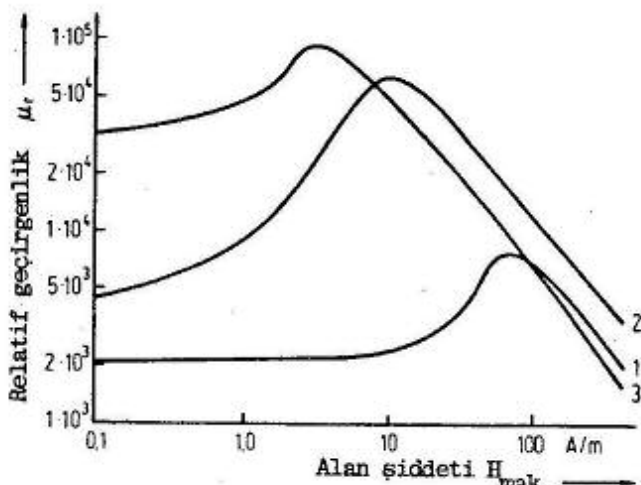
lardan yararlanılmaktadır. FeNi29 gibi oda sıcaklığında manyetik olmayan bu malzemeler daha ucuz ve daha yüksek dayanımlıdır.

- Yaklaşık %36 Ni içeren demir-nikel alaşımı, manyetik alan şiddeti üst değerlere ulaşınca kadar, geçirgenliği çok az değişen bir malzemedir. Dolayısıyla en başta elektro-akustik amaçlarla kullanılan, distorsiyona yol açmayacak trafoların yapımına yarar. Ayrıca anılan bileşim bölgesinde elektrik direncinin artması (Şekil 5.33), girdap akımları kaybını azaltır. Bu özellik kalın röle parçalarında fayda sağlar.

- Yaklaşık %50 Ni içeren demir-nikel alaşımının hem başlangıç geçirgenliği, hem de manyetik akı yoğunluğunun doyma değeri yüksektir. Başlıca kullanım yer-



Şekil 5.33. Demir-nikel alaşımlarında özgül elektrik direncinin değişimi



Şekil 5.34. Çeşitli yumuşak manyetik malzemelerin geçirgenliklerinin alan şiddeti ile değişimi. %36 Ni(1), %50 Ni(2) ve %76 Ni(3) içeren demir-nikel alaşımaları

kelme sertleşmesi özelliği kazandırılabilir (çökelen parçacıklar BLOCH duvarlarını kilitler). Optimum sonuçlar ıslı işleminin manyetik alanda yapılması halinde elde edilir.

* Dış alan kaldırıldığında mıknatıslığı kaybolan, histerezis alanı ve H_C değeri küçük.

**) Dış alan kaldırıldığında mıknatıslığı kaybolmayan (sürekli), histerezis alanı ve H_C değeri büyük.

leri arasında ölçme trafları ve şasi akımı koruyucu röleleri sayılabilir.

- Yaklaşık %75 Ni içeren nikel-demir alaşımlarının küçük alan şiddetlerindeki manyetik geçirgenliği özellikle yüksektir (Şekil 5.34). Kullanım yerlerine örnek olarak elektronik cihazlar ve yabancı alanlardan korunması gereken çok duyarlı ölçü aletlerinin manyetik ekranları gösterilebilir.

Kristal yapı kusurları manyetik geçirgenlik (μ), kalıcı manyetiklik (B_r), koersif alan şiddeti (H_C) gibi özellikleri etkiler ve histerezis alanının büyümeye yol açarlar. Bu nedenle yumuşak* manyetik malzemelere şekil verme işlemi uygulanırsa, genellikle bir son tav yapılarak dislokasyon yoğunluğunun azaltılmasına çalışılır. Yukarıda açıklanan manyetik alaşımalar bu gruba girer.

BLOCH duvarlarının geri dönüşünü (bk. 1.2.1.3) ve dolayısıyla manyetikliğin ortadan kalkmasını önleyen kristal yapı kusurları, sert** manyetik malzemelerde bir ölçüde istenir. Demir-Nikel-Kobalt esaslı olan bu alaşımlara alüminyum, titan veya niyob katılarak çökelme sertleşmesi özelliği kazandırılabilir (çökelen parçacıklar BLOCH duvarlarını kilitler). Optimum sonuçlar ıslı işleminin manyetik alanda yapılması halinde elde edilir.

5.4. Alüminyum ve Alüminyum Alaşımları

Yer kabuğunda yaklaşık %8 oranında bulunan alüminyum, oksijen ve silisyumdan sonra en çok rastlanan üçüncü element olmasına karşılık, ancak 19.yüzyılın ilk yarısında metal olarak elde edilmiş, ikinci yarısında da teknikte kullanılmaya başlamıştır.

Çizelge 5.10-Alüminyumun fiziksel ve mekanik özellikleri

Yoğunluk	g/cm ³	2,70
Erime sıcaklığı	°C	660
Elastiklik modülü	N/mm ²	65 000
Genleşme katsayısı	10 ⁻⁶ /K	23,8
Elektrik iletkenliği	m/(Ω mm ²)	36...37,8
Çekme dayanımı ¹	N/mm ²	40...180
Kopma uzaması ¹	%	50...4

¹ Gördüğü işleme bağlı olarak

Bu gecikmenin birinci nedeni, alüminyumun doğada sadece oksit veya oksit karışımıları biçiminde bulunmasıdır. En kararlı kimyasal bileşiklerden biri olan Al₂O₃'in indirgenmesi çok fazla enerji gerektirir. Bunu sağlayabilecek teknolojik yöntemler ilk kez 19.yüzyılda geliştirilmiştir. Bir-

rinci ile bağlantılı olan ikinci neden ise, yararlanılan cevherlerin Al₂O₃'ten daha kolay indirgenen diğer bir takım oksitleri de içermesi, dolayısıyla doğrudan cevherin indirgenmesiyle kazanılacak alüminyumun teknik açıdan kullanılamayacak kadar katıskılı olmasıdır.

Sonuçta, özellikle "bauxit" adlı cevherden kimyasal önarıtma ile elde edilen saf alüminanın (Al₂O₃), 980°C'ta eriyen kriolit (Na₃AlF₆) içinde çözündürülüp, elektrolitik indirgenmesiyle saf alüminyum üretimi gerçekleştirilebilmiştir. Bu gelişmelere bazı alüminyum ilaçlarının dayanımının çökelme sertleşmesiyle artırılması da eklenince, alüminyum esaslı malzemelerden yaygın şekilde yararlanma döneminin başladığı görülmektedir.

5.4.1. Saf Alüminyum

İlk sırada düşük yoğunluğu olmak üzere bazı temel özellikleri Çizelge 5.10'da verilmiş olan alüminyum, diğer metallere göre başlıca üç noktada seçkinleşir:

Alaşımlarında daha da belirgin olan dayanım/yoğunluk oranının yüksekliği, hafifleştirilmelerine öncelik verilen konstrüksiyonların çoğu için alüminyumun uygun bir malzeme olmasını sağlar. Örneğin uçak, taşıt, piyade silahı, taşınabilir kamp donatımı vb.

Elektrik iletkenliğinin yoğunluğa oranı bakımından tüm metal malzemelerin önünde gelen alüminyum, yüksek gerilim hatlarında bakırın yerini almaktadır.

Havada ve diğer birçok ortamda korozya dayanıklı oluşu, alüminuma dekoratif görünüm kazandırarak mimari uygulamalarда ve ev araçlarının üretiminde de geniş bir alan açmıştır.

Elektrokimyasal gerilim serisindeki konumu nedeniyle asal bir metal olmayan alüminyumun korozyona dayanıklılığı, hava da veya sulu çözeltilerde yüzeyi kaplayan oksit tabakasından ileri gelir. Bu koruyucu tabaka, bozulduğunda doğal oksitlenmeyle bile hemen yeniden oluşur; ayrıca ortamda bulunabilecek asitler ne kadar oksitleyici ise o kadar kararlı davranışır. Örneğin derişik nitrik asit alüminyum kaplarda nakledilebilmektedir.

Öte yandan anılan oksit tabakasını çözebilen derişik alkali ler alüminyum korozyona uğratır. Benzer etki yapan madde ler arasında taze harç ve yapı kireci de sayılabilir. İnşaat larda kullanılan alüminyum profil ve kaplamalar, bu bakımdan siva işi bitinceye kadar bantlanarak korunmalıdır.

Yüzeydeki doğal oksit tabakası sadece 0,01 μm kalınlığında olup çok sayıda gözenek içerdigidinden, alüminyumda öncelikle bakır, demir gibi katışıklar yerel bileşim farklılıklarını ve dolayısıyla korozyon pilleri yaratabilir.

Buna karşı başlıca iki önlem söz konusudur:

- Katışıkların miktarları sınırlanır (Çizelge 5.11).
- Yapay yolla gözeneksiz koruyucu tabaka oluşturulur.

Çizelge 5.11-Alüminyum türlerine örnekler

İşaret	Müsaade edilen katışkı miktarı %				
	toplam	Si	Fe	Ti	Cu
Al99,99 R	0,01	0,006	0,005	0,002	0,003
Al99,5 H	0,5	0,25	0,35	0,02	0,02
Al99 H	1,0	1,0 (Si+Fe)		0,05	0,05

(R) ise kimyasal kararlılık bakımından sahiptir.

Alüminyumun doğal koruyucu tabakasını kuvvetlendirmek üzere kimyasal fosfatlama ve kromatlama yapılabilir. Ancak bu amaçla daha yaygın olarak uygulanan alüminyumun elektrolitik oksitlenmesidir (anodizasyon, eloksion). Sulfirik veya kromik asitli banyolarda gerçekleştirilen bu işlem sonucu, homojen şekilde kalınlaştırılmış ve yoğunluğu artırılmış saydam yüzey tabakasının değişik elektrolit katkılarıyla ayrıca renkli olması da sağlanabilir. Anılan yöntem alüminyum veya alaşımlarından üretilmiş parçaların kimyasal etkilere karşı daha iyi korunmasında büyük ağırlık taşır.

DIN 1712'de E-AlH olarak belirtilen en az %99,5 saflikta ki alüminyumun elektrik iletkenliği bakırının sadece %62'sine, yoğunluğa oranlığında ise 2,1 katına ulaşır. Bu teknik üstünlüğünün yanında fiyatının da uygunluğu (bk.Şekil 5.1) nede-

*) Eser miktardaki elementler 3.8.1'de belirtilenler dışında örneğin atomik absorbсион spektroskobisiyle saptanabilir.

Ürünlerin korozyona dayanıklılığını güvence altına alabilmek için, ingot aşamasında saflığı en az %99 ve katışıkları kontrol edilmiş* olan izabe alüminyumu (H) seçilmeli, hurda kullanılmamalıdır. Üç tabaklı elektroliz ile elde edilen çok saf alüminyum en üstün özelliklere

niyle, iletken hacminin ve lehimlenebilirliğin önemli olmadığı uygulamalarda bakırın yerini almıştır.

Alüminyumun düşük elastik modülü, herhangi bir konstrüksiyonun çelikten yapılma durumuyla karşılaşıldığında, rıjitleğin azalmasına yol açar. Isıl genleşme katsayısının ise eğinkinin yaklaşık iki katı oluşu alçak sıcaklık için tank ve boru hatlarının yapımında göz önünde tutulmalıdır.

Yüzey merkezli kübik kafese sahip olan alüminyumun sıcak ve soğuk şekil değiştirme kabiliyeti çok iyidir. Ekstrüzyon yöntemiyle her türlü profil üretilen fromanın, pencere, kapı ve otomobil gövdeleri için değişik profil serileri geliştirilmiştir. Böylece tasarımcının öngördüğü biçimler basit montajlarla gerçekleştirilebilir.

Paketlemede yararlanılan folyolar, şekil değiştirme oranı %99'a varabilecek haddeleme sonucu, birkaç mikrona kadar inen çeşitli kalınlıklarda elde edilmektedir. Bu amaçla kullanılan malzeme, üretilen folyoda küçük deliklerin meydana gelmemesi için, metal dışı kalıntılar ile demir ve silisyum gibi katışıklardan büyük ölçüde arıtılmış R kalite alüminyum olmalıdır.

Alüminumdaki kalıntılar parlatma işlemini de güçlendirirler. Dolayısıyla far reflektörleri gibi yüzeylerde ve bitmiş parçanın parlaklığının dekoratif görünüm bakımından önemli olduğu durumlarda gene çok saf (R) alüminyum tercih edilir. Sözü edilen malzeme, bütün alüminyum türleri arasında en yüksek kimyasal kararlılığı sahip olduğundan, özellikle çökelme sertleşmesi uygulanabilen korozyona daha az dayanıklı magnezyum, silisyum veya bakırlı合金ların giydirilmesinde de kullanılır.

Yüksek saflikta erimiş alüminyum, katılaşmada çubuksu ve iri taneli bir içyapı oluşturma eğilimindedir. Böylece çoğunlukla sürekli döküm yoluyla üretilen kütüklerde belirgin bir döküm dokusu (tekstür) ile karşılaşılır. Söz konusu oluşum haddelemenin ilk pasolarında giderilirse de, şekillendirme sürdürdüükçe bu kez haddeleme dokusu ortaya çıkar. Ancak uygun bir paso programı ve ara tav uygulanarak buna engel olunabilir. İstenmeyen bir diğer olay ise, sıvı alüminumda hidrojen çözünürlüğünün yüksek olması, bu nedenle katılma sonrasında elde edilen yarı mamulde veya bitmiş parçada gözeneklerin bulunabilmesidir.

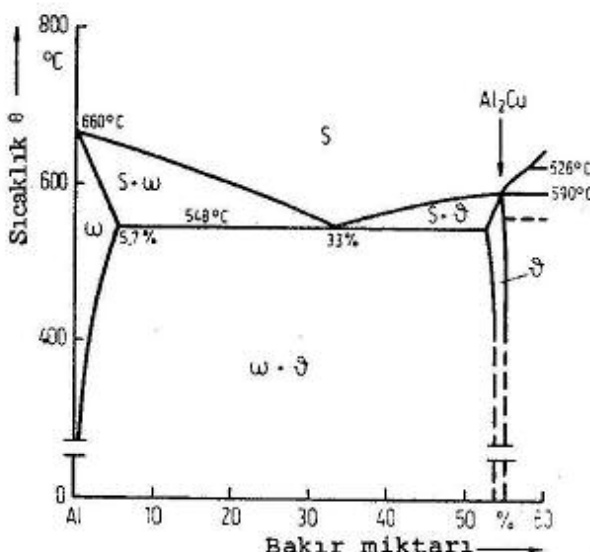
5.4.2. Alüminyumun Alaşım Sistemleri

Alüminyumun düşük yoğunluk, yüksek korozyon direnci gibi üstünlüklerinden makina, taşıt ve yapı endüstrisinde geniş oranda yararlanılması, ancak dayanım özelliklerinin合金ların gelişmesinden sonra gerçekleşebilmiştir. Dayanımın çökelme sertleşmesiyle artırılabileceğinin bulunması da (WILM, 1906), alüminyum合金ların gelişmesinde çok büyük rol oynamıştır.

Alüminyumun en önemli合金ların elementleri bakır, magnezyum ve silisyum olduğundan,合金ların özelliklerini açıklayabilmek için önce Al-Cu, Al-Mg ve Al-Si ikili sistemleri ayrınl-

tili olarak inceleneciktir:

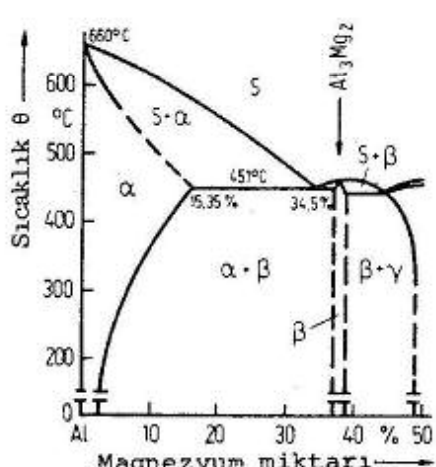
Alüminyum-Bakır faz diyagramının Al₂Cu metaller arası bilesiğe kadar olan bölümü Şekil 5.35'te verilmiştir. Eriyikten ayrısan ve en azından ötektik yapı bileşeni niteliğinde olan Al₂Cu ara fazı, malzemenin gevrekleşmesine yol açtığı için, döküm teknigi bakımından ötektik bileşime yakın olması gereken Al-Cu alaşımlarının pratikte kullanılmasını engeller. Öte yandan katılışma aralığının genişliği nedeniyle yapısal aşırı soğuma (bk.1.3.2) dikate alınarak, teknik Al-Cu alaşımlarının bileşimindeki bakır miktarı, ötektik yatayının başladığı %5,7 değerinin daha da gerisinde kalmak üzere yaklaşık %4,5 ile sınırlandırılmıştır.



Şekil 5.35- Alüminyum-Bakır faz diyagramı

deki çözünürlüğü azaldığından, çökelme sertleşmesi için gerekli ön koşullardan biri yerine gelmiş olur (bk.1.7.3.2). Malzemi gevrekleştirmeden dayanım artışı sağlayan çökelme sertleşmesi ilk kez bu tür alaşımarda bulunmuştur.

Alüminyum-Magnezyum sisteminin çok sert ve gevrek olan, ayrıca korozya dayanıklılığı da azaltan Al₃Mg₂ ara fazından ötürü (Şekil 5.36), söz konusu alaşımların kullanılabilirliği Mg oranının teorik %15 sınırından bile oldukça düşük tutulmasına bağlıdır.



Şekil 5.36-Alüminyum-Magnezyum faz diyagramı

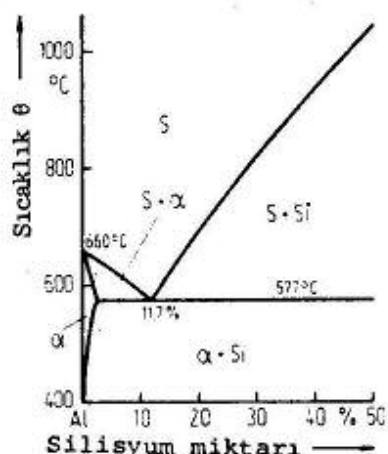
İkili Al-Mg alaşımlarında **dayanım artışı** yalnız katı çözelti oluşumuyla ilgilidir. Solvüs eğrisinin elverişliliğine karşın önemli bir çökelme sertleşmesi görülmez. **β** fazı öncelikle tane sınırları boyunca iri parçacıklar halinde çökebildiğinden, %7 den fazla magnezyumlu alaşım tanelerarası korozya uğrayabilir. Tane sınırlarındaki bu Al₃Mg₂ ağı çökelme sertleştirmesine benzeyen homojenleştirme işlemiyle dağıtılarak, malzemenin anılan korozyon türüne eğilimi ortadan kaldırılır.

Ötektik alaşım yaklaşık %80 oranından gevrek Al₃Mg₂ fazı içeriği için, her ne kadar 451°C qibi düşük

sıcaklıkta erime avantajına sahip olsa da, teknik açıdan yarılanılamaz durumdadır. Ötektik bileşimden sola doğru uzaklaşılırsa, Al_3Mg_2 miktarı azalmakla birlikte bu kez katılma aralığı genişler. Dolayısıyla $Al-Mg$ döküm alaşımlarında da magnezyum derişikliği, dar aralıklu ve α -alanında sonuçlanan bir katılışmayı gerçekleştirmek amacıyla, %2 ile 11 arasında seçilir.

Şekil 5.37'de alüminyum-silisyum faz diyagramı görülmektedir. %11,7 Si noktasındaki ötektik alaşımın iç yapısı %90 dolayında α -katı çözeltisi ile %10 saf silisyumdan oluşur. Böylece alaşımın özelliklerini belirlemeye, sünec alüminyum-silisyum katı çözeltisi gevrek silisyuma göre çok daha etkindir.

Bu durum, ince tanelilik ve kalıbı iyi doldurma özellikleriyle birlikte, $Al-Si$ ötektik alaşımının döküm malemesi olarak pratikte kullanılmasını sağlar.



Şekil 5.37. Alüminyum-Silisyum faz diyagramı

minde de rastlanır. Her iki sistem esas alınarak çökelme sertleştirmesinin uygulanabildiği birçok önemli alüminyum alaşımı geliştirilmiştir.

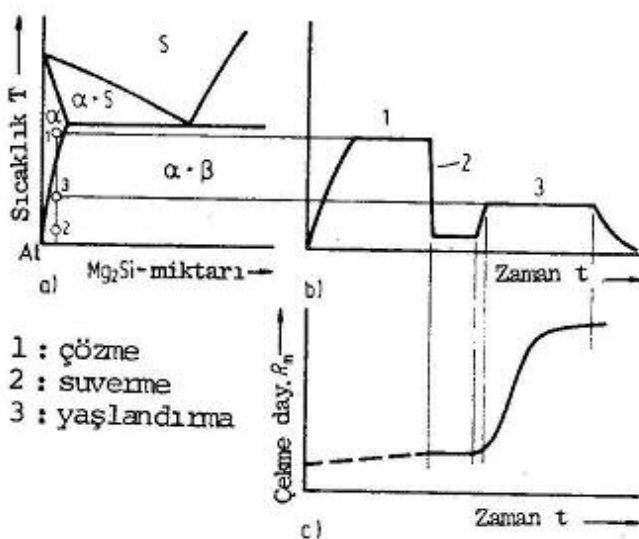
5.4.3. Çökelme Sertleşmesi

Teorik esasları Bölüm 1.7.3.2'de verilmiş olan bu işlem yardımıyla belirli büyülük ve dağılımda çökeltilen fazlar, dislokasyon hareketlerini engelleyerek dayanım artışı sağlar. Alüminyum alaşımlarında söz konusu çökeltilerin çapı yaklaşık 1 nm, aralarındaki uzaklık ise 10..20 nm dolayındadır. Böylece 1 mm³ hacmindeki alaşımda çökelmiş parçacık sayısı 10^{10} ile 10^{20} değerine ulaşır.

Burada örnek olarak alüminyum-magnezyum-silisyum sistemi için ele alınan ısıl işlemin ilk adımı, 520°C'da yapılan çözme tavıdır (Şekil 5.38 a, Nokta 1). Çözme tavının süresi, döküm iç yapısından veya daha önceki ısıl işlemlerden gelebilecek iri Mg_2Si çökeltilerinin α -KÇ içinde tümüyle çözünmesine yeterli olmalıdır. Bu olay genellikle 1/2 ile 2 saat arasında gerçekleşir.

İkinci adım malzemeye suverilerek oda sıcaklığında aşırı doymuş α -katı çözeltisinin elde edilmesidir (Şekil 5.38 a, Nokta 2). Aşırı doymadan ileri gelen sertlik artışı önemsiz

olduğundan, parçaya gerekiyorsa bu durumda soğuk şekil verilebilir. Son adım olan yaşlandırma (Şekil 5.38a, Nokta 3), 125°C ile 175°C arasında seçilecek sıcaklığı göre, 4 saatten 3 güne kadar değişen sürelerde uygulanır. Isıl işlemin sıcaklık-zaman diyagramı ve sağladığı dayanım artışı, Şekil 5.38 b ve c'de şematik biçimde gösterilmiştir.



Şekil 5.38. Bir alüminyum alaşımında çökelme sertleştirimi işlemi (şematik)

- a) Al-Mg-Si sisteminin Al-Mg₂Si kesiti
- b) Sicaklık-Zaman diyagramı
- c) Dayanım (sertlik) artışı

(+ Mn) alaşımaları soğuk şekillendirilme, mekanik parlatılma ve kaynak edilmeye elverişlidirler. Çekme dayanımları pekleşmeye 300 N/mm²'ye kadar artabilir. Yüksek saflikta alüminyumdan üretilen örneğin AlRMgI özellikle kimyasal parlatma ve anodizasyon için uygundur.

Deniz suyuna da dirençli olan Al-Mg alaşımaları, yüksek korozyon dayanıklılığı ve kolay şekillendirilebilme istenen, dayanımın ise fazla önemli olmadığı, atmosfer etkisine açık yapı elemanları gibi yerlerde kullanılır.

Cökelme sertleştirmesi gösteren alaşımalar başlıca dört grupta toplanabilir:

- AlCuMg-alaşımalarında çekme dayanımını 440 N/mm² ve 0,2 sınırını da 290 N/mm² dolayına yükseltmek mümkündür. Magnezyumun etkisiyle hızlanan yaşlanma oda sıcaklığında gerçekleşir. Bakır miktarının fazla olması korozyona dayanıklılığı azaltır. Bu sakınca malzeme yüzeyine saf alüminyumdan ince bir tabaka giydirilerek giderilebilir (kesilen kenarlar dışında!).

- AlMgSi-alaşımaları en çok 320 N/mm² düzeyinde orta dayanıklı malzemelerdir. 0,2 sınırı sıcak yaşlandırmada 260 N/mm², soğuk yaşlandırmada ise 110 N/mm²'ye ulaşabilir. Korozyona dayanıklılıkları iyi olup, parlatma ve anodizasyona elverişlidirler.

5.4.4. Dövme Alüminyum Alaşımları

DIN 1725 Teil 1, 1745, 1746, 1747, 1748 ve 1749'da standartlaştırılmış bu malzemelerden, cökelme yoluyla sertleştirilemeyen Alüminyum-Magnezyum

- AlZnMg-alâsimlari, yaklaşık 350 N/mm^2 lik çekme dayanımıyla AlCuMg alâsimlarının altında kalmakla birlikte, kimyasal etkilere karşı daha dirençlidirler. Bu grup mekanik özellikler ve korozyon davranışını bakımından optimum çözümü yansıtır.

- AlZnMgCu-alâsimlari sadece çökelme sertleştirmesi uygunluğundur, 530 N/mm^2 ile en yüksek dayanıklı grubu oluştururlar. Ancak korozyona dayanıklılıkları bakırdan ötürü pek iyi değildir. Soğuk pekleştirmeden sonra sıcak yaşılandırma yapılırsa malzemenin kendi ağırlığıyla kopma uzunluğu $25 \text{ km}'y$ i bulur. Aynı sonucun çelikte elde edilebilmesi ise çeliğin çekme dayanımının 1900 N/mm^2 olmasını gerektirir.

5.4.5. Dökme Alüminyum Alâsimları

Bu alâsimların en önemlilerinde (DIN 1725, Blatt 2), Al-Si faz diyagramındaki ötektik noktanın bileşimi esas alınmıştır. Ötektik Alüminyum-Silisyum alâsimları dayanım özelliklerinin iyi olması yanında, üstün döküm özelliklerine de sahiptirler. Basınçlı döküm, kokil döküm ve kum döküm için uygun malzemelerdir.

Kum kalıptaki yavaş soğuma nedeniyle silisyumun iri taneli olarak ayırmamasını önlemek üzere, döküm öncesinde eriyik yaklaşık % 0,1 Na ile aşılanır. Söz konusu katkı, aşırı soğumayı artırıp çok sayıda çekirdek oluşturarak, ince taneli bir iç-yapı elde edilmesini sağlar. Aşılama işleminin bir diğer sonucu da ötektik noktanın daha yüksek silisyum miktarlarına kaymasıdır. Dolayısıyla iç yapının tümüyle ötektik olması istendiğinde, kum döküm alâsimlarının aynı türden kokil döküm alâsimlarına göre yaklaşık %1 daha fazla silisyum içermeleri gereklidir.

Al-Si alâsimları, öncelikle eriyiğin akıcılığının önemli olduğu ince etli, basınç altında sızdırmaz elemanların dökümünde tercih edilirler.

Ötektik Alüminyum-Silisyum-Magnezyum alâsimlarına çökelme sertleşmesi uygulanabilir. Silisyum miktarının azalması döküm özelliklerini olumsuz yönde etkiler. Kum kaliba dökülen parçalar kokil döküme göre kaynağa daha elverişlidir.

Alüminyum-Silisyum-Bakır alâsimları da çökelme sertleşmesi gösterirler. Böylece 0,2 sınırı 200 N/mm^2 'ye ulaşabilir. Silisyum miktarı yüksek, bakırı düşük alâsimların döküm özellikleri daha iyidir. Ayrıca titan katılarak ince taneli iç yapı oluşturulması süneklik, vurma dayanımı ve işlenebilme bakımından yarar sağlar.

İçten yanmalı kuvvet makinaları için geliştirilen alüminyum piston alâsimlarından bazıları ötektik üstü bileşimdedir. Al-Si ötektiğinin 20°C ile 200°C arasında ortalama $20 \cdot 10^{-6}\text{K}^{-1}$ olan ıslı genleşme katsayı, silindirlerde kullanılan dökme demirinkinin yaklaşık iki katını bulur. Ancak artan silisyum miktarıyla, örneğin %25 Si için $(16..17) \cdot 10^{-6}\text{K}^{-1}$ dolayına düşer. Bu alâsimlara yüksek sıcaklık dayanımını iyileştirmek amacıyla bakır ve nikel de katılır. Pistonlar kokile dökülür-

ler. Metal kalıpta soğuma hızlı olduğundan parçada içgerilme-lerin ve aşırı doymuş katı çözeltinin oluşması beklenmelidir. Her iki olgu işletmede zamanla hacim değişikliğine yol açabili-r. Bu nedenle döküm parçalara ıssız işlem uygulanarak içge-rilmeler giderilir ve içyapı mümkün olduğu kadar termodinamik denge durumuna yaklaştırılır.

Alüminyum alaşımlarının erime sırasında hidrojen alma eğilimleri çok kuvvetlidir. Hidrojen, havadaki nemin alüminyumun yüzeyinde aşağıdaki reaksiyonla indirgenmesi sonucu ortaya çı-kar:

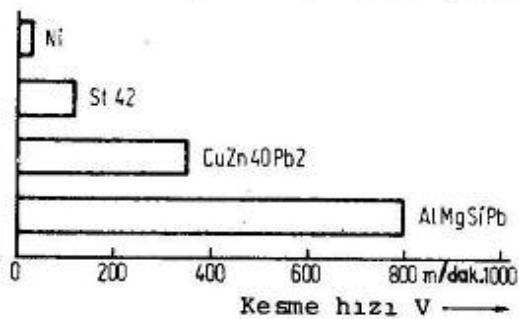


Dolayısıyla döküm parçalarda gözenekliliği önlemek üzere, yanma gazlarında nem bulunan gaz veya sıvı yakıtlı pota ocak-larında eritmeden kaçınılmalı; elektrikli ocakların kullanılı-ması halinde de, dökümden önce gaz giderme işlemi gerçekleş-tirilmelidir. Bunun için eriyiğe daldırıldığında nötr süpür-me gazi veren maddelerden yararlanılır. Al_2O_3 ise erimiş meta-lin yüzeyinden tuz türü cüruf yapıcılar yardımıyla uzaklaştı-rılabilir. Soğumanın çok hızlı olduğu basınçlı dökümde, atom-sal hidrojen fazla olsa bile ayırmaya zaman bulamayarak katı çözeltide kalacağından, gözenek oluşumu kum ve hatta kokil dö-küme göre büyük ölçüde azalır. Ancak bu davranışın bir sonucu olarak, basınçlı döküm parçalar kaynağa elverişli değildir. Malzemenin erime sıcaklığına yeniden ısitılmasıyla, daha önce aşırı çözünmüş olan hidrojen birden serbest hale geçerek kay-nak dikişinde gözenek meydana getirir.

5.4.6. Alüminyum Alaşımları İçin İmal Usullerinin Uygulanma Sınırları

Dövmeye alaşımları bilinen tüm sıcak ve soğuk şekil verme yöntemleriyle biçimlendirilebilirler. Ekstrüzyonla üretilen profillerin çeşitliliği özellikle dikkati çeker.

Yumuşak alüminyum alaşımlarından talaş kaldırılması kolay-dır. Sertleştirilmiş olanlarda takımın gördüğü direnç artmak-la birlikte, yüzey kalitesi iyileşir. Otomat tezgâhlarında işlenmek üzere geliştirilmiş özel kurşun katkılı alaşımlarda en büyük kesme hızları elde edilebilir (Şekil 5.39). Alümin-yum-Silisyum döküm alaşımının içyapılarındaki sert silisyum taneleri ise, takımların çabuk aşınmasına yol açar.



Kaynak işleminde karşılaşılan başlıca güçlükler de şunlardır:

- Alüminyum oksit tabakası
- Çatlama eğilimi

Şekil 5.39. Değişik malzemelerin tor-nalanmasında kesme hızları (sert me-tal, paso derinliği yaklaşık 3 mm, ilerleme yaklaşık 1,6 mm/devir)

Alüminyum ve alaşımları doğal olarak yüzeye sıkı tutunan ve 2060°C 'ta eriyen bir oksit tabakası ile kaplıdır. Ana malzemenin eritilmesi sırasında film halinde kalıntılar oluşturarak, dayanımı düşüren bu tabakanın giderilmesinde iki yol izlenebilir:

-Gaz kaynağında alüminyum oksit, dekapan madde (flux) yardımıyla çözülmerek, erime sıcaklığı alüminyumunkinden düşük olan ve sıvı metal üzerinde yüzen cürüfa dönüştürülür. Yüksek kimyasal aktiviteleri ve buna bağlı olarak yarattıkları korozyon tehlikesi nedeniyle, kaynak işleminin bitiminde dekapan artıklarının özenle temizlenmesi zorunludur.

-Argon veya helyum altındaki koruyucu gaz kaynağında (WIG, MIG), oksit tabakası genellikle ısıl iyonlaşmaya dayalı bir mekanizmayla giderilir, dekapana gerek kalmaz. Söz konusu "temizleme" olayının etkinliği için iş parçası (-) kutba bağlanmalı veya alternatif akım kullanılmalıdır. Böylece Ar^{+} iyonlarının kaynak banyosuna çarpmasıyla oksit tabakası parçalanır. Günüümüzde alüminyum esaslı malzemelerin kaynağı geniş ölçüde bu yöntemle gerçekleştirilmektedir.

Alüminyum alaşımlarının kaynak dikişlerinde rastlanabilecek çatlaklar hemen hemen sadece sıcak yırtılma sonucu, yani soğuma sırasında katılaşma aralığı geçilirken meydana gelirler. Kaynak işleminde ısı girdisinin fazlalığı (gaz kaynağı) soğuma süresinin uzamasına ve böylece çatlama eğiliminin artmasına yol açar. Kaynakta çatlama duyarlığını germeyi (DIN 50130) ile saptanır.

Kimyasal bileşime bağlı olan kaynağa elverişlilik, örneğin Al-Mg alaşımlarında giderek artan gevrek ara fazdan ötürü, magnezyum miktarının %5 düzeyini aşmasıyla ortadan kaldırılır.

Al-Si döküm alaşımlarından özellikle yakın bileşimlilerde kaynak çatlakları oluşmaz. Bunun nedeni katılaşma sırasında hacim değişiminin çok küçük ve dolayısıyla çatlamayı kolaylaştırıcı gerilmelerin düşük olmasıdır. Basınçlı döküm alaşımları, daha önce dechinildiği gibi, aşırı çözünmüş gazların serbest hale geçmesinden dolayı kaynak edilemez. Sadece GD-AlSi12 için sınırlı ölçüde kaynağa uygunluk söz konusudur.

Çökelme sertleştirmesi uygulanan alaşımlarda ise, AlMgSi grubu ile AlZn 4,5 Mg'da dışında, genellikle kaynak işleminden kaçınılması veya özel önlemler alınması gereklidir (bk.2.5.3).

5.5. Magnezyum ve Magnezyum Alaşımları

Teknikte magnezyum alaşımlarından bugüne kadar, yüksek dayanım/yoğunluk oranının gerektirdiği ölçüde yararlanıldığı söylenemez. Bunun başlıca nedenlerinden biri, oksijene kimyasal ilgisi çok fazla olan magnezyumun eritme, döküm ve talaşlı işlemlerinde kendiliğinden tutuşmasına karşı özel önlemler alma zorunluluğudur. Oysa bu koruyucu önlemler basit ve güvenilirdirler.

Magnezyum alüminyumdan da daha düşük yoğunluğa sahiptir (Çizelge 5.12). Talaşlı işlenme kabiliyeti çok iyi olup, alasımları öncelikle kum, kokil ve basınçlı dökümde kullanılır. Kimyasal reaksiyon eğiliminin fazlalığına karşın, yüzevine oluşan koruyucu tabaka bazı hallerde korozyonu engelleyebilir.

Çizelge 5.12-Magnezyumun fiziksel ve mekanik özelliklerini

Yoğunluk	g/cm^3	1,74
Erime sıcaklığı	$^{\circ}\text{C}$	649
Elastiklik modülü	N/mm^2	45 000
Genleşme katsayısı	$10^{-6}/\text{K}$	25
Çekme dayanımı ¹⁾	N/mm^2	80...180
Kırma uzaması ¹⁾	%	12...2

1) Gördüğüne işleme bağlı olarak

(MgCO_3) ve dolomit ($\text{CaCO}_3 \cdot \text{MgCO}_3$) diye adlandırılan doğal bileşikleri, çelik endüstrisinde refrakter malzeme olarak yaygın biçimde kullanılan $\text{MgO}'ya$ dönüştürülür. Saf magnezyumun MgCl_2 'den elde edilmesinde ise önemli kaynaklar karnallit ($\text{MgCl}_2 \cdot \text{KCl} \cdot 6\text{H}_2\text{O}$) cevheri ve %0,15 Mg içeren deniz suyudur. Dünya magnezyum üretiminin yaklaşık dörtte üçü klorür karışımı eriyiğinin elektrolizi, dörtte biri de ısıl indirgeme ve magnezyum buharının yoğunşturulmasıyla gerçekleştirilir.

Kafes yapısının hezagonal ve ikizlenme eğiliminin düşük oluşu çokkristal halindeki magnezyuma plastik şekil verilmesini güçleştirir. Tekkristallerde %500'ün üzerindeki uzamalara ulaşıldığı halde, çokkristallerde kristallografik doğrultuları farklı ve sadece taban düzlemlerinde kayabilen taneler birbirlerini engeller. 220°C 'in üzerinde yeni kayma sistemi harekete geçtiğinden, şekil değiştirme kabiliyeti birden artar. Dolayısıyla büyük şekil değişimleri için bu sıcaklığın aşılması gereklidir.

Konstrüksiyon malzemesi olarak önem taşımayan saf magnezyum inorganik kimya uygulamaları, metallerde oksit giderme (nikel ve alaşımaları), küresel grafitli dökme demirin elde edilmesi ve alaşımlamada kullanılır.

5.5.2. Magnezyum Alaşımları

Katışırken kendini fazla çekmeden ötürü magnezyumda mikro gözenekler meydana gelebilir. İri taneli birincil iç yapı ve şekil değişimini sınırlayan sdh kristal kafesi sünekliğin düşük, centik duyarlığının yüksek olmasına yol açar. Ancak mekanik özellikler alüminyum ve çinko katılarak büyük ölçüde iyileştirilebilmektedir. Ayrıca mangan korozyona dayanıklılığı artırdığından, en önemli magnezyum alaşımları bu üç elementi de içerir. Seryum ve toryumlu alaşımlar 300°C 'a kadar yüksek sıcaklık dayanımları ile dikkati çekerler. Zirkonyum ise katılaşmada tane küçültücü rol oynar.

Çizelge 5.13'deki örnekler ve faz diyagramlarından (Şekil 5.40 ve 5.41) görüldüğü gibi alaşımlar oda sıcaklığında çok fazlidir. Mikroyapıda katı çözelti ile birlikte metallerarası bileşikler de bulunur. Çözelme sertleştirimesi veya homo-

Çizelge 5.13-Magnezyum alaşımalarının mekanik özellikleri (DIN 1729, DIN 9715)

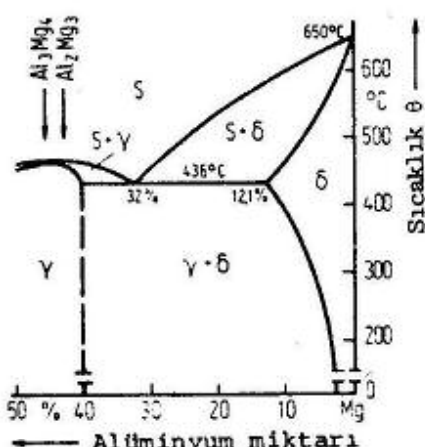
Malzeme	Ticari Şekli	Çekme dayanımı $\frac{N}{mm^2}$	$\% 0,2$ akma sın. $\frac{N}{mm^2}$	Kopma uzaması %
G-MgAl 9 Zn ! **	Kum döküm Kokil döküm Basınçlı dök	170	90	6
MgAl 6 Zn	Profil Çubuk Dövme parça	250	175	6

* Minimum değerler

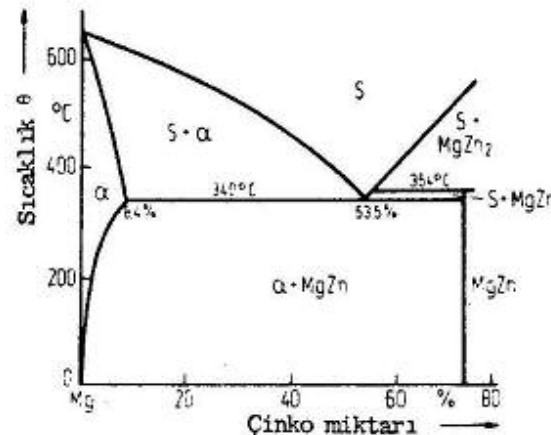
** Homojenleştirme işlemi görmüş

jenleştirme işlemi bu ara fazların dağılımını ve dolayısıyla mekanik özelliklerini değiştirir. Özellikle dökümden sonra homojenleştirilmiş, yani çözme tavi uygulanıp hızlı soğutulmuş malzeme süneklik açısından en iyi durumdadır.

Şekil değişimi tanelerin heptagonal taban düzlemi üzerinde kayması ile gerçekleştiğinden, soğuk haddelemede belirgin bir doku ortaya çıkar ve bu durum yeniden kristalleşme tavi ile giderilemez. Magnezyum



Şekil 5.40. Magnezyum-Alüminyum faz diyagramı



Şekil 5.41. Magnezyum-Çinko faz diyagramı (basitleştirilmiş)

alaşımaları yassı mamullerden daha çok döküm ve dövme parçaları ile ekstrüzyon profilleri olarak kullanılırlar.

Bütün döküm teknikleri için uygun bileşimde geliştirilmiş alaşımalar, demir potada magnezyum klorür, magnezyum oksit ve kalsiyum florür içeren hamur kıvamında bir tuz örtüsü altın da eritilir. Oksit vb. kalıntıları çöktürmek üzere karıştırma işleminden sonra, eriyiğin 850..900°C sıcaklığına aşırı ısıtılması, mekanik özelliklerini iyi olan ince taneli bir döküm iç yapısının elde edilmesini sağlar. Aşırı ısıtmanın diğer metallerde yaratmadığı bu etki, mevcut tüm kristal çekirdeklerin çözünmesi ve katılışma sıcaklığında çok sayıda yeni çekirdeğin birden oluşmasıyla açıklanmaktadır.

Döküm aşamasına geçmeden eriyik kükürtle örtülür. Böylece kalıba akıtma sırasında SO_2 atmosferiyle çevrelenen sıvı metatalin hava ile teması ve tutuşması engellenmiş olur.

Kum kalıbin eriyikle reaksiyona girip parça yüzeyini bozması, kuma kükürt veya borik asit katılarak önlenebilir.

Magnezyum alaşımlarının basınçlı dökümünde kalıp ömrü çinko ve alüminyumundan daha uzundur. Demir içinde çözünürlüğü çok az olan magnezyum, döküm kalibini erozyona uğratmaz. Ayrıca düşük yoğunluğu nedeniyle birim ağırlığından elde edilen parça sayısı, örneğin çinko alaşımlarıyla karşılaşıldığında, yaklaşık bire dört oranına ulaşır. Magnezyum ve alaşımları havada kendiliğinden hızla oluşan, gri renkli bir oksit örtüsüne sahiptirler. Ancak kimyasal etkileri kuvvetli ortamlarda, söz konusu doğal oluşum yeterli direnci sağlayamadığı için, korozyondan koruyucu önlemler alınması zorunlu olur. Bu amaçla kullanılan en yaygın yöntem, nitrik asit ve potasyum bikromat karışımı ile yüzeyi dağlamaktır. Böylece parça bronz benzer görünümde ve yüzeye iyi tutunan bir tabaka ile kaplanır. Deniz atmosferinde ayrıca boyama da gereklidir.

5.6. Titan ve Titan Alaşımaları

Titan yüksek dayanım ve üstün korozyon direnci yanında, Çizelge 5.14'ten görüldüğü gibi düşük yoğunluğu ile de seckinleşen bir metaldir. Bu özelliklerin biraraya gelmesi, pahalılığına rağmen titana çeşitli özel uygulanma alanları açmıştır. Titan alaşımaları uçak yapımında,

Çizelge 5.14.Titanın fiziksel özellikleri

jet ve yüksek güç motorlarında, saf titan ise kimyasal proses ve galvanoplasti donanımlarında kullanılır.

Yoğunluk	g/cm ³	4,5
Erime sıcaklığı	°C	1670
Elastiklik modülü	N/mm ²	110 000
Genleşme katsayısı	$10^{-6}/\text{K}$	9

5.6.1. Saf Titan

Aritma işlemi sonunda gözenekli bir biçimde elde edilmesinden dolayı sünger olarak nitelenen saf titan, vakumda yeniden eritilerek ingota dönüştürülür. Eser miktardaki katışıkların saptanması güç olduğundan, teknik titan türleri ortalaması çekme dayanımlarına göre sınıflanabilir (Çizelge 5.15).

Oda sıcaklığında sıkı düzenli hezagonal kafese sahip olan α -titanyun soğuk şekillendirilebilme kabiliyeti sınırlıdır. Kristal yapı 882°C 'in üzerinde hacim merkezli kübik duruma dönüşür (β -titanyum). Alaşımlama ile hmk kafes oda sıcaklığında da kararlı hale getirilebilir.

Titanın mekanik özellikleri katışıkların tür ve miktarına göre büyük ölçüde değişir. Tokluğun öncelik taşımadığı alüminyum eloksal banyolarının askıları gibi konstrüksiyonlarda, fazla oksijen içeren TiF_60 'ın yüksek dayanımından yararlanması yerinde olur.

Çizelge 5.15- Teknik titan türleri (DIN 17850, DIN 17860)

Malzeme işaretİ *	Kimyasal Bileşim **				Mekanik özellikler (tavlanmış durumda)			
	Ti	O	C	Fe	Çekme dayanımı N/mm ²	1 Sürünme sınırı N/mm ²	Kopma uzaması %	Sertlik HV 30
TiF 35	min. 99,5	0,10	0,08	0,20	290...410	min. 200	min. 30	~ 120
TiF 55	min. 99,3	0,25	0,10	0,30	460...590	min. 350	min. 18	~ 170
TiF 60	min. 99,2	0,30	0,10	0,35	540...740	min. 410	min. 16	~ 200

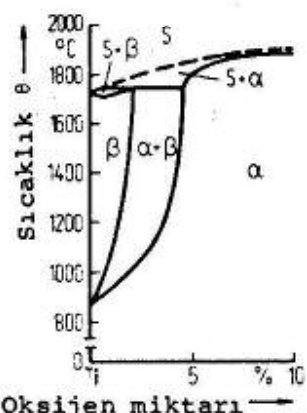
* Standartlaştırılmış

** DIN 17850'de diğer katışıklar N ve H için aşılmasası gereken miktarlar da verilmiştir.

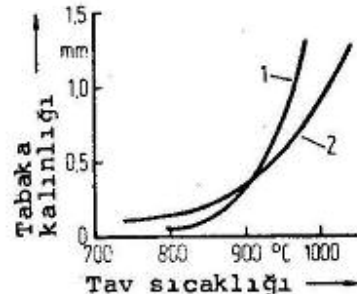
Esasında asal bir metal olmayan titanın korozyona dayanıklılığı, yüzeye kuvvetle bağlanan ve kimyasal etkilere karşı büyük direnç gösteren oksit tabakasından ileri gelir.

Titan, oksitleyici asitlerde, asit karışımlarında ve hatta kral suyunda dahi kimyasal kararlılığını korur. Son zamanlarda deniz suyu tatlılaştırma tesislerinin ısı değiştirgeçlerinde ve tuzlu su soğutmalı olarak çalışan kıyı kuvvet santrallerinde kullanımı üzerinde durulmaktadır. Damla yoğunmasına yol açması ısı iletimini artırır. Düşük yoğunluğu diğer malzemelerle arasındaki fiyat farkını kısmen karşılar.

Döküm dışındaki imal usulleri, titanın özellikleri dikkate alınmak koşuluyla, çeliktekine benzer şekilde uygulanabilir. Örneğin oksijenle alışılmamış oranlarda katı çözelti oluştumasından dolayı (Şekil 5.42), havada ısıl işlem veya sıcak şekil verme sonucu titanın müsaade edilen sınırların üzerinde oksijen alması söz konusudur. İçyapıya yayılan hidrojen de meydana getirdiği titan hidrür çökeltilerinin gentik etkisinden ötürü topluğu kuvvetle azaltır. Böylece oksijen ve hidrojenin girmesiyle gevrekleşen yüzey tabakası (Şekil 5.43), sonradan



Şekil 5.42. Titan-Oksijen faz diyagramının bir bölümü (BUMPS'a göre)



Şekil 5.43. 10 saatlik tavlama sonucu oksijen ve hidrojen alarak gevrekleşen yüzey tabakası kalınlığı (sertliğin yaklaşık 75 HV arttığı bölge, (KNORR'a göre)

en az bu ölçüde işlenecek parçalar için sakınca yaratmaz. Ancak küçük parçalar ve ince kesitlerin ıslı işlemleri vakumda veya asal gaz ortamında yapılmalıdır.

Kaynak işleminin ise daima asal gaz veya vakum altında gerçekleştirilmesi zorunludur. Kaynak bölgesi ayrıca soğuyuna kadar da hava ile temas etmemelidir. Dikiş kalitesi sertlik ölçülerek kolayca denetlenebilir. Oksijen veya azot absorpsiyonu kendini sertlik artışı ile belli eder.

Titan talaş kaldırılması güç bir malzemedir. İşlenmesi sırasında erişilebilecek kesme hızı alaşimsız çeliklerdekinin $1/20$ 'si kadar olup, ince torna talaşlarının ve taşlama tozlarının tutuşma tehlikesi de vardır.

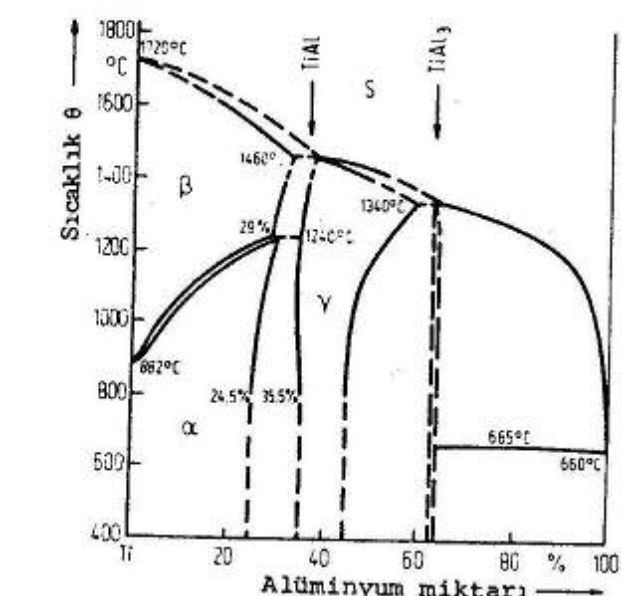
5.6.2. Titan Alaşımları

Başta alüminyum olmak üzere kalay, zirkon alaşım elementleri veya oksijen hezagonal (α) yapısının; vanadyum, krom, demir ve molibden de hacim merkezli kübik (β)nın kararlılığını desteklerler. Titana %30 alüminyum katılımıyla α -alanının 882°C 'tan 1240°C 'a kadar genişlemesine karşı α -alanının %20 dolayında vanadyum β -fazını oda sıcaklığında kararlı hale

getirir (Şekil 5.44). Böylece teknikteki kullanım yerine göre α , β ve $\alpha+\beta$ alaşımları geliştirilmiş olup, bunlar genellikle iki veya daha fazla katkı elementi içerirler (Çizelge 5.16).

- Hegzagonal α -alaşımlarında oksijen, azot ve karbon gibi titanyumu gevrekleyici yabancı elementler hmk yapıdaki kadar kolay yayınamaz. Bu nedenle yüksek sıcaklık uygulamaları için, örneğin jet motorlarında öncelikle α -alaşımları seçilir.

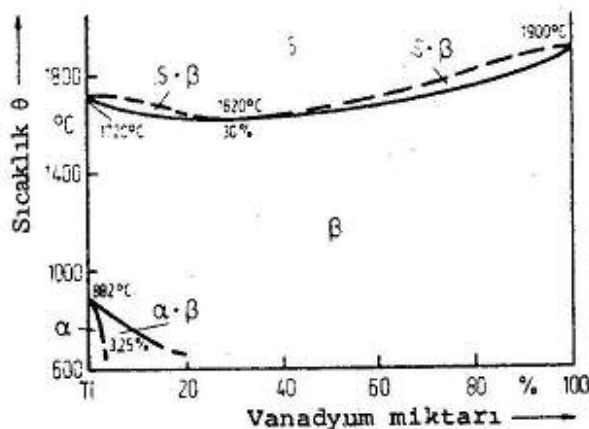
- Hacim merkezli kübik β -alaşımları ise oda sıcaklığındaki dayanım değerleri bakımdan üstündürler. Ancak β yapıcı olarak en az %13 vanadyum ve %11 krom gibi ağır metallerin katılması gerektiğinden yoğunluk artar. Söz konusu alaşımlar yaşandırılmadan önce soğuk şekillendirilmeye elverişlidirler.



Şekil 5.44. Titan-Alüminyum faz diyagramı

gibi ağır metallerin katılması gerektiğinden yoğunluk artar. Söz konusu alaşımlar yaşandırılmadan önce soğuk şekillendirilmeye elverişlidirler.

- İki fazlı ($\alpha+\beta$)-alaşımları β -alaşımları kadar yüksek dayanıklı değillerse de, yoğunluklarının düşük olması nedeniyle dayanım/yoğunluk oranı uygun malzemelerdir. α ve β alaşımları arasında optimum özelliklerini temsil ettilerinden yaygın olarak kullanılırlar. ($\alpha+\beta$) alaşımlarına, sıcaklık ve soğuma hizına bağlı martenzitik türden (β) dönüşümüyle de ilişkili

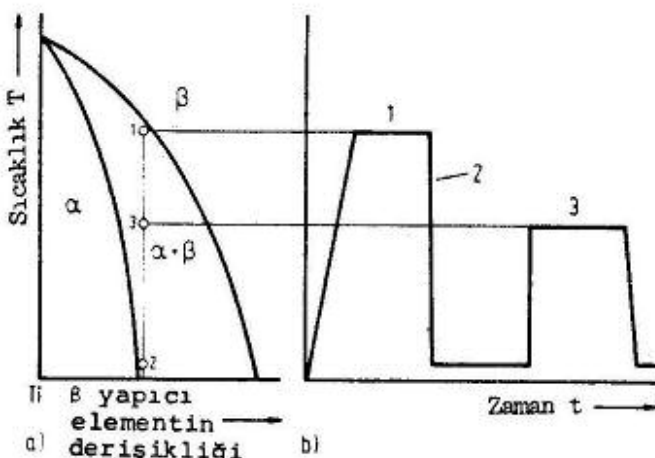


Şekil 5.45. Titan-Vanadyum faz diyagramı

Çizelge 5.16-Bazı titan alaşımlarının mekanik özelliklerini

Malzeme	Çekme dayanımı N/mm ²	% 0,2 sınırı N/mm ²	Kopma uzaması A ₅ %	Kristal Yapısı
TiAl5Sn2,5	880	840	18	α (sdh)
TiAl6V4*	1200	1050	7	α + β
TiV13Cr11Al3*	1270	1200	6	β (hmk)

* Çökelme sertleştirimi uygulanmış



Şekil 5.46. (α+β)-alaşımının ısıl işlemi (sematik)

- a) Faz diyagramı
 b) İşlem süresince sıcaklığın değişimi
 1: β-faz alanı sınırının altında çözme tavlama
 2: suverme 3: yaşlandırma tavlama

olarak, çökelme sertleştirimi uygulanabilir. Bunun için ilkin β-alanı sınırının hemen altındaki bir sıcaklıkta çözme tavlama yapılmış, kaldıraç kurallına göre çok miktarda β-katı çözeltisinin az miktarda α-katı çözeltisi ile dengede bulunması sağlanır (Şekil 5.46, Nokta 1). β-alanına girilmemesi tane irileşmesini önlemeye yöneliktedir.

Daha sonra malzeme oda sıcaklığına kadar suverilerek soğutulur (Şekil 5.46, Nokta 2). Böylece (β) fazının yayınmasız (martenzitik) dönüşümyle denge dışı (α') yapısı meydana gelir. Bu aşırı doymuş durumda gerçekleştirilen yaşlandırma tavlama (Şekil 5.46, Nokta 3) önemli ölçüde sertlik artışı yaratır. Yarı kararlı (β) alaşımları da çökelme yoluyla sertleştirilebilir. Bunun için sadece uygun sıcaklıkta yaşlandırma yeterlidir.

5.7. Zirkonyum ve Nükleer Reaktör Malzemeleri

Reaktör malzemelerinin mekanik, kimyasal vb. temel davranışları yanında şu önemli özellikleri de göz önünde tutulur:

- Isıl nötron absorpsiyon kesiti
- Oluşabilecek radyoaktif izotopların yarı ömrü

Absorpsiyon kesiti
 isıl nötronlar için

geçirgenliği karakterize eder. Bu nötronlar nükleer yakıtın radyoaktif bozunuğu ile serbest kalır ve yakıt tüpünden geçerek enerjilerini soğutma ortamına (örneğin basınçlı suya) verirler. Tüp malzemesinin nötron geçirgenliği iyi (absorpsiyon kesiti küçük) olmalıdır. Zirkonyum bu özelliğe sahip metaller arasında yer alır.

Zirkonyum kimyasal ve metalurjik açıdan titana çok benzer. Kafesi hezagonal yapıda olup, erime sıcaklığı yüksek (1852°C), hidrojen, oksijen, karbon ve azotu çözme eğilimi fazladır. Dolayısıyla üretim ve işlenmesinde titandaki gibi bazı önlemlerin alınması gereklidir. Oksitleyici ortamlarda korozyona dayanıklılığı titaninkinden üstünür. Kimya endüstrisi donatımlarında ve en çok nükleer teknolojide kullanılır. Kaynar ve basınçlı su reaktörlerinde uranyum dolgulu yakıt elemanlarının tüpleri zirkon alaşımlarından imal edilmektedir, örneğin Zircaloy 2 (Çizelge 5.17).

Çizelge 5.17-Zirkonyum ve Zircaloy 2

Malzeme	Çekme dayanımı N/mm ²	% 0,2 sınırlı N/mm ²	Kopma uzaması A5 %	Sertlik HV 30
Zr ¹	300...450	200...300	25...35	120...160
ZrSn _{1.5}	450...550	350...450	20...30	160...200

¹Saflık derecesi % 99,5 ... 99,7

ronları yakalayarak uyarılmış ve böylece kendileri de ışın yayar duruma gelmiş olurlar. Bu sırada uzun yarı ömürlü izotoplar oluşuyorsa, söz konusu parçaların değiştirilmesi halinde ortaya çıkan hurda, radyoaktif tehlike yaratır. Dolayısıyla bu gibi uygulamalar için örneğin paslanmaz çelikler ve nikel alaşımlarında kobalt, niyobiyumlu kaynak ilâve malzemelerinde de tantal miktarı milyonda birler (ppm) düzeyini aşmalıdır.

5.8. Kalay ve Kalay Alaşımaları

Kalay alçak sıcaklıkta eriyen, dayanımı çok düşük, buna karşın kimyasal kararlılığı iyi olan bir ağır metaldir (Çizelge 5.18). Yiyecek ve içeceklerle temas sonucu meydana gelebilecek bileşikleri zehirsizdir. Ayrıca döküm, sivama, çekiçleme ve lehimleme gibi yöntemlerle basitçe işlenebilir. Dolayısıyla geçmiş dönemlerde kap kacak yapımı için kalaya büyük ilgi duyulmuştur. Günümüzde çok sınırlı olan bu tür uygulamaların sadece el sanatları bakımından değer taşıdığı söylenebilir (antimon ve bakırlı kalay alaşımı, DIN 17810). Org borusu gibi bazı müzik aleti parçalarını kalaydan imal geleneği ise henüz terk edilmemiştir.

Nötron geçirgenliğinin önemli olduğu yerlerde yararlanılacak zirkonyum, aynı cevherde bulunan ve absorpsiyon kesiti yaklaşık 450 kat daha büyük olan hafniyum elementinden tü müyle arıtilmalıdır.

Nükleer ışının etkisi altında kalan malzemelerde özellik değişimleri görülür. Ayrıca bazı maddeler hızlı nöt-

Çizelge 5.18-Kalayın fiziksel ve mekanik özellikler

Yoğunluk	g/cm ³	7,3
Erime sıcaklığı	°C	232
Elastiklik modülü	N/mm ²	42 400
Genleşme katsayısı	10 ⁻⁶ /K	27
Elektrik iletkenliği	m/(Ωmm ²)	8,8
Cekme dayanımı	N/mm ²	~15
Kopma uzaması	%	~ 55

Halen elde edilen kalayın yarıdan fazlası konserve kutuları için teneke üretiminde, yanı az karbonlu ince çelik saçların kaplanması kullanılmaktadır. Geri kalan miktarın büyük bir bölümünden de lehim, yatak metali ve bronzlarda alaşım elementi olarak yararlanma yoluna gidilir.

5.8.1. Saf Kalay

Kalay minerallerinin en önemlisi olan cassiterit (SnO_2)yatları en çok Güney Doğu Asya ve Bolivya'da toplanmıştır. Kalay cevherinin zenginleştirme ve izabe işlemleri genellikle çıkarıldığı ülkede yapılır. Dünyada yaklaşık 300.000 t/yıl olan toplam tüketimin 250.000 tonu cevherden karşılanırken, 50.000 tonu da hurdadan geri kazanılmaktadır.

99 ile 99,95 saflıkta üretilen standart kalay türlerindeki başlıca katıskılar kurşun, antimon, bakır, bizmut, demir ve arseniktir (DIN 1704). Kalayın iki allotrop modifikasyonu vardır. Beyaz renkli metalsek kalay tetragonal kafese sahip olup, kolayca soğuk şekillendirilebilir. Bu kristal kafesi 13,2°C'tan erime sıcaklığına kadar kararlıdır; 13,2°C'in altında ise kübik duruma dönüşür. Ancak belirgin bir aşırı soğuma ile başlayan ve çok yavaş gerçekleşebilen dönüşme, ayrıca antimon ve bizmut gibi katıskılarla da engellenir.

Kübik kristal yapılı gri kalayın yoğunluğu beyaz kalayından daha küçük olduğundan, ilk önce dönüşümde uğrayan yerlerde sivilceye benzer kabartılar ortaya çıkar. Eskiden metalljik bilgilerin yetersizliğinden ötürü, sözkonusu olay bir tür hastalık sanilarak "kalay vebası" diye adlandırılmıştır.

Kalay alçak erime noktalı bir metal olarak, oda sıcaklığının altında bile yeniden kristalleştiği için, haddeleme, presleme, çekme gibi şekil verme işlemleri sırasında pekleşmez.

Özellikle zayıf organik asitlerde korozyon hızı çok düşük, ürünlerini de zehirsiz ve tat değiştirmeyen türden olan kalay, en başta gıda endüstriyi için kaplama malzemesi olarak büyük önem taşır.

Yüzey/hacim oranı küçük dolu parçalar çoğunlukla erimiş metale daldırılarak sıcak kaplanır. Örneğin teneke üretiminde uygulanan elektrolitik yöntemde ise, daha ince olan kaplamaının gözenekleri ayrıca "parlatma eritmesi" ile kapatılmalıdır.

Dökme demir parçalarda sürekli bir tabaka elde etmek için, kalaylamadan önce yüzeydeki grafit lamellerinin karbonsuzlaştırma tava ile giderilmesi gereklidir.

5.8.2. Kalay Alaşımları

En önemli kalay alaşımları

- yatak metalleri ve
- yumuşak lehimlerdir.

Bunlara Çizelge 5.19'dan görüldüğü gibi kurşun miktarı sınırlanmış kalay kap alaşımı da eklenebilir.

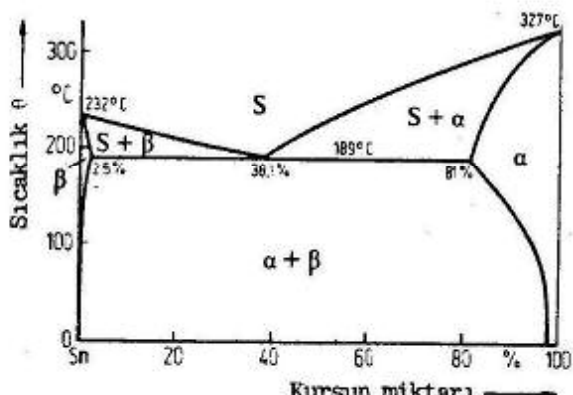
*Çizelge 5.19-Bazı kalay (kurşun) alaşım-
larının kimyasal bileşimleri*

Kullanım yeri ve malzeme işaretü	Ortalama miktarlar %			
	Sn	Sb	Cu	Pb
Yatak metali LgSn 80	80	12	7	1
LgPbSn 10	10	15	1	75
Yumuşak lehim L-Sn 60 Pb	60			40
L-PbSn 30	30			70
Kalay kap alaşımı SnSb 2 Cu	Kalan	2	1,5	en çok 0,5

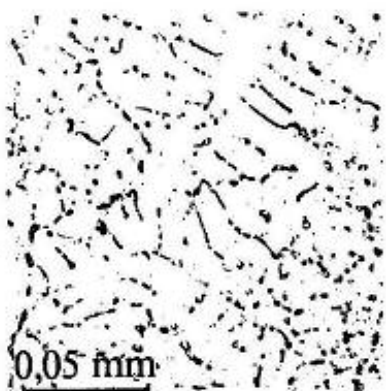
sağlayacak özelliklere ve basınç uygulayan mille uyum için yeterli plastikliğe sahip olması istenir. Çelik zarflı yataklarda, önceden kalaylanmış zarf yüzeyine dökülen ve ısısı çelik kadar iyi iletmeyecek beyaz metal tabakasının ince tutulması, sürtünme ısısını daha kolay uzaklaştırma amacıyla önemlidir. Yüksek miktarda kurşun içeren yatak alaşımları için savurma döküm sırasında ağırlık segregasyonu söz konusu olabilir.

Yatak metallerinin (beyaz metallerin) iç yapısı genellikle sert ve aşınmaya dayanıklı adacıklar ile bunların arasındaki yumuşak ve sünek ana kütleden oluşur. LgSn80'de sert parçacıklar iğnemsi Cu₆Sn₅ ve köşeli SnSb kristalleri, ana kütle ise kurşun içeren ötek tiktir. Bu alaşımların, yatağın yağsız kalması halinde bir süre sarmadan çalışabilmesini

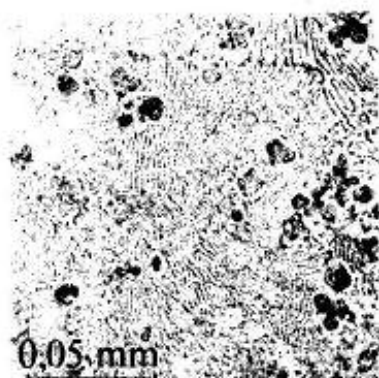
Yumuşak lehimler bileşimlerine göre farklı katılaşma davranışları gösterirler (Şekil 5.47). L-Sn60Pb alaşımı yaklaşık 895 ötektik olarak hemen hemen sabit sıcaklıkta ve birden katılaşır. Akıcılığından ötürü ince delik ve kanalları doldurabildiği için öncelikle elektroteknikte kullanılmaktadır. Katılaşma aralığı geniş olan L-PbSn30 alaşımı ise kablo kılıfları ve teneke kutular gibi büyük yüzeylerin lehimlenmesinde tercih edilir. Bazı Sn-Pb alaşımlarının iç yapıları Şekil 5.48'de verilmiştir.



*Şekil 5.47.Kalay-Kurşun faz diyagramı
mesinde tercih edilir.Bazı Sn-Pb alaşımlarının iç yapıları Şekil 5.48'de verilmiştir.*



a) 90% Sn, 10% Pb



b) 60% Sn, 40% Pb



c) 25% Sn, 75% Pb

Şekil 5.48. Kalay-kurşun alaşımlarında iç yapısı örnekleri

5.9. Çinko ve Çinko Alaşımları

Çinko alçak sıcaklıkta eriyen, döküm özellikleri atmosfer korozyonuna dayanıklılığı iyi olan bir ağır metaldir. Hezagonal kafes yapısının plastik şekil değişimine pek elverişli olmaması, yeniden kristalleşme sıcaklığının düşüklüğü nedeniyle sorun yaratmaz.

Çinko alaşımları genellikle döküm işlemeye uygunluk açısından pratik önem taşırlar.

5.9.1. Saf Çinko

Saflik dereceleri %97,5 ile 99,995 arasında değişen çinko türleri DIN 1706'da standartlaştırılmıştır. Katışkı miktarının azalması ile korozyon direnci artabilir, dayanım ise biraz düşer. Yüksek saflik taki çinko ($> \%$ 99,99) en başta basıncı döküm alaşımlarının temel bileşeni olarak kullanılır.

Çinko tekristalinin elastiklik modülü ve ıslıl genleşme katsayısı doğrultuya aşırı bağımlılık gösterir (Çizelge 5.20). Haddeleme veya çekme dokuları içeren yarı mamuller ile iri taneli döküm parçalarında da anizotropluk belirgindir.

Erimiş çinkonun çok kaba taneli olarak katılmasına yanında, kristal kafesinin değişik doğrultularında büzülme farklılarından ötürü, döküm parçalarında büyük iç gerilmelerin meydana gelmesi mekanik özellikleri olumsuz yönde etkiler. Ancak bu özellikler sıcak haddeleme veya presleme sonucu önemli ölçüde iyileşir (Çizelge 5.21). Öte yandan şekil değişiminin öncelikle yüzey/hacim oranı küçük parçalarda yol açtığı ıslınma nedeniyle, çinkonun saflik derecesine göre $50^{\circ}\text{..}180^{\circ}\text{C}$ arasında değişen yeniden kristalleşme sıcaklığının üzerine kolayca çıkılabilir. Dolayısıyla oda sıcaklığında yüksek şekillendirme oranlarına ulaşılması mümkün olur (örneğin pil kaplarının soğuk ekstrüzyonu).

Çizelge 5.20-Çinkozun fiziksel özellikler

Yogunluk	g/cm ³	7,14
Ereme sıcaklığı	°C	419
Buharlaşma sıcaklığı	°C	906
Elastiklik modülü		
Çokkristal (izotrop)	N/mm ²	94 000
Tekkristal (c-eks.)		37 500
Tekkristal (a-eks.)		125 000
Genleşme katsayısı		
izotrop	$10^{-6}/K$	39,8
c-ekseninde		63,0
a-ekseninde		14,2
Elektrik iletkenliği	m/(Ωmm ²)	17

Çizelge 5.21-Çinko yarı mamullerin mekanik özellikleri

Durumu	Çekme dayanımı N/mm ²	Kopma uzaması %	Sertlik HB
döküm	25...40	0,3...0,5	28...33
haddelemiş	120...140	50...60	32...34
preslenmiş	140...150	40...50	35...40

da tükenen (kurban) anot işlevi de görür.

5.9.2. Çinko Kaplama

Çinko kaplı çeligin korozyondan korunmasında iki ayrı olay rol oynar:

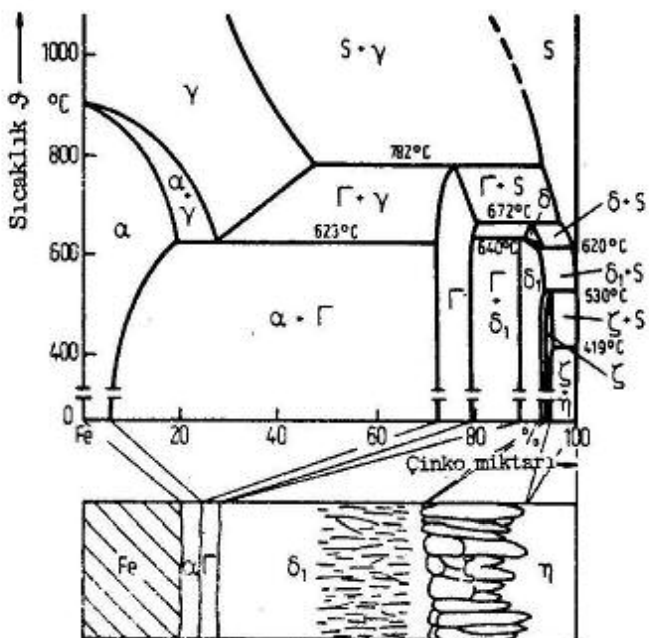
-Çinko yüzeyinde hidroksit ve karbonat oluşumu korozyonu engeller.

-Zamanla çinko kaplamada yerel hasarlar ortaya çıksa bile, bu kez demirin katodik korunması devreye girer.

50 µm kalınlığında çinko kaplanmış parçalar normal atmosfer koşullarında yaklaşık 20 yıl için korunmuş olurlar. Kaplamanın elektroliz veya sıcak daldırma yoluyla yapılması عمر bakımından pratik bir fark yaratmaz. Kaplamanın etkinliğini kalınlığı belirler.

Çinkonun elektrokimyasal gerilim serisinin-deki konumu asallıktan çok uzaktır. Nemli havanın veya doğal koşullardaki suyun etkisiyle, yüzeysinde hidroksit ve karbonat karışımı koruyucu tabaka oluşur. Korozyon hızını azaltan bu olgunan yararlanmak üzere, çelik ve dökme demirler çinkoya kaplanabilir. Ancak yumuşak sularda söz konusu reaksiyon gerçekleşmez. Böylece yalnız asit ve kuvvetli alkali çözeltilerde değil, damıtık veya yoğuşmuş su ile su buharı gibi ortamlarda da çinkonun korozyona uğrama tehlikesi vardır. Gıda maddeleri tütüğü yiyecek ve içeceklerin hazırlanması ve saklanmasında çinko kapları kullanımını yasaklamıştır.

Sulu çözeltilerde demire göre elektrokimyasal geriliminin daha negatif oluşu ve çözeltiye geçme davranışının uygunluğu nedeniyle çinko, çeliğin katodik korunmasında tükenen (kurban) anot işlevi de görür.



Şekil 5.49. Demirin sıcak daldırımayla çinko kaplanması sırasında geçiş bölgesinde iç yapısıının Fe-Zn faz diyagramı yardımıyla sematik açıklanması (SCHRAMM'a göre)

5.9.3. Çinko Basınçlı Döküm Alaşımaları

DIN 1743'te standartlaştırılmış olan döküm alaşımalarından basınçlı döküm için öngörülenler Çizelge 5.22 de verilmiştir (Zamak-3 ve Zamak-5).

Yaklaşık %4'lük alüminyum katkısı malzemeye bir ölçüde tokluk kazandırdığı gibi, çinkonun çelik döküm kalıplarını erozyona uğratma etkisini de azaltır. Katı gözelti oluşturan bakır dayanım artışı sağlar.

Çizelge 5.22-Çinko basınçlı döküm alaşımalarının çökme özellikleri

Malzeme işaretti	Çökme dayanımı N/mm ²	Kopma uzaması A _s %
GD-ZnAl4	25...30	3...6
GD-ZnAl4Cu1	28...35	2...5

karşı ek önlem olarak, döküm parçalar nikel ve krom kaplanacaksa, bunun tümüyle gözeneksiz şekilde gerçekleştirilmesi önemlidir. Aynı amaçla çoğu kez fosfat veya kromatlama da yapılır.

Sıcak daldırmada ana malzeme ile çinko arasındaki geçiş bölgesinde Fe-Zn alaşımları meydana gelir (Şekil 5.49). Bunlardan özellikle gevrek ζ -fazının mümkün olduğu kadar ince olması istenir. Ara tabakaların kalınlığı banyo sıcaklığı yanında, daldırma süresi ve demirce giderek zenginleşen eriyiğin bileşimine bağlıdır. Sıvı metale yaklaşık 80% alüminyum katılmasıyla yüzeyde katılaşan çinko ve alaşım bölgesinin kalınlığı azalır.

Yüksek sıcaklığa ısınması sakıncalı ana malzemelerde veya boyut toleranslarının dar tutulması gereken küçük parçalarda elektrolitik yönteme başvurulur. Böylece ara tabakasız ve daha üniform bir kaplama elde edilebilir.

Çinko alaşımaları basınçlı döküm alanında ağırlıkça %50 dolayında bir paya sahiptir. Özellikle karmaşık biçimli küçük parça dökümüne elverişlidirler. İşletme sıcaklıklarını, dayanım ve topluk değerleri hızla düştüğü için 100°C'ı aşmamalıdır.

Bakırlı GD-ZnAl4Cu1 alaşımında yaşlanma sonucu ortaya çıkan boyut artışı, sıcak iklim kuşağında 3 ay içinde %0,08'e ulaşılır. Bu durumu önlemek üzere, parçalar son boyutlarına işlenmeden önce yapay olarak yaşlandırılır.

5.10. Kurşun ve Kurşun Alaşımaları

Cevherden ve izabe ara ürünlerinden kolaylıkla indirgenebilmesi yanında alçak sıcaklıkta erimesi nedeniyle de, kurşun ilk çağda bile basitçe elde edilmiş kullanılmış olan bir metaldır. Erime noktası düşük olmakla birlikte, döküm veya lehimleme gibi işlemler sırasında buharlaşması yavaştır. Bundan dolayı solunum yoluyla kurşun zehirlenmesi iyi havalandırılan çalışma yerlerinde hemen hemen hiç görülmez. Zehirlenme ancak kurşun ve bileşikleriyle sürekli temasta olan kişilerin temizlik önlemlerine yeterince dikkat etmemelerinden ileri gelebilir. İçinde koruyucu karbonat tabakası oluştuktan sonra sağlık açısından sorun yaratmamasına rağmen, yeni içme suyu tesisatlarında kurşun boruya artık izin verilmemektedir.

Toplam kurşun tüketiminde akümlatör yapımı yaklaşık %50, benzine katıldığında vuruntuyu azaltan kurşun tetraetil bilesiğinin üretimi de yakın zamana kadar %15 lik bir paya sahip olmuştur. γ - ve X-raylarından korunmak için kurşun blok ve önlüklerden yararlanılır. Yeraltı kabloları koroziyona ve böcek yemesine karşı kurşun kılıfı donatılır.

Çizelge 5.23- Kurşunun fiziksel ve mekanik özellikleri

Yogunluk	g/cm^3	11,3
Erime sıcaklığı	°C	327
Elastiklik modülü	N/mm^2	17 500
Genleşme katsayısı	$10^{-6}/\text{K}$	29
Elektrik iletkenliği	$\text{m}/(\Omega \text{mm}^2)$	5
Çekme dayanımı	N/mm^2	10...15
Kırma uzaması	%	30...50

Kurşun alaşımaları ise öncelikle kaymalı yatak (beyaz metal) ve matbaacılıkta baskı malzemesi (harf metali) olarak kullanılmaktadır.

5.10.1. Saf Kurşun

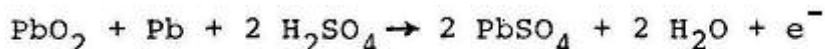
Teknikte çoğu kez yumuşak kurşun diye adlandırılan katkısız kurşun türlerinin saflığı %98,5-99,99 arasında

değişir (DIN 1719). Kurşun izabesinde cevherden kazanılan önemli bir yan ürün gümüştür. Eski dönemlerdeki gümüş izabe tesisleri, elde edilen metallerin miktarı bakımından gerçek kurşun üretim işletmeleri olarak nitelenebilir.

Kristal yapısı ymk olan kurşun haddeleme, çekme, presleme gibi yöntemlerle çok kolay şekillendirilir. Oda sıcaklığında yeniden kristalleşmesi, anılan işlemlerden sonra yumusatma tavını gereksiz kılmakla birlikte, küçük şekil değişimlerinde tane irileşmesine yol açar. Bu durum kablo kılıfları, borular ve kurşun kaplamalarda yorulma kırılmasını kolaylaştırır. Ayrı-

ca ortamındaki dış akımlardan kaynaklanabilecek korozyonun da etkisiyle, örneğin elektrikli tren raylarına paralel döşenmiş kabloların kurşun donatısı hiç beklenmedik şekilde çabuk kırılabilir (korozyon yorulması).

Kurşun, sülfirik aside karşı kimyasal kararlılık gösterir. Yüzeyinde oluşan ve çözünmeyen kurşun sülfat tabakası mekanik hasara uğramadıkça korozyonu engeller. Kurşun akümülatörlerde elektrik akımını da



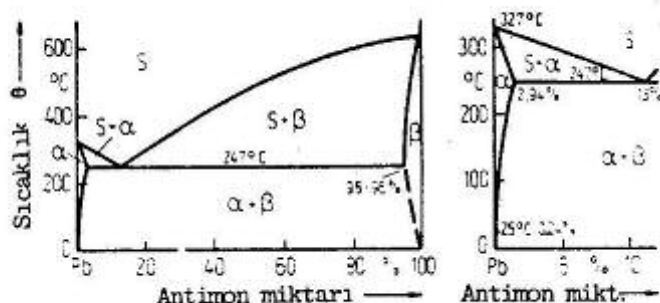
reaksiyonu sağlar.

Çizelge 5.23'te saf kurşunun önemli fiziksel ve mekanik özelliklerini verilmiştir.

5.10.2. Kurşun Alaşımları

Kurşun alaşımlarının $60-70 \text{ N/mm}^2$ 'ye kadar yükselebilen çem dayanımlarından ötürü bazı uygulamalarda yumuşak kurşuna göre üstünlük kazanması, bunların yük taşıyıcı konstrüksiyonlarda kullanılabileceği anlamına gelmez.

Dayanımı artırmak üzere antimon katılarak elde edilen alaşımlar sert kurşun diye de adlandırılır (DIN 17641). Antimonun kurşun içinde çözünme oranı oda sıcaklığında %0,24, ötekinde sıcaklıkta ise yaklaşık %3'tür (Şekil 5.50). Böylece katı



Şekil 5.50. Kurşun-Antimon faz diyagramı (HANSEN'e göre)

Çizelge 5.24-Bazı kurşun alaşımlarının kimyasal bileşimleri

Alaşımın Kullanım Alanı	Ortalama miktarlar %			
	Pb	Sn	Sb	Cu
Basınçlı döküm (DIN 1741)	84...86	4...6	9...11	-
Matbaa harfi	74	9	17	-
Matbaa baskı levhası	81	4	15	-
Kaymali yatak	74	10	15	1

çözeltilden ileri gelen dayanım artışına çökelme sertleşmesinin etkisi de eklenerek, 70 N/mm^2 dolayındaki değerlere erişmek mümkün olur. Sanat dökümleri için %2..4 Sb içeren veya ötekinde sıcaklıkta ise yaklaşık %3'tür (Şekil 5.50). Böylece katı

Korozyon direncini ve dayanımı iyileştiren kalay da antimon gibi kaymali yatak (DIN 1703), basınçlı döküm (DIN 1741), matbaacılık (DIN 16512) ve kablo kılıfı (DIN 17640) alaşımlarının başlıca bileşenlerinden biridir (Çizelge 5.24). Çökelme sertleşirmesi uygulanabilen kalsiyumlu alaşımlar ise sürünmeye bir ölçüde dayanıklı olup, örneğin akümülatör plakası ve özel yataklar için önem taşırlar.

Yararlanılabilecek Diğer Kaynaklar:

- Aluminium-Taschenbuch, Aluminium-Verlag, Düsseldorf*
- DIES, K.: Kupfer und Kupferlegierungen in der Technik, Springer-Verlag, Berlin*
- HOFMANN, W.: Blei und Bleilegierungen, Springer-Verlag, Berlin*
- VDM-Handbuch, Selbstverlag Vereinigte Deutsche Metallwerke AG, Frankfurt/Main*
- VOLK, K.E.: Nickel und Nickellegierungen, Springer-Verlag, Berlin*
- Werkstoffhandbuch Nichteisenmetalle, VDI-Verlag, Düsseldorf*
- ZWICKER, U.: Titan und Titanlegierungen, Springer-Verlag, Berlin*

- Alaşım elementleri, çelikte 42, 59, 62
 Alevle sertleştirme 53
 Alman gümüşü 130
 Alt kritik soğuma hızı 36
 Alüminyum 147
 alaşım sistemleri 149
 döküm alaşımları 153
 dövme alaşımları 152
 piston alaşımı 153
 Anodizasyon 148
 Ara bileşik 60
 Ark ocağı 12
 Artık ostenit 37, 44, 49, 56, 103
 Asal çelikler 73, 86
 Aside dayanıklı çelikler 93
 Aşırı ısıtma 31
 Aşırı soğuma 32
 Azot 10, 19, 150
- Bakır 123, 125
 elektrolitik 125
 blister 124
 katkılı 128
 tok 124
 Bakır alaşımları 129
 Bantlı yapı 18, 19
 Basınçlı döküm 153, 158, 165, 167
 BAUMANN baskısı 19
 Berilyum 128, 139
 Beyaz metal 164
 Beynit 33, 51
 taneli 35
 iğneli 35
 üst 35
 alt 35
 Beynit kademesi 35
 Beynitleme 51
 Bronz 132
 Büyüme 114
- CURIE sıcaklığı 1, 137, 144
- Çelik 7
 alaşımı 58, 66
 alaşimsız 58, 66
 ferritik 61, 94, 95
 ısıya dayanıklı 89
 kaliteli 73
 kütle 73
 ledeburitik 61
 mikro alaşımı 83
 ostenitik 61, 91, 96
 ötektoidaltı 31, 43
 ötektoidüstü 32, 44
- paslanmaz 93
 perlitik-martenzitik 94, 95
 soğukta tok 91
 yarı ferritik 95
 yaşlanmaz 20
 yüksek sıcaklık dayanımı 89
 yüksek dayanımı, ince taneli 82, 84
 Çelik döküm 104, 105
 Çelik üretimi 8
 Çeliklerin ısıl işlemi 25
 Çentik duyarlığını 156
 Çift sertleştirme 56
 Çinko 165
 Çinkosuzlaşma 131
 Çökelme davranışsı 82
 Çökelme, krom karbür 96, 97
 Çökelme sertleşmesi 80, 151
- Daldırmayla sertleştirme 54
 Demir 1
 Demir dışı metallerin gösterilişi 121
 Demir esaslı döküm malzemeleri 104
 Demir esaslı malzemelerin gösterilişi 64
 Demir eşlik elementleri 17
 Demir fosfür 113
 Demir-karbon alaşımları 7
 Demir-karbon diyagramı 1
 Demir-nikel alaşımı 144
 Demir sülfür 18
 Direnç malzemesi 134
 Dökme bronz 133
 Dökme çelik 104, 105
 Dökme demir 8, 104, 109
 beyaz 104, 110
 kır 105, 111
 küresel grafitli 105, 115
 lamel grafitli 105, 110
 ostenitik 114, 116
 temper 105, 116
 Dökme demir diyagramı 109
 Dökme pırıngı 131
 Döküm dokusu 149
 Dönüşüm gerilmeleri 46
 Dönüşüm sertlestirmesi 37, 42
 Duraklı suverme 45
 Durgun çelik 15
- Ekstrüzyon 149, 154
 ELC çelikleri 98
 Elektrik ark ocağı 12
 Elektrik iletkenliği 126, 148

- Elektrolitik bakır 125
 Eloksal 148
 Ferrit 1
 Ferrit yapıcı 59
 Ferritik krom çelikleri 95
 Fosfor 18
 Fosfor bronzu 132
 Gecikmeli çatlak oluşumu 22
 Genleşme katsayısı 149,165
 Gerilim giderme tavi 29,131
 Gerilme korozyonu 131
 Gevrekleşme 22,95
 Gözenekler 136,149,154
 Grafitin çentik etkisi 112,116
 GREINER-KLINGENSTEIN diyagramı 109
 Haddeleme dokusu 149
 Hafniyum 162
 Hidrojen 21,85,127,138,159
 gevrekliği 21,85
 hastalığı,bakırda 127
 Histerezis, ısıl 1
 Homojenleştirme 28
 ısıl çift 134
 Isıtıcı direnç malzemesi 141
 İslah etme, çelikleri 48,86
 İndüksiyonla sertleştirme 53
 İndüksiyon ocağı 12
 İngot dökümü 13
 Jaminy deneyi 47
 Kalay 162
 Kalay合金 164
 Kalay bronzu 132
 Kaliteli çelikler 73,86
 Karbon 1,3,9
 Karbonlama 54
 Karbür yapıcı 59
 Katı çözelti sertleşmesi 79
 Kaynak kabiliyeti 74
 Kaynar çelik 14
 Kesikli suverme 45
 Kır dökme demir 105
 Kimyasal işlem gevrekliği 22
 Konstrüksiyon çelikleri 73
 Konverter 9
 Korozyon, tanelerarası 9,97,150,167
 Korozyon,taneleriçi 95
 Korozyondan koruma 158,166
 Kurşun 168
 合金 168
 zehirlenmesi 168
 Küükürt 19,38
 giderme 12
 Küreleştirme 30
 Küresel grafit 115
 Kütle çelikleri 73
 Lebedurit 5,61
 LD-Çeliği 10
 Lehim合金 131,164
 Lehim pirinci 131
 LÜDERS bantları 21,78
 Magnezyum 155
 合金 155
 Makro iç gerilmeler 29
 Makrosegregasyon 15
 Malzeme numaraları 69,123
 Mangan 17
 Manyetik malzemeler,nikel içeren 144
 Manyetostriksiyon 137
 Martemperleme 45
 Martenzit 33,38
 az karbonlu 84
 ığneli 38
 kübik 48
 masif 38
 temperlenmiş 48
 başlama sıcaklığı M_S 33,63
 bitiş sıcaklığı M_f 33,63
 kademesi 36
 Maryaşlandırma çeliği 81
 MAURER diyagramı 109
 Mavi gevreklik 20
 Menevişleme 48
 Mikrosegregasyon 18
 Monel 139
 Nikel 136
 katkılı 138
 合金 139
 Nikel gümüşü 130
 Nitür 21,60
 Nitür yapıcı 59
 Nitürleme 56
 tuz banyosunda 57
 gazlı 57
 Noktasal korozyon 95,143
 Normalleştirme tavi 31
 Nötronlar, ısıl 161
 Oce yöntemi 53

- Oksijen 23,125
 Oksijen üfleme yöntemi 10
 Oksit giderme (deoksidasyon) 12
~~Oksikillendirme~~ 81
 Ostemerleme 51
 Ostenit 1
 Ostenit dönüşümü 32,38,62
 beynit kademesinde 35
 martenzit kademesinde 36
 perlit kademesinde 34
 Ostenit yapıcı 59
 Ostenite şekil verme 81
 Ostenitik krom-nikel çelikleri 96
 Otomat çeliği 18,19
 Otomat malzemesi 130

 Ötektik 3
 Ötektoid 3
 Özel bronzlar 133,134
 Özel durgun çelik 16
 Özel karbürler 60,100,102
 Özel pırıncı 131

 Parçacık sertleşmesi 80
 Pasif tabaka 135,139
 Paslanmaz çelikler 93
 Patentleme 52
 Perlit 4
 kademesi 34
 taneli 30
 Perliti azaltılmış çelikler(PAÇ) 81
 Perlitleme 52
 Pik demir 8
 Pırıncı 129
 Piston alaşımı 153
 Pul çatlaklar 22

 Radyoaktivite 161
 Reaktör malzemeleri 161

 Saf demir 1
 SCHAEFFLER Diyagramı 98
 Sementasyon 54
 Sementit 2,102
 Sert döküm 104,110
 Sert kabuklu döküm 110
 Sert kurşun 169
 Sert mangan çeliği 107
 Sert manyetik malzemeler 146
 Sertleşme davranışları 42,63
 deneyleri 47
 Sertleşme derinliği (kabiliyeti) 42,
 58,60,63
 Sertleştirme,çeliklerde 26,37,42

 karbonlamadan sonra 55
 Sertlik sınırı deneyi 48
 Sfero döküm 115
 Sıcak iş çeliği 99,102
 Sıcak kırılganlık 19
 Siğ sertleşme çelikleri 43
 SIEMENS-MARTIN ocağı 10
 Sigma arafazı 95
 Silisyum 18
 Soğuk iş çeliği 99,100
 Soğuk pekleşme 80
 Soğukta tok çelikler 91
 Soğuma hızı, kritik 36
 Sorbit 33
 Sönümleme özelliği 112
 Standart gösteriliş
 demir dışı malzemeler 121
 demir esaslı malzemeler 64
 Statik yorulma 22
 Steadit 113
 Suverme 42,152
 duraklı 45
 kesikli 45
 sürekli 45
 gerilmeleri 46
 ortamları 44
 Sülfür baskısı 19
 Sürekli döküm 14

 Şekil değişimi yaşlanması 20,78

 Tabakalı kırılma 25
 Takım çelikleri 73,99
 Tane irileştirme tava 28
 Tav çukuru 14
 Tavlama 26
 Temper döküm 105,116
 siyah 118
 beyaz 117
 Temper gevrekliği 50
 Temper haddelemesi 78
 Temper kararlılığı 58,85,102,128
 Temper karbonu (grafiti) 118
 Temperleme 48,117
 Teneke 163
 Termomekanik işlemler 82
 THOMAS çeliği 10
 Titan 158
 alaşımları 160
 Toklaştırma yöntemleri 48
 Tombak 130
 Trostit 33
 Tufal tabakası 139,141
 Tufallanmaya dayanıklılık 139

Tutma süresi 27
Tüm kesit ıslahı 50

Üst kritik soğuma hızı 37

Vakumda gaz alma 14

Whisker 82
WIDMANNSTAETTEN iç yapısı 32,34
Wursit 23

Yapı çelikleri 73
yüksek dayanımlı 79
Yapışal aşırı soğuma 132,150
Yarı ömür 161
Yaşlanma 20
Yaşlanmaz çelik 20
Yatak metali 164
Yayınma tavl 28
Yeniden kristalleştirme tavl 29
Yorulma dayanımı 79
Yumuşak bölgeler 44
Yumuşak kurşun 168
Yumuşak lehim 164
Yumuşak manyetik malzemeler 146
Yumuşatma tavl 30
Yüksek hız çeliği 99,102
Yüksek sıcaklık çelikleri 89
Yüzey sertleştirme 52

Zamak 167
Zirkonyum 161
ZSD diyagramı 38,62
 sabit sıcaklık 41
 sürekli soğuma 39